



การทดสอบประสิทธิภาพของรอยต่อแบบเปียกสำหรับงานคอนกรีตเสริมเหล็ก  
สำเร็จรูปที่มีรายละเอียดเหล็กเสริมต่างๆ

ธีรุณิ คุลพนเมือง

วิทยานิพนธ์นี้เป็นส่วนหนึ่งของการศึกษาตามหลักสูตรปริญญาวิศวกรรมศาสตรมหาบัณฑิต  
สาขาวิชาวิศวกรรมโยธา คณะวิศวกรรมศาสตร์  
มหาวิทยาลัยอุบลราชธานี

พ.ศ. 2555

ลิขสิทธิ์เป็นของมหาวิทยาลัยอุบลราชธานี



**TESTING OF WET JOINT FOR PRECAST REINFORCED  
CONCRETE BEAMS USING VARIOUS REINFORCEMENT  
DETAILINGS**

**TEERAWUT KULPHONMUANG**

**A THESIS SUBMITTED IN PARTIAL FULFILLMENT OF THE REQUIREMENTS  
FOR THE DEGREE OF MASTER OF ENGINEERING  
MAJOR IN CIVIL ENGINEERING  
FACULTY OF ENGINEERING  
UBON RATCHATHANI UNIVERSITY  
YEAR 2012**

**COPYRIGHT OF UBON RATCHATHANI UNIVERSITY**



ใบรับรองวิทยานิพนธ์  
มหาวิทยาลัยอุบลราชธานี  
ปริญญา วิศวกรรมศาสตร์มหาบัณฑิต  
สาขาวิชาวิศวกรรมโยธา คณะวิศวกรรมศาสตร์

เรื่อง การทดสอบประสิทธิภาพของรอยต่อแบบเปียกสำหรับคานคอนกรีตเสริมเหล็กสำเร็จรูป  
ที่มีรายละเอียดเหล็กเสริมต่างๆ

ผู้วิจัย นายธีรวุฒิ กุลโพนเมือง

ได้พิจารณาเห็นชอบโดย

อาจารย์ที่ปรึกษา

(ผู้ช่วยศาสตราจารย์ ดร.กริติศักดิ์ แก้วกุลชัย)

กรรมการ

(รองศาสตราจารย์ ดร.กิตติศักดิ์ ขันติวิชัย)

กรรมการ

(ดร.วีระยศ โสมสนวัฒน์)

คณบดี

(ผู้ช่วยศาสตราจารย์ ดร.นราธัย แสงเทียน)

มหาวิทยาลัยอุบลราชธานี รับรองแล้ว

(ผู้ช่วยศาสตราจารย์ ดร.อุทิศ อินทร์ประสิทธิ์)

รองอธิการบดีฝ่ายวิชาการ

ปฏิบัติราชการแทนอธิการบดี มหาวิทยาลัยอุบลราชธานี

ปีการศึกษา 2555

## กิตติกรรมประกาศ

วิทยานิพนธ์เล่มนี้ สำเร็จลุล่วงไปด้วยดี เนื่องจากบุคคลที่เคยให้คำแนะนำและให้คำปรึกษาแก่ผู้วิจัย ขอรับขอบพระคุณบุคคลต่อไปนี้

ขอรับขอบพระคุณ พศ.ดร. เกรียงศักดิ์ แก้วกุลชัย อาจารย์ที่ปรึกษาวิทยานิพนธ์ ที่ได้ให้คำแนะนำพร้อมทั้งคำปรึกษาและชี้แนะแนวทางอันเป็นประโยชน์อย่างยิ่งในการทำวิทยานิพนธ์เล่มนี้ และพร้อมที่จะสละเวลาอันมีค่าช่วยเหลือในการแก้ไขปัญหาทุกปัญหามาโดยตลอดพร้อมยังเตือนสติแสดงถึงความห่วงใยและหวังดีต่อผู้วิจัยเสมอมา

ขอรับขอบพระคุณ รองศาสตราจารย์ ดร. กิตติศักดิ์ ขันติยิชัย และ ดร.วิเชียร โสมณวัฒน์ ที่เสียสละเวลามาเป็นกรรมการในการสอบวิทยานิพนธ์ พร้อมทั้งคำแนะนำ และข้อเสนอแนะอันเป็นประโยชน์ยิ่งต่อวิทยานิพนธ์ รวมทั้งอาจารย์ทุกท่านในภาควิชาระบบทิยาฯ ที่เคยอบรมสั่งสอนให้ความรู้และดูแลอำนวยความสะดวกต่างๆ

ขอบพระคุณ นายกิตติธัช หมุทอง ที่กรุณาให้คำปรึกษาและคำแนะนำในการใช้เครื่องมือวัด และความช่วยเหลือต่างๆ

ขอบพระคุณบุคคลที่รักและเพื่อนๆ พี่น้อง ที่เคยให้กำลังใจกับทางผู้วิจัยเสมอ จนสามารถทำวิทยานิพนธ์สำเร็จลุล่วงไปด้วยดี

และขอรับขอบพระคุณบิดา มารดา ซึ่งเป็นผู้มีพระคุณ เป็นผู้ให้ทุกสิ่งทุกอย่าง ให้โอกาสในการศึกษาและเคยส่งเสริม พร้อมด้วยความรักและกำลังใจที่มีให้แก่ผู้วิจัยมาโดยตลอด



(นายธีรวุฒิ กล โพนเมือง)

ผู้วิจัย

## บทคัดย่อ

**ชื่อเรื่อง** : การทดสอบประสิทธิภาพของรอยต่อแบบเปียกสำหรับคนคอนกรีตเสริมเหล็ก  
**สำเร็จรูปที่มีรายละเอียดเหล็กเสริมต่างๆ**

**โดย** : ธีรุตติ ภูลพนเมือง

**ชื่อปริญญา** : วิศวกรรมศาสตรมหาบัณฑิต

**สาขาวิชา** : วิศวกรรมโยธา

**ประธานกรรมการที่ปรึกษา** : ผู้ช่วยศาสตราจารย์ ดร.เกรียงศักดิ์ แก้วกุลชัย

**คำพท์สำคัญ** : canon คอนกรีตสำเร็จรูป รอยต่อแบบเปียก เชื่อมต่อ

งานวิจัยนี้มีวัตถุประสงค์เพื่อศึกษาพัฒนาระบบการรับแรงและลักษณะการวินิจฉัยของรอยต่อแบบเปียกสำหรับคนคอนกรีตเสริมเหล็กสำเร็จรูปที่มีรายละเอียดเหล็กเสริมต่างๆ ภายใต้การดัด การทดสอบจะแบ่ง成ตัวอย่างออกเป็นสองชุดทดสอบ โดยชุดทดสอบแรกจะทำการทดสอบเพื่อหาลักษณะการต่อเชื่อมที่จุดต่อของเหล็กเสริมรับแรงดึง ที่มีประสิทธิภาพสามารถพัฒนาがらงได้ใกล้เคียงกับวิธีการเชื่อมทاب แล้วนำผลทดสอบที่ได้มาศึกษาต่อในชุดทดสอบที่สอง

ผลการทดสอบพบว่ารอยต่อที่มีลักษณะการต่อเชื่อมที่จุดต่อของเหล็กเสริมรับแรงดึง โดยของมาตรฐาน 90 องศา ขัดด้วยเหล็ก DB12 รูปตัวซีที่มุน สามารถพัฒนาがらงด้านหนานไมemen ตัดได้ใกล้เคียงกับคนตัวอย่างลักษณะรอยต่อที่เสริมเหล็กรับแรงดึง โดยการเชื่อมทاب เมื่อนำคนตัวอย่างดังกล่าวมาศึกษาต่อในชุดทดสอบที่สอง พบร่วมกับปริมาณเหล็กเสริมตามท่วงต่อปริมาณเหล็กเสริมตามท่วงต่อที่มากขึ้น ความสามารถในการรับ荷载 men ตัดของตัวอย่างคนจะมีแนวโน้มที่มากขึ้น

## ABSTRACT

TITLE : TESTING OF WET JOINT FOR PRECAST REINFORCED CONCRETE BEAMS USING VARIOUS REINFORCEMENT DETAILINGS  
BY : TEERAWUT KULPHONMUANG  
DEGREE : MASTER OF ENGINEERING  
MAJOR : CIVIL ENGINEERING  
CHAIR : ASST. PROF. GRIENGSAK KAEWKULCHAI, Ph.D.

KEYWORDS : PRECAST CONCRETE BEAM / WET JOINT / CONNECTION

This research's objective is to study behavior and failure mode of wet joint connections of precast reinforced concrete beams, having various reinforcement detailing. Two cases of joint samples were tested. The first case of joint samples is to determine the most suitable tension bar detailing having efficiency compatible to the welding connection joint. For the second case, the best steel detailing is studied further.

From the first test results, it was found that for the beam having tension bars joined by 90-degree hook at each end with C-shape DB12 mm crossing at the corner of hook, the flexural strength can be developed close to that of welding connection joint. In addition, it was found from the second test results that when using larger amount of cross bars the flexural capacity tends to be higher.

## สารบัญ

	หน้า
<b>กิตติกรรมประกาศ</b>	<b>ก</b>
<b>บทคัดย่อภาษาไทย</b>	<b>ข</b>
<b>บทคัดย่อภาษาอังกฤษ</b>	<b>ค</b>
<b>สารบัญ</b>	<b>ง</b>
<b>สารบัญตาราง</b>	<b>ฉ</b>
<b>สารบัญภาพ</b>	<b>ช</b>
<b>บทที่</b>	

### 1 บทนำ

1.1 ความเป็นมาและความสำคัญของงานวิจัย	1
1.2 วัตถุประสงค์	2
1.3 ขอบเขต	2
1.4 วิธีการศึกษา	3
1.5 องค์ประกอบของวิทยานิพนธ์	3

### 2 ทฤษฎีและงานวิจัยที่เกี่ยวข้อง

2.1 บทนำ	4
2.2 ระบบโครงสร้างชิ้นส่วนสำเร็จรูป	4
2.3 ลักษณะของรอยต่อในการก่อสร้างระบบสำเร็จรูป	8
2.4 การส่งผ่านแรงที่กระทำระหว่างรอยต่อ	10
2.5 ขั้นตอนการก่อสร้างอาคารระบบชิ้นส่วนสำเร็จรูป	11
2.6 ข้อดีและข้อจำกัดการก่อสร้างที่ใช้ระบบชิ้นส่วนคอนกรีตสำเร็จรูป	12
2.7 คอนกรีตเสริมเหล็ก	14
2.8 คานคอนกรีตเสริมเหล็ก	19
2.9 ทฤษฎีการออกแบบคอนกรีตเสริมเหล็ก	26
2.10 ผลงานวิจัยที่ผ่านมา	35
2.11 สรุป	37

## สารบัญ (ต่อ)

	หน้า
<b>3 วิธีดำเนินงานวิจัย</b>	
3.1 บทนำ	38
3.2 วัสดุทดสอบ	38
3.3 เครื่องมือและอุปกรณ์	39
3.4 รายละเอียดตัวอย่างทดสอบ	40
3.5 การทดสอบตัวอย่าง	52
3.6 การเก็บข้อมูล	54
<b>4 ผลการวิจัยและอภิปรายผล</b>	
4.1 บทนำ	55
4.2 กำลังของวัสดุ	55
4.3 ผลการทดสอบ	56
4.4 สรุป	85
<b>5 สรุปผลการวิจัยและข้อเสนอแนะ</b>	
5.1 สรุป	86
5.2 ข้อเสนอแนะ	88
<b>เอกสารอ้างอิง</b>	<b>89</b>
<b>ภาคผนวก</b>	
ก ตารางแสดงข้อมูลผลการทดสอบวัสดุที่ใช้ในงานวิจัย	93
ข รายการคำนวนออกแบบและวิเคราะห์หน้าตัดตัวอย่างทดสอบ	97
ค ผลการทดสอบ	111
<b>ประวัติผู้วิจัย</b>	<b>137</b>

## สารบัญตาราง

ตารางที่	หน้า
2.1 ขนาดเส้นผ่านศูนย์กลางภายในที่เล็กที่สุด	15
2.2 ตัวคูณประกอบสำหรับปรับระดับ $I_{db}$ เมื่อเหล็กข้ออ้อบรับแรงดึง	17
3.1 ขนาดคานและลักษณะการต่อเชื่อมของรอยต่อแบบเปียก (ชุดทดสอบที่ 1)	41
3.2 ขนาดคานและลักษณะการต่อเชื่อมของรอยต่อแบบเปียก (ชุดทดสอบที่ 2)	45
4.1 คุณสมบัติทางกลของวัสดุที่ใช้ในงานวิจัย	56
4.2 ผลการทดสอบกำลังต้านทานแรงดัดสูงสุดของรอยต่อคานสำเร็จรูปแบบเปียก	56
4.3 ค่าประสิทธิภาพกำลังรับ荷重เม็นต์คัคของตัวอย่างทดสอบ	72
4.4 ผลการทดสอบกำลังต้านทานแรงดัดสูงสุดของรอยต่อคานสำเร็จรูปแบบเปียก	73
4.5 ค่าประสิทธิภาพกำลังรับ荷重เม็นต์คัคของตัวอย่างทดสอบ	83
ก.1 ผลการทดสอบกำลังอัคคอนกรีตรูปทรงกระบอกสำหรับคานตัวอย่างทดสอบที่ 1 (คานตัวอย่าง B1-B7)	94
ก.2 ผลการทดสอบกำลังอัคคอนกรีตรูปทรงกระบอกสำหรับคานตัวอย่างทดสอบที่ 2 (คานตัวอย่าง B4-A ถึง B4-E)	94
ก.3 ผลการทดสอบแรงดึงของเหล็กตามยาวขนาด RB6 ชั้นคุณภาพ SR24	95
ก.4 ผลการทดสอบแรงดึงของเหล็กตามยาวขนาด RB9 ชั้นคุณภาพ SR24	95
ก.5 ผลการทดสอบแรงดึงของเหล็กตามยาวขนาด DB12 ชั้นคุณภาพ SD40	96
ก.6 ผลการทดสอบแรงดึงของเหล็กตามยาวขนาด DB16 ชั้นคุณภาพ SD40	96
ค.1 ผลการทดสอบกำลังรับ荷重เม็นต์คัคคานตัวอย่าง B1	112
ค.2 ผลการทดสอบกำลังรับ荷重เม็นต์คัคคานตัวอย่าง B2	114
ค.3 ผลการทดสอบกำลังรับ荷重เม็นต์คัคคานตัวอย่าง B3	116
ค.4 ผลการทดสอบกำลังรับ荷重เม็นต์คัคคานตัวอย่าง B4	118
ค.5 ผลการทดสอบกำลังรับ荷重เม็นต์คัคคานตัวอย่าง B5	120
ค.6 ผลการทดสอบกำลังรับ荷重เม็นต์คัคคานตัวอย่าง B6	122
ค.7 ผลการทดสอบกำลังรับ荷重เม็นต์คัคคานตัวอย่าง B7	124
ค.8 ผลการทดสอบกำลังรับ荷重เม็นต์คัคคานตัวอย่าง B4-A	127
ค.9 ผลการทดสอบกำลังรับ荷重เม็นต์คัคคานตัวอย่าง B4-B	129

## สารบัญตาราง (ต่อ)

ตารางที่	หน้า
ค.10 ผลการทดสอบกำลังรับ荷重 men ต่ำด้านตัวอย่าง B4-C	131
ค.11 ผลการทดสอบกำลังรับ荷重 men ต่ำด้านตัวอย่าง B4-D	133
ค.12 ผลการทดสอบกำลังรับ荷重 men ต่ำด้านตัวอย่าง B4-E	135

## สารบัญภาพ

ภาพที่	หน้า
2.1 โครงสร้างระบบเสาและคาน	5
2.2 โครงสร้างระบบเสาและแผ่นพื้น	6
2.3 โครงสร้างระบบผนังรับน้ำหนักสำเร็จรูป	7
2.4 โครงสร้างระบบกล่อง	8
2.5 รอยต่อแบบเปียก	9
2.6 รอยต่อแบบแห้ง	9
2.7 ของมาตรฐานสำหรับเหล็กเสริมเอก	15
2.8 ของมาตรฐานสำหรับเหล็กถูกตั้งและเหล็กปลอก	16
2.9 การกระจายของหน่วยแรงในเหล็กต่อท่อน	19
2.10 พฤติกรรมของคนคอนกรีตเสริมเหล็กภายในตัวน้ำหนักบรรทุก	21
2.11 ความสัมพันธ์ระหว่างน้ำหนักบรรทุกกับการโถ่ตัวของคนคอนกรีตเสริมเหล็ก	24
2.12 แนวของหน่วยแรงหลักในคาน	25
2.13 ความสัมพันธ์ระหว่างหน่วยแรงกับหน่วยการยึดหดตัวของเหล็กเสริม	28
2.14 หน่วยแรงอัดสมมูลของ WHITNEY	29
3.1 เครื่องมือและอุปกรณ์	40
3.2 ลักษณะคนคอนกรีตเสริมเหล็กสำเร็จรูปที่ประกอบกันโดยใช้รอยต่อแบบเปียก	41
3.3 รายละเอียดแบบคานสำเร็จรูป B1	42
3.4 รายละเอียดแบบคานสำเร็จรูป B2	42
3.5 รายละเอียดแบบคานสำเร็จรูป B3	43
3.6 รายละเอียดแบบคานสำเร็จรูป B4	43
3.7 รายละเอียดแบบคานสำเร็จรูป B5	44
3.8 รายละเอียดแบบคานสำเร็จรูป B6	44
3.9 รายละเอียดแบบคานสำเร็จรูป B7	45
3.10 รายละเอียดแบบคานสำเร็จรูป B4-A	46
3.11 รายละเอียดแบบคานสำเร็จรูป B4-B	46
3.12 รายละเอียดแบบคานสำเร็จรูป B4-C	47

## สารบัญภาพ (ต่อ)

ภาพที่	หน้า
3.13 รายละเอียดแบบคานสำเร็จรูป B4-D	47
3.14 รายละเอียดแบบคานสำเร็จรูป B4-E	48
3.15 ผูกเหล็กเสริมของคานตัวอย่าง	48
3.16 ติดตั้งมาตรฐานความเครียด (STRAIN GAGE)	49
3.17 เตรียมตัวอย่างคานคอนกรีตสำเร็จรูป	49
3.18 เตรียมตัวอย่างคานคอนกรีตเทบบริเวณรอยต่อ	50
3.19 บริเวณของรอยต่อแบบเปียกก่อนและหลังการเทคอนกรีต	50
3.20 ทดสอบกำลังอัดคอนกรีต	51
3.21 ทดสอบกำลังแรงดึงของเหล็กที่ใช้ในตัวอย่างทดสอบ	52
3.22 ติดตั้งคานตัวอย่าง	53
3.23 ดำเนินการให้น้ำหนักบรรทุก, พั้งแรงเฉือนและโน้มเนนตัดที่เกิดขึ้น	53
4.1 ลักษณะคานก่อนการวินิจฉัยและหลังการวินิจฉัยของคานตัวอย่าง B1	57
4.2 ความสัมพันธ์ระหว่างน้ำหนักบรรทุกกับค่าการแอล์ตัวที่กึ่งกลางของคานตัวอย่าง B1	59
4.3 ลักษณะคานก่อนการวินิจฉัยและหลังการวินิจฉัยของคานตัวอย่าง B2	60
4.4 ความสัมพันธ์ระหว่างน้ำหนักบรรทุกกับค่าการแอล์ตัวที่กึ่งกลางของคานตัวอย่าง B2	61
4.5 ลักษณะคานก่อนการวินิจฉัยและหลังการวินิจฉัยของคานตัวอย่าง B3	62
4.6 ความสัมพันธ์ระหว่างน้ำหนักบรรทุกกับค่าการแอล์ตัวที่กึ่งกลางของคานตัวอย่าง B3	63
4.7 ลักษณะคานก่อนการวินิจฉัยและหลังการวินิจฉัยของคานตัวอย่าง B4	64
4.8 ความสัมพันธ์ระหว่างน้ำหนักบรรทุกกับค่าการแอล์ตัวที่กึ่งกลางของคานตัวอย่าง B4	65
4.9 ลักษณะคานก่อนการวินิจฉัยและหลังการวินิจฉัยของคานตัวอย่าง B5	66
4.10 ความสัมพันธ์ระหว่างน้ำหนักบรรทุกกับค่าการแอล์ตัวที่กึ่งกลางของคานตัวอย่าง B5	67
4.11 ลักษณะคานก่อนการวินิจฉัยและหลังการวินิจฉัยของคานตัวอย่าง B6	68
4.12 ความสัมพันธ์ระหว่างน้ำหนักบรรทุกกับค่าการแอล์ตัวที่กึ่งกลางของคานตัวอย่าง B6	69
4.13 ลักษณะคานก่อนการวินิจฉัยและหลังการวินิจฉัยของคานตัวอย่าง B7	70
4.14 ความสัมพันธ์ระหว่างน้ำหนักบรรทุกกับค่าการแอล์ตัวที่กึ่งกลางของคานตัวอย่าง B7	71

## สารบัญภาพ (ต่อ)

ภาพที่	หน้า
4.15 ความสัมพันธ์ระหว่างน้ำหนักบรรทุกับค่าการแอล์ตัวที่กึ่งกลางของคานตัวอย่างทั้งเจ็ดตัวอย่าง (ชุดทดสอบที่หนึ่ง)	71
4.16 ลักษณะคานก่อนการวินิจฉัยและหลังการวินิจฉัยของคานตัวอย่าง B4-A	74
4.17 ความสัมพันธ์ระหว่างน้ำหนักบรรทุกับค่าการแอล์ตัวที่กึ่งกลางคานตัวอย่าง B4-A	75
4.18 ลักษณะคานก่อนการวินิจฉัยและหลังการวินิจฉัยของคานตัวอย่าง B4-B	76
4.19 ความสัมพันธ์ระหว่างน้ำหนักบรรทุกับค่าการแல์ตัวที่กึ่งกลางคานตัวอย่าง B4-B	77
4.20 ลักษณะคานก่อนการวินิจฉัยและหลังการวินิจฉัยของคานตัวอย่าง B4-C	78
4.21 ความสัมพันธ์ระหว่างน้ำหนักบรรทุกับค่าการแอล์ตัวที่กึ่งกลางคานตัวอย่าง B4-C	79
4.22 ลักษณะคานก่อนการวินิจฉัยและหลังการวินิจฉัยของคานตัวอย่าง B4-D	80
4.23 ความสัมพันธ์ระหว่างน้ำหนักบรรทุกับค่าการแอล์ตัวที่กึ่งกลางคานตัวอย่าง B4-D	81
4.24 ลักษณะคานก่อนการวินิจฉัยและหลังการวินิจฉัยของคานตัวอย่าง B4-E	82
4.25 ความสัมพันธ์ระหว่างน้ำหนักบรรทุกับค่าการแอล์ตัวที่กึ่งกลางคานตัวอย่าง B4-E	83
4.26 ความสัมพันธ์ระหว่างน้ำหนักบรรทุกับค่าการแอล์ตัวที่กึ่งกลางของคานตัวอย่างทั้งห้าตัวอย่าง (ชุดทดสอบที่สอง)	84
4.27 อิทธิพลของปริมาณร้อยละเหล็กเสริมตามขวางต่อปริมาณเหล็กเสริมตามยาวที่มีผลต่อการรับแรงของคานตัวอย่าง	84
ค.1 ความสัมพันธ์ระหว่างน้ำหนักบรรทุกับค่าความเครียดของเหล็กเสริมรับแรงดึงคานตัวอย่าง B1	113
ค.2 ความสัมพันธ์ระหว่างน้ำหนักบรรทุกับค่าความเครียดของเหล็กเสริมรับแรงดึงคานตัวอย่าง B2	116
ค.3 ความสัมพันธ์ระหว่างน้ำหนักบรรทุกับค่าความเครียดของเหล็กเสริมรับแรงดึงคานตัวอย่าง B3	117
ค.4 ความสัมพันธ์ระหว่างน้ำหนักบรรทุกับค่าความเครียดของเหล็กเสริมรับแรงดึงคานตัวอย่าง B4	120
ค.5 ความสัมพันธ์ระหว่างน้ำหนักบรรทุกับค่าความเครียดของเหล็กเสริมรับแรงดึงคานตัวอย่าง B5	122

## สารบัญภาพ (ต่อ)

ภาพที่	หน้า
ค.6 ความสัมพันธ์ระหว่างน้ำหนักบรรทุกับค่าความเครียดของเหล็กเสริมรับแรงดึง งานตัวอย่าง B6	124
ค.7 ความสัมพันธ์ระหว่างน้ำหนักบรรทุกับค่าความเครียดของเหล็กเสริมรับแรงดึง งานตัวอย่าง B7	126
ค.8 ความสัมพันธ์ระหว่างน้ำหนักบรรทุกับค่าความเครียดของเหล็กเสริมรับแรงดึง งานตัวอย่าง B4-A	128
ค.9 ความสัมพันธ์ระหว่างน้ำหนักบรรทุกับค่าความเครียดของเหล็กเสริมรับแรงดึง งานตัวอย่าง B4-B	130
ค.10 ความสัมพันธ์ระหว่างน้ำหนักบรรทุกับค่าความเครียดของเหล็กเสริมรับแรงดึง งานตัวอย่าง B4-C	132
ค.11 ความสัมพันธ์ระหว่างน้ำหนักบรรทุกับค่าความเครียดของเหล็กเสริมรับแรงดึง งานตัวอย่าง B4-D	134
ค.12 ความสัมพันธ์ระหว่างน้ำหนักบรรทุกับค่าความเครียดของเหล็กเสริมรับแรงดึง งานตัวอย่าง B4-E	136

## บทที่ 1

### บทนำ

#### 1.1 ความเป็นมาและความสำคัญของงานวิจัย

ปัจจุบันระบบการก่อสร้างบ้านสำเร็จรูป (Precast concrete) เป็นทางเลือกหนึ่งที่กำลังได้รับความสนใจจากผู้ประกอบการด้วยเหตุผลหลักคือ การใช้ระบบการก่อสร้างดังกล่าว ในแง่ของผู้ประกอบการ ที่ทำการก่อสร้างเป็นจำนวนหลายยูนิต สามารถประยัดต้นทุนในการก่อสร้างของโครงการได้มากกว่าระบบการก่อสร้างแบบหล่อในที่ (Cast-in-place) จำนวนแรงงานที่ใช้ก่อสร้างน้อยลง ลดขั้นตอนการติดตั้งคำยัน การติดตั้งแบบหล่อ การผูกเหล็ก การเทคอนกรีต และการบ่มคอนกรีต ขณะที่คุณภาพของโครงสร้างนั้น มีกระบวนการควบคุมคุณภาพ และขั้นตอนการผลิตที่ได้มาตรฐานจากโรงงานผลิต แล้วนำมาประกอบติดตั้ง ณ สถานที่ก่อสร้าง แต่ปัจจุบันในการก่อสร้างอาคารที่ประกอบขึ้นมาจากชิ้นส่วนสำเร็จรูป คือบริเวณรอยต่อ (Joint connection) ซึ่งเกิดความไม่ต่อเนื่องของเหล็กเสริมและคอนกรีต ความยาวของระยะทางเหล็กเสริมที่ไม่เพียงพอ ทำให้พุตติกรรมการรับน้ำหนักและโมเมนต์ดัดของรอยต่อลดลง ส่งผลให้ความปลอดภัยในการใช้อาคารลดน้อยลง ดังนั้นส่วนสำคัญที่ผู้ออกแบบและวิศวกรจะต้องใช้คุณลักษณะในการออกแบบให้มากที่สุด คือ การออกแบบรอยต่อของโครงสร้าง ซึ่งปัจจุบันพบว่าการออกแบบรอยต่อของโครงสร้างในระบบสำเร็จรูปมีอยู่สามแบบ ได้แก่ รอยต่อแบบเปียก (Wet joint) รอยต่อแบบแห้ง (Dry joint) และรอยต่อแบบอัดแรงภายหลัง (Post-tensioned joint) ในส่วนของงานวิจัยนี้จะทำการศึกษาเกี่ยวกับรอยต่อคานคอนกรีตสำเร็จรูปแบบเปียก ซึ่งที่พบเห็นโดยทั่วไปการออกแบบเหล็กเสริมเพื่อให้เกิดความต่อเนื่องตรงบริเวณรอยต่อแบบเปียกนั้น มักนิยมใช้วิธีการเชื่อมทابน หรือเชื่อมทับเหล็กเสริม นั้นถือว่ามีประสิทธิภาพเป็นที่ยอมรับในการก่อสร้าง แต่เมื่อมีปริมาณเหล็กเสริมจำนวนมาก บวกกับความจำกัดของขนาดรอยต่อ ทำให้การเชื่อมทับนั้นมีความยากลำบากต่อการทำงาน อาจทำให้ความสามารถในการเชื่อมลดลง ส่งผลให้การรับแรงของคานมีประสิทธิภาพต่ำลง อีกทั้งวิธีการเชื่อมทับนั้นอาจจะต้องใช้ระยะเวลาและสิ้นเปลืองค่าใช้จ่ายในการทำงานต่อจุดรอยต่อมากพอสมควร ความไม่สะอดตรงบริเวณรอยต่อหลังการเชื่อม ส่งผลต่อคุณภาพของคอนกรีต

ดังนั้นงานวิจัยนี้จึงมุ่งเน้นที่จะศึกษาพัฒนาระบบและลักษณะการวิบัติของรอยต่อแบบเปียกสำหรับคานคอนกรีตเสริมเหล็กสำเร็จรูปภายใต้การดัด โดยทำการศึกษารายละเอียดเหล็กเสริมของรอยต่อแบบเปียกในรูปแบบต่างๆ สร้างแบบจำลองลักษณะรอยต่อแบบเปียกและวิเคราะห์ว่างสถาบัน

งาน โดยมีขนาดรอยต่อของบ้านพักอาศัยขนาดเล็กทั่วไปเป็นตัวแทนในการศึกษา ให้มีความสามารถในการต้านทานไมเมนต์ดัดที่เกิดขึ้นพร้อมกับลดการเสื่อมทางเหล็กเสริมต้านทาน ไมเมนต์ดัดให้น้อยลง เพื่อให้ผู้ประกอบการและผู้รับเหมาประหยัดค่าใช้จ่ายและลดระยะเวลาทำงานในการเชื่อมทางลง ปรับปรุงรูปแบบของรอยต่อแบบเปียกให้มีการทำงานที่ง่ายขึ้นและสะดวกกว่าเดิม เพื่อนำไปพัฒนาและประยุกต์ใช้กับงานก่อสร้างจริง ทำให้เกิดความมั่นใจในประสิทธิภาพของโครงสร้างระบบชั้นส่วนคอนกรีตสำเร็จรูป ทั้งในขณะก่อสร้างและขณะใช้งาน

## 1.2 วัสดุประสงค์

วิทยานิพนธ์ฉบับนี้ได้ทำการศึกษาการทดสอบประสิทธิภาพของรอยต่อแบบเปียก สำหรับงานก่อสร้างชั้นส่วนคอนกรีตสำเร็จรูปที่มีรายละเอียดเหล็กเสริมต่างๆ โดยมีวัสดุประสงค์หลัก ดังต่อไปนี้

1.2.1 เพื่อทราบถึงพฤติกรรมและลักษณะการวิบัติของรอยต่อแบบเปียกสำหรับงาน ก่อสร้างชั้นส่วนคอนกรีตสำเร็จรูป ภายใต้การตัดที่มีรายละเอียดของเหล็กเสริมบริเวณรอยต่อที่แตกต่างกัน

1.2.2 เพื่อทดสอบประสิทธิภาพของรอยต่อแบบเปียกสำหรับงานก่อสร้างชั้นส่วนคอนกรีตสำเร็จรูป ที่ได้จากการศึกษาในวัสดุประสงค์ข้อที่ 1.2.1

## 1.3 ขอบเขต

จากวัสดุประสงค์หลักในการศึกษาการทดสอบประสิทธิภาพของรอยต่อแบบเปียก สำหรับงานก่อสร้างชั้นส่วนคอนกรีตสำเร็จรูปที่มีรายละเอียดเหล็กเสริมต่างๆ ที่ได้กล่าวมาแล้วนั้น จึงกำหนดขอบเขตของการศึกษาไว้ดังนี้

1.3.1 ศึกษาเฉพาะพฤติกรรมรอยต่อแบบเปียก (Wet joint) ของงานก่อสร้างชั้นส่วนคอนกรีตสำเร็จรูปเท่านั้น

1.3.2 ศึกษางานก่อสร้างชั้นส่วนคอนกรีตสำเร็จรูปเหล็กเสริมเฉพาะเหล็กรับแรงดึงเท่านั้น

1.3.3 ใช้ขนาดและรายละเอียดของเหล็กเสริมของงานก่อสร้างชั้นส่วนคอนกรีตสำเร็จรูปเหล็กของอาคารที่ พักอาศัยขนาดเล็กทั่วไปเป็นตัวแทนในการศึกษา โดยใช้คานขนาดหน้าตัด  $0.20 \text{ เมตร} \times 0.40 \text{ เมตร}$

1.3.4 รอยต่อคานแบบเปียกมีความยาว  $0.25 \text{ เมตร}$  และ  $0.35 \text{ เมตร}$

1.3.5 ค่ากำลังอัดประดับของคอนกรีตประมาณ  $240 \text{ กิโลกรัมต่อตารางเซนติเมตร}$

1.3.6 ออกแบบตัวอย่างงานก่อสร้างชั้นส่วนคอนกรีตสำเร็จรูปเหล็กโดยวิธีกำลัง

1.3.7 ชั้นคุณภาพเหล็กเสริม SR24 สำหรับเหล็กกลม และ SD40 สำหรับเหล็กข้ออ้อย

1.3.8 ใช้การบ่มคอนกรีตในสภาพอากาศปกติ

#### 1.4 วิธีการศึกษา

ลำดับขั้นตอนในการศึกษาการทดสอบประสิทธิภาพของรอยต่อแบบเปียกสำหรับงานคอนกรีตเสริมเหล็กสำเร็จรูปที่มีรายละเอียดเหล็กเสริมต่างๆ เพื่อให้ได้ข้อมูลที่ถูกต้องจึงได้กำหนดขั้นตอนในการศึกษาไว้ดังนี้

1.4.1 ศึกษาขั้นตอนการสร้างองค์ประกอบในระบบคอนกรีตสำเร็จรูป

1.4.2 ศึกษาและรวบรวมข้อมูลเกี่ยวกับงานคอนกรีตสำเร็จรูปและรอยต่อตามแบบเปียก

1.4.3 ศึกษาพฤติกรรมการรับน้ำหนักบริเวณรอยต่อแบบเปียกของงานคอนกรีตเสริมเหล็กสำเร็จรูป โดยการทดสอบกำลังต้านทานโน้ม-men's

1.4.4 วิเคราะห์ผลการทดสอบ

1.4.5 สรุปและอธิบายผลการศึกษา

#### 1.5 องค์ประกอบของวิทยานิพนธ์

องค์ประกอบของวิทยานิพนธ์เรื่อง “การทดสอบประสิทธิภาพของรอยต่อแบบเปียกสำหรับงานคอนกรีตเสริมเหล็กสำเร็จรูปที่มีรายละเอียดเหล็กเสริมต่างๆ” นอกจากบทที่ 1 บทนำ ซึ่งกล่าวถึงความเป็นมาและความสำคัญ วัตถุประสงค์ และขอบเขตการศึกษา เนื้อหาของวิทยานิพนธ์ยังประกอบด้วย บทที่ 2 ทฤษฎีและงานวิจัยที่เกี่ยวข้อง, บทที่ 3 วิธีการดำเนินงานวิจัย, บทที่ 4 ผลและการวิเคราะห์ผลทดสอบ และบทที่ 5 สรุปผลการวิจัยและข้อเสนอแนะ ซึ่งได้นำเสนอในวิทยานิพนธ์นี้ตามลำดับ

## บทที่ 2

### ทฤษฎี

#### 2.1 บทนำ

ในบทนี้จะกล่าวถึงระบบโครงสร้างชิ้นส่วนสำเร็จรูป ลักษณะของต่อในการก่อสร้าง ระบบชิ้นส่วนสำเร็จรูป การส่งผ่านแรงของรอยต่อ ขั้นตอนการก่อสร้างระบบชิ้นส่วนสำเร็จรูป ข้อดีและข้อจำกัดของระบบสำเร็จรูป พฤติกรรมของโมเมนต์คัดและแรงเฉือน ทฤษฎีและข้อกำหนดมาตรฐานทั่วไปเกี่ยวกับการออกแบบโครงสร้างคอนกรีตเสริมเหล็กและงานวิจัยที่เกี่ยวข้อง

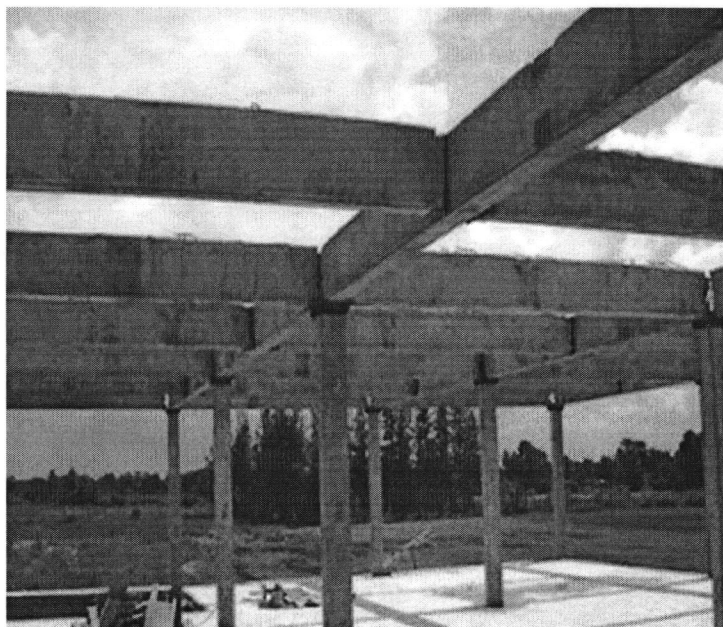
#### 2.2 ระบบโครงสร้างชิ้นส่วนสำเร็จรูป

ระบบโครงสร้างชิ้นส่วนสำเร็จรูปแบบต่าง ๆ ในปัจจุบันได้มีการจดทะเบียนลิขสิทธิ์ไว้ในประเทศต่าง ๆ มากมายหลายระบบ ส่วนใหญ่เป็นระบบ ที่พัฒนาขึ้นในประเทศญี่ปุ่น ตะวันออก ระบบเหล่านี้สามารถแบ่งได้หลายลักษณะ (ไตรรัตน์ จากรักศน์, 2542) เช่น แบ่งตามชนิดของโครงสร้าง แบ่งตามชนิดของวัสดุที่เลือกใช้ แบ่งตามรูปแบบของชิ้นส่วนที่ประกอบกัน แบ่งตามลักษณะการก่อสร้าง สำหรับวิทยานิพนธ์ฉบับนี้ ได้ทำการศึกษาและกล่าวถึงเฉพาะระบบโครงสร้างชิ้นส่วนสำเร็จรูปที่แบ่งตามชนิดของโครงสร้าง ซึ่งสามารถสรุปได้ดังนี้ (จุติ ไคร์ครวุฒิ, 2551)

##### 2.2.1 ระบบเสาและคาน (Skeleton Frame or Column and Beam)

ระบบนี้คือระบบโครงสร้างที่รู้จักและใช้กันอย่างแพร่หลายจนเกือบจะเป็นระบบเดียวที่ใช้กันในประเทศไทย ระบบเสาและคานนิยมใช้สำหรับอาคารที่ไม่สามารถใช้ระบบแผ่นรับน้ำหนักได้ เมื่อจากความจำเป็นทางด้านการใช้สอยที่ต้องการเปิดเนื้อที่ให้ผ่านถึงกันได้ตลอด เช่น อาคารโรงงาน สำนักงาน โรงเรียน เป็นต้น

หลักการ โครงสร้างแบบเสาและคาน ก็คือ การรับน้ำหนักจากพื้นลงสู่คาน จากคานลงสู่เสา โดยโครงสร้างระบบนี้จะแตกต่างจากโครงสร้างแบบหล่อคอนกรีตในที่ ในการผลิตที่เสา และคาน เป็นแบบหล่อสำเร็จรูปแล้วนำมาประกอบกัน ยังมีความแตกต่างจากระบบหล่อในที่อีก ประการหนึ่ง คือ โครงสร้างระบบเสาและคาน สำเร็จรูปมักจะมีแนวคานสำเร็จอยู่เพียงแนวเดียว หนึ่งเท่านั้น ไม่มีคานที่วิ่งเข้าสู่เสาทั้งสี่ด้านเหมือนกับการหล่อในที่ เพราะจะทำให้เกิดความยุ่งยาก ในการผลิตและการติดตั้งขึ้น ส่วนสำเร็จเป็นอย่างมาก ดังนั้นในระบบสำเร็จรูปจึงมีคานเฉพาะในแนวที่รับน้ำหนักจากแผ่นพื้นเท่านั้น ส่วนในอีกแนวหนึ่งซึ่งไม่มีคานยึดนั้นจะถูกยึดโดยแผ่นพื้น หรือผนัง



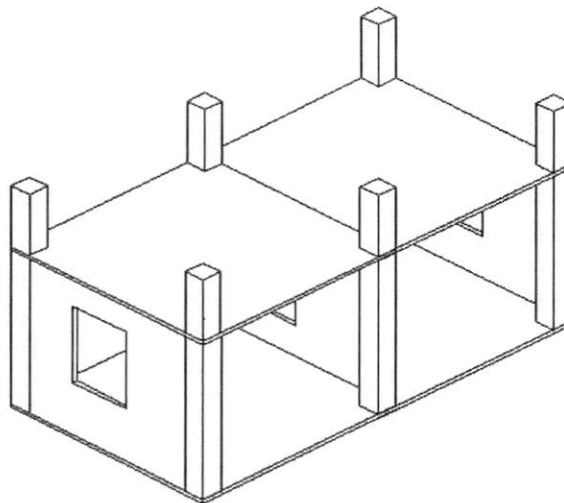
ภาพที่ 2.1 โครงสร้างระบบเสาและคาน (Akehabara, 2008)

ข้อดีของระบบนี้ คือ ขนาดของชิ้นส่วนต่าง ๆ มีขนาดเล็ก น้ำหนักเบา ทำให้ขนย้าย สะดวก อาจใช้อุปกรณ์ยกที่มีขนาดเล็กทำให้การขนส่งมีความสะดวกมากขึ้น

ข้อเสียของระบบนี้อยู่ตรงที่ จำนวนรอยต่อของชิ้นส่วนมีเพิ่มมากขึ้น ทำให้เสียเวลา สำหรับงานติดตั้งเพิ่มขึ้น จะต้องออกแบบรอยต่อขึ้นเป็นพิเศษที่จะให้โครงสร้างที่ต่อกันแล้วเกิด ความต่อเนื่องและความแข็งแกร่งและรอยต่อนั้นจะต้องสามารถทำงานได้ง่ายและรวดเร็ว การกำหนดจุดที่มีการต่อ กันให้น้อยลง ออกแบบชิ้นส่วนบางชิ้นให้ต่อเนื่องกันเป็นชิ้นเดียวจากโรงงาน เลือกกำหนดตำแหน่งจุดต่อที่จะทำงาน ได้สะดวก เป็นต้น

### 2.2.2 ระบบเสาและแผ่นพื้น (Beamless Skeleton System)

ระบบโครงสร้างชนิดนี้แผ่นพื้นจะถูกนำไปวางบนเสาโดยตรง โดยไม่มีคานรองรับ เช่นเดียวกับโครงสร้างประเภทแผ่นพื้นสำเร็จรูป เสาจะต้องวางห่างกันไม่เกินขนาดของแผ่นพื้นสำเร็จรูปที่จะวางบนเสาทั้งสี่ ได้ ตามหลักการแล้วแผ่นพื้นที่จะสามารถถ่วงอยู่บนปลายของเสาเพียงเล็กๆ จึงต้องการความหนาและปริมาณเหล็กในคอนกรีตมากเป็นพิเศษกว่าแผ่นพื้นชนิดอื่นๆ แต่จะได้ประโยชน์ในด้านความสะดวกรวดเร็วในการประกอบและติดตั้ง เนื่องจากสามารถตัดองค์ประกอบของโครงสร้างที่สำคัญไปได้ทันที ส่วนน้ำหนักของคาน โดยจะมีพื้นที่ๆ จะถูกใช้ให้ทำหน้าที่แทนคานเพื่อยึดเสาให้เป็นโครงสร้างต่อเนื่องทั้งอาคาร โครงสร้างแบบนี้ควรที่จะมีการคำนวณต้านทานแรงลมเป็นพิเศษหรือต้องการให้มีผนังคอนกรีตเพื่อรับแรงลมรวมอยู่ในโครงสร้างด้วย

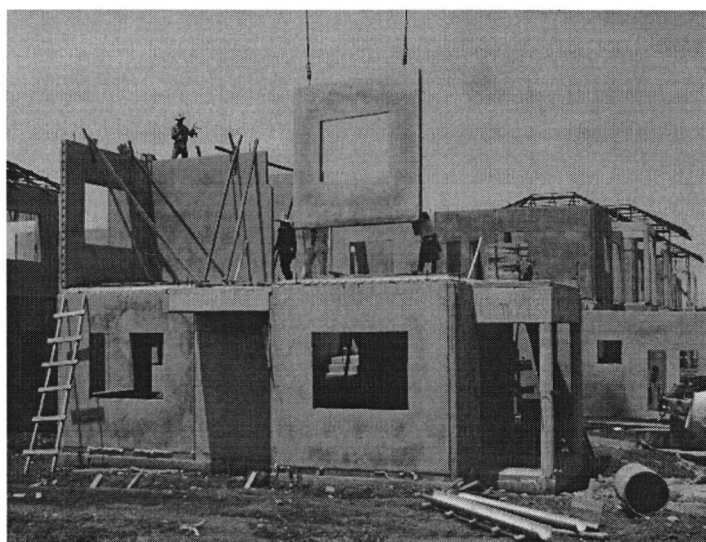


ภาพที่ 2.2 โครงสร้างระบบเสาและแผ่นพื้น

### 2.2.3 ระบบแผ่นผนังรับน้ำหนัก (Panel System)

ระบบนี้เริ่มเป็นที่คุ้นเคยในประเทศไทยมากขึ้น แต่ใช้กันอย่างกว้างในยุโรป การก่อสร้างอาคารที่พกอาศัยและวิธีการก่อสร้าง ทำโดยนำแผ่นสำเร็จรูปขนาดเท่าความสูงของชั้นนำมาติดตั้งบนพื้นสำเร็จรูป หลังจากนั้นก็จะนำแผ่นพื้นสำเร็จรูปวางบนผนัง เช่นนี้เรื่อยๆ ไป ผนังและพื้นในระบบนี้สามารถผลิตได้ง่าย โดยการหล่อ กับแบบที่วางนอนกับพื้น โดยวิธีการหล่อแบบนี้จะสามารถปรับความหนาของแผ่นพื้นได้อย่างสะดวกในแบบหล่อชุดเดียวกัน การผลิตผนังอีกแบบหนึ่งคือ การหล่อในแนวตั้ง วิธีนี้แบบหล่อจะวางตั้งและแผ่นเหล็กกันเป็นช่องๆ ตามความหนาของ

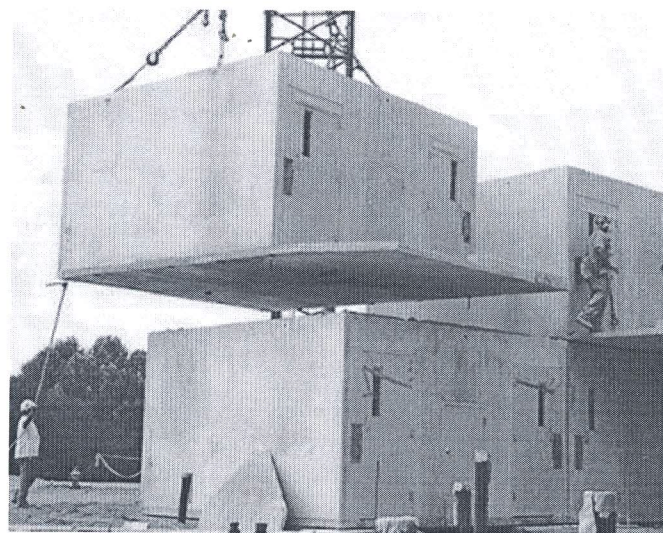
ผนังที่ต้องการ การเทคอนกรีตรังหันนี้จะได้แผ่นผนังครึ่งละจำนวนมากๆ แผ่นผนังเหล่านี้จะเสริมเหล็กตะแกรงสองชั้น มีการฝังท่อเดินสายไฟ ท่อน้ำ ไว้เสร็จก่อนที่จะเทคอนกรีต ผิวของคอนกรีตจะออกมาเรียบ โดยไม่ต้องขุดปูนอีกรัง เมื่อเทคอนกรีตแล้วจะต้องทิ้งระยะเวลาบ่มคอนกรีตเพื่อให้คอนกรีตแข็งตัว ระยะเวลาในการถอดแบบหล่อออกจากการตัดร่อง สามารถเร่งให้เร็วขึ้นได้ โดยการอบด้วยไอน้ำ ซึ่งหลังจาก 24 ชั่วโมง แล้วก็สามารถถอดออกจากรูปแบบได้ สำหรับผนังที่จะต้องเจาะประตูหน้าต่างก็เพียงก้นเป็นแบบช่องเปิด ไว้ท่านั้นในชุดแบบเดิม



**ภาพที่ 2.3 โครงสร้างระบบผนังรับน้ำหนักสำเร็จรูป**

#### 2.2.4 ระบบกล่อง (Box System หรือ Modular System)

ระบบนี้ เป็นระบบที่ประทecรัสเซียได้พัฒนาขึ้นและต่อมาได้ใช้กันอย่างแพร่หลายในโครงการอาคารสูงและตึกหลายชั้น ส่วนต่างๆ จะถูกนำมาประกอบหรือหล่อขึ้นเป็นกล่อง สามมิติ หลักการออกแบบจะใช้แนวความคิดของการออกแบบสถาปัตยกรรมพิถีพิถัน หลัก ในแต่ละโมเดลจะเป็นโครงสร้างที่เสถียรภาพในตนเองขนาดเท่ากับหนึ่งห้อง ซึ่งประกอบด้วยพื้น ผนัง หลังคา หรือเพดานรวมกันเป็นหนึ่งหน่วย อาจมีลักษณะ เช่น เป็นรูปตัว U รูปทรงกล่องสี่เหลี่ยม งานนี้จะมีการตกแต่งภายใน ติดตั้งอุปกรณ์ไฟฟ้า ระบบประปาต่างๆ เสริมเรียบร้อยมากจากโรงงาน และจึงนำไปวางประกอบเรียงกันเป็นชั้นๆ ในบริเวณก่อสร้างได้มากกว่าระบบใดๆ



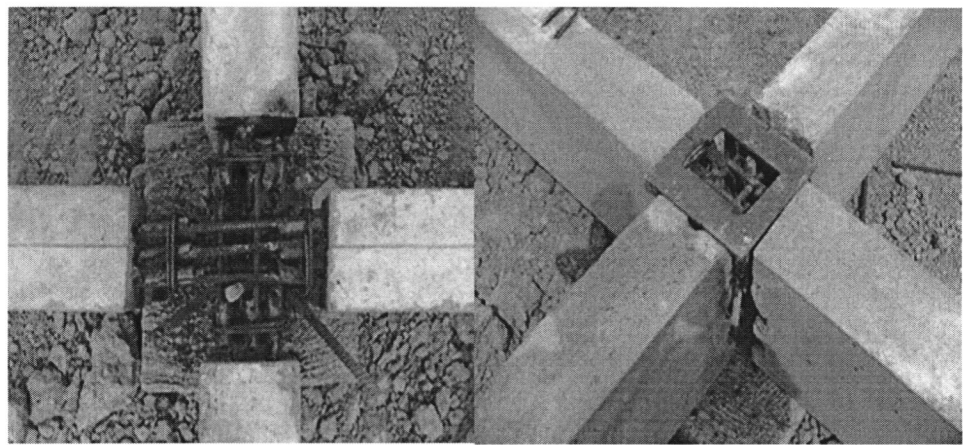
ภาพที่ 2.4 โครงสร้างระบบกล่อง (PCI Design Handbook, 2004)

### 2.3 ลักษณะของรอยต่อในการก่อสร้างระบบสำเร็จรูป

รอยต่อของชิ้นส่วนสำเร็จรูป สำหรับการก่อสร้างระบบชิ้นส่วนสำเร็จรูปมีความสำคัญ ต่อความนิ่งคงแข็งแรงของโครงสร้างอาคาร รอยต่อจะต้องสามารถรับและส่งถ่ายแรงที่เกิดขึ้นได้ ตามสมมตฐานของการออกแบบ จ่ายต่อการติดตั้ง รอยต่อของชิ้นส่วนสำเร็จรูปสามารถแบบได้เป็น สามประเภท ได้แก่ (ณัฐวุฒิ ตนอมพวงศ์, 2549)

#### 2.3.1 รอยต่อแบบเปียก (Wet joint)

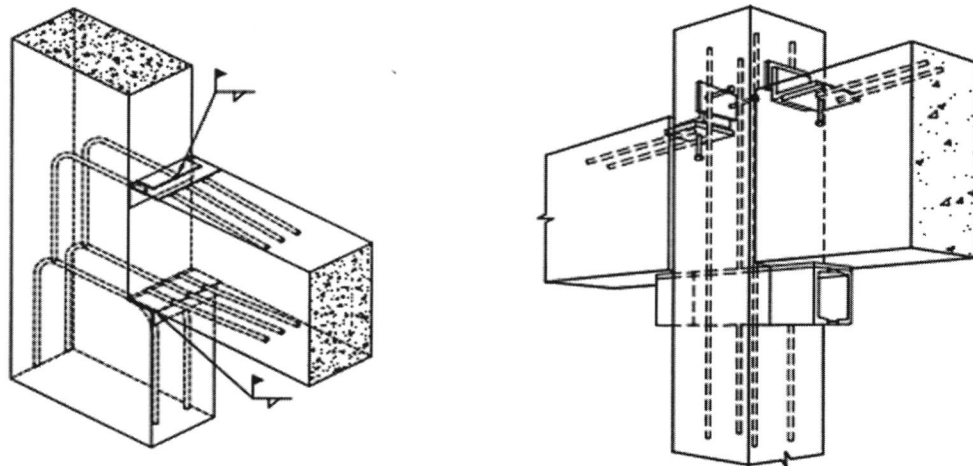
เป็นลักษณะรอยต่อที่เกิดจากการเทกราท (Grouting) ด้วยวัสดุเชื่อมระหว่าง รอยต่อของชิ้นส่วนสำเร็จรูป รอยต่อนี้จะไม่สามารถรับแรงต่างๆ ได้ทันทีต้องรอจนกว่าวัสดุมีความ แข็งแรงตามกำหนด รอยต่อชนิดนี้จะลดปัญหาทางด้านการประกอบชิ้นส่วนสำเร็จรูปเข้าด้วยกัน รอยต่อแบบนี้ได้แก่ รอยต่อแบบการใช้เหล็กโอดเวล-เกราท และแบบเกราท์ระหว่างรอยต่อ (Dry Pack) ดังแสดงตัวอย่างในภาพที่ 2.5



ภาพที่ 2.5 รอยต่อแบบเปียก (Akehabara, 2008)

### 2.3.2 รอยต่อแบบแห้ง (Dry joint)

เป็นลักษณะรอยต่อที่เกิดจากการเชื่อมต่อระหว่างชิ้นส่วนสำเร็จรูปด้วยวัสดุที่สามารถรับแรงได้ทันที ซึ่งรอยต่อจำพวกนี้ได้แก่ การใช้สลักเกลียว (Bolting) และการเชื่อม (Welding) โดยหลังจากการประกอบเสร็จจะทำการปิดรอยต่อด้วยวัสดุปิดหน้าเพื่อป้องกันความชื้น และความเรียบవ้อยของงานด้วยวัสดุจำพวก ปูนราย อิพรอคซ์ วัสดุทากันสนิม อย่างโดยย่างหนึ่ง ตามการออกแบบ ดังแสดงตัวอย่างในภาพที่ 2.6



ภาพที่ 2.6 รอยต่อแบบแห้ง (PCI Design Handbook, 2004)

### 2.3.3 รอยต่อแบบอัดแรงภายหลัง (Post – Tensioned joint)

เป็นลักษณะรอยต่อที่เกิดขึ้นภายในชิ้นส่วนสำเร็จรูปแต่ละชิ้นหรือระหว่างชิ้นส่วนสำเร็จรูป โดยจะใช้เหล็กเสริมอัดแรง (Prestressing Steel) เป็นวัสดุที่ใช้ดึงและยึดปลายของเหล็กเสริมไว้ที่ชิ้นส่วนสำเร็จรูป การดึงจะทำให้หลังจากหล่อชิ้นส่วนสำเร็จรูปหรือหลังจากติดตั้งชิ้นส่วนสำเร็จรูปแล้วเสร็จ สำหรับเหล็กเสริมอัดแรงทั่วไปมีสามชนิด (นรศ พันธาราชร, 2541) คือ ลวดอัดแรง (Prestressing Wire) ลวดเกลียวอัดแรง (Prestressing Stand) และเหล็กเส้นอัดแรง (Prestressing Bar) ซึ่งโดยปกติลวดอัดแรงจะถูกร้อยผ่านท่อและอัดแน่นปูนเข้าในท่อหลังการอัดแรง

## 2.4 การส่งผ่านแรงที่กระทำระหว่างรอยต่อของชิ้นส่วนคอนกรีตสำเร็จรูป

ตามพื้นฐานของการประกอบจุดรอยต่อชิ้นส่วนสำเร็จรูปของโครงสร้างอาคาร ที่ใช้ในการก่อสร้างอาคารสำเร็จรูป ต้องสามารถส่งผ่านแรงที่กระทำระหว่างชิ้นส่วนคอนกรีตสำเร็จรูปของโครงสร้างได้ตามที่ออกแบบ แรงดังกล่าว (นาม โtopicามีกุล, 2540) ประกอบด้วย

### 2.4.1 แรงยัด การส่งผ่านแรงยัดระหว่างชิ้นส่วนสำเร็จรูปสามารถที่จะใช้วิธีดังนี้

2.4.1.1 การส่งผ่านแรงโดยตรง เป็นการถ่ายแรงอัดของชิ้นส่วนสำเร็จรูปที่สัมผัสกันโดยตรง จะไม่มีวัสดุใดกันระหว่างชิ้นส่วนสำเร็จรูป หมายกับจุดที่มีแรงอัดหรือแรงกดไม่มาก

2.4.1.2 การส่งผ่านแรงโดยวัสดุ เป็นการส่งผ่านแรงอัดของชิ้นส่วนสำเร็จรูปโดยมีวัสดุบางอย่างระหว่างชิ้นส่วนสำเร็จรูปและไม่ทำให้ผิวสัมผัสของชิ้นส่วนสำเร็จรูปเสียหาย

### 2.4.2 แรงดึง การส่งผ่านแรงดึงระหว่างชิ้นส่วนสำเร็จรูปสามารถที่จะใช้วิธีดังนี้

2.4.2.1 การทາบเหล็ก เป็นลักษณะที่ใช้กันมาก เป็นการเว้นส่วนที่มีการทາบทองเหล็กโครงสร้างที่ใช้รับแรงดึงและจะหล่อคอนกรีตในที่หลังจากติดตั้งเสร็จ จำนวนและปริมาณจะขึ้นอยู่กับการออกแบบ

2.4.2.2 การใช้สลักเกลียว สามารถใช้ส่งผ่านแรงทั้งแรงดึงหรือแรงเฉือน สลักเกลียวมีลักษณะเป็นแบบเกลียว แบบเสมอ เป็นต้น

2.4.2.3 การเชื่อม ลักษณะเหมือนการเชื่อมทາบทองเหล็ก แต่ใช้ระบบหน้อยกว่าโดยใช้ร้อยเชื่อมแทน

2.4.2.4 การรับแรงดึงภายหลัง เป็นลักษณะจุดรอยต่อที่เกิดขึ้นภายในชิ้นส่วนสำเร็จรูปแต่ละชิ้นส่วนสำเร็จรูป โดยจะใช้ลวดอัดแรงเป็นวัสดุที่ใช้ดึงและยึดปลายของลวดอัดแรงไว้ที่ชิ้นส่วนสำเร็จรูป การดึงจะกระทำภายหลังจากหล่อชิ้นส่วนสำเร็จรูปเสร็จแล้วหรือหลังจากติดตั้งชิ้นส่วนสำเร็จรูปเสร็จแล้ว

2.4.3 แรงเฉือน การส่งผ่านแรงเฉือนระหว่างชิ้นส่วนสำเร็จรูปสามารถที่จะใช้วิธีดังนี้

2.4.3.1 แรงยึดเหนี่ยวระหว่างวัสดุ (Friction bond) เป็นแรงที่เกิดจากผิวของวัสดุสองชนิดขึ้นไป ที่ประกอบหรือแนบกันแล้วก่อให้เกิดความฝืด ความฝืดดังกล่าวจะแข็งแกร่งต้านทานในทิศทางตรงกันข้ามที่สามารถต้านทานแรงเฉือนได้ แรงดังกล่าวจะมากหรือน้อยขึ้นอยู่ กับวัสดุทั้งสองมีผิวที่ฝิดมากน้อยเพียงใด เช่น การใช้เข็มเจาะแล้วเทคโนโลยีตัดแรงลงในหลุมเจาะ ทำให้เกิดแรงยึดเหนี่ยวระหว่างผิวคินกับผิวของเนื้อคอนกรีตตลอดทั้งแนวเสาเข็ม เป็นต้น

2.4.3.2 สลักรับแรงเฉือน (Shear keys) คือ องค์ประกอบในชิ้นส่วนโครงสร้าง เป็นรอยหยักที่เพิ่มเข้าไปบริเวณขอบรอยต่อของชิ้นส่วน ช่วยเพิ่มผลในด้านการเพิ่มแรงเสียดทาน ให้กับชิ้นส่วนโครงสร้างและยังช่วยเสริมความแข็งแรงให้กับโครงสร้างนั้นๆ อีกด้วย และยังทำหน้าที่ในการเพิ่มจุดยึดเหนี่ยวและกำลังในการยึดเหนี่ยวระหว่างคอนกรีตกับวัสดุ ทำให้การยึดเหนี่ยวมีความแข็งแรงมากกว่าปกติ

2.4.3.3 การใช้สลักเกลียวเป็นการทำให้รอยต่อชิ้นส่วนสำเร็จรูปมีความแข็งแรง ได้อีกวิธีหนึ่ง บางวิธีในการออกแบบรอยต่อการใช้สลักเกลียวนั้นจะช่วยให้การก่อสร้างนั้นง่ายและสะดวก สวยงามมากขึ้น ในบางครั้งการใช้สลักเกลียวอาจทำให้รอยต่อดังกล่าวแข็งเกร็งหรือกล้ายเป็นรอยต่อแบบอิสระก็ได้

2.4.3.4 การเชื่อมเป็นวิธีการที่ง่ายสุดในการก่อสร้างระบบชิ้นส่วนสำเร็จรูปในประเทศไทย วิธีนี้นิยมใช้เนื่องจากมีความแข็งแรงของโครงสร้าง

## 2.5 ขั้นตอนการก่อสร้างอาคารระบบชิ้นส่วนสำเร็จรูป (นริศรา สุขสารัญ, 2549)

ขั้นตอนการก่อสร้างอาคารสำเร็จรูปนั้น ในแต่ละ โครงการ มีขั้นตอนหลักที่เหมือนกัน จะมีความแตกต่างกันอยู่บ้างในส่วนของรายละเอียดตามแต่รูปแบบของอาคาร ลักษณะโดยทั่วไป ของการก่อสร้างอาคารระบบสำเร็จรูปนั้น จะมีขั้นตอนหลักๆ อยู่สามขั้นตอน

**ขั้นตอนแรก** คือ ทำการผลิตชิ้นส่วนสำเร็จรูปตามที่แบบกำหนด ซึ่งในขั้นตอนนี้จะ ประกอบด้วยส่วนงานสำคัญสามส่วน คือ งานจัดทำโรงงานหรือสถานที่ การทำงาน ผลิตชิ้นส่วนสำเร็จรูป

**ขั้นตอนที่สอง** คือ การขนส่งชิ้นส่วนสำเร็จรูปจากโรงงานผลิตไปยังสถานที่ก่อสร้าง ด้วยรถบรรทุกธรรมชาติหรือรถบรรทุกที่ออกแบบมาเฉพาะชิ้นส่วนอยู่กับขนาดและลักษณะชิ้นส่วน สำเร็จรูป

**ขั้นตอนที่สาม** คือ ดำเนินการประกอบชิ้นส่วนสำเร็จรูปให้เป็นโครงสร้างอาคาร ใน ขั้นตอนนี้จะประกอบด้วยงานสำคัญสองส่วน คือ การยกชิ้นส่วนสำเร็จรูปและลักษณะอาคาร การ

ประกอบด้วยต่อของชิ้นส่วนสำเร็จรูป จะมีการใช้อุปกรณ์ค้ำยัน เพื่อให้ชิ้นส่วนสำเร็จรูปอยู่ที่ตำแหน่งในลักษณะของการใช้งานเอาไว้ชั่วคราวและทำการประกอบด้วยต่อของถาวร ซึ่งมีทั้งแบบใช้การเชื่อม แบบการเกราท์ และแบบใช้เหล็กโคลเวล ฯลฯ หลังจากนั้นก็จะเป็นการเก็บความเรียบร้อยของส่วนโครงสร้าง เช่น การแต่งผิวรอยต่อของชิ้นส่วนแต่ละชิ้น เป็นต้น เพื่อจะได้เริ่มงานก่อสร้างส่วนอื่นๆ ต่อไป

## 2.6 ข้อดีและข้อจำกัดของการก่อสร้างที่ใช้ระบบชิ้นส่วนคอนกรีตสำเร็จรูป

จากการศึกษาที่ผ่านมาในด้านข้อดีของระบบการก่อสร้างที่ใช้ชิ้นส่วนคอนกรีตสำเร็จรูป สรุปได้ดังนี้

(1) การลดระยะเวลาของงานก่อสร้างและความคุณระยะเวลาได้แน่นอน เนื่องจากในงานโครงสร้างจะใช้ชิ้นส่วนโครงสร้างที่ถูกผลิตมาจากโรงงาน ทำให้สามารถดำเนินงานได้ในเวลาเดียวกันทั้งการเตรียมการที่สถานที่ก่อสร้างและการผลิตชิ้นส่วนสำเร็จ อีกทั้งจากลักษณะเวลาในการทำงานของระบบการก่อสร้างที่ใช้ชิ้นส่วนสำเร็จรูปเอง เมื่อเปรียบเทียบกับการก่อสร้างแบบหล่อในที่

(2) ต้นทุนของการก่อสร้างที่ต่ำเมื่อเปรียบเทียบกับระบบการก่อสร้างแบบหล่อในที่ ถ้ามีจำนวนอาคารที่ก่อสร้างในแบบเดียวกันจำนวนหนึ่ง ซึ่งต้นทุนที่ต่ำกว่าจำนวนจากส่วนประกอบกอนอื่นด้วย เช่น ระยะเวลาการก่อสร้างที่เร็วกว่าจะทำให้ลดต้นทุนค่าเบี้ยการถูกเจิน ลดค่าใช้จ่ายทางอ้อม (Indirect Cost) ลดการสูญเสียวัสดุ และการใช้แรงงานที่น้อยกว่า

(3) สามารถควบคุมคุณภาพของงานได้ง่ายและเหมือนกันทั้งโครงการ เนื่องจากในการทำงานสามารถควบคุมคุณภาพของงานได้ตั้งแต่งานผลิตที่ถูกผลิตในโรงงาน ทำให้คุณภาพของงานก่อสร้างดีขึ้นจากการรวมวิธีการผลิตที่มีมาตรฐานเดียวกันทั้งโครงการ จึงเหมาะสมกับการก่อสร้างที่มีลักษณะซ้ำๆ กัน เช่น โครงการบ้านจัดสรร อาคารชุดพักอาศัย เป็นต้น

(4) ประโยชน์สำหรับงานก่อสร้างของการทำงานคอนกรีตในที่สูงโดยการที่ผลิตบนพื้นถ่างจะสามารถทำงานได้ง่ายและควบคุมคุณภาพได้ดีกว่า หลังจากนั้นจึงจะจัดส่งไปยังสถานที่ก่อสร้างเพื่อทำการติดตั้ง (Don, 1986)

(5) การลดปัญหาการขาดแคลนแรงงานบางส่วนของงานก่อสร้างในโครงการ เนื่องจากลักษณะของงานติดตั้งที่ใช้แรงงานไม่มากต่อชิ้นงาน เช่น การใช้พนังคอนกรีตสำเร็จจะเห็นได้ว่าใช้แรงงานน้อยเมื่อเปรียบเทียบกับการก่อผนังอิฐเพื่อจะได้พื้นที่และเวลาในการทำงานเท่ากัน เป็นต้น

(6) การลดความสูญเสียวัสดุของงานก่อสร้าง เพราะวัสดุจะถูกจัดเตรียมและผลิตตั้งแต่ในโรงงานก่อนที่จะนำมาติดตั้งในสถานที่ก่อสร้าง

- (7) การลดปัญหาสภาพแวดล้อมในสถานที่ก่อสร้าง เช่น ฝุ่น และเสียงวัสดุ เป็นต้น
- (8) การลดปัญหาในการก่อสร้างจากสภาพภูมิอากาศ เนื่องจากชั้นส่วนสำเร็จจะถูกผลิตจากโรงงานที่ไม่ขึ้นกับสภาพอากาศ เช่น ปัญหาฝนตก เป็นต้น
- ส่วนในด้านข้อจำกัดของระบบการก่อสร้างที่ใช้ชั้นส่วนคอนกรีตสำเร็จรูป สรุปได้ดังนี้
- (1) ต้นทุนเริ่มต้นที่สูงในการจัดตั้งสถานที่ในการผลิต แบบหล่อ และเครื่องมือ เครื่องจกรที่เกี่ยวข้องในการผลิต รวมถึงเครื่องจกรในการยกรถด้วย สถานที่ก่อสร้างด้วย
- (2) การควบคุมการทำงานในการผลิตที่ต้องมีการเข้มงวดต่อคุณภาพของชั้นส่วนสำเร็จ ที่ผลิตให้ได้ตามมาตรฐานตามแบบและมีความคลาดเคลื่อนเป็นที่ยอมรับ ได้เนื่องจากหลังจากที่ ชั้นส่วนคอนกรีตสำเร็จรูปถูกผลิตเสร็จจะเป็นการยากที่จะมาดำเนินการแก้ไขภายหลัง เช่น ความคลาดเคลื่อนระยะฟังห่องงานระบบ เป็นต้น
- (3) กรณีที่สถานที่ผลิตและสถานที่ก่อสร้างมีระยะทางไกลกันมากการเดินทางขนส่ง และมีการเดินทางในเขตชุมชน อาจเกิดปัญหาการจราจรที่ติดขัด นำหน้าในการบรรทุกของรถ ขนส่งความเสียหายของชั้นส่วนสำเร็จหลังการขนส่ง ซึ่งจะส่งผลต่อการดำเนินงานที่ต้องเนื่องของ งานก่อสร้าง รวมถึงต้นทุนจากการเดินทางขนส่งเนื่องจากระยะทางที่ไกล
- (4) ต้องใช้แรงงานที่ต้องมีความชำนาญในการติดตั้ง ซึ่งจะต้องมีความชำนาญและความ เข้าใจถึงวิธีการทำงานที่ถูกต้องเพื่อให้การติดตั้งมีความคลาดเคลื่อนและความเรียบร้อยของงานเป็น ที่ยอมรับได้
- (5) รอยต่อที่เกิดขึ้นจากการติดตั้งและประกอบรอยต่อของชั้นส่วนสำเร็จอาจไม่สวยงาม เช่น รอยต่อแบบแห้งที่ใช้สลักเกลียว เป็นต้น
- (6) ปัญหารร่วงชิ้นของน้ำระหว่างรอยต่อหลังการก่อสร้าง อันเนื่องจากสาเหตุ เช่น คุณสมบัติของวัสดุที่ใช้ในรอยต่อที่ไม่ดี และการทำงานที่ไม่ได้คุณภาพ เป็นต้น
- (7) การดัดแปลงอาคารที่ทำได้ยาก ในกรณีที่ใช้เป็นโครงสร้างระบบแผ่นรับน้ำหนัก (Load Bearing Structure of Panel System) ซึ่งผังดังกล่าวจะเป็นส่วนหนึ่งที่รับแรงของงาน โครงสร้างจึงทำให้การที่จะทวนเพื่อต่อเติมอาจทำไม่ได้
- กล่าวโดยสรุปได้ว่าการนำเอาระบบการก่อสร้างโดยใช้ชั้นส่วนคอนกรีตสำเร็จรูปมา ช่วยในงานนั้นจะมีประโยชน์อย่างมากในโครงการที่มีปริมาณการผลิตจำนวนมากหรือมีลักษณะ ซ้ำๆ กัน เช่น โครงการบ้านจัดสรร เป็นต้น ด้วยข้อดีในเรื่องของการลดเวลาและต้นทุน รวมถึงการ ควบคุมคุณภาพของงานในโครงการเมื่อเปรียบเทียบกับการใช้ระบบหล่อในที่ ส่วนข้อจำกัด เช่น เรื่องการลงทุนเริ่มแรกในการผลิต แรงงานจะต้องมีความชำนาญ และการดัดแปลงอาคารหลังการ ก่อสร้างทำได้ยาก เป็นต้น โดยแต่ละขั้นตอนในการทำงานตั้งแต่การผลิต การขนส่ง และการติดตั้ง

จำเป็นต้องใช้บุคลากรที่มีความชำนาญและกระบวนการจัดการที่ดีเพื่อให้ปริมาณและคุณภาพตามที่โครงการต้องการ

## 2.7 คอนกรีตเสริมเหล็ก

คอนกรีตและเหล็กเสริมในองค์การคอนกรีตเสริมเหล็ก (สถาพร โภคฯ, 2546) มีกล สมบัติเช่นเดียวกัน คือ สามารถดูดซึมน้ำได้สูง เหล็กต้านทานทึบแรงดึงและแรงอัดได้ดี วัสดุทึบส่องบีดหน่วงกันได้ สามารถต้านทานการครุภัยหรือหดตัวจากภายนอกได้ดี แรงอัด นอกจากนั้นคอนกรีตหุ้มหรือป้องกันเหล็กเสริมมิให้เกิดสนิม ขณะเดียวกันเหล็กเสริม ต้านทานการยืดหดมิให้คอนกรีตแตกร้าวอันเป็นผลเนื่องจากการเปลี่ยนแปลงอุณหภูมิ ทั้งนี้ เพราะ สัมประสิทธิ์การยืดหดตัวตามอุณหภูมิ (Coefficients of thermal expansion) ของเหล็กและคอนกรีต มีค่าใกล้เคียงกัน

ดังนั้น (วนิช ช่อวิเชียร, 2550) การนำเหล็กเส้นหรือเหล็กตะแกรงมาใช้ร่วมกับคอนกรีต โดยหลักอยู่ในเนื้อคอนกรีตในลักษณะที่กำหนดให้คอนกรีตทำหน้าที่รับแรงอัดและเหล็กเสริมทำหน้าที่รับแรงดึงจึงได้ผลดี สามารถลดน้ำหนักและขนาดของส่วนโครงสร้างลงได้มาก การใช้เหล็กเสริมร่วมกับคอนกรีตในลักษณะดังกล่าว เรียกว่า คอนกรีตเสริมเหล็ก (Reinforced Concrete) มีหน่วยน้ำหนักประมาณ 2,400 กิโลกรัมต่อลูกบาศก์เมตร เมื่อเหล็กเสริมมีค่าอัตราการหดตัวหุ้ม จะช่วยให้เหล็กเสริมนั้นทนทานต่อเพลิงไหม้และการเป็นสนิมผู้ร่อนได้ดี ทำให้เหล็กเสริมมีกำลังรับแรงดึงได้เต็มที่ โครงสร้างคอนกรีตเสริมเหล็กที่ใช้กันแพร่หลายในปัจจุบัน มีทั้งชนิดหล่อสำเร็จ ซึ่งอาจเป็นคอนกรีตหล่อสำเร็จแบบเสริมเหล็กธรรมชาติหรือแบบเสริมเหล็กอัดแรงที่เรียกว่าคอนกรีตอัดแรง คอนกรีตหล่อสำเร็จจะผลิตจากโรงงานแล้วนำมาประกอบหรือใช้ในสถานที่ก่อสร้าง เช่น ระบบพื้นอาคาร พื้นสะพาน ผนัง เสาเข็ม คอนกรีตสำหรับฐานราก เป็นต้น

### 2.7.1 รายละเอียดทั่วไปของการเสริมเหล็ก

การให้รายละเอียดของเหล็กเสริมที่ดีจะทำให้ส่วนของโครงสร้างคอนกรีตเสริมเหล็กมีการต่อข้อต่ออย่างแข็งแรงและสามารถรับแรงได้อย่างปลอดภัยตลอดระยะเวลาของการใช้งาน มาตรฐาน ACI หรือ ว.ส.ท. ได้ให้ข้อกำหนดของการเสริมเหล็ก เช่น การดัดแปลงเหล็กเสริม ของมาตรฐาน ระยะห่างระหว่างเหล็กเสริม เป็นต้น ควรถือปฏิบัติตามนี้

#### 2.7.1.1 การดัดแปลงเหล็กเสริม

การดัดแปลงเหล็กเสริมให้เป็นรูปต่างๆ นั้นใช้วิธีการดัดเรียกว่า การดัดเย็น เหล็กเสริมอาจถูกดัดเป็นเหล็กกลูกตึ้งสำหรับงาน เหล็กปลอก ทั้งนี้ขึ้นอยู่กับวัตถุประสงค์ของการ



นำไปใช้งาน มาตรฐาน ว.ส.ท. ให้ข้อกำหนดของ ของมาตรฐาน ซึ่งระบุถึงขนาดเส้นผ่านศูนย์กลางของการออกแบบเหล็กและระยะยื่นที่ปลายดังนี้

ของมาตรฐานสำหรับเหล็กเสริมเอก

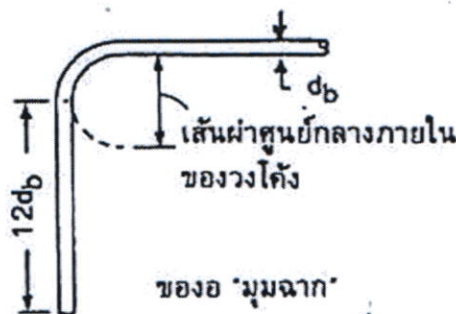
1) ส่วนที่ดัดเป็นครึ่งวงกลมและมีส่วนปลายยื่นต่อไปอีกอย่างน้อย 4 เท่า ของขนาดเส้นผ่านศูนย์กลางของการออกแบบเหล็กเส้นนั้น แต่ระยะต้องไม่น้อยกว่า 6 เซนติเมตร ดังแสดงในภาพที่ 2.7(ข)

2) ส่วนที่ดัดเป็นมนูษากและมีส่วนปลายยื่นต่อออกไปอีกอย่างน้อย ประมาณ 12 เท่าของขนาดเส้นผ่านศูนย์กลางของการออกแบบเหล็กเส้นนั้น ดังแสดงในภาพที่ 2.7(ค)

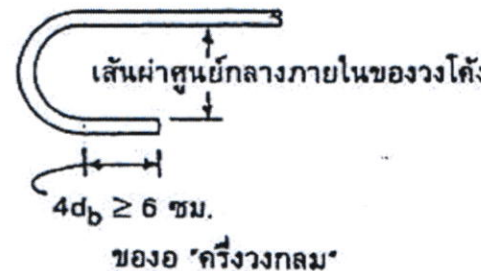
โดยมีขนาดเส้นผ่านศูนย์กลางภายในของวงโค้งที่เลือกที่สุดของการดัดของเหล็กเสริมขนาดต่างๆ ดังแสดงในตารางที่ 2.1

ตารางที่ 2.1 ขนาดเส้นผ่านศูนย์กลางภายในที่เลือกที่สุด (วิศวกรรมสถานแห่งประเทศไทย, 2550)

ขนาดของเหล็ก mm	ขนาดเส้นผ่านศูนย์กลางภายในที่เลือกที่สุด
6 – 25	6 เท่าของเส้นผ่านศูนย์กลางของการออกแบบเหล็ก ( $6d_b$ )
28 - 36	8 เท่าของเส้นผ่านศูนย์กลางของการออกแบบเหล็ก ( $8d_b$ )



(ก)



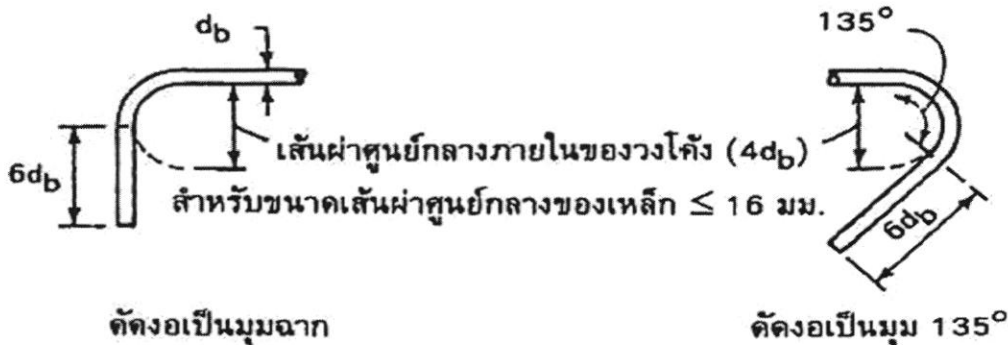
(ค)

ภาพที่ 2.7 ของมาตรฐานสำหรับเหล็กเสริมเอก (วินิต ช่อวิเชียร, 2550)

2.7.1.2 ของมาตรฐานสำหรับเหล็กลูกตั้งและเหล็กปลอก

ปลายเหล็กลูกตั้งและเหล็กปลอกที่มีขนาดเส้นผ่านศูนย์กลางน้อยกว่า หรือเท่ากับ 16 มิลลิเมตร อาจดัด成เป็นมนูษากหรือ 135 องศา โดยมีส่วนยื่นต่อออกไปถึงปลายสุด

ของเหล็กอีกอย่างน้อย 6 เท่าของขนาดเส้นผ่านศูนย์กลางของเหล็กเส้นนั้นและมีขนาดเส้นผ่านศูนย์กลางภายในที่เล็กที่สุดเท่ากับ 4 เท่าของขนาดเส้นผ่านศูนย์กลางของเหล็กเส้นนั้น ดังแสดงในภาพที่ 2.8



ภาพที่ 2.8 ของมาตรฐานสำหรับเหล็กกลูกตั้งและเหล็กปลอก (วินิท ช่อวิเชียร, 2550)

#### 2.7.1.3 ระยะห่างของเหล็กเสริม

1) ระยะของช่องว่างระหว่างผิวเหล็กที่อยู่ในชั้นเดียวกันและเรียงขนานกัน ต้องไม่แคนกว่าขนาดเส้นผ่านศูนย์กลางของเหล็กนั้นหรือ 1.34 เท่าของขนาดโตรสุดของหินหรือ 2.50 เซนติเมตร

2) เมื่อเหล็กเสริมตามยาวของคานมีมากกว่าหนึ่งชั้น ช่องว่างระหว่างผิวเหล็กแต่ละชั้นต้องไม่น้อยกว่า 2.50 เซนติเมตร และต้องเรียงเหล็กแต่ละชั้นให้ตรงกันเพื่อการठอนกรีตให้สะดวก

3) ระยะช่องว่างระหว่างผิวเหล็กยืนในเสาทุกชนิด ต้องมีค่าไม่น้อยกว่า 1.5 เท่าของขนาดเส้นผ่านศูนย์กลางของเหล็กนั้น ทั้งนี้ต้องไม่น้อยกว่า 4 เซนติเมตร หรือ 1.34 เท่าของขนาดโตรสุดของหิน

4) ระยะห่างของเหล็กเสริมเอกสารในผนังกำแพงหรือแผ่นพื้น (ยกเว้นแผ่นพื้นระบบตงคونกรีต) ต้องไม่เกิน 3 เท่าของความหนาของผนังหรือพื้น 45 เซนติเมตร

#### 2.7.2 การยึดเหนี่ยวและระยะฟังยึดเหล็กเสริม

การฟังยึดของเหล็กเสริมในคอนกรีตเพื่อยึดหน่วงหรือต้านทานแรงร่วงกัน ได้ซึ่งขึ้นกับหลายปัจจัย เช่น การยึดเกาะระหว่างคอนกรีตกับเหล็กเสริม การจับยึด รูปร่างและเส้นผ่านศูนย์กลางของเหล็กเสริม เป็นต้น เมื่อมีแรงกระทำต่อองค์อาคาร นอกจาจะเกิดหน่วยแรงในคอนกรีตหรือเหล็กเสริมแล้วยังเกิดแรงเสียดทานที่ผิวสัมผัสระหว่างคอนกรีตและเหล็กเสริม ดังนั้น

การเสริมเหล็กในองค์อาคารเพื่อต้านทานแรงต่างๆ จึงต้องคำนึงถึงการฝังยึดเหล็กเสริมให้เพียงพอกที่จะต้านทานการครุณหรือลื่นไถล เพื่อไม่ให้คอนกรีตและเหล็กเสริมแยกออกจากกัน

#### 2.7.2.1 ระยะฝังเหล็กข้ออ้อยที่รับแรงดึง

มาตรฐาน ACI หรือ ว.ส.ท. กำหนดความยาวของระยะฝังเพิ่มพื้นฐาน

$l_{db}$  (Basic Development Length) สำหรับเหล็กเสริมข้ออ้อยที่รับแรงดึง ดังนี้

เหล็กเสริมที่มีขนาดเส้นผ่านศูนย์กลางไม่เกิน 36 มิลลิเมตร

$$l_{db} = \frac{0.06A_b f_y}{\sqrt{f_c'}} \quad (2.1)$$

โดยที่  $l_{db}$  = ความยาวระยะฝังเพิ่มพื้นฐาน

$A_b$  = เนื้อที่ของเหล็กเสริมเส้นเดียว

$f_y$  = กำลังครากที่กำหนดของเหล็กเสริม

$f_c'$  = กำลังอัดที่กำหนดของคอนกรีต

ตัวนความยาวของระยะฝังเพิ่มที่ต้องฝังจริง  $l_d$  (Development Length) ให้ปรับแก้โดยการคูณระยะฝังพื้นฐาน  $l_{db}$  ด้วยตัวคูณประกอบดังแสดงในตารางที่ 2.2 ซึ่งเป็นการพิจารณาถึงรายละเอียดต่างๆ ของการเสริมเหล็ก เช่น ระยะเรียงของเหล็กเสริม ระยะหักคอนกรีต เป็นต้น อย่างไรก็ตามระยะฝังจริง  $l_d$  ต้องไม่น้อยกว่า 30 เซนติเมตร

ตารางที่ 2.2 ตัวคูณประกอบสำหรับปรับระยะ  $l_{db}$  เมื่อเหล็กข้ออ้อยรับแรงดึง

(วิศวกรรมสถานแห่งประเทศไทย, 2550)

สภาพการใช้งาน	ตัวคูณประกอบ
1. เหล็กเส้นในคานหรือเสา ที่มีระยะหักคอนกรีตไม่น้อยกว่าที่กำหนดและ เหล็กเสริมนีระยะเรียงว่าง $\geq 3d_b$ มีเหล็กปลอกหรือเหล็กลูกตั้งตาม ข้อกำหนดของเสาหรือของคานตลอดระยะที่ต้องฝังยึดเหล็กเสริม	1.0
2. เมื่อระยะเรียงของเหล็กเสริม $\leq 2d_b$ และมีคอนกรีตหักหนา $\leq d_b$	2.0

2.7.2.2 ระยะฟังเหล็กข้ออ้อยที่รับแรงดึง โดยคัดปลายเป็นของมาตรฐาน  
มาตรฐาน ACI หรือ ว.ส.ท. กำหนดความยาวของระยะฟังเพิ่มฐานของ  
เหล็กเสริมข้ออ้อยที่รับแรงดึง โดยคัดปลายเป็นของมาตรฐาน  $l_{hb}$  (Basic Development Length for  
Hook Bars) ดังนี้

$$l_{hb} = \frac{0.075 f_y d_b}{\sqrt{f_c'}} \quad (2.2)$$

โดยที่  $l_{hb}$  = ความยาวระยะฟังเพิ่มฐานของของมาตรฐานรับแรง  
ดึง

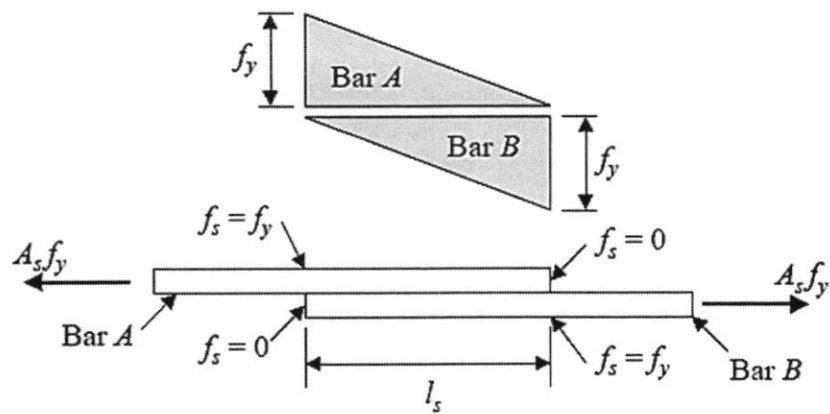
$d_b$  = ขนาดเส้นผ่านศูนย์กลางระบุของเหล็กเส้น

$f_y$  = กำลังครากที่กำหนดของเหล็กเสริม

$f_c'$  = กำลังอัดที่กำหนดของคอนกรีต

### 2.7.3 การต่อเหล็กรับแรงดึง โดยการทاب (มงคล จิรวัชรเดช, 2549)

งานที่มีการต่อเหล็กควรมีความเนียนยวเทียบเท่ากับงานที่ไม่มีการต่อเหล็ก  
ข้อกำหนดของ ACI ต้องการให้แน่ใจว่าจะไม่เกิดการวินาศที่จุดต่อเมื่อถึงกำลังสูงสุดของงานที่จุดต่อ  
เหล็ก ข้อกำหนดของระบบงานน้อยที่สุดของการต่อทابแบบสัมผัสมีไว้เพื่อให้มีคอนกรีตหุ้ม  
เพียงพอ เพื่อต้านทานการแตกแยกตัว แต่สำหรับการทابแบบไม่สัมผัสเหล็กแต่ละเส้น ไม่ควรวาง  
ห่างกันจนเกินไปดังแสดงในภาพที่ 2.9 แสดงการกระจายหน่วยแรงดึงในเหล็กเสริมที่จุดต่อทاب  
โดยหน่วยแรงจะเพิ่มขึ้นจากศูนย์ที่ปลายแล้วเพิ่มขึ้นตามระบบงาน  $l_s$  จนมีหน่วยแรงมากสุดคือ  $f_y$   
โดยการต่อทابจะใช้กันเหล็กที่ขนาดไม่เกิน DB36 มิลลิเมตร



ภาพที่ 2.9 การกระจายของหน่วยแรงในเหล็กต่อท่อน (มงคล จิรวัชรเดช, 2549)

การต่อเหล็กรับแรงดึงกำหนดชั้นคุณภาพของการต่อท่อนเหล็กไว้สองชั้นคุณภาพ ได้แก่

$$\begin{array}{l} \text{ชั้นคุณภาพ A ความยาวในการต่อท่อน} \\ l_s = 1.0l_d \end{array}$$

$$\begin{array}{l} \text{ชั้นคุณภาพ B ความยาวในการต่อท่อน} \\ l_s = 1.3l_d \end{array}$$

โดยที่  $l_s$  = ความยาวระยะทาง

$l_d$  = ความยาวระยะฟังเพิ่ม

## 2.8 งานคอนกรีตเสริมเหล็ก

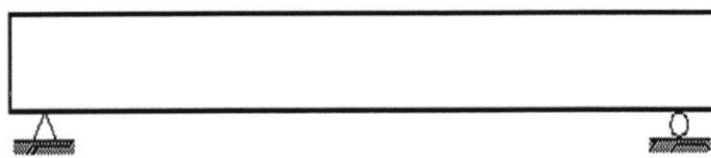
งานคอนกรีตเสริมเหล็กที่พับเห็น โดยทั่วไปเป็นส่วนหนึ่งขององค์อาคารที่อยู่ในแนวอนุมีเหล็กเสริมเอก (Main Reinforcement) เรียงไปตามแนวความยาวของงานคอนกรีต โดยมีหน้าที่รับแรงดึงทั้งหมดหรือรับแรงอัดเพียงบางส่วน เพื่อต้านทาน โมเมนต์ดักที่เกิดขึ้นเนื่องจากแรงโน้มถ่วงของโลก น้ำหนักบรรทุกที่กระทำตั้งจากกันแนวยาวของงาน เช่น น้ำหนักบรรทุกแผ่จากพื้นอาคาร ผนัง กำแพง หรือรับน้ำหนักบรรทุกกระทำแบบจุด แล้วถ่ายน้ำหนักไปสู่คานใหญ่หรือเสารองรับ นอกจากจะมีเหล็กเสริมเอกแล้วงานคอนกรีตเสริมเหล็กยังมีเหล็กปลอกหรือเหล็กลูกตั้งเสริมตามขวางในตัวงานด้วย เพื่อใช้ต้านทานแรงเฉือนในส่วนที่เกินกำลังของคอนกรีตจะต้านทานได้ในบางครั้งงานคอนกรีตเสริมเหล็กไม่ได้รับสภาพ โมเมนต์ดักและแรงเฉือน อาจจะต้องรับโมเมนต์บิดด้วยเมื่อน้ำหนักบรรทุกไม่ได้กระทำผ่านศูนย์กลางแรงเฉือน (Shear center) เป็นผลให้หน่วยแรงในงานคอนกรีตมีทั้งหน่วยแรงดัก หน่วยแรงบิด และหน่วยแรงเฉือน หรืออาจมีหน่วยแรงตามแกนร่วมด้วยเมื่อพิจารณาว่างานต้องรับแรงกระทำตามแนวแกน

ในการคำนวณออกแบบจะต้องเลือกใช้ขนาดฐานปิดด้วยค่าคงรีตเสริมเหล็กและปริมาณเหล็กเสริมตลอดจนระยะเรียงเหล็กเสริมให้เหมาะสมเพียงพอให้ชิ้นส่วนนั้นสามารถรับน้ำหนักบรรทุกได้ตามต้องการโดยไม่แย่นหรือโก่งตัวมากเกินไปหรือมีรอยร้าวกว้างมากในสภาวะที่รับน้ำหนักบรรทุกใช้งาน

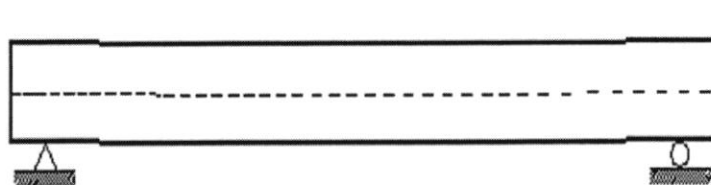
#### 2.8.1 พฤติกรรมการรับ荷重เมื่อตัด

ในขณะที่คานยังไม่รับน้ำหนักบรรทุกใดๆ (ยกเว้นน้ำหนักของคานเอง) จะสมมติว่าคานยังไม่แย่นหรือโก่งตัวและค่อนกรีตในคานที่ด้านรับแรงดึงยังไม่เกิดรอยร้าว แม้ว่าอาจมีรอยร้าวเกิดขึ้นบ้างเนื่องจากการหดตัวของค่อนกรีตเมื่อแข็งตัว (Drying shrinkage) แต่เมื่อไม่เห็นด้วยตาเปล่า เมื่อคานเริ่มรับน้ำหนักบรรทุกหรือแรงกระทำ คานจะเริ่มโก่งตัวเนื่องจาก荷重เมื่อตัดดังแสดงในภาพที่ 2.10(ข) ในลักษณะที่หลังคานถูกอัดและที่ใต้ห้องคานถูกดึง หากหน่วยแรงดึงสูงสุดที่เกิดขึ้นในค่อนกรีตที่ห้องคานมีค่าน้อยและต่ำกว่ากำลังด้านทานแรงดึงของค่อนกรีต (ซึ่งก็คือค่าโมดูลัสของการแตกร้าว Modulus of rupture :  $f_r = 2.0\sqrt{f_c}$ ) ดังนั้น ขณะนี้หน้าตัดทั้งหมดของค่อนกรีตในคานจึงสามารถรับได้ทั้งหน่วยแรงอัดและหน่วยแรงดึงที่อยู่เหนือและใต้แนวแกนสะเทิน โดยเหล็กเสริมนี้การยึดตัวเท่ากับการยึดตัวของค่อนกรีตที่อยู่ในตำแหน่งเดียวกันที่สภาวะนี้คานยังไม่ร้าว (Section uncracked) การกระจายของหน่วยการยึดหดตัว (Strain distribution) บนหน้าตัดของคานค่อนกรีตเสริมเหล็ก จะเป็นแบบเชิงเส้นและมีค่าเป็นสัดส่วนโดยตรงกับระยะที่ห่างจากแนวแกนสะเทิน ส่วนการกระจายของหน่วยแรง (Stress distribution) บนหน้าตัดของคานค่อนกรีตเสริมเหล็กจะมีค่าเป็นสัดส่วนโดยตรงกับหน่วยการยึดหดตัวนั้นตามกฎของชูก

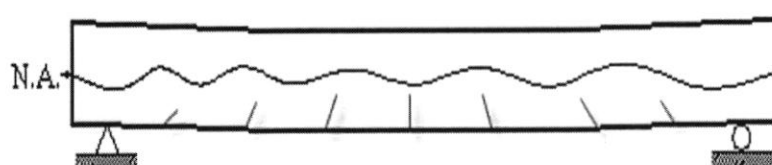
เมื่อคานรับน้ำหนักบรรทุกมากขึ้นจนทำให้หน่วยแรงดึงในค่อนกรีตที่ห้องคานมีค่าเท่ากับหรือเกินกว่าความด้านทานแรงดึงของค่อนกรีตซึ่งในที่นี้คือค่าโมดูลัสของการแตกร้าว  $f_r$  ค่อนกรีตจะเริ่มร้าวอันเนื่องมาจาก荷重เมื่อตัดแตกร้าว (Cracking moment) รอยร้าวนี้อาจมาจากแรงดึง (Flexural cracks) จะมีแนวตั้งจากกับความยาวคานที่บริเวณกลางคานและมีแนวเฉียงที่บริเวณปลายคาน ดังแสดงในภาพที่ 2.10(ค)



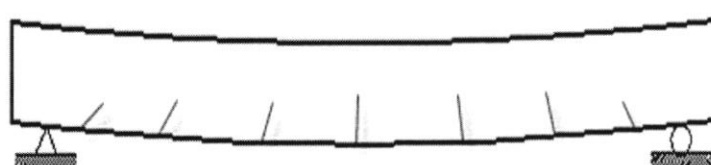
(ก) ก่อนรับน้ำหนักบรรทุก



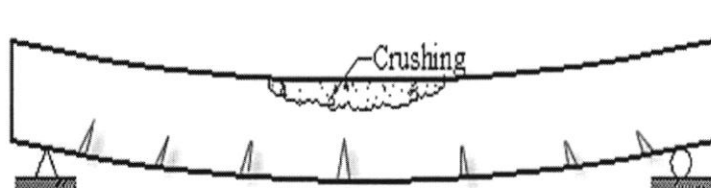
(ข) ความยั่งไม่ร้าว



(ค) ความร้าว



(ง) เหล็กเสริมถูกดึงจนขาดคราก



(จ) ความอวบอต

ภาพที่ 2.10 พฤติกรรมของความคงทนกริทเสริมเหล็กภายใต้荷重บรรทุก

(วินิต ช่อวิเชียร, 2550)

อย่างไรก็ดี ยังไม่สามารถสังเกตเห็นรอยร้าวนี้ได้ด้วยตาเปล่า ตรงบริเวณที่มีรอยร้าว ตามแน่นของแนวแกนสะเทินบังสามารถรับแรงดึงได้อีกบ้างเล็กน้อย แต่การวิเคราะห์ทางทฤษฎี มักไม่นำความต้านทานแรงดึงของคอนกรีตในส่วนนี้มาคิด และจะพิจารณาให้เหล็กเสริมทำหน้าที่รับแรงดึงนั้นทั้งหมด ในสภาวะที่คานรับน้ำหนักบรรทุกใช้งาน (Service load) หน่วยแรงอัดสูงสุด ในคอนกรีตจะมีค่าไม่เกินกว่า  $0.5f_c'$  (โดยประมาณ) และหน่วยแรงดึงสูงสุดในเหล็กเสริมจะยังไม่ถึงจุดคราก ดังนั้น คานคอนกรีตเสริมเหล็กจึงมีพฤติกรรมแบบยืดหยุ่น (Elastic) โดยการกระจายของหน่วยแรงในคอนกรีตและเหล็กเสริมยังคงเป็นสัดส่วนโดยตรงกับหน่วยการยึดหดตัว แต่ถ้าคานรับน้ำหนักบรรทุกมากขึ้นอีก หน่วยการยึดหดตัวบนหน้าตัดคานก็เพิ่มมากขึ้นตามไปด้วย และทำให้เหล็กเสริมยืดตัวมากขึ้น อย่างไรก็มีมากขึ้น กว้างขึ้น และขับตัวสูงขึ้นไปอีก ทำให้แนวแกนสะเทินขยับหนีสูงขึ้นไปเช่นกัน หน่วยแรงต่างๆ บนหน้าตัดคานก็มีค่าเพิ่มมากขึ้นและเริ่มไม่เป็นสัดส่วนกับหน่วยการยึด – หดตัวที่เพิ่มขึ้น คานคอนกรีตเสริมเหล็กจึงเริ่มนิ่มพฤติกรรมแบบไม่ยืดหยุ่น (Inelastic) ก่อนที่จะเกิดการวินาศเมื่อรับน้ำหนักบรรทุกสูงสุดซึ่งมักเรียกว่า น้ำหนักบรรทุกประลัย (Ultimate load)

ลักษณะการวินาศของคานคอนกรีตเสริมเหล็กมีได้สามแบบ คือ

(1) การวินาศที่เกิดจากเหล็กเสริมถูกดึงถึงจุดครากก่อน (Yielding failure) แล้วคอนกรีตถูกอัดแตกหรือระเบิดออกตามมา ซึ่งแต่เดิมเรียกการวินาศแบบนี้ว่า การวินาศแรงดึง เป็นหลัก (Tension failure)

(2) การวินาศที่เกิดจากคอนกรีตถูกอัดแตกหรือระเบิดออกก่อน (Crushing failure) ที่ด้านรับแรงอัด โดยที่เหล็กเสริมถูกดึงยังไม่ถึงจุดคราก เรียกการวินาศแบบนี้ว่า การวินาศแรงอัด เป็นหลัก (Compression failure)

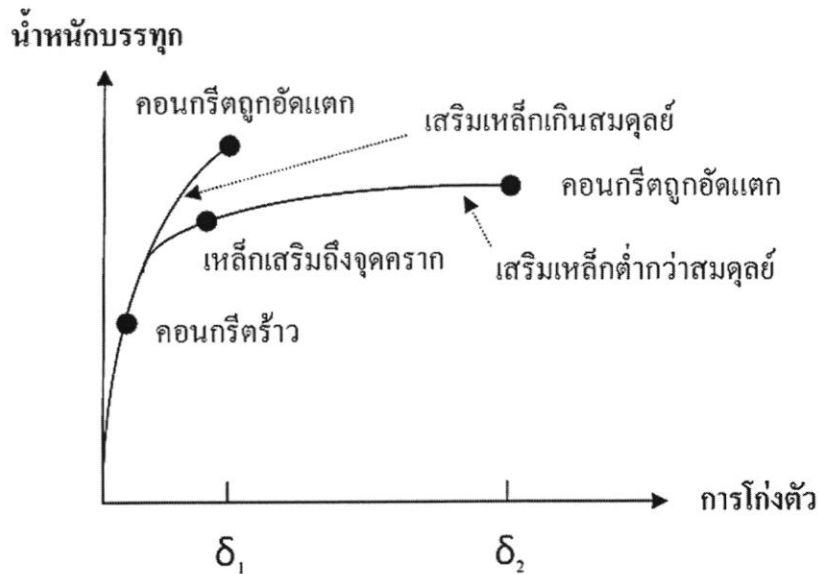
(3) การวินาศเกิดจากเหล็กเสริมด้านรับแรงดึงถูกดึงถึงจุดคราก พร้อมกับกันที่ คอนกรีตด้านรับแรงอัดถูกอัดแตกหรือระเบิดออก เรียกการวินาศแบบนี้ว่า การวินาศสมดุล (Balanced failure)

การวินาศของคานคอนกรีตเสริมเหล็กในลักษณะต่างๆ ที่กล่าวขึ้นกับปริมาณเหล็กเสริมที่ใช้ในคานหากเสริมเหล็กในคานไม่มากนัก โดยมีปริมาณของเหล็กเสริมรับแรงดึงต่ำกว่าอัตราส่วนที่สภาวะสมดุล ซึ่งเรียกคานแบบนี้ว่า Under - reinforced concrete beam เหล็กเสริมในคานคอนกรีตเสริมเหล็กจะถูกดึงกำลังที่จุดครากก่อนเสมอ  $\varepsilon_s = \varepsilon_y$  ในขณะที่การกระจายของหน่วยแรงอัดในคอนกรีตเริ่มจะไม่เป็นเส้นตรง ดังแสดงในภาพที่ 2.10(ง) เรียกโมเมนต์ดัดที่ทำให้เหล็กเสริมเริ่มครากเรียกว่า โมเมนต์ดัดที่จุดคราก (Yielding moment) เมื่อเพิ่มน้ำหนักบรรทุกมากขึ้นอีก โมเมนต์ที่กระทำก็มีค่าเพิ่มมากขึ้น ทำให้เหล็กเสริมยืดตัวมากขึ้นในขณะที่แรงดึงในเหล็ก

เสริม  $T = A_s f_y$  มีค่าคงที่ นั่นหมายความว่าระยะช่วงบนของโโนเมนต์บนหน้าตัดคอนกรีต เสริมเหล็กนั้น จะต้องมีค่าเพิ่มมากขึ้นเพื่อให้สามารถต้านทาน โโนเมนต์ตัด ได้มากขึ้นอีก และในขณะนั้นแรงอัดในคอนกรีตต้องมีค่าเท่ากับแรงดึงในเหล็กเสริมตามหลักการสมดุลของแรงแต่พื้นที่รับแรงอัดของคอนกรีตลดน้อยลง (เนื่องจากแกนสะเทินขยายตัวสูงขึ้น) จึงทำให้หน่วยแรงอัดในคอนกรีตมีค่าเพิ่มมากขึ้นและหน่วยการหดตัวของคอนกรีตก็เพิ่มขึ้น ดังนั้นการกระจายของหน่วยแรงอัดในคอนกรีตจะไม่เป็นสัดส่วนกับค่าของหน่วยการหดตัวอีกต่อไป อย่างไรที่ปรากฏจะกว้างมากขึ้นจนเริ่มสังเกตเห็น ได้ด้วยตาเปล่าและขยายตัวสูงขึ้น ทำให้ค่าสติฟเนสการดัดหรือความแกร่งของคอนกรีตเสริมเหล็กลดน้อยลง งานจึงแย่ลง โก่งตัวมากขึ้น เป็นลำดับ ซึ่งเป็นเครื่องเตือนให้ทราบล่วงหน้าว่า การวิบัติกำลังจะเกิดขึ้นตามมา ดังนั้น หากเราหนักบรรทุกออกเสียบ้างในตอนนี้ก็จะช่วยไม่ให้คานคอนกรีตเสริมเหล็กนั้นถึงกับพังลงมาได้ แต่ถ้ายังขึ้นเพิ่มน้ำหนักบรรทุกอีกต่อไป คันกรีตส่วนที่อยู่เหนือแนวแกนสะเทินจะถูกอัดและระเบิดออก (Crushing) ซึ่งการกระจายของหน่วยแรงอัดในคอนกรีตก่อนเกิดการวิบัติจะเป็นรูปโค้งพาราโบลา ดังแสดงในภาพที่ 2.10(จ)

สำหรับคานคอนกรีตเสริมเหล็กที่เสริมเหล็กมากเกินกว่าอัตราส่วนที่สภาวะสมดุล หรือในกรณีที่ใช้เหล็กเสริมที่มีกำลังจุดครากสูงมาก ซึ่งเรียกว่า Over – reinforced concrete beam คานจะวินต์โดยคอนกรีตถูกอัดแตกหรือระเบิดก่อน (Crushing failure) โดยคอนกรีตมีหน่วยการหดตัวสูงสุดประมาณ  $0.003 - 0.004$  มิลลิเมตรต่อมิลลิเมตร ก่อนที่เหล็กเสริมจะเริ่มคราก ซึ่งเป็นการวิบัติแบบฉับพลันทันทีทันใด โดยไม่มีการเตือนให้ทราบล่วงหน้าก่อน ซึ่งเป็นอันตรายมากต่อชีวิตและทรัพย์สิน

ภาพที่ 2.11 แสดงความสัมพันธ์ระหว่างน้ำหนักบรรทุกกับการโก่งตัวของคานคอนกรีต เสริมเหล็กที่สภาวะต่างๆ เมื่อคานเสริมเหล็กต่ำกว่าและมากกว่าอัตราส่วนที่สภาวะสมดุล สังเกตว่า ก่อนเกิดการวินต์ การโก่งตัวของคานที่เสริมเหล็กต่ำกว่าอัตราส่วนที่สภาวะสมดุลจะมีค่ามากกว่า การโก่งตัวของคานที่เสริมเหล็กมากกว่าอัตราส่วนที่สภาวะสมดุล นั่นแสดงว่า คานที่เสริมเหล็กต่ำกว่าอัตราส่วนที่สภาวะสมดุลจะมีความหนึ่งมากกว่า ดังนั้น เมื่อคานเสริมเหล็กเท่ากับอัตราส่วนที่สภาวะสมดุล การวินต์ของคานคอนกรีตเสริมเหล็กจะเกิดขึ้นในลักษณะที่เหล็กเสริมถูกดึงถึงจุดครากพร้อมกันกับที่คันกรีตถูกอัดแตก โดยคอนกรีตมีหน่วยการหดตัวสูงสุดประมาณ  $0.003 - 0.004$  มิลลิเมตรต่อมิลลิเมตร



**ภาพที่ 2.11** ความสัมพันธ์ระหว่างน้ำหนักบรรทุกกับการゴ่งตัวของคานค่อนกรีตเสริมเหล็ก (วินิต ช่อวิเชียร, 2550)

การวิเคราะห์และคำนวณออกแบบคานค่อนกรีตเสริมเหล็ก โดยวิธีกำลังจะอาศัย พฤติกรรมการรับน้ำหนักของคานค่อนกรีตเสริมเหล็กในสภาวะก่อนเกิดการวินาศี ดังแสดงในภาพที่ 2.10(จ) และพิจารณาออกแบบโดยเสริมเหล็กให้มีปริมาณต่ำกว่าอัตราส่วนที่สภาวะสมดุล เพื่อให้ คานค่อนกรีตเสริมเหล็กมีพฤติกรรมแบบเหนียวกว่าก่อนเกิดการวินาศี

#### การวิเคราะห์กำลังต้านทาน โนเมนต์ดัด

การวิเคราะห์กำลังต้านทาน โนเมนต์ดัดของคานที่สภาวะต่างๆ ตามพฤติกรรมของการรับน้ำหนักบรรทุก นอกจากจะได้ค่ากำลังต้านทาน โนเมนต์ดัดที่สภาวะนั้นๆ ยังสามารถหาค่า ของความโค้ง (Curvature:  $\phi$ ) ซึ่งเป็นความชันของเส้นแสดงหน่วยการยึดหยัดตัวที่สอดคล้องกับ โนเมนต์ดัดที่สภาวะนั้นๆ ค่าความโค้งที่ได้จะนำไปใช้วิเคราะห์หาค่าของการแอล์ฟิวโซ่ หรือゴ่งตัวของ คาน ตลอดจนนำไปใช้ความเหนียว (Ductility) ของคานก่อนที่จะเกิดการวินาศีได้

#### สมมุติฐานของการวิเคราะห์หากำลังต้านทาน โนเมนต์ดัด

(1) ระนาบรูปตัด ยังคงเป็นระนาบทั้งก่อนและหลังการรับแรงดัด นั่นหมายความ ว่าการกระจายของหน่วยการยึด-หยัดตัวบนหน้าตัดเป็นสัดส่วนโดยตรงกับระยะที่ห่างจากแนวแกน สะเทิน

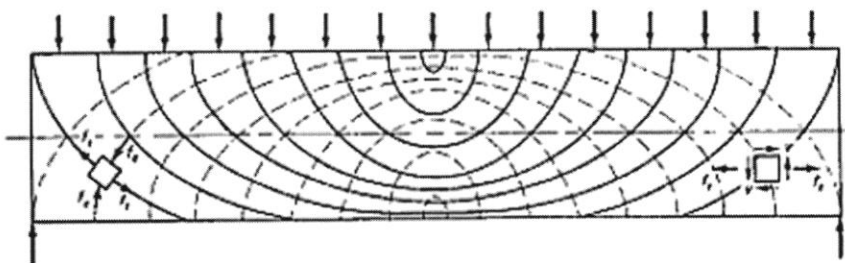
(2) การยึดเหนี่ยวระหว่างค่อนกรีตกับเหล็กเสริมนั้นเป็นไปอย่างสมบูรณ์ นั่นคือ หน่วยการยึดตัวในเหล็กเสริมมีค่าเท่ากับหน่วยการยึดตัวของค่อนกรีต ณ ตำแหน่งเดียวกัน

(3) ให้ความสัมพันธ์ระหว่างหน่วยแรงอัดกับหน่วยการหดตัวของคอนกรีต เป็นสัดส่วนโดยตรงเมื่อหน่วยแรงอัดในคอนกรีต ( $f_c$ ) ที่เกิดขึ้นมีค่ามากกว่า  $0.5f_y$  (โดยประมาณ) แต่ความสัมพันธ์ระหว่างหน่วยแรงอัดกับหน่วยการหดตัวของคอนกรีตที่สภาวะก่อนเกิดการวินิจฉัยไม่เป็นสัดส่วนกัน และให้หน่วยการหดตัวสูงสุดของคอนกรีตเท่ากับ  $0.003$  มิลลิเมตรต่อมิลลิเมตร

(4) ให้ความสัมพันธ์ระหว่างหน่วยแรงดึงกับหน่วยการยืดตัวของเหล็กเสริม เป็นสัดส่วนโดยตรงเมื่อหน่วยการยืดตัว ( $\epsilon_s$ ) มีค่าไม่เกินหน่วยการยืดตัวที่จุดคราก ( $\epsilon_y$ ) โดยเหล็กเสริมมีค่าโมดูลัสยืดหยุ่นเท่ากับ  $2.04 \times 10^6$  กิโลกรัมต่อตารางเซนติเมตร และมีหน่วยแรงดึงสูงสุดเท่ากับกำลังที่จุดคราก ( $f_y$ )

#### 2.8.2 พฤติกรรมของการหดตัวของเหล็กภายใต้แรงเฉือน

งานที่ทำด้วยวัสดุเนื้อดีบวกันและมีคุณสมบัติในการรับแรงเหมื่อนกันทุกทิศทาง เมื่อมีน้ำหนักบรรทุกมากจะทำจะพบว่าที่หน้าตัดใดๆ ของงาน จะมีทั้งหน่วยแรงดึงและหน่วยแรงเฉือนกระทำร่วมกันเสมอ หน่วยแรงเฉือนและหน่วยแรงดึงจะมีขนาดแปรเปลี่ยนไปตามแนวยาวของงานและตลอดหน้าตัดงาน ดังนั้น ขนาดและทิศทางของหน่วยแรงดึงหลักและหน่วยแรงอัดหลักที่กระทำการจะแปรเปลี่ยนไป เช่นกันดังแสดงในภาพที่ 2.12



ภาพที่ 2.12 แนวของหน่วยแรงหลักในงาน (Nawy, 2009)

ซึ่งแสดงวิถีหรือแนวของหน่วยแรงดึงหลักและหน่วยแรงอัดหลัก (Stress trajectories) ตลอดแนวยาวของงานรูปตัดสี่เหลี่ยมผืนผ้าที่รับน้ำหนักบรรทุกแบบแผ่นเส้นประแสดงถึงแนวของหน่วยแรงอัดหลัก ส่วนเส้นที่แสดงแนวของหน่วยแรงดึงหลัก สังเกตว่าที่แนวแกนสะเทินซึ่งหน่วยแรงดึงมีค่าเท่ากับศูนย์ ดังนั้น แนวของหน่วยแรงหลักจะเอียงทำมุม  $45^\circ$  องศา กับแนวยาวของงาน ส่วนที่กลางซึ่งคานทุกรอบดับความลึกของงาน แนวของหน่วยแรงหลักจะเป็นแนวราบ (เนื่องจากไม่มีแรงเฉือนกระทำ) และแนวของหน่วยแรงหลักที่บริเวณปลายคานหรือที่ฐานรองรับจะเอียงทำมุม  $45^\circ$  องศา กับแนวยาวของงานทุกรอบดับความลึกของงาน

(เนื่องจากค่าของโมเมนต์ดัดที่ฐานรองรับเท่ากับศูนย์) และสังเกตได้ว่าส่วนที่อยู่เหนือแนวแกนสะเทินของคาน หน่วยแรงอัดหลักมีค่ามากที่สุดและที่อยู่ใต้แนวแกนสะเทิน หน่วยแรงดึงหลักมีค่ามากสุด

เมื่อหน่วยแรงดึงหลักซึ่งได้จากหน่วยแรงเฉือน หรือจากแรงเฉือนร่วมกับหน่วยแรงดัดมีค่าเท่ากับกำลังต้านทานแรงดึงของคอนกรีต รอยร้าวจะเริ่มปรากฏขึ้นในระนาบที่ตั้งฉากกับระนาบทองหน่วยแรงดึงหลักที่กระทำ นั่นคือ รอยร้าวจะเกิดขึ้นตามแนวของหน่วยแรงอัดหลักนั่นเอง โดยมีแนวเอียงหรือเฉียงทแยงมุม รอยร้าวที่บริเวณใกล้กับแกนสะเทินจะมีแนวเอียงเบนเข้าหากกับกลางของช่วงคานและทำมุ่งประมาณ 45 องศา กับแนวยาวของคาน ส่วนรอยร้าวที่ปลายคานจะเอียงทำมุ่ง 45 องศา กับแนวคานเช่นกัน แต่ที่กลางคานรอยร้าวจะทำมุ่ง 90 องศา กับแนวคาน

หน่วยแรงดึงหลักที่ทำให้คอนกรีตแตกร้าวในแนวเอียงหรือเฉียงทแยงเรียกว่า แรงดึงทแยง (Diagonal tension) และรอยร้าวต่างๆ ที่ปรากฏในแนวทแยงเรียกว่า รอยร้าวในแนวทแยง (Diagonal tension crack)

## 2.9 ทฤษฎีการออกแบบคอนกรีตเสริมเหล็ก (วินิต ช่อวิเชียร, 2550)

การออกแบบโครงสร้างคอนกรีตเสริมเหล็ก เป็นการคำนวณออกแบบเพื่อเลือกใช้ขนาดรูปตัดของคอนกรีตและปริมาณของเหล็กเสริมที่เหมาะสม โดยให้มีกำลัง (Strength) สามารถต้านทานต่อแรงหรือน้ำหนักบรรทุกต่างๆ ที่กระทำตลอดอายุของการใช้งาน ได้อย่างปลอดภัย (Safety) ไม่เป็นอันตรายต่อชีวิตและทรัพย์สินและมีราคาถูก โครงสร้างที่ประยุกต์ นอกจากนี้ ส่วนโครงสร้างยังต้องมีความสามารถในการใช้งาน (Serviceability) ได้ดีในขณะที่รับน้ำหนักบรรทุกขณะใช้งาน (Service load) ตามปกติ โดยไม่แอ่นหรือโก่งตัวมากเกินกว่าพิกัดที่กำหนด

การออกแบบโครงสร้างคอนกรีตเสริมเหล็กมีวิธีการเฉพาะสำหรับแต่ละส่วน โครงสร้างทั้งนี้ขึ้นกับแรงหรือโมเมนต์ที่ส่วนโครงสร้างนั้นต้องรับหรือต้านทาน ส่วนของโครงสร้างคอนกรีตเสริมเหล็กที่ต้องพิจารณาออกแบบ ได้แก่ ส่วนโครงสร้างที่รับแรงตามแนวแกน ซึ่งอาจเป็นแรงดึงหรือแรงอัด ส่วนโครงสร้างที่รับโมเมนต์ดัด โมเมนต์บิดและแรงเฉือน ส่วนโครงสร้างที่รับแรงตามแนวแกนและโมเมนต์ดัดร่วมกัน รวมถึงการพิจารณาออกแบบให้รายละเอียดการเสริมเหล็กกับส่วนโครงสร้างนั้น เพื่อให้ทุกๆ ส่วนของโครงสร้างร่วมกันทำงานที่รับแรงหรือน้ำหนักได้ตามต้องการอย่างประหยัดและปลอดภัย

ในการคำนวณและออกแบบโครงสร้างส่วนใด วิศวกรผู้ออกแบบต้องพิจารณาออกแบบส่วนของโครงสร้างนั้นให้สอดคล้องเป็นไปตามเกณฑ์มาตรฐานหรือข้อบัญญัติที่ได้กำหนดไว้ มาตรฐานหรือข้อบัญญัตินี้ส่วนใหญ่ได้มาจากผลของการวิเคราะห์และวิจัยสำหรับโครงสร้างส่วน

นั้นๆ มาตรฐานสำหรับการออกแบบโครงสร้างคอนกรีตเสริมเหล็กของประเทศไทยและมาตรฐาน ACI (American Concrete Institute) ซึ่งวิศวกรรมสถานแห่งประเทศไทยได้นำมาเรียบเรียงเป็นมาตรฐาน ว.ส.ท. โดยยังมิได้มีกฎหมายรองรับแต่อย่างใด แต่วิศวกรไทยนิยมใช้กัน ทั้งนี้ หากจะออกแบบให้ถูกต้องตามกฎหมายของประเทศไทยจะต้องพิจารณาจากพระราชบัญญัติควบคุมอาคารซึ่งมีทั้งกฎกระทรวงห้าดไทยและข้อบัญญัติกรุงเทพมหานคร

วิธีการคำนวณออกแบบโครงสร้างคอนกรีตเสริมเหล็ก ทำได้สองวิธี คือ

- (1) โดยวิธีหน่วยแรงใช้งาน (Working stress design)
- (2) โดยวิธีกำลัง (Strength design)

เหตุผลของการเลือกใช้วิธีกำลังในการคำนวณออกแบบโครงสร้างคอนกรีตเสริมเหล็ก ได้แก่

(1) วิธีกำลังสามารถคาดหมายกำลังต้านทานสูงสุดของส่วนโครงสร้างได้ถูกต้องกว่าทฤษฎีคลาสติกหรือวิธีหน่วยแรงใช้งาน เนื่องจากโครงสร้างคอนกรีตเสริมเหล็กจะมีพฤติกรรมแบบไม่มีคีดหยุ่นเมื่อรับน้ำหนักบรรทุกมากๆ

(2) วิธีกำลังให้ทางเลือกของการใช้ค่าตัวคูณเพิ่มน้ำหนักบรรทุก (Load factor) ได้อย่างมีหลักการและเหตุผล ก่าวกือ น้ำหนักบรรทุกใดที่ทราบค่าค่อนข้างแน่นอน เช่น น้ำหนักบรรทุกคงที่ ที่ใช้ค่าตัวคูณเพิ่มให้ต่ำลง ส่วนน้ำหนักบรรทุกที่ไม่ทราบค่าแน่นอนก็ใช้ค่าตัวคูณเพิ่มให้สูงขึ้น นอกจากนี้การออกแบบโดยวิธีกำลังยังสามารถสำรวจกำลังต้านทานของส่วนโครงสร้างที่คำนวณได้อีกด้วย ความเข้มงวดของการควบคุมงานโดยใช้ตัวคูณลดกำลังต้านทานตามที่ควรจะเป็นได้ด้วย จึงทำให้ทราบอัตราส่วนปลดอัดภัยที่แท้จริง

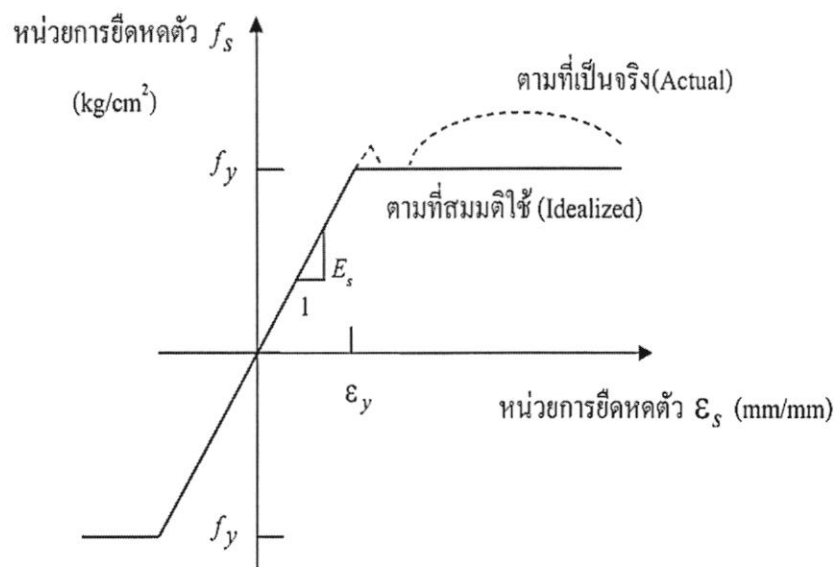
(3) วิธีกำลังไม่ต้องคำนึงถึงการล้าของคอนกรีต (Creep) แต่อย่างใด ซึ่งในขณะที่การออกแบบด้วยวิธีหน่วยแรงใช้งานต้องพิจารณาถึงผลของการล้าของคอนกรีตด้วยเนื่องจากอัตราส่วนไม่ดูดลักษณะของเหล็กเสริมต่อคอนกรีต (Modular ratio) มีค่าไม่คงที่และแปรเปลี่ยนตามระยะเวลาที่ใช้งาน ทำให้หน่วยแรงใช้งานที่เกิดขึ้นจริงมีค่าแตกต่างไปจากที่คำนวณได้ในตอนแรก

(4) วิธีกำลังนั้นช่วยให้เลือกใช้เหล็กเสริมที่มีกำลังจุดครากสูงมากขึ้น ได้ทำให้ประหยัดมากขึ้น เพราะอาจไม่จำเป็นต้องเสริมเหล็กรับแรงอัด

(5) วิธีกำลังสามารถคาดคะเนความหนืดของส่วนโครงสร้างก่อนที่จะเกิดการวินาศได้ดีกว่าและในกรณีที่รับน้ำหนักบรรทุกที่เกิดจากแรงโน้มถ่วงของโลก ก็อาจพิจารณาเกี่ยวกับการกระจายตัวของโมเมนต์ดัดได้เมื่อเกิดจุดขิดหมุนแบบพลาสติก (Plastic hinge) ในส่วนโครงสร้างที่มีความต่อเนื่อง

สมมติฐานเบื้องต้นของการคำนวณออกแบบโดยวิธีกำลัง มีดังนี้

- (1) ระบบรูปตัดยังคงเป็นระบบทั้งก่อนและหลังการรับแรงดันน้ำคือการกระจายของหน่วยการยึด-หดตัวในคอนกรีต เป็นสัดส่วนโดยตรงกับระยะที่ห่างจากแกนสะเทิน
- (2) การยึดเห็นได้ว่าระหว่างคอนกรีตกับเหล็กเสริมเป็นไปอย่างสมบูรณ์ นั่นคือหน่วยการยึดตัวในเหล็กเสริมมีค่าเท่ากับหน่วยการยึดตัวของคอนกรีต ณ ตำแหน่งเดียวกัน
- (3) หน่วยแรงสูงสุดและหน่วยการยึด-หดตัวสูงสุดไม่เป็นสัดส่วนกัน
- (4) ไม่คิดกำลังด้านทานแรงดึงของคอนกรีตที่อยู่ใต้แนวแกนสะเทิน
- (5) การแผ่กระจายของหน่วยแรงอัดในคอนกรีตก่อนเกิดการวินติอาจเป็นรูปใดก็ได้ที่สามารถให้ผลการคาดหมายกำลังด้านแรงอัดสูงสุดของส่วนโครงสร้างได้ถูกต้องไก่เดียวกับผลของการทดสอบ แต่หน่วยการหดตัวสูงสุดของคอนกรีตต้องไม่เกิน  $0.003$  มิลลิเมตรต่อมิลลิเมตร
- (6) ให้ความสัมพันธ์ระหว่างหน่วยแรงกับหน่วยการยึด-หดตัวของเหล็กเสริมเป็นแบบอิลาสติก-พลาสติก โดยสมบูรณ์ดังแสดงในภาพที่ 2.13 ซึ่งหน่วยแรงดึงหรือหน่วยแรงอัดสูงสุดของเหล็กเสริมนี้ค่าเท่ากับกำลังที่จุดคราก  $f_y$  (มาตรฐาน ACI หรือ มาตรฐาน ว.ส.ท. ยอมให้ใช้ได้ไม่เกิน  $5,600$  กิโลกรัมต่ำตารางเซนติเมตร) และโมดูลัสยึดหยุ่นของเหล็กเสริมมีค่าเท่ากับ  $2.04 \times 10^6$  กิโลกรัมต่ำตารางเซนติเมตร



ภาพที่ 2.13 ความสัมพันธ์ระหว่างหน่วยแรงกับหน่วยการยึดหดตัวของเหล็กเสริม  
(วินิต ช่อวิเชียร, 2550)

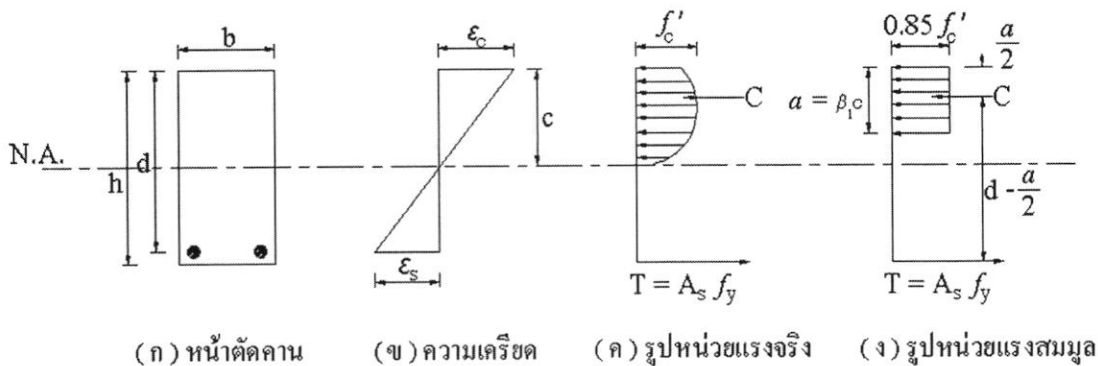
### 2.9.1 การกระจายหน่วยแรงอัดของ Whitney

ในปีทศวรรษ 1930 Whitney ได้เสนอการใช้การกระจายหน่วยแรงอัดรูปสี่เหลี่ยมผืนผ้าที่สมมูลดังแสดงในภาพที่ 2.14 (ง) แทนการกระจายหน่วยแรงอัดรูปพาราโบลาโดยกำหนดให้ค่าเฉลี่ยของหน่วยแรงอัดมีค่าเท่ากับ  $0.85 f_c'$  กระจายสม่ำเสมอตามความลึกของคาน เป็นระยะทาง  $a$  จุดศูนย์ถ่วงของการกระจายหน่วยแรงอัดยังอยู่ที่ตำแหน่งเดิมและยังกำหนดให้  $a = \beta_1 C$  โดยที่

$$\beta_1 = 0.85 \quad \text{เมื่อ} \quad f_c' \leq 280 \text{ ksc}$$

$$\beta_1 = 0.85 - 0.05 \left( \frac{f_c' - 280}{70} \right) \quad \text{เมื่อ} \quad 280 \leq f_c' \leq 560 \text{ ksc}$$

$$\beta_1 = 0.65 \quad \text{เมื่อ} \quad f_c' \geq 560 \text{ ksc}$$



ภาพที่ 2.14 หน่วยแรงอัดสมมูลของ Whitney (วีระ หอสกุล ไทย, 2544)

### 2.9.2 การวิเคราะห์คานสี่เหลี่ยมผืนผ้าเสริมเฉพาะเหล็กรับแรงดึง

การคำนวณหากำลังขององค์กรรับแรงดึงโดยวิธีกำลัง จะต้องเป็นไปตามหลักการที่เป็นจริงสองประการ คือ

(1) เงื่อนไขของการสมดุลเชิงสถิติศาสตร์ จากภาพที่ 2.14 (ง) เป็นกระจายของหน่วยแรงที่กระทำต่อหน้าตัดคาน อาศัยความสมดุลของแรง จะได้

$$C = T \quad (2.3)$$

(2) เงื่อนไขของความสอดคล้องของความเครียด กับค่าต้องพิจารณาหน่วยแรง และความเครียดของคอนกรีตและเหล็กเสริมที่เกิดขึ้นจริง ที่สถานะกำลังระบุ (Nominal strength)

ต้องสอดคล้องกัน ในการวิเคราะห์และออกแบบงานคอนกรีตเสริมเหล็กโดยวิธีกำลัง การวิบัติของหน้าตัดคานถูกกำหนดโดยความเครียดของคอนกรีต เมื่อความเครียดของคอนกรีตมีค่าเท่ากับความเครียดสูงสุด 0.003 จะถือว่าหน้าตัดคานนั้นเกิดการวิบัติ โดยไม่คำนึงถึงว่าเหล็กจะถึงกำลังครากหรือไม่ก็ตาม ดังนั้นการวิบัติของหน้าตัดคานจึงจำแนกตามความเครียดของเหล็กเสริมที่เกิดขึ้นจริง ณ สถานะการวิบัติได้สามแบบ คือ

- (1) การวิบัติที่จุดสมดุล (Balanced section) เกิดเมื่อ  $\varepsilon_c = 0.003$  และ  $\varepsilon_s = \varepsilon_y$
- (2) การวิบัติเนื่องจากแรงดึงเป็นหลัก (Under-reinforced section) เกิดขึ้นเมื่อ  $\varepsilon_c = 0.003$  และ  $\varepsilon_s > \varepsilon_y$
- (3) การวิบัติเนื่องจากแรงอัดเป็นหลัก (Over-reinforced section) เกิดขึ้นเมื่อ  $\varepsilon_c = 0.003$  และ  $\varepsilon_s < \varepsilon_y$

เมื่อ	$C$	=	แรงอัดทั้งหมดที่เกิดบนหน้าตัดคาน
	$T$	=	แรงดึงทั้งหมดที่เกิดบนหน้าตัดคาน
	$\varepsilon_c$	=	ความเครียดของคอนกรีต
	$\varepsilon_s$	=	ความเครียดของเหล็กเสริม
	$\varepsilon_y$	=	ความเครียดของเหล็กเสริมกำลังคราก

### 2.9.3 การออกแบบงานสีเหลี่ยมผืนผ้าเสริมเฉพาะเหล็กรับแรงดึง

ในการออกแบบหน้าตัดคานคอนกรีตเสริมเหล็กเฉพาะรับแรงดึง โจทย์ที่ต้องแก้หาค่าตอบคือขนาดหน้าตัดของคาน  $b, d$  และปริมาณเหล็กเสริม  $A_s$  เพื่อต้านทานโมเมนต์ระบุ  $M_u = \frac{M_u}{\varphi}$  สำหรับคุณสมบัติของวัสดุวิศวกรออกแบบต้องเป็นผู้กำหนดเอง  $f_c'$  และ  $f_y$  กล่าวคือ โมเมนต์ของหน้าตัดที่ออกแบบ  $\varphi M_n$  ต้องมากกว่าหรือเท่ากับโมเมนต์ที่ต้องการ  $M_u$  โดยที่ค่า  $\varphi = 0.90$  ดังนั้นจะได้

$$\varphi M_n \geq M_u \quad (2.4)$$

$$\text{หรือ} \quad M_n \geq \frac{M_u}{\varphi} \quad (2.5)$$

เนื่องจากคอนกรีตเป็นวัสดุประจำและตามสมมติฐานการออกแบบคอนกรีตเสริมเหล็ก ณ สถานะวิกฤต จะให้ความเครียดประจำ  $\varepsilon_{cu} = 0.003$  โดยไม่คำนึงถึงว่าเหล็กรับแรงดึงจะถึงกำลังครากหรือไม่ ขณะนี้ถ้ากรณีที่คานวิกฤตเนื่องจากแรงอัดเป็นหลัก หน่วยแรงดึง  $f_s$  ที่เกิดขึ้นจะน้อยกว่ากำลังคราก  $f_y$  เมื่อนำหนักกระทำจนกระทั่งวิกฤตรอยร้าวค้านรับแรงดึงจะไม่ขยายทำให้มองเห็นไม่ชัดเจน เนื่องจากเหล็กมีการยึดตัวน้อยขณะวิกฤตและจะไม่มีสัญญาณเตือนล่วงหน้า การวิกฤตจะเกิดขึ้นทันทีทันใด หน้าตัดคานลักษณะนี้เรียกว่า คานมีคุณสมบัติแบบประจำส่วนกรณีที่คานวิกฤตเนื่องจากแรงดึงเป็นหลัก (Under-reinforced section) ขณะวิกฤตความเครียดของเหล็ก  $\varepsilon_s$  มีค่ามากกว่าความเครียดคราก  $\varepsilon_y$  ทำให้คานเอ่นตัวมาก รอยร้าวจะขยายกว้างเห็นได้ชัดทำให้สังเกตเห็นได้ชัดก่อนการวิกฤต ซึ่งเป็นสัญญาณเตือน หน้าตัดคานลักษณะนี้เรียกว่า คานมีคุณสมบัติแบบเหนียว (Ductility)

ดังนี้เพื่อให้คานมีคุณสมบัติแบบเหนียว มาตรฐาน ACI 318-99 Chapter 10 Art.10.3.3 และ ว.ส.ท. 1008-38 ข้อ 4303(ค) กำหนดให้ใช้  $\rho$  ไม่เกินร้อยละ 75 ของ  $\rho_b$  จะได้

$$\rho_{\max} = 0.75\rho_b \quad (2.6)$$

$$\text{หรือ } \rho_{\max} = 0.75 \left[ 0.85 \beta_1 \frac{f_c'}{f_y} \left( \frac{6,120}{6,120+f_y} \right) \right] \quad (2.7)$$

โดยที่  $\rho = \text{อัตราส่วนของเหล็กเสริมต้านทานแรงดึง}$   
 $\rho_b = \text{อัตราส่วนของเหล็กเสริมซึ่งทำให้เกิดสภาพความตึงเครียดสมดุล}$

สำหรับการออกแบบคานที่เสริมเฉพาะเหล็กรับแรงดึง หน้าตัดคานที่ออกแบบจะเป็นการวิกฤตแบบแรงดึงเป็นหลัก ( $\rho < \rho_b$ ),  $f_s = f_y$  จากสมการสมดุลของแรงในหน้าตัดคาน

$$C = T$$

เมื่อ  $C = 0.85f_c'ba$  และ  $T = A_sf_y$  จะได้

$$0.85f_c'ba = A_s f_y$$

หรือ  $a = \frac{A_s f_y}{0.85f_c'b}$  (2.8)

โดยที่  $C$  = แรงอัดทั้งหมดที่เกิดบนหน้าตัดคาน  
 $T$  = แรงดึงทั้งหมดที่เกิดบนหน้าตัดคาก  
 $b$  = ความกว้างขององค์อาคาร  
 $a$  = ความลึกของหน่วยแรงรูปกล่องสี่เหลี่ยมผืนผ้าเที่ยบเท่า  
 $A_s$  = พื้นที่ภาคตัดขวางของเหล็กเสริมต้านทานแรงดึง  
 $f_y$  = กำลังครากที่กำหนดของเหล็กเสริม  
 $f_c'$  = กำลังอัดที่กำหนดของคอนกรีต

ดังนั้น โนเมนต์ระบุที่หน้าตัดคานสามารถต้านทานได้,  $M_n$  จะได้

$$M_n = 0.85f_c'ba \left( d - \frac{a}{2} \right) \quad (2.9)$$

หรือ  $M_n = A_s f_y \left( d - \frac{a}{2} \right)$  (2.10)

ถ้าอัตราส่วนเหล็กเสริม  $\rho = \frac{A_s}{bd}$  แทนลงในสมการ (2.8) จะได้

$$a = \frac{\rho df_y}{0.85f_c'} \quad (2.11)$$

นำสมการ (2.11) แทนลงในสมการ (2.10) จะได้

$$M_n = bd^2 \rho f_y \left( 1 - \frac{\rho f_y}{1.7 f_c'} \right) \quad (2.12)$$

เมื่อกำหนดให้  $m = \frac{f_y}{0.85f_c}$  แทนลงในสมการ (2.12) จะได้

$$M_n = bd^2 \rho f_y (1 - 0.5\rho m) \quad (2.13)$$

เมื่อ  $R_n = \rho f_y (1 - 0.5\rho m)$  จะได้

$$M_n = R_n bd^2 \quad (2.14)$$

#### 2.9.4 การออกแบบแรงเฉือนในคอนกรีตเสริมเหล็ก

การออกแบบเหล็กเสริมรับแรงเฉือน โดยทั่วไปสำหรับองค์อาคารคอนกรีตเสริมเหล็กชนิดไม่อัดแรง เหล็กเสริมที่ใช้อาจประกอบด้วย

- (1) เหล็กลูกตั้งทั้งหมด 45 องศา หรือมากกว่ากับเหล็กเสริมตามขารับแรงดึง
- (2) เหล็กคอม้าที่ดัดมุม 30 องศา หรือมากกว่ากับเหล็กเสริมตามขารับแรงดึง
- (3) การผสมกันระหว่างเหล็กลูกตั้งกับ เหล็กคอม้า
- (4) เหล็กปลอกเกลียว

โดยที่เหล็กเสริมรับแรงเฉือนที่ใช้กำลังครากที่ใช้คำนวณออกแบบต้องไม่เกิน 4,200 กิโลกรัมต่อตารางเซนติเมตร การออกแบบเหล็กเสริมรับแรงเฉือน จากแรงเฉือนประดับที่กระทำต้องน้อยกว่าแรงเฉือนที่หน้าตัดรับ ( $V_n$ ) คูณด้วยค่าวัสดุลดกำลัง ( $\varphi$ ) และตามสมการที่ 2.15

$$\varphi V_n \geq V_u \quad (2.15)$$

เมื่อแรงเฉือนที่คูณด้วยตัวคูณแรงแล้ว ( $V_u$ ) เกินค่ากำลังรับแรงเฉือนของคอนกรีตที่คูณตัวลดกำลังแล้ว ( $\varphi V_c$ ) ต้องมีเหล็กรับแรงเฉือนโดยเป็นไปตามสมการที่ 2.16

$$V_u = \varphi(V_c + V_s)$$

$$V_s = \frac{V_u}{\varphi} - V_c \quad (2.16)$$

เมื่อใช้เหล็กลูกตั้ง ตั้งฉากกับแนวแกนขององค์อาคาร

$$V_s = \frac{A_v f_y d}{s} \quad (2.17)$$

โดยที่  $A_v$  คือ พื้นที่หน้าตัดเหล็กรับแรงเฉือนภายในระยะ  $s$

สำหรับพิกัดของระยะเรียงของเหล็กเสริมรับแรงเฉือน ที่วางตั้งฉากกับแนวแกนขององค์อาคารพิจารณาดังนี้

$$(1) \text{ เมื่อ } V_n - V_c \leq 1.1 \sqrt{f_c' b_w d}$$

$$s_{\max} = \frac{d}{2} \text{ หรือ } \leq 60 \text{ เซนติเมตร}$$

$$(2) \text{ เมื่อ } 1.1 \sqrt{f_c' b_w d} \leq (V_n - V_c) \leq 2.1 \sqrt{f_c' b_w d}$$

$$s_{\max} = \frac{d}{4} \text{ หรือ } \leq 30 \text{ เซนติเมตร}$$

$$(3) \text{ เมื่อ } (V_n - V_c) > 2.1 \sqrt{f_c' b_w d} \text{ ออกแบบใหม่หรือขยายหน้าตัด}$$

$$(4) \text{ เมื่อ } \frac{V_c}{2} \leq V_n \leq V_c$$

$$A_{v,\min} = \frac{3.5 b_w d}{f_y} \quad (2.18)$$

$$s_{\max} = \frac{d}{2} \text{ หรือ } \leq 60 \text{ เซนติเมตร}$$

$$(5) \text{ เมื่อ } V_n \leq \frac{V_c}{2} \text{ ไม่ต้องเสริมเหล็กรับแรงเฉือน}$$

## 2.10 ผลงานวิจัยที่ผ่านมา

จักษุ ธรรมงุณิ (2550) ได้ทำการศึกษาเรื่อง “การทดสอบเพื่อศึกษาพฤติกรรมทางกลของรอยต่อของคานคอนกรีตสำเร็จรูป” โดยศึกษาพฤติกรรมการรับแรงและลักษณะการวินิจฉัยของรอยต่อของคานคอนกรีตอัดแรงบางส่วนสำเร็จรูปและของคานคอนกรีตเสริมเหล็กสำเร็จรูป และนำกำลังของรอยต่อที่สำรวจนี้ไปเปรียบเทียบกับค่าที่คำนวณได้จากการออกแบบของ ว.ส.ท. ตัวอย่างในงานวิจัยเป็นคานขนาดหน้าตัดกว้าง 0.20 เมตร สูง 0.40 เมตร และมีระยะห่างระหว่างจุดรองรับ 2.00 เมตร ตัวอย่างถูกทดสอบโดยแรงกระทำแบบสามจุด โดยลักษณะรอยต่อของคานแบ่งออกเป็นสองแบบ ได้แก่ รอยต่อที่ได้จากการนำเหล็กข้ออ้อยเข้ามาระหว่างเหล็กเดือยของคานทั้งสองข้าง และแบบที่สอง เป็นรอยต่อที่มีเหล็กเสริมคานเชื่อมต่อระหว่างคานอย่างต่อเนื่อง ซึ่งคานทั้งสองชนิดและรอยต่อได้ถูกออกแบบตามมาตรฐานของ ว.ส.ท. โดยใช้น้ำหนักบรรทุกคงที่และน้ำหนักบรรทุกจรที่เท่ากัน จากการทดสอบพบว่า ในช่วงแรกตัวอย่างมีพฤติกรรมรับแรงแบบเชิงเส้นถึงค่าประมาณร้อยละ 75-80 ของกำลังรับแรงสูงสุด จากนั้นตัวอย่างทดสอบจะมีพฤติกรรมแบบไร้เชิงเส้น และการแเปลี่ยนตัวมีค่าเพิ่มขึ้นอย่างรวดเร็ว จนกระทั่งเกิดการวินิจฉัย นอกจากนี้ยังพบว่า สมการการออกแบบของ ว.ส.ท. ทำนายกำลังของรอยต่อได้อย่างถูกต้องเพียงพอ

จิราชัย เลาหสมพลเลิศ (2551) ได้ทำการศึกษาเรื่อง “พฤติกรรมของรอยต่อคานคอนกรีตสำเร็จรูปรับ荷重เมนต์ดัด” โดยมีวัตถุประสงค์เพื่อศึกษาพฤติกรรมการรับ荷重เมนต์ดัด และกลไกการวินิจฉัยที่บริเวณรอยต่อแบบต่างๆ ของคานคอนกรีตสำเร็จรูป จากนั้นจึงประเมินขนาดที่เหมาะสมของรอยต่อ ตัวอย่างที่ใช้ทดสอบเป็นคานคอนกรีตสำเร็จรูป ขนาดหน้าตัด  $0.15 \times 0.30$  เมตร เชื่อมต่อกันที่กึ่งกลางคาน โดยการทาบและดัดปลายเหล็กเสริมภายในรอยต่อเป็นมุม 90 องศา และเทคโนโลยีที่ใช้ในประสาน โดยกำหนดให้ขนาดของรอยต่อ มีขนาด 200 มิลลิเมตร และ 300 มิลลิเมตร มีระยะห่างจากจุดรองรับเท่ากัน 1.80 เมตร และเปรียบเทียบผลกับคานคอนกรีตเสริมเหล็กที่หล่อเป็นเนื้อดีเยิกัน (RC-Beam) ซึ่งใช้เป็นตัวอ้างอิง ผลการทดสอบพบว่า ขนาดของรอยต่อที่เหมาะสมสำหรับงานวิจัยนี้ คือ ขนาด 300 มิลลิเมตร ทั้งนี้ เพราะคานดังกล่าวสามารถรับน้ำหนักบรรทุกสูงสุด ได้ใกล้เคียงกับคาน RC-Beam ค่าความหนาแน่นของคานซึ่งน้อยกว่าคาน RC-Beam แสดงถึงความสามารถในการโกร่งตัวเพิ่มเติม ภายหลังเหล็กเสริมเกิดการแตกจนกระทั่งโครงสร้างเกิดการวินิจฉัย ที่ไม่มากนัก ถือเป็นการเตือนภัยที่ค่อนข้างน้อย จึงเป็นข้อควรระวังในการนำไปใช้งานในบริเวณที่เสี่ยงต่อภัยธรรมชาติอย่างรุนแรง เช่น แผ่นดินไหว เป็นต้น

ภาควิช ลอยเจริญ (2552) ได้ทำการศึกษาเรื่อง “พฤติกรรมรอยต่อแบบเปียกของคานคอนกรีตเสริมเหล็กสำเร็จรูปภายใต้การดัด” ขนาดคานตัวอย่าง  $0.20 \times 0.40$  เมตร โดยใช้รูปแบบรอยต่อหดยูรูปแบบที่แตกต่างกันและเปรียบเทียบกับคานคอนกรีตเสริมที่หล่อเป็นเนื้อดีเยิกัน

พบว่าอยู่ต่อแบบเปียกไม่มีผลต่อกำลังรับโน้มnenต์ดัด สำหรับอยู่ต่อที่มีเหล็กเสริมรับแรงดึงที่ใช้วิธีการเชื่อมทาง สามารถรับแรงดึงได้ร้อยละ 95 ของงานคอนกรีตเสริมเหล็กที่มีรอยต่อเป็นเนื้อเดียวกันพฤติกรรมการวิบัติจะใกล้เคียงกับงานที่ไม่มีรอยต่อ ส่วนรอยต่อที่มีเหล็กเสริมรับแรงดึงทางทับและของจากสามารถรับแรงดึงได้ร้อยละ 77 ของงานคอนกรีตเสริมเหล็กที่มีรอยต่อเป็นเนื้อเดียวกัน แต่จะวิบัติแบบฉับพลันจากการนีบงอัดของคอนกรีต ในขณะที่รอยต่อที่ใช้เหล็กเสริมวางทับอย่างเดียวจะมีกำลังรับโน้มnenต์ดัดน้อยและวิบัติโดยแรงยึดเหนี่ยว จากการวิจัยนี้ทำให้ทราบว่า รอยต่อแบบเปียกที่มีเหล็กเสริมรับแรงดึงทางทับของชาในรอยต่อ หากมีการพัฒนาให้สามารถลดการแตกร้าวของคอนกรีตในบริเวณรอยต่อได้ พฤติกรรมและกำลังรับโน้มnenต์ดัดอาจดีขึ้น

โภวิท พันธุจิตร (2553) ได้ทำการศึกษาเรื่อง “ความสามารถในการรับโน้มnenต์ดัดของชุดต่อคอนกรีตสำเร็จรูป” ซึ่งงานวิจัยนี้ได้ทำการศึกษาโดยการทดลองในห้องปฏิบัติการ เพื่อสร้างแบบจำลองช่วยในการหาค่า ทั้งนี้จะขึ้นอยู่กับวิธีการต่อเชื่อมที่จุดต่อของงาน ซึ่งได้กำหนดไว้สามกรณี ได้แก่ กรณีแรก ทำการเชื่อมปลายเหล็กเสริมงานคอนกรีตสำเร็จรูปติดกับเหล็กเสริมของเสา กรณีที่สอง ทำการใช้เหล็กเสริมประกลบเชื่อมติดปลายเหล็กเสริมของงานคอนกรีตสำเร็จรูป และกรณีที่สาม ทำการวางแผนบนฐานรองรับแบบงานช่วงเดียว มีจุดต่อเป็นแบบยึดหมุน ซึ่งทั้งสามกรณีจะทำการทดลองให้ค่าน ขนาด  $0.15 \times 0.25$  เมตร ความยาว 3.00 เมตร อยู่ภายใต้การรับน้ำหนักกระทำเป็นจุด กระทำที่กึ่งกลางงาน จากการวิจัยนี้ทำให้ทราบว่าจุดต่อน้ำหนักสามารถรับโน้มnenต์ดัดได้ตามแบบจำลองที่เสนอ แต่ในการออกแบบและก่อสร้างจุดต่อดังกล่าวนั้นต้องพิจารณาถึงหลักวิศวกรรมและข้อกำหนดมาตรฐานของงานด้วย ดังนั้น การต่อเชื่อมเหล็กเสริมที่จุดต่อนี้ ควรทำการศึกษาเฉพาะเรื่องให้เป็นที่ประจักษ์ต่อไป เพื่อให้สามารถอ้างอิงได้ในการนำไปใช้งานการก่อสร้างจริง

Korkmaz and Tankut (2005) ได้ทำการศึกษาเกี่ยวกับงานยืนคอนกรีตสำเร็จรูปที่เชื่อมต่อโดยการทาน หรือการเชื่อมเหล็กเสริม โดยทำการศึกษารอยต่อของงานคอนกรีตสำเร็จรูป เปรียบเทียบกับงานที่หล่อเป็นชิ้นเดียวกัน โดยหล่อชิ้นทดสอบเป็นรูปตัวที และแบ่งออกเป็นสามลักษณะด้วยกันคือ 1.ชิ้นส่วนทดสอบแบบหล่อเป็นเนื้อเดียวกันตลอด 2.ชิ้นส่วนทดสอบแบบงานสำเร็จรูปเชื่อมต่อกับงานยืน การเชื่อมต่อโดยใช้แผ่นเหล็กจำนวนสองแผ่น โดยการเชื่อมระหว่างแผ่นเหล็กและเหล็กเสริมใช้ความยาวรอยเชื่อมเท่ากับ 35 มิลลิเมตร และ 60 มิลลิเมตร 3.ชิ้นส่วนทดสอบแบบงานสำเร็จรูปเชื่อมต่อกับงานยืน การเชื่อมต่อใช้การทานเหล็ก โดยใช้ระบบทานเท่ากับ 390 มิลลิเมตร และ 660 มิลลิเมตร จากการทดสอบพบว่า ความสามารถของรอยต่อแบบการเชื่อมทับช่วยแก้ปัญหาการยึดเหนี่ยวได้เป็นอย่างดี การเชื่อมอาจทำให้เกิดปัญหา ความเครียดในเหล็กเสริม เพราะจะน้ำหนักที่ต้องระมัดระวังเป็นอย่างมากคือ คุณภาพของเหล็กที่เชื่อม

## 2.11 สรุป

ในการทบทวนทฤษฎีและผลงานวิจัยที่เกี่ยวข้องในบทนี้ ได้กล่าวถึงระบบโครงสร้างชั้นส่วนสำเร็จรูป ลักษณะของรอยต่อในการก่อสร้างระบบสำเร็จรูป การส่งผ่านแรงที่กระทำระหว่างรอยต่อของชั้นส่วนคอนกรีตสำเร็จรูป รายละเอียดทั่วไปของการเสริมเหล็ก พฤติกรรมการรับโน้มnenต์ดัดและทฤษฎีการออกแบบคอนกรีตเสริมเหล็ก และผลงานวิจัยที่ผ่านมาพบว่าความคงทนกรีตเสริมเหล็กสำเร็จรูปที่ใช้รอยต่อแบบเปียกน้ำ ไม่มีผลต่อกำลังรับโน้มnenต์ดัดของคอนกรีตเสริมเหล็กมากนัก ผลกระทบต่อความสามารถในการรับแรงของคอนกรีตเสริมเหล็กสำเร็จรูปที่ใช้รอยต่อแบบเปียก จะขึ้นอยู่กับรายละเอียดรูปแบบลักษณะของจุดต่อเชื่อมของเหล็กเสริม ซึ่งจากการวิจัยที่ผ่านมาจะเห็นได้ว่า รูปแบบรายละเอียดของรอยต่อจะทำการศึกษาเพียงไม่กี่รูปแบบจะมีการศึกษาเพียงแค่ในบางส่วน เช่น วิธีการเชื่อมทاب วิธีการวางแผน และวิธีการของมาตรฐาน 90 องศา จากข้อมูลผลงานวิจัยดังกล่าวข้างต้น จึงเป็นที่มาของการศึกษาเรื่อง “การทดสอบประสิทธิภาพของรอยต่อแบบเปียกสำหรับคอนกรีตเสริมเหล็กสำเร็จรูปที่มีรายละเอียดเหล็กเสริมต่างๆ”

## บทที่ 3

### วิธีดำเนินงานวิจัย

#### 3.1 บทนำ

บทนี้จะกล่าวถึงแนวคิดการศึกษารอยต่อแบบเปรียบคานคณกรีตเสริมเหล็กสำเร็จรูปที่มีเหล็กเสริมด้านไมเมนต์ด้ครูปแบบต่างๆ ประกอบด้วย การเตรียมตัวอย่าง วิธีการทดสอบ ขั้นตอน การทดสอบ และการเก็บข้อมูลจากการทดสอบ งานทดสอบในห้องปฏิบัติการจะทำการทดลองตัวอย่างคานคณกรีตเสริมเหล็กสำเร็จรูป โดยที่มีลักษณะของคานคณกรีตเสริมเหล็กสำเร็จรูปสองชิ้นมาประกอบกัน ใช้เหล็กแคนส่วนล่างของคานเป็นเหล็กเสริมรับแรงดึงในรอยต่อ โดยมีลักษณะการต่อเชื่อมที่จุดต่อของเหล็กเสริมรับแรงดึงหลักหลายรูปแบบ ลักษณะของรอยต่อที่ใช้ในการทดสอบเป็นรอยต่อที่ใช้เพร่หลักทั่วไปในงานก่อสร้างระบบสำเร็จรูป โดยใช้รอยต่อแบบเปรียบตัวอย่างทดสอบเบ่งออกเป็นสองชุดตัวอย่าง โดยชุดทดสอบที่หนึ่งจะทำการทดสอบคานตัวอย่าง เพื่อหาลักษณะการต่อเชื่อมที่จุดต่อของเหล็กเสริมรับแรงดึงที่มีประสิทธิภาพใกล้เคียงกับวิธีการเชื่อมทاب พร้อมนำคานตัวอย่างที่ได้มาทำการศึกษาต่อในชุดทดสอบที่สอง

การทดสอบคานตัวอย่างโดยให้นำน้ำหนักกระทำแบบชุดต่อคานตัวอย่างทดสอบ เพื่อทำการลังรับแรงบริเวณรอยต่อที่เสริมเหล็กด้านท่านไมเมนต์ดัด โดยใช้เครื่องทดสอบไฮดรอลิกทำการกดทดสอบเพื่อศึกษาพฤติกรรมการรับแรงไมเมนต์ดัดและลักษณะการวิบัติ

#### 3.2 วัสดุทดสอบ

##### 3.2.1 คอกนกรีต

คอกนกรีตที่ใช้หล่อคานสำเร็จรูปเป็นคอกนกรีตผสมเสริจ กำลังอัดทรงกระบอกระบุ 240 กิโลกรัมต่อตารางเซนติเมตร การทดสอบคุณสมบัติกระทำตามมาตรฐาน ASTM C-192 โดยการเก็บตัวอย่างทดสอบกำลังรับแรงกดอัดของคอกนกรีตทรงกระบอกมาตรฐานขนาดเส้นผ่าศูนย์กลาง 0.15 เมตร สูง 0.30 เมตร ที่อายุ 28 วัน นำมาทดสอบหาค่าเฉลี่ยกำลังรับแรงกดอัด

### 3.2.2 เหล็กเสริม

เหล็กเสริมที่ใช้เป็นเหล็กข้ออ้อยชั้นคุณภาพ SD40 กำลังจุดครากไม่น้อยกว่า 4,000 กิโลกรัมต่ำตารางเซนติเมตร กำลังดึงประดับไม่น้อยกว่า 5,700 กิโลกรัมต่ำตารางเซนติเมตร ค่าการยึดตัวในช่วง 5 เท่าของเส้นผ่านศูนย์กลางเหล็กเสริมไม่น้อยกว่าร้อยละ 15 การทดสอบแรงดึงตามมาตรฐาน TIS-24-2548 โดยการสูบตัวอย่างทดสอบจำนวนสามเส้น

### 3.2.3 เหล็กปลอก

เหล็กเสริมที่ใช้เป็นเหล็กเส้นกลมชั้นคุณภาพ SR24 กำลังจุดครากไม่น้อยกว่า 2,400 กิโลกรัมต่ำตารางเซนติเมตร กำลังดึงประดับไม่น้อยกว่า 3,900 กิโลกรัมต่ำตารางเซนติเมตร ค่าการยึดตัวในช่วง 1.5 เท่าของเส้นผ่านศูนย์กลางเหล็กเสริมไม่น้อยกว่าร้อยละ 21 การทดสอบแรงดึงตามมาตรฐาน TIS-20-2543 โดยการสูบตัวอย่างทดสอบจำนวนสามเส้น

## 3.3 เครื่องมือและอุปกรณ์

เครื่องมือและอุปกรณ์ที่ใช้ทำการทดสอบ มีดังนี้

3.3.1 โครงเฟรม (Loading frame)

3.3.2 Hydraulic jack

3.3.3 Load cell

3.3.4 Transfer beam

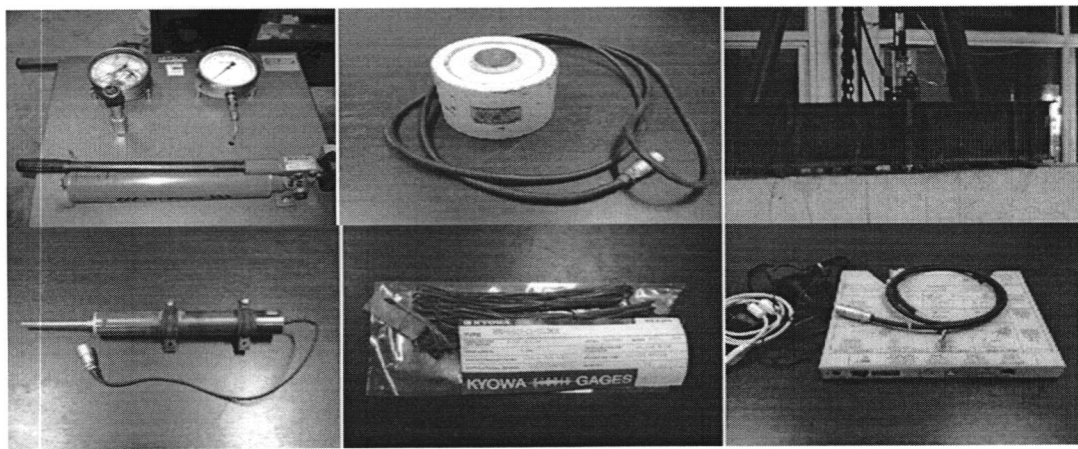
3.3.5 Linear variable differential transducers (LVDT)

3.3.6 ชุดฐานรองรับ (Simple support)

3.3.7 Strain gage

3.3.8 เครื่องมือวัดความเครียดของเหล็กเสริม (Data logger)

3.3.9 คอมพิวเตอร์



ภาพที่ 3.1 เครื่องมือและอุปกรณ์

### 3.4 รายละเอียดตัวอย่างทดสอบ

#### 3.4.1 คานคอนกรีตสำเร็จรูปตัวอย่าง

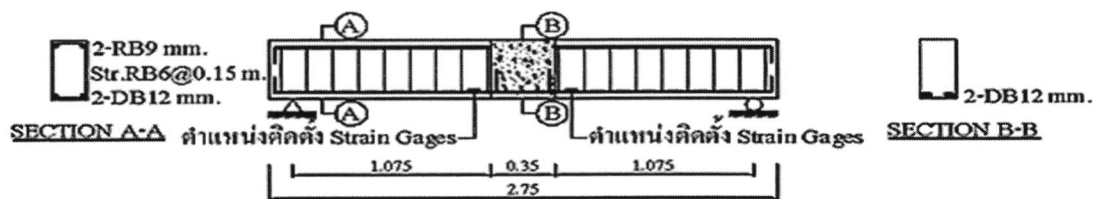
ตัวอย่างงานคานคอนกรีตถูกออกแบบเพื่อศึกษากำลังต้านทานไมemenต์คัดของรอยต่อแบบเปียก โดยตัวอย่างทดสอบถูกออกแบบเป็นคานคอนกรีตเสริมเหล็ก ขนาดหน้าตัดคาน 0.20 เมตร x 0.40 เมตร ระยะระหว่างจุดรองรับ 2.50 เมตร รอยต่อออกแบบให้มีขนาดยาว 0.25 เมตร และ 0.35 เมตร ที่กึ่งกลางคาน โดยรอยต่อขนาด 0.25 เมตร เป็นการจำลองรูปแบบรอยต่อของอาคารที่พักอาศัยขนาดเล็กทั่วไป ส่วนรอยต่อขนาด 0.35 เมตร เป็นการจำลองรูปแบบรอยต่อของระเบียงเหล็กข้ออ้อยที่รับแรงดึงโดยคัดปลายเป็นของมาตรฐาน ตามมาตรฐานการออกแบบของวิศวกรรมสถานแห่งประเทศไทย (ว.ส.ท.) ลักษณะของรอยต่อที่ใช้ในการทดสอบ เป็นรอยต่อที่ใช้แพร่หลายทั่วไปในงานก่อสร้างระบบสำเร็จรูป โดยใช้รอยต่อแบบเปียก โดยที่มีลักษณะของคานคอนกรีตเสริมเหล็กสำเร็จรูปสองชิ้นมาประกอบกัน ใช้เหล็กแกนส่วนล่างของคานเป็นเหล็กเสริมรับแรงดึงในรอยต่อ โดยมีการตอกันของเหล็กเสริมในรอยต่อหดยูรูปแบบ โดยตัวอย่างทดสอบแต่ละชุดตัวอย่างจะใช้เหล็กเสริมคอนกรีต ชั้นคุณภาพ SR24 สำหรับเหล็กเส้นกลม และชั้นคุณภาพ SD40 สำหรับเหล็กข้ออ้อย และกำลังอัดของคานคอนกรีตประมาณ 240 กิโลกรัมต่อตารางเซนติเมตร การออกแบบกำลังของหน้าตัดคานคานคอนกรีตเสริมเหล็ก ออกแบบโดยให้เป็นคานคอนกรีตเสริมเหล็กรับแรงดึงอย่างเดียว ตามมาตรฐานการออกแบบคานคอนกรีตเสริมเหล็กของ ว.ส.ท. โดยที่คานคอนกรีตเสริมเหล็กและรอยต่อคานตัวอย่างถูกออกแบบตามทฤษฎีกำลังประดับ ซึ่งตัวอย่างที่จะทำการทดสอบชุดที่หนึ่งจำนวนเจ็ดตัวอย่าง ดังแสดงในตารางที่ 3.1 และทำการทดสอบชุดตัวอย่างที่สองจำนวนห้าตัวอย่าง ดังแสดงในตารางที่ 3.2



**ภาพที่ 3.2** ลักษณะของการคอนกรีตเสริมเหล็กสำเร็จรูปที่ประกอบกันโดยใช้รอยต่อแบบเปียก

**ตารางที่ 3.1** ขนาดงานและลักษณะการต่อเชื่อมของรอยต่อแบบเปียก (ชุดทดสอบที่ 1)

งาน ตัวอย่าง	ขนาดหน้า ตัดงาน (m)	ลักษณะการต่อเชื่อมที่จุดต่อของเหล็ก เสริมรับแรงดึง	ระยะทاب (m)	ขนาด รอยต่อ (m)
B1	0.20 x 0.40	โดยการงอข้อมาตรฐาน 90 องศา	0.33	0.35
B2	0.20 x 0.40	โดยการเชื่อมทاب	0.20	0.25
B3	0.20 x 0.40	โดยการงอข้อมาตรฐาน 180 องศา ขัดด้วย เหล็ก DB12 รูปตัว U	-	0.25
B4	0.20 x 0.40	โดยการงอข้อมาตรฐาน 90 องศา ขัดด้วย เหล็ก DB12 รูปตัว C	0.20	0.25
B5	0.20 x 0.40	โดยการงอขอลักษณะแบบ J-Shape	0.20	0.25
B6	0.20 x 0.40	โดยการงอข้อมาตรฐาน 90 องศา แล้ว เชื่อมปลายยึดด้วยเหล็ก DB12	0.20	0.25
B7	0.20 x 0.40	โดยการเชื่อมปลายด้วยเหล็ก DB12 รูป วงกลม	0.20	0.25



(ก)

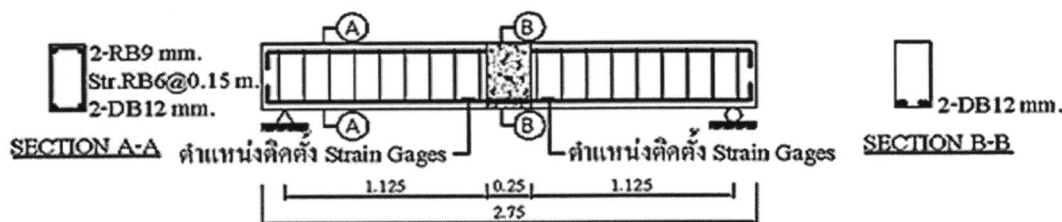


(ก)

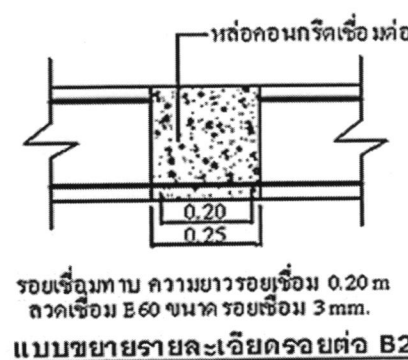


(ก)

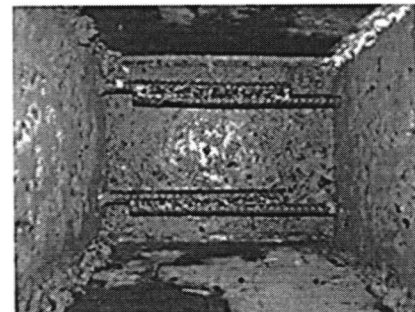
ภาพที่ 3.3 รายละเอียดแบบงานสำเร็จรูป B1



(ก)

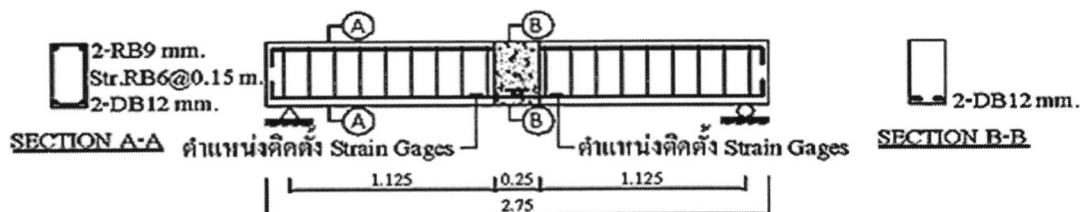


(ก)

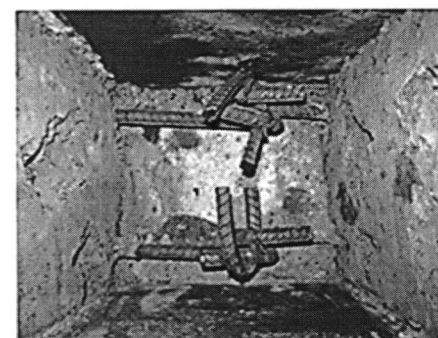
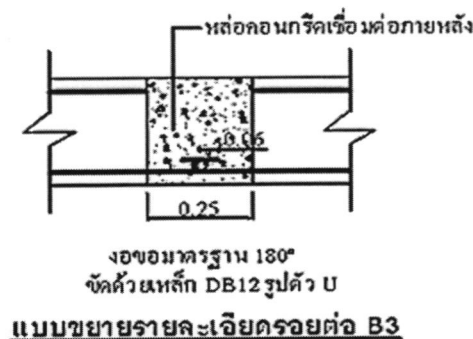


(ก)

ภาพที่ 3.4 รายละเอียดแบบงานสำเร็จรูป B2

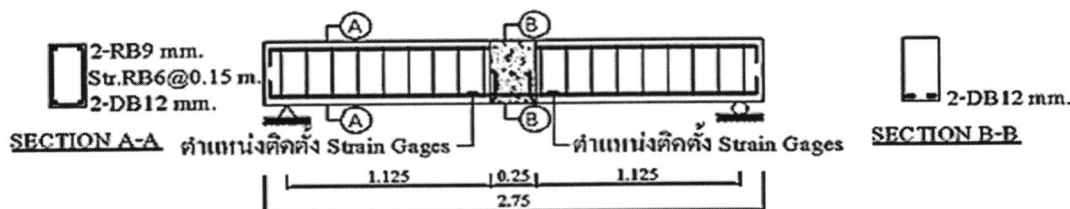


(ก)

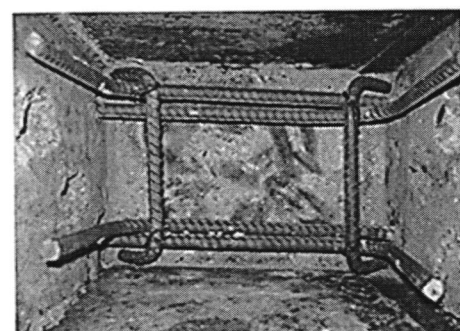
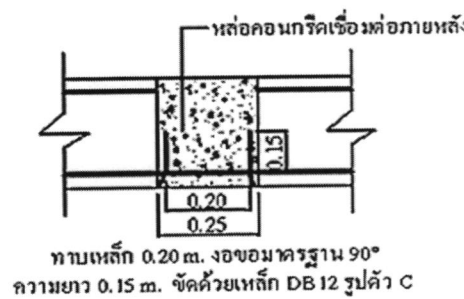


(ก)

ภาพที่ 3.5 รายละเอียดแบบงานสำเร็จรูป B3

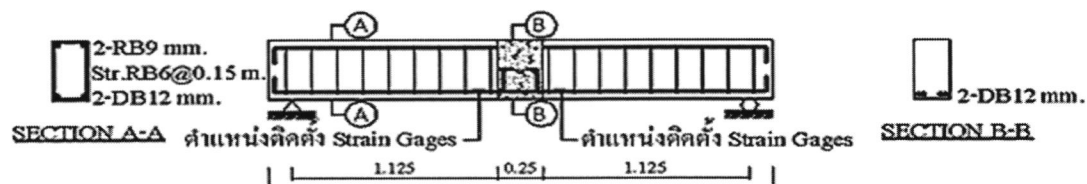


(ก)

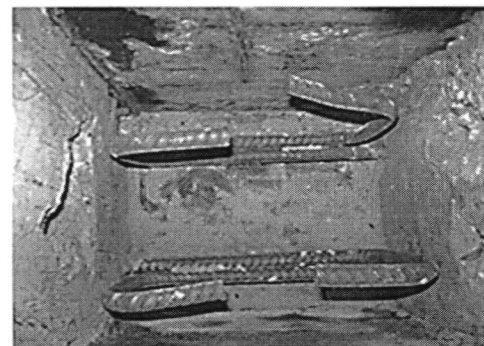


(ก)

ภาพที่ 3.6 รายละเอียดแบบงานสำเร็จรูป B4



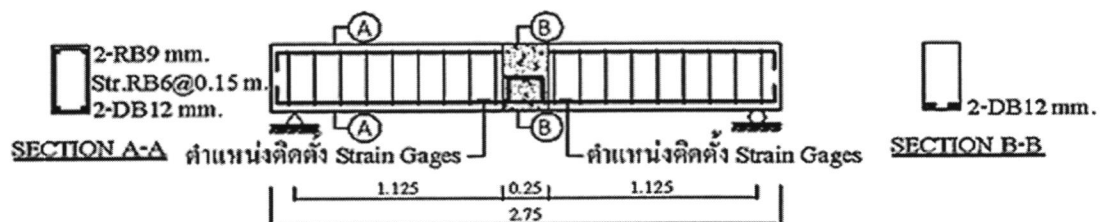
(ก)

แบบขยายรายละเอียดรอยต่อ B5

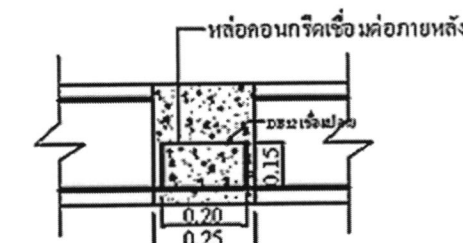
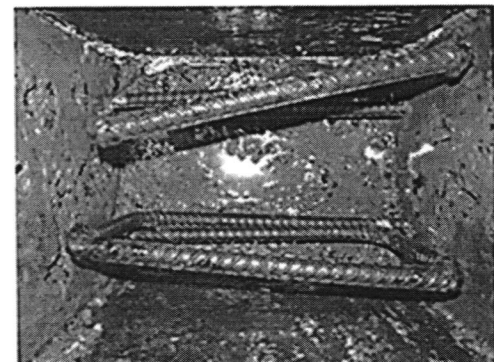
(ข)

(ก)

ภาพที่ 3.7 รายละเอียดแบบงานสำเร็จรูป B5



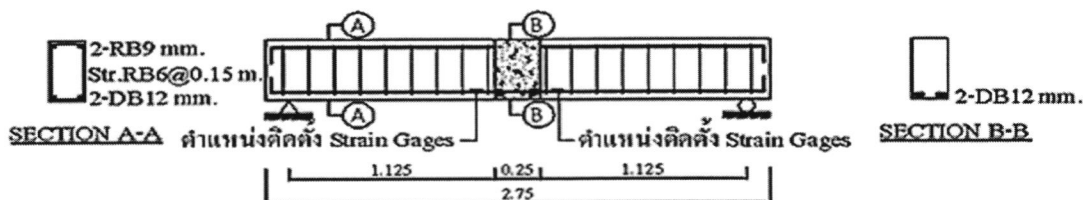
(ก)

แบบขยายรายละเอียดรอยต่อ B6

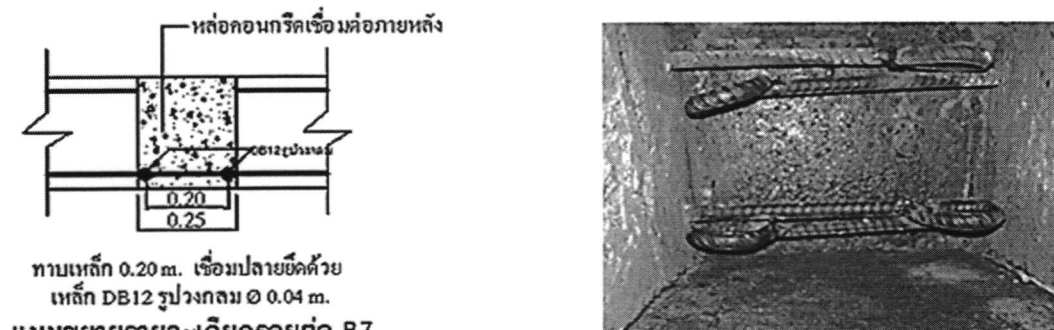
(ข)

(ก)

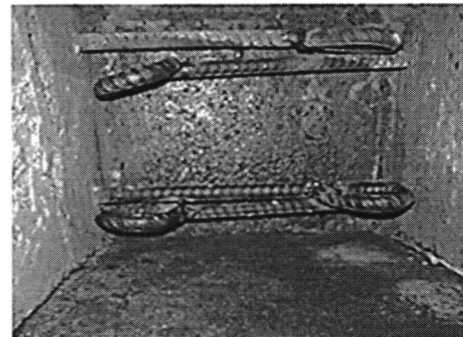
ภาพที่ 3.8 รายละเอียดแบบงานสำเร็จรูป B6



(ก)



(ข)

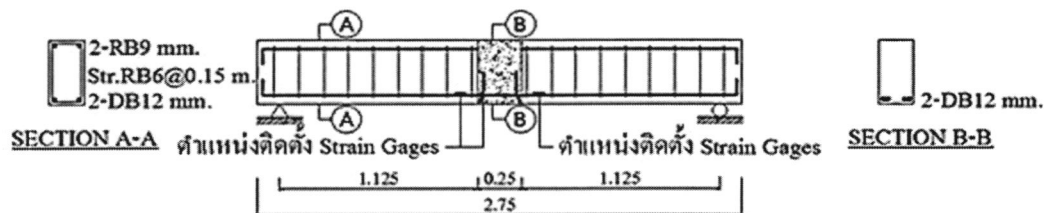


(ก)

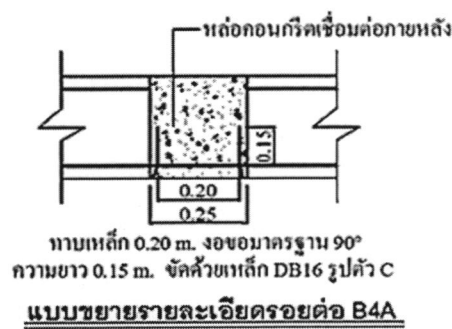
ภาพที่ 3.9 รายละเอียดแบบงานสำเร็จรูป B7

ตารางที่ 3.2 ขนาดงานและลักษณะการต่อเขื่อนของรองรับต่อแบบเปียก (ชุดทดสอบที่ 2)

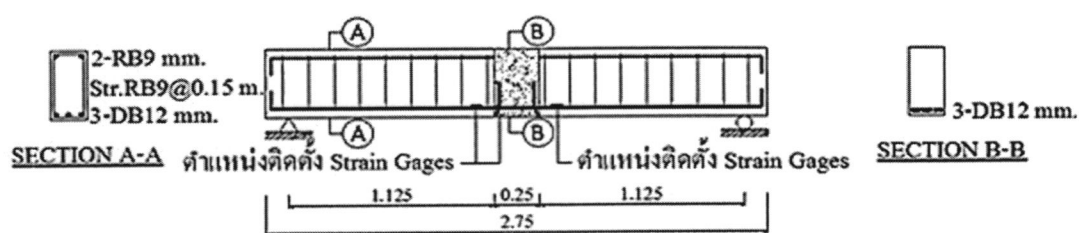
งาน ตัวอย่าง	ขนาดหน้า ตัดงาน (m)	ลักษณะการต่อเขื่อนที่จุดต่อของเหล็ก เสริมรับแรงดึง	เหล็ก เสริมรับ แรงดึง	ร้อยละ เหล็ก ตามขวางต่อ เหล็กตามยาว
B4-A	0.20 x 0.40	โดยการงอข้อมาตรฐาน 90 องศา ขัดด้วย เหล็ก DB16 รูปตัว C	2-DB12	89
B4-B	0.20 x 0.40	โดยการงอข้อมาตรฐาน 90 องศา ขัดด้วย เหล็ก DB12 รูปตัว C	3-DB12	33
B4-C	0.20 x 0.40	โดยการงอข้อมาตรฐาน 90 องศา ขัดด้วย เหล็ก DB16 รูปตัว C	3-DB12	59
B4-D	0.20 x 0.40	โดยการงอข้อมาตรฐาน 90 องศา ขัดด้วย เหล็ก DB12 รูปตัว C	2-DB16	28
B4-E	0.20 x 0.40	โดยการงอข้อมาตรฐาน 90 องศา ขัดด้วย เหล็ก DB16 รูปตัว C	2-DB16	50



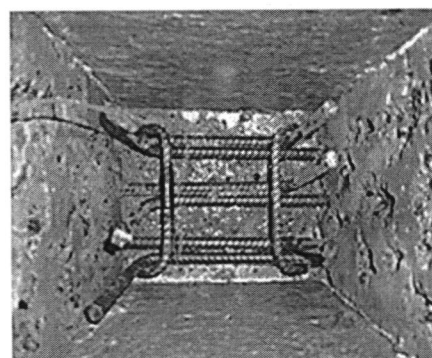
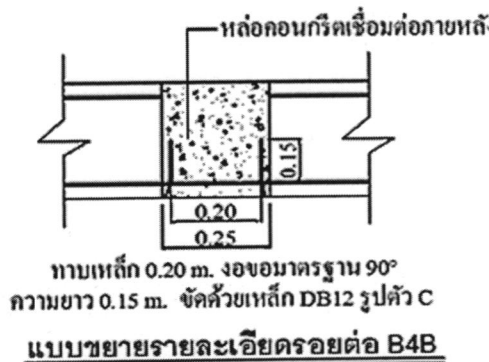
(n)



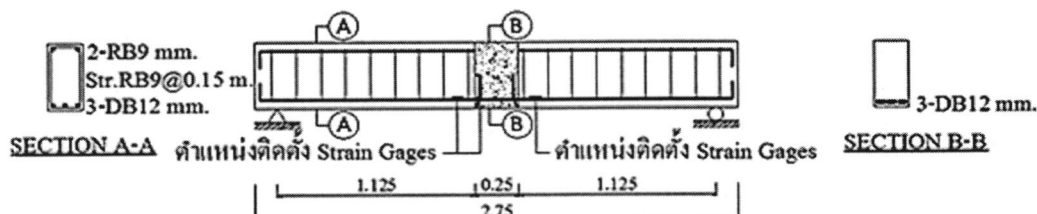
ภาพที่ 3.10 รายละเอียดแบบงานสำเร็จรูป B4-A



(f)



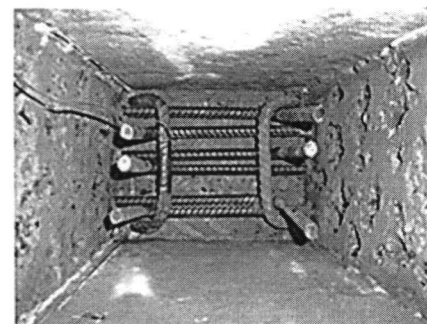
ภาพที่ 3.11 รายละเอียดแบบงานสำเร็จรูป B4-B



(ก)



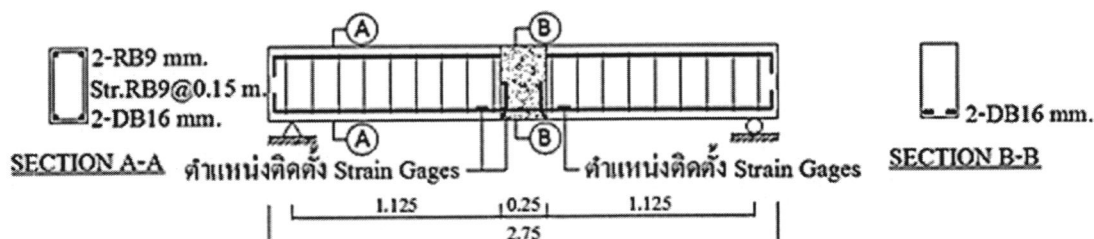
แบบขยายรายละเอียดรอยต่อ B4C



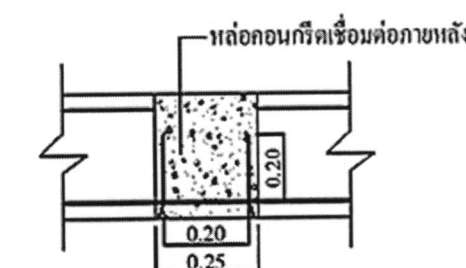
(ก)

(ก)

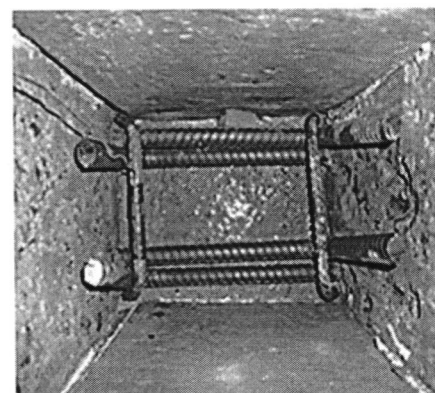
ภาพที่ 3.12 รายละเอียดแบบงานสำเร็จรูป B4-C



(ก)



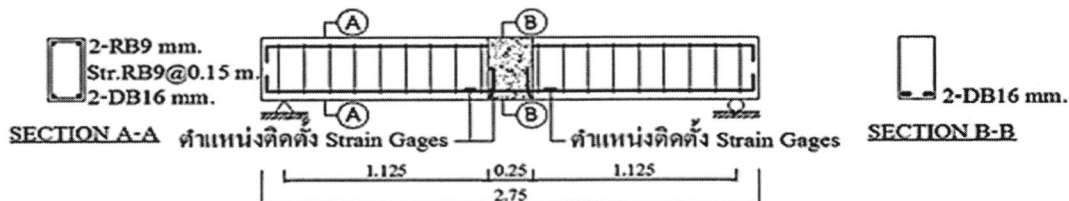
แบบขยายรายละเอียดรอยต่อ B4D



(ก)

(ก)

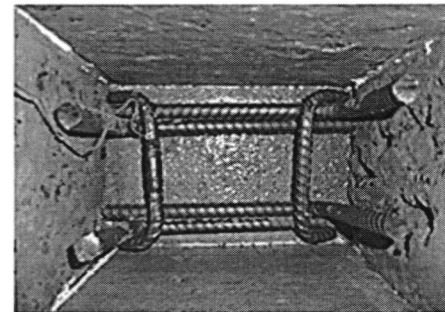
ภาพที่ 3.13 รายละเอียดแบบงานสำเร็จรูป B4-D



(ก)



(ก)



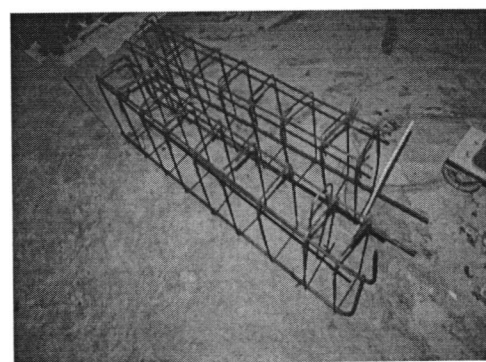
(ก)

ภาพที่ 3.14 รายละเอียดแบบงานสำเร็จรูป B4-E

### 3.4.2 การเตรียมตัวอย่างทดสอบ

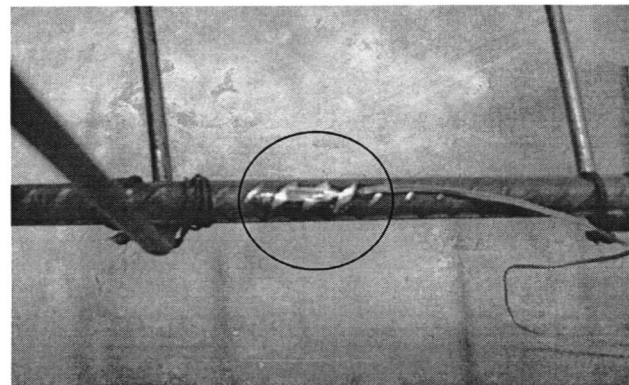
การเตรียมตัวอย่างการทดสอบกำลังรับ荷 โน้มเนนต์คัดของรอยต่อแบบเปียกของงานคอนกรีตสำเร็จรูป ให้ทำแบบรายละเอียดเหล็กเสริมตามรูปแบบต่างๆ ตามหัวข้อที่ 3.4.1 โดยการเตรียมตัวอย่างทดสอบจะดำเนินการตามขั้น ดังนี้

3.4.2.1 ทำการตัดและดัดเหล็กเสริมตามที่ออกแบบ โดยมีการผูกเสริมเหล็กรับแรงดึงจำนวน 2-DB12, 3-DB12 และ 2-DB16 เสริมเหล็กรับแรงเฉือนขนาด RB6 และ RB9 ระยะห่างระหว่างเหล็กเสริมรับแรงเฉือนมีค่าเท่ากับ 0.15 เมตร เหล็กเสริมยึดเหล็กปลอกด้านบนจำนวน 2-RB9 ดังแสดงในภาพที่ 3.15



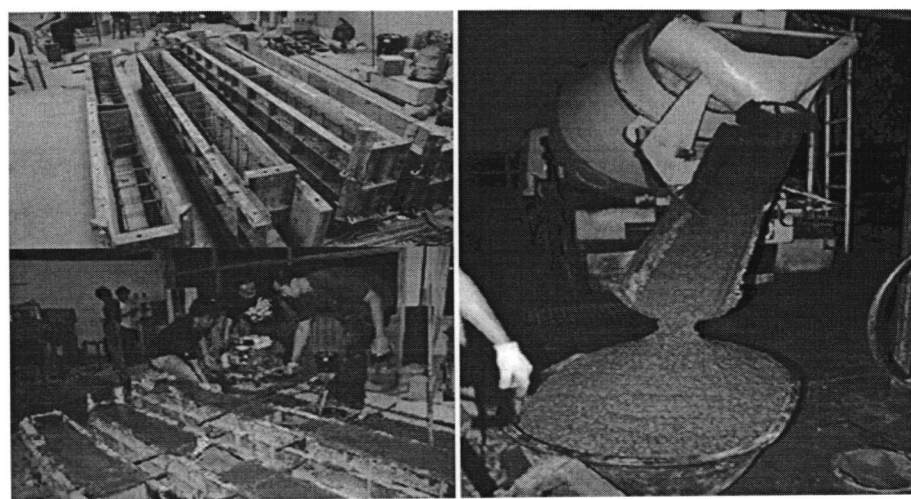
ภาพที่ 3.15 ผูกเหล็กเสริมของงานตัวอย่าง

3.4.2.2 ติดตั้งมาตรวัดความเครียด (Strain gage) ตรงบริเวณเหล็กเสริมรับแรงดึง ใกล้ๆ กับรอยต่อคอนตัวอย่างตามที่กำหนดดังแสดงในภาพที่ 3.3 – 3.14 เพื่อตรวจสอบความเครียด ของเหล็กเสริมรับแรงดึงที่ถูกห่อหุ้ม โดยคอนกรีตภายในได้แรงกระทำ ดังแสดงในภาพที่ 3.16

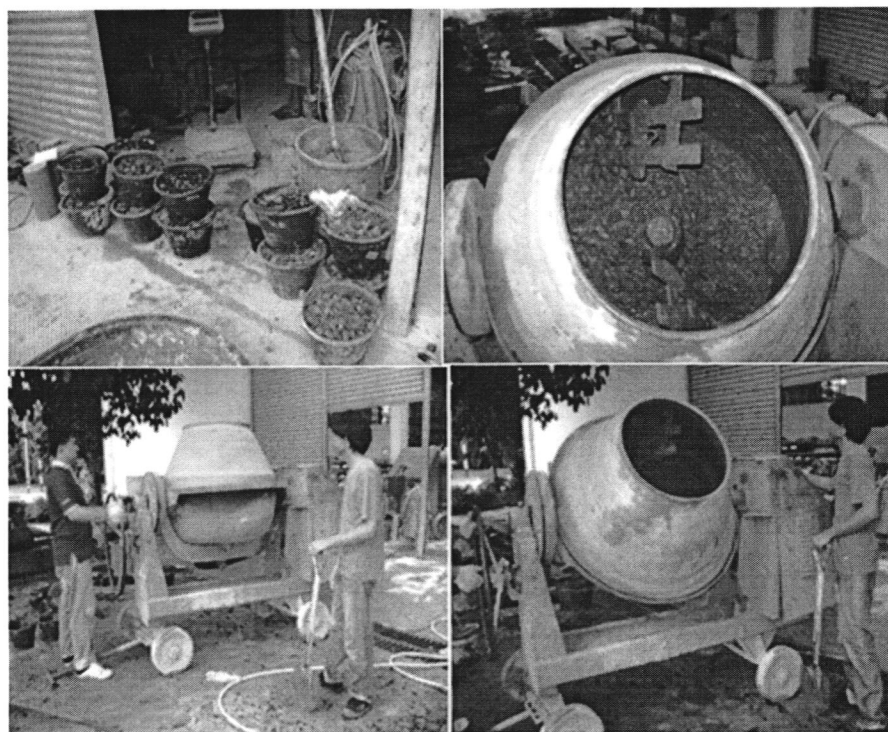


ภาพที่ 3.16 ติดตั้งมาตรวัดความเครียด (Strain gage)

3.4.2.3 ติดตั้งแบบหล่อคอนกรีต ดังแสดงในภาพที่ 3.17 โดยเว้นช่องว่างระหว่างรอยต่อคอนที่ไม่ได้หล่อคอนกรีตแบบต่อเนื่องตามรายละเอียดการออกแบบ พร้อมทั้งพسم และเทคอนกรีตตามค่าที่ออกแบบ จากนั้นเป็นเวลา 24 ชั่วโมง ถอดแบบหล่อคอน (แบบไม้อัด) ตรงบริเวณที่เว้นไว้สำหรับหล่อรอยต่อคอนแบบปีก ทำการสกัดผิวบริเวณรอยต่อให้มีความขรุขระเพื่อเพิ่มการยึดเกาะของคอนกรีตที่จะทำการหล่อภายในหลัง ผสมและเทคอนกรีตตรงบริเวณรอยต่อ ทิ้งไว้เป็นเวลา 24 ชั่วโมง ทำการถอดแบบคอน



ภาพที่ 3.17 เตรียมตัวอย่างคอนกรีตสำเร็จรูป



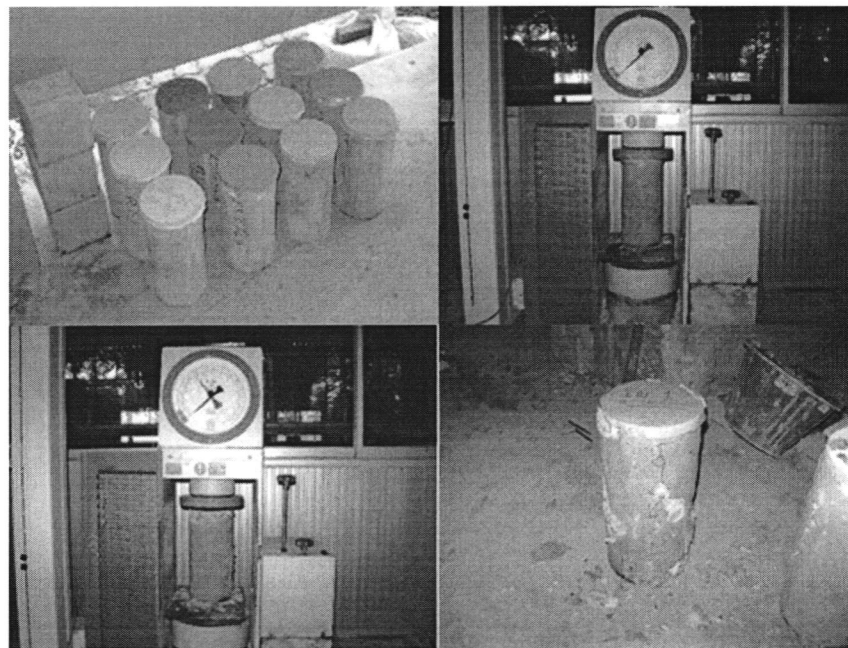
ภาพที่ 3.18 เตรียมตัวอย่างคอนกรีตเทบบริเวณรอยต่อ



ภาพที่ 3.19 บริเวณของรอยต่อแบบเปียกก่อนและหลังการเทคอนกรีต

### 3.4.3 การทดสอบกำลังอัดของคอนกรีต

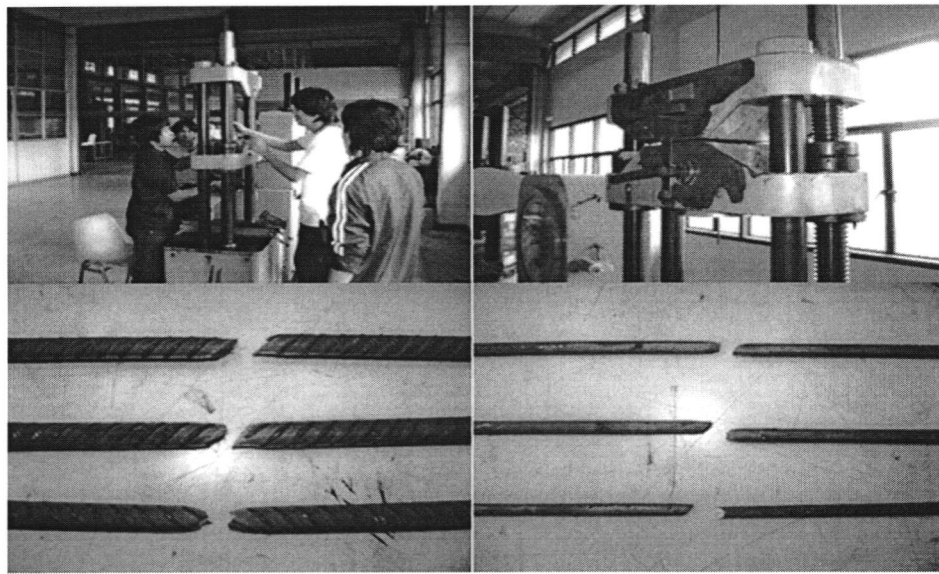
การทดสอบกำลังอัดของคอนกรีต เป็นการทดสอบตัวอย่างคอนกรีตที่ได้จากการเก็บตัวอย่างระหว่างการเทหล่อคอนกรีตและรออยู่ต่อ เพื่อหาค่ากำลังรับแรงอัดของคอนกรีต โดยการทดสอบค่ากำลังอัด (Compressive Strength) ตามมาตรฐาน ASTM C-192 การเก็บตัวอย่างคอนกรีตระหว่างการเทหล่อตัวอย่างนั้น ใช้ตัวอย่างทรงกระบอก (Cylinder) ขนาดเส้นผ่านศูนย์กลาง 0.15 เมตร สูง 0.30 เมตร จากการพิสูจน์ที่ได้รับการบ่มในสภาพอากาศปกติเป็นเวลา 28 วัน แล้วนำมาทดสอบหาค่าเฉลี่ย



ภาพที่ 3.20 ทดสอบกำลังอัดคอนกรีต

### 3.4.4 การทดสอบกำลังรับแรงดึงของเหล็กเสริม

การทดสอบกำลังรับแรงดึงของเหล็กเสริม เพื่อที่จะหาค่ากำลังรับแรงดึงที่จุดคราก กำลังรับแรงดึงสูงสุด ค่าการยืดตัวและค่าโมดูลัสยืดหยุ่นของเหล็กเสริม เพื่อนำค่าคุณสมบัติทางกลของเหล็กเสริมที่ได้ไปใช้ในการออกแบบงานคอนกรีตเสริมเหล็ก มาตรฐานที่ใช้ในการทดสอบ TIS-24-2548 สำหรับเหล็กข้ออ้อย และมาตรฐานทดสอบ TIS-20-2543 สำหรับเหล็กเส้นกลม โดยการสูญตัวอย่างทดสอบเหล็กข้ออ้อยและเหล็กเส้นกลม จำนวนตัวอย่างละสามถิ่น



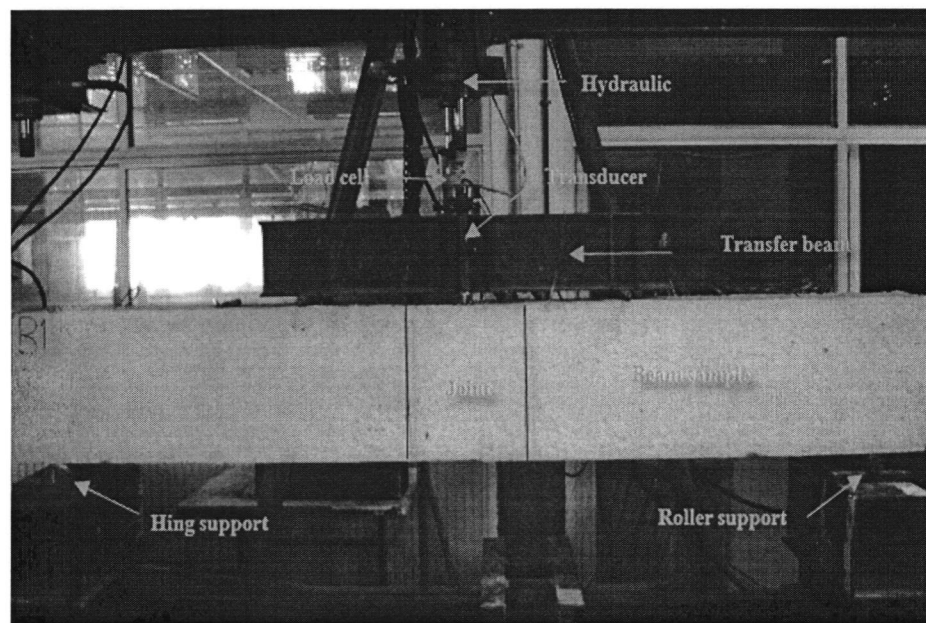
ภาพที่ 3.21 ทดสอบกำลังแรงดึงของเหล็กที่ใช้ในตัวอย่างทดสอบ

### 3.5 การทดสอบตัวอย่าง

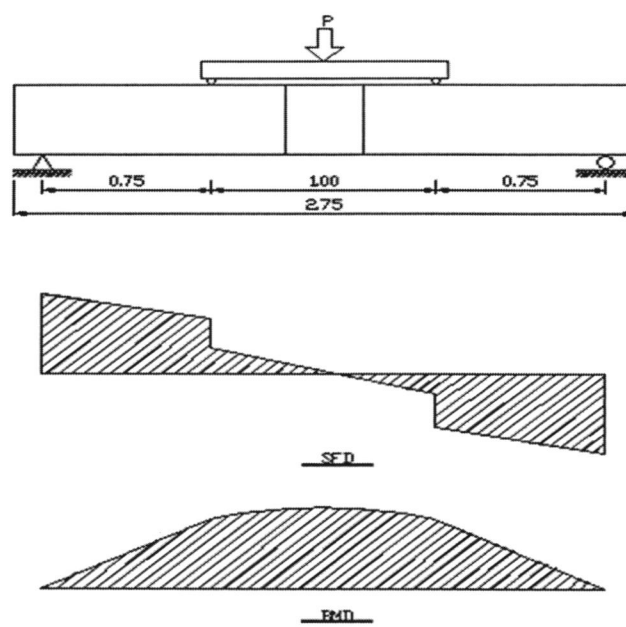
งานตัวอย่างทั้งหมด จะทำการทดสอบแบบน้ำหนักบรรทุกกระทำเป็นจุด (Point loads) ในลักษณะให้น้ำหนักบรรทุกกระทำสี่จุด (Four-point loading) ดังแสดงในภาพที่ 3.22 โดยช่วงความยาวจากกึ่งกลางฐานรองรับถึงกึ่งกลางฐานรองรับมีค่าเท่ากับ 2.50 เมตร ซึ่งมีฐานรองรับเป็นแบบธรรมชาติ (Simple support) ขนาดคานตัวอย่าง  $0.20 \text{ เมตร} \times 0.40 \text{ เมตร}$  ความยาว 2.75 เมตร การทดสอบตัวอย่าง จะติดตั้งคานตัวอย่างทดสอบเข้ากับโครงเฟรม (Loading frame) ใช้แรงกดจาก Hydraulic jack ผ่าน Load cell กระทำที่กึ่งกลาง Transferred beam เพื่อถ่ายแรงลงสู่คานตัวอย่างตามตำแหน่งที่ต้องการ เพื่อจำลองแรงกระทำที่เกิดขึ้นในคานตัวอย่าง โดยเฉพาะลักษณะการดัดตรงบริเวณรอยต่อ วัดระยะการแย่นตัวของคานตัวอย่างโดยใช้ Linear variable differential transducers (LVDT) ติดตั้งที่กึ่งกลางคาน ทำการต่อสายไฟจาก Strain gage, Load cell และ LVDT เข้ากับเครื่อง Data logger เพื่ออ่านผลการทดสอบและป้อนข้อมูลไปยังเครื่องคอมพิวเตอร์

ก่อนทำการทดสอบ ตัวอย่างจะถูก Pre – loading และ unloading คานตัวอย่างทดสอบ โดยให้แรงกระทำต่อตัวอย่างทดสอบในระดับหนึ่ง เพื่อเตรียมความพร้อมของตัวอย่างทดสอบและตรวจสอบระบบการทำงานของเครื่องมือ จนนิ้นทำการทดสอบโดยเพิ่มแรงกระทำอย่างช้าๆ (เมื่อให้น้ำหนักบรรทุกแก่คานทดสอบจะทำให้เกิดแรงเนื้อนและโนเมนต์ดัด ดังแสดงในภาพที่ 3.23) จนตัวอย่างทดสอบเกิดการวินติ ขณะทดสอบทำการลากเส้นรอยแตกบนผิวตัวอย่างทดสอบที่สัมพันธ์

กับน้ำหนักที่กระทำ บันทึกภาพลักษณะการวิบัติของคานตัวอย่างและพิจารณาข้อมูลที่ได้ทำการวิเคราะห์ผลการทดสอบ



ภาพที่ 3.22 ติดตั้งคานตัวอย่าง



ภาพที่ 3.23 ตำแหน่งการให้น้ำหนักบรรทุก พังแรงเฉือนและโมเมนต์คดที่เกิดขึ้น

### 3.6 การเก็บข้อมูล

ก่อนทำการทดสอบจะต้องปรับตั้งและตรวจสอบความเรียบร้อยของเครื่องมืออุปกรณ์ ต่างๆ ให้พร้อมที่จะทำงาน จึงเริ่มดำเนินการทดสอบและเก็บข้อมูล การเก็บข้อมูลการทดสอบจาก การทดสอบตัวอย่าง จะใช้อุปกรณ์การวัดทางไฟฟ้าผ่านการส่งข้อมูลสู่คอมพิวเตอร์ ซึ่งสามารถทำการตรวจวัดและบันทึกผลการทดสอบโดยให้ค่าต่าง ๆ ดังต่อไปนี้

#### 3.6.1 แรงที่กระทำ

#### 3.6.2 ระยะการเอ่นตัว

#### 3.6.3 ความเครียดในเหล็กเสริม

เมื่อเริ่มทำการทดสอบคอมพิวเตอร์จะบันทึกผลในลักษณะข้อมูลสัมพันธ์กับเวลา เมื่อทดสอบเสร็จสามารถบันทึกข้อมูลการทดสอบให้อยู่ในรูปแบบตารางได้ นอกจากนั้นในขณะทดสอบจะทำการถากเส้นรอยแตกบนพื้นผิวตัวอย่างทดสอบที่สัมพันธ์กับหนักที่กระทำ ทำการบันทึกภาพ เพื่อใช้พิจารณาผลการทดสอบ เมื่อพิจารณาร่วมกับข้อมูลของการทดสอบวัสดุ จะทำให้สามารถวิเคราะห์ผลการทดสอบตามสมมุติฐานต่อไป

## บทที่ 4

### ผลและการวิเคราะห์ผลทดสอบ

#### 4.1 บทนำ

บทนี้จะกล่าวถึงผลการทดสอบและการวิเคราะห์ผลของการทดสอบกำลังรับ荷重 เมนต์คัดของรอยต่อแบบเปียกสำหรับงานคอนกรีตสำเร็จรูปที่มีรายละเอียดการเชื่อมต่อของเหล็กเสริมรับแรงดึงรูปแบบต่างๆ เพื่อศึกษาและวิเคราะห์หารายละเอียดการเชื่อมต่อของเหล็กเสริมรับแรงดึงสำหรับรอยต่อแบบเปียกรูปแบบใด ที่สามารถพัฒนากำลังรับ荷重 เมนต์คัดได้ใกล้เคียงกับรอยต่อที่มีลักษณะการเชื่อมต่อโดยวิธีเชื่อมทาง สามารถนำมาพัฒนาปรับปรุงรูปแบบใหม่มีประสิทธิภาพพร้อมที่จะนำมาใช้ในงานก่อสร้างจริงได้

การทดสอบจะทำการเก็บตัวอย่างคอนกรีตtruปทรงระบบยกตามมาตรฐาน ASTM C-192 ซึ่งจะทำการทดสอบตัวอย่างเมื่อคอนกรีตมีกำลังประมาณ 240 กิโลกรัมต่อตารางเซนติเมตร ทั้งคอนกรีตที่หล่อ ก่อนและคอนกรีตที่หล่อภายหลังบริเวณรอยต่อ พร้อมกันนี้ได้ทำการทดสอบกำลังต้านทานแรงดึงของเหล็กเสริมเพื่อใช้เป็นข้อมูลในการออกแบบตามทฤษฎีการออกแบบงานคอนกรีตเสริมเหล็ก สุดท้ายจะนำมาซึ่งบล็อกและข้อเสนอแนะในการออกแบบรอยต่อแบบเปียกสำหรับการก่อสร้างระบบงานคอนกรีตเสริมเหล็กสำเร็จรูป

#### 4.2 กำลังของวัสดุ

วัสดุที่ใช้ในการวิจัยได้ผ่านการทดสอบคุณสมบัติตามมาตรฐานอเมริกา (ASTM) ได้แก่ การทดสอบกำลังรับแรงดึงของคอนกรีตtruปทรงระบบยกตามมาตรฐาน ASTM C-192 การทดสอบกำลังรับแรงดึงของเหล็กข้ออ้อยตามมาตรฐาน TIS-24-2548 และเหล็กเส้นกลมทดสอบกำลังรับแรงดึงตามมาตรฐาน TIS-20-2543 โดยวัสดุที่ใช้ในงานวิจัยมีคุณสมบัติทางกลดังแสดงในตารางที่ 4.1

**ตารางที่ 4.1** คุณสมบัติทางกลของวัสดุที่ใช้ในงานวิจัย

วัสดุ	กำลังครากเฉลี่ย (kg/cm <sup>2</sup> )	กำลังสูงสุด เฉลี่ย (kg/cm <sup>2</sup> )
คอนกรีตชุดที่ 1	-	240
คอนกรีตชุดที่ 2	-	230
เหล็ก RB6 mm	3,511	4,553
เหล็ก RB9 mm	3,553	4,698
เหล็ก DB12 mm	5,636	7,176
เหล็ก DB16 mm	5,674	7,209

### 4.3 ผลการทดสอบ

#### 4.3.1 งานตัวอย่างชุดที่ 1

จากผลการทดสอบ เมื่อนำค่าร้าบหักบรรทุกที่คำนวณารถรับได้และระบบการแอนต์วิ่งก็คงคลาดานตัวอย่าง จากการทดสอบงานตัวอย่างชุดที่หนึ่ง งานตัวอย่างมีการเปลี่ยนแปลงพุติกรรมทางโครงสร้างภายในตัวอย่างให้การคัดในแต่ละชุด ดังแสดงในตารางที่ 4.2

**ตารางที่ 4.2** ผลการทดสอบกำลังต้านทานแรงดึงสูงสุดของรอยต่อคำนวณสำเร็จรูปแบบปีก

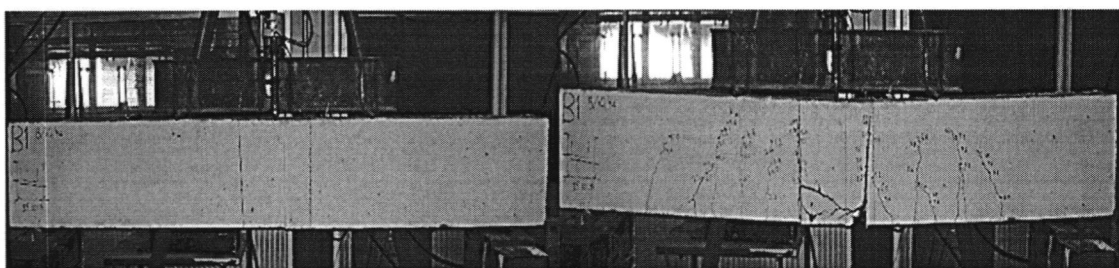
No.	Fist crack point		Yielding point		Crushing point	
	P (kg)	δ (mm)	P (kg)	δ (mm)	P (kg)	δ (mm)
B1	2,000	2.12	10,400	10.48	11,519	17.55
B2	2,400	2.87	10,809	13.11	13,763	55.33
B3	3,200	3.17	-	-	4,643	4.36
B4	2,800	3.65	11,218	12.60	13,408	30.13
B5	1,200	1.46	-	-	10,251	11.03
B6	2,800	3.83	-	-	10,793	12.80
B7	1,200	1.78	11,040	13.71	12,068	19.08

### หมายเหตุ

- B1 รอยต่อขนาด 35 เซนติเมตร เหล็กรับแรงดึงต่อโดยของมาตรฐาน 90 องศา
- B2 รอยต่อขนาด 25 เซนติเมตร เหล็กรับแรงดึงต่อโดยการเชื่อมทาน
- B3 รอยต่อขนาด 25 เซนติเมตร เหล็กรับแรงดึงต่อโดยของมาตรฐาน 180 องศา ขัดด้วยเหล็ก DB12 รูปตัวยู
- B4 รอยต่อขนาด 25 เซนติเมตร เหล็กรับแรงดึงต่อโดยของมาตรฐาน 90 องศา ขัดด้วยเหล็ก DB12 รูปตัวชี
- B5 รอยต่อขนาด 25 เซนติเมตร เหล็กรับแรงดึงต่อโดยของแบบ J-Shape
- B6 รอยต่อขนาด 25 เซนติเมตร เหล็กรับแรงดึงต่อโดยของมาตรฐาน 90 องศา เชื่อมยึดปลายด้วยเหล็ก DB12
- B7 รอยต่อขนาด 25 เซนติเมตร เหล็กรับแรงดึงต่อโดยเชื่อมยึดปลายด้วยเหล็ก DB12 รูปวงกลม

#### 4.3.1.1 งานตัวอย่าง B1

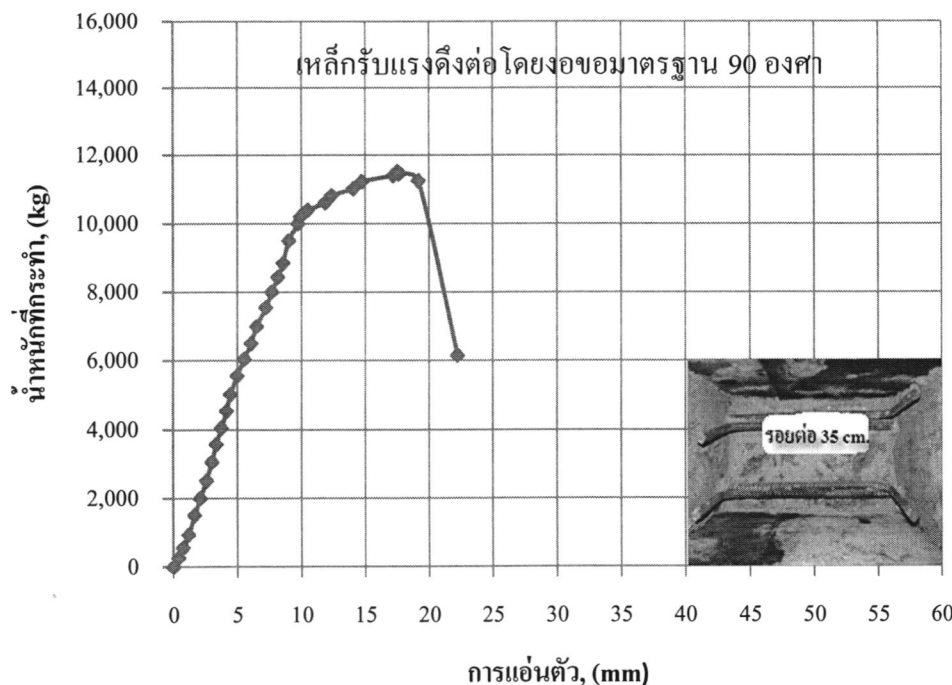
จากผลการทดสอบกำลังรับ荷重 maximum strength คัดของงานที่มีรอยต่อเทคอนกรีตภายในห้องและมีเหล็กรับแรงดึงต่อโดยของมาตรฐาน 90 องศา รอยต่อแบบเปียกมีขนาดยาว 35 เซนติเมตร (B1) เมื่อการรับน้ำหนักบรรทุกมากขึ้นจนทำให้หน่วยแรงดึงของคอนกรีตที่ห้องงานมีค่าเกินกว่าความสามารถต้านทานแรงดึงระหว่างผิวสัมผัสของคอนกรีตเก่ากับคอนกรีตใหม่ตรงบริเวณรอยต่อ คอนกรีตจะเริ่มร้าวบริเวณผิวสัมผัสของรอยต่อเป็นจุดแรก โดยค่าน้ำหนักบรรทุกที่ทำให้คอนกรีตเริ่มแตกร้าวภายในได้การคัดมีค่า 2,000 กิโลกรัม การแยกตัวที่กึ่งกลางงานมีค่า 2.12 มิลลิเมตร และจะเกิดการแตกร้าวขยายเพิ่มขึ้นไปยังปลายงานเนื่องจากแรงดันที่เพิ่มขึ้น โดยจะมีแนวตั้งจากกับความยาวงานที่บริเวณผิวสัมผัสของรอยต่อและมีแนวเฉียงที่บริเวณปลายงาน ดังแสดงในภาพที่ 4.1



ภาพที่ 4.1 ลักษณะงานก่อนการวินิจฉัยและหลังการวินิจฉัยของงานตัวอย่าง B1

เมื่อนำค่าน้ำหนักบรรทุกที่กระทำต่อคานและค่าการแอล์ตัวของคานที่วัดได้ในจุดที่ติดตั้ง Linear variable differential transducers (LVDT) ที่กึ่งกลางคาน มาสร้างกราฟความสัมพันธ์ระหว่างน้ำหนักบรรทุกและการแอล์ตัวของคาน จะสามารถแสดงได้ดังภาพที่ 4.2 ซึ่งจากกราฟความสัมพันธ์ดังกล่าวทำให้สามารถวิเคราะห์ หาค่าน้ำหนักบรรทุกที่ทำให้เหล็กเสริมเริ่มครากภายใต้การดัดมีค่า 10,400 กิโลกรัม ระยะการแอล์ตัวที่กึ่งกลางคานมีค่า 10.48 มิลลิเมตร และค่าน้ำหนักบรรทุกสูงสุดที่คานสามารถรับได้ภายใต้การดัดมีค่า 11,519 กิโลกรัม ระยะการแอล์ตัวที่กึ่งกลางคานมีค่า 17.55 มิลลิเมตร

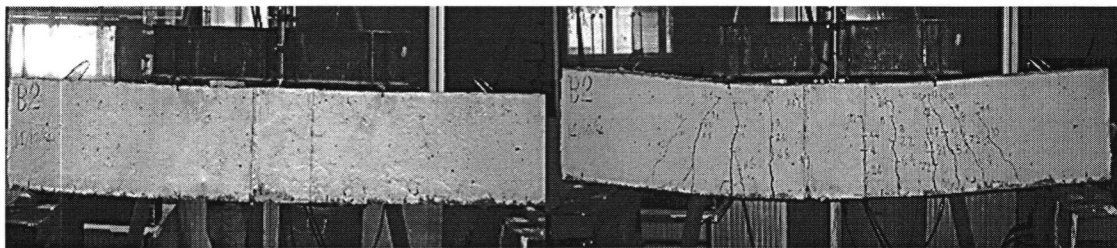
ถ้าจะณาการวินิจฉัยของคานตัวอย่างเป็นการวินิจฉัยที่เกิดจากแรงดึงในเหล็กเสริมถึงจุดแตกก่อน (Yielding failure) พฤติกรรมการวินิจฉัยของคานมีการเตือนให้ทราบล่วงหน้าว่า การวินิจฉัยกำลังจะเกิดขึ้น ซึ่งเป็นไปตามทฤษฎีของคานที่มีปริมาณเหล็กเสริมรับแรงดึงต่ำกว่า อัตราส่วนที่สภาวะสมดุล โดยคอนกรีตบริเวณรอยต่อจะเกิดการแตกร้าวชั้น เสาเหตุอาจเนื่องมาจากการดึงที่ออกภายในรอยต่อบีบอัดคอนกรีตในบริเวณดังกล่าวจนแตก เพราะการของจากช่วยเพิ่มกำลังยึดเหนี่ยวระหว่างคอนกรีตกับเหล็กเสริมเป็นอย่างดี แต่ก็เป็นการช่วยเพิ่มแรงอัดของคอนกรีตในบริเวณของรอยต่อ เช่นกัน จึงส่งผลให้คานวินิจฉัย โดยคานตัวอย่างสามารถรับ荷重เดียวสูงสุดได้เท่ากับ 4,320 กิโลกรัม-เมตร เมื่อนำผลการทดสอบที่ได้มาเปรียบเทียบกับค่าการออกแบบทางทฤษฎี ( $M_n = 4,578$  กิโลกรัม-เมตร) คานตัวอย่างมีค่าความแตกต่างต่ำกว่าทฤษฎีร้อยละ 5.65 มีค่าความหนึ่งของโครงสร้าง ( $\frac{\delta_n}{\delta_y}$ ) เท่ากับ 1.67 ดังแสดงในตารางที่ 4.3



ภาพที่ 4.2 ความสัมพันธ์ระหว่างน้ำหนักบรรทุกับค่าการแ่อนตัวที่เกิดขึ้นของงานตัวอย่าง B1

#### 4.3.1.2 งานตัวอย่าง B2

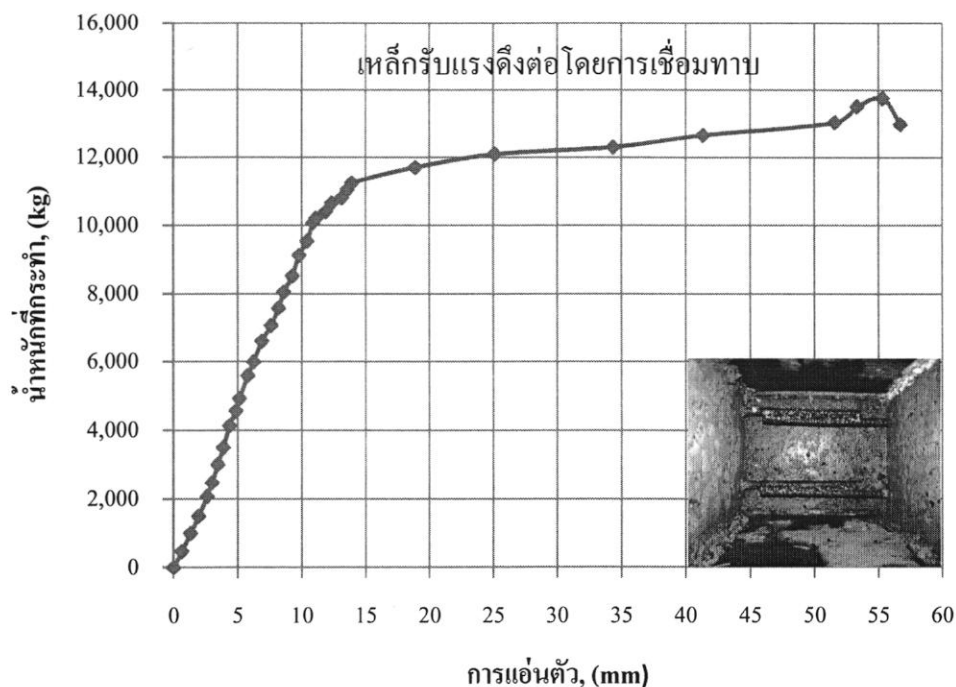
จากผลการทดสอบกำลังรับ荷重เมื่อตัดของงานที่มีรอยต่อเทคโนโลยีตากลังและมีเหล็กรับแรงดึงต่อโดยการเชื่อมทาน รอยต่อแบบเปียกขนาด 25 เซนติเมตร (B2) เมื่องานรับน้ำหนักบรรทุกมากขึ้นจนทำให้หักเร่งดึงของคอนกรีตที่ห้องงานมีค่าเกินกว่าความสามารถต้านทานเร่งดึงระหว่างผิวสัมผัสของคอนกรีตเก่ากับคอนกรีตใหม่ตรงบริเวณรอยต่อ คอนกรีตจะเริ่มร้าบบริเวณผิวสัมผัสของรอยต่อเป็นจุดแรก โดยค่า�้ำหนักบรรทุกที่ทำให้คอนกรีตเริ่มแตกร้าวยายเพิ่มขึ้นไปยังปลายงานนี้ของงานเร่งดัด (Flexural cracks) ที่เพิ่มขึ้น โดยจะมีแนวตั้งจากกับความยาวงานที่บริเวณผิวสัมผัสของรอยต่อและมีแนวเฉียงที่บริเวณปลายงาน ดังแสดงในภาพที่ 4.3



ภาพที่ 4.3 ลักษณะคานก่อนการวิบติและหลังการวิบติของคานตัวอย่าง B2

เมื่อนำค่าน้ำหนักบรรทุกที่กระทำต่อคานและค่าการแอล์ตัวของคานที่วัดได้ในจุดที่ติดตั้ง LVDT ที่กึ่งกลางคาน มาสร้างกราฟความสัมพันธ์ระหว่างน้ำหนักบรรทุกและการแอล์ตัวของคาน จะสามารถแสดงได้ดังภาพที่ 4.4 ซึ่งจากราฟความสัมพันธ์ดังกล่าวทำให้สามารถวิเคราะห์ หาค่าน้ำหนักบรรทุกที่ทำให้เหล็กเสริมเริ่มครากภายใต้การดัดมีค่า 10,809 กิโลกรัม ระยะการแอล์ตัวที่กึ่งกลางคานมีค่า 13.11 มิลลิเมตร และค่าน้ำหนักบรรทุกสูงสุดที่คานสามารถรับได้ภายใต้การดัดมีค่า 13,763 กิโลกรัม ระยะการแอล์ตัวที่กึ่งกลางคานมีค่า 55.33 มิลลิเมตร

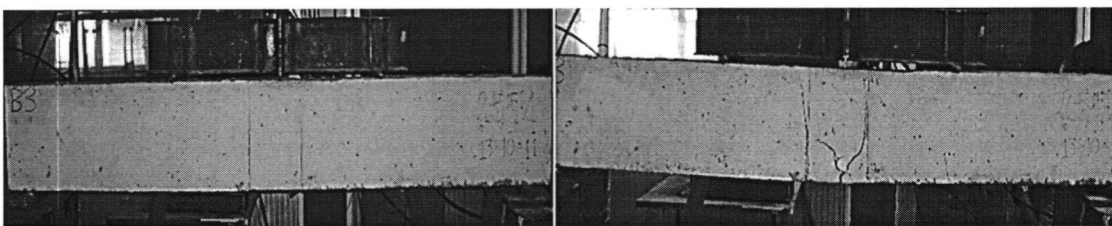
ลักษณะการวิบติของคานตัวอย่างเป็นการวิบติที่เกิดจากแรงดึงในเหล็กเสริมถึงจุดครากก่อน (Yielding failure) พฤติกรรมการวิบติของคานมีการเตือนให้ทราบล่วงหน้าว่า การวิบติกำลังจะเกิดขึ้น ซึ่งเป็นไปตามทฤษฎีของคานที่มีปริมาณเหล็กเสริมรับแรงดึงต่ำกว่า อัตราส่วนที่สภาวะสมดุล เนื่องจากวิธีการเชื่อมทາบทาให้เหล็กเสริมรับแรงดึงเป็นเสมอชนิดเดียวกัน ทำให้เหล็กเสริมรับแรงดึงนั้นเกิดความต่อเนื่อง โดยคานตัวอย่างสามารถรับ荷重เมณฑ์ดัดสูงสุดได้เท่ากับ 5,161 กิโลกรัม-เมตร เมื่อนำผลการทดสอบที่ได้มาเปรียบเทียบกับค่าการออกแนวทางทฤษฎี คานตัวอย่างมีค่าความแตกต่างสูงกว่าทฤษฎี ร้อยละ 12.73 มีค่าความเห็นใจของโครงสร้างเท่ากับ 4.22



ภาพที่ 4.4 ความสัมพันธ์ระหว่างน้ำหนักบรรทุกกับค่าการแย่นตัวที่เกี่ยวกับกลางของคานตัวอย่าง B2

#### 4.3.1.3 คานตัวอย่าง B3

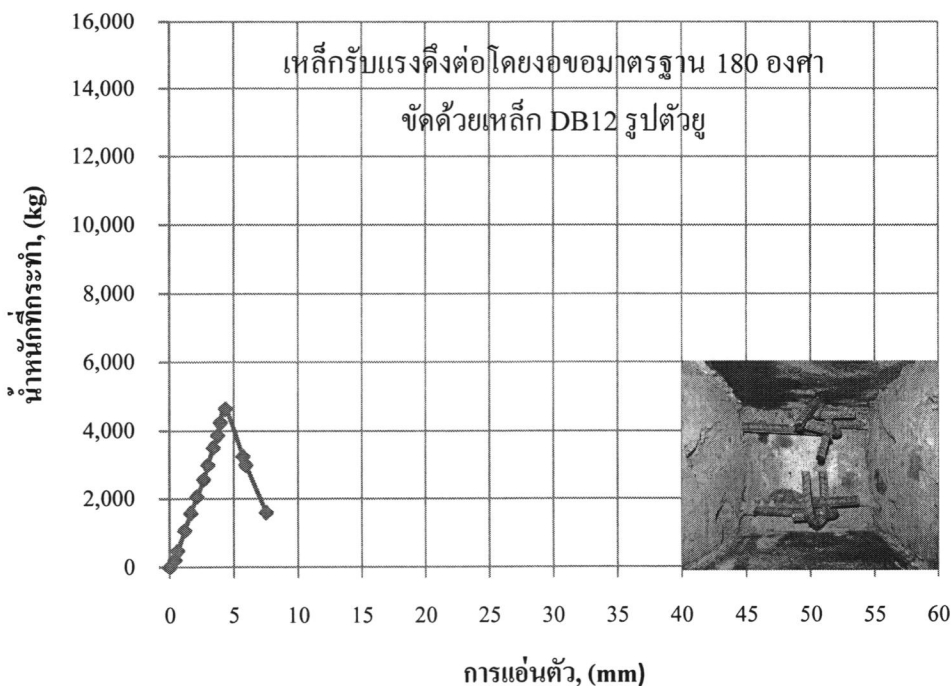
จากผลการทดสอบกำลังรับ荷重เม็นต์คัดของคานที่มีรอยต่อเทคอนกรีตภายในและมีเหล็กรับแรงดึงต่อโดยขอมาตรฐาน 180 องศา ขัดด้วยเหล็ก DB12 รูปตัวยู รอยต่อแบบเปียกขนาด 25 เซนติเมตร (B3) เมื่อคานรับน้ำหนักบรรทุกมากขึ้นจนทำให้หน่วยแรงดึงของคอนกรีตที่ห้องคานมีค่าเกินกว่าความสามารถต้านทานแรงดึงระหว่างผิวสัมผัสของคอนกรีตเกากับคอนกรีตใหม่ตรงบริเวณรอยต่อ คอนกรีตจะเริ่มร้าวบริเวณผิวสัมผัสของรอยต่อเป็นชุดแรก โดยค่าน้ำหนักบรรทุกที่ทำให้คอนกรีตเริ่มแตกร้าวภายในบริเวณรอยต่อ คือ 3,200 กิโลกรัม การแย่นตัวที่เกี่ยวกับคานมีค่า 3.17 มิลลิเมตร และจะเกิดการแตกร้าวขยายเพิ่มขึ้นอย่างชัดเจนภายในบริเวณรอยต่อ ดังแสดงในภาพที่ 4.5



ภาพที่ 4.5 ลักษณะการก่อการวินาศัยและหลังการวินาศัยของงานตัวอย่าง B3

เมื่อนำค่าน้ำหนักบรรทุกที่กระทำต่องานและการแอลเอ็นตัวของงานที่วัดได้ในจุดที่ติดตั้ง LVDT ที่กึ่งกลางงาน มาสร้างกราฟความสัมพันธ์ระหว่างน้ำหนักบรรทุกและการแอลเอ็นตัวของงาน จะสามารถแสดงໄດ้ดังภาพที่ 4.6 ซึ่งจากการวินาศัยของงานตัวอย่างที่วัดไว้คร่าวๆ หาค่าน้ำหนักบรรทุกสูงสุดที่งานสามารถรับได้ภายใต้การดัชนีค่า 4,643 กิโลกรัม ระยะการแอลเอ็นตัวที่กึ่งกลางงานมีค่า 4.36 มิลลิเมตร

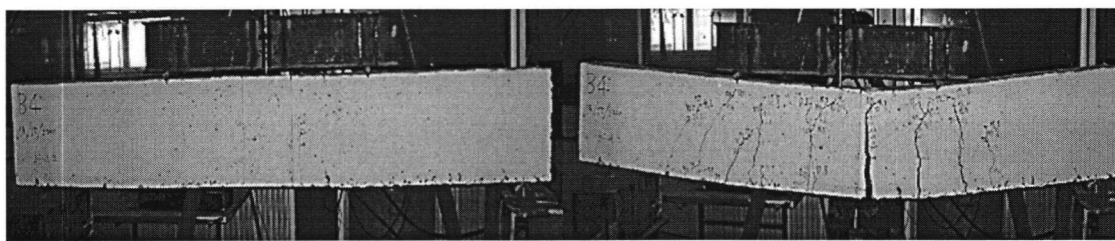
ลักษณะการวินาศัยของงานตัวอย่างเป็นการวินาศัยที่เกิดจากองค์กรีตตรงบริเวณรอยต่อถูกอัดแตกก่อน (Crushing failure) พฤติกรรมการวินาศัยของงานไม่มีการเดือนให้ทราบล่วงหน้าว่าการวินาศัยจะเกิดขึ้น คงกรีตตรงบริเวณรอยต่อจะเกิดการแตกร้าวอย่างชัดเจนและมากกว่าบริเวณอื่น แต่เกิดขึ้นในช่วงระยะเวลาที่สั้นก่อนงานจะวินาศัยแบบฉับพลัน ซึ่งเหล็กเสริมยังไม่ถึงจุดคราก สาเหตุอาจเกิดจากเหล็กที่ขัดรูปตัวยูนั้นเกิดการเคลื่อนตัวทำให้เกิดการแตกร้าวที่บริเวณรอยต่อก่อน ซึ่งสามารถกล่าวได้ว่ารอยต่อวินาศัยเนื่องจากแรงแบกทางของลักษณะการเสื่อมต่อที่จุดต่อของเหล็กเสริมรับแรงดึงก่อนที่เหล็กเสริมจะทำการรับแรงดึง โดยงานตัวอย่างสามารถรับ荷重ต่อห้าม เมตรตัดสูงสุดได้เท่ากับ 1,741 กิโลกรัม-เมตร เมื่อนำผลการทดสอบที่ได้มาเปรียบเทียบกับค่าการออกแบบทางทฤษฎี งานตัวอย่างมีค่าความแตกต่างต่ำกว่าทฤษฎีร้อยละ 61.97 เห็นได้ชัดว่าทั้งกำลังและพฤติกรรมการวินาศัยของรอยต่อลักษณะนี้ยังไม่เหมาะสมที่จะนำมาใช้งาน



ภาพที่ 4.6 ความสัมพันธ์ระหว่างน้ำหนักบรรทุกกับค่าการแอ่นตัวที่เกิดขึ้นของกลางของคอนกรีตตัวอย่าง B3

#### 4.3.1.4 คอนกรีตตัวอย่าง B4

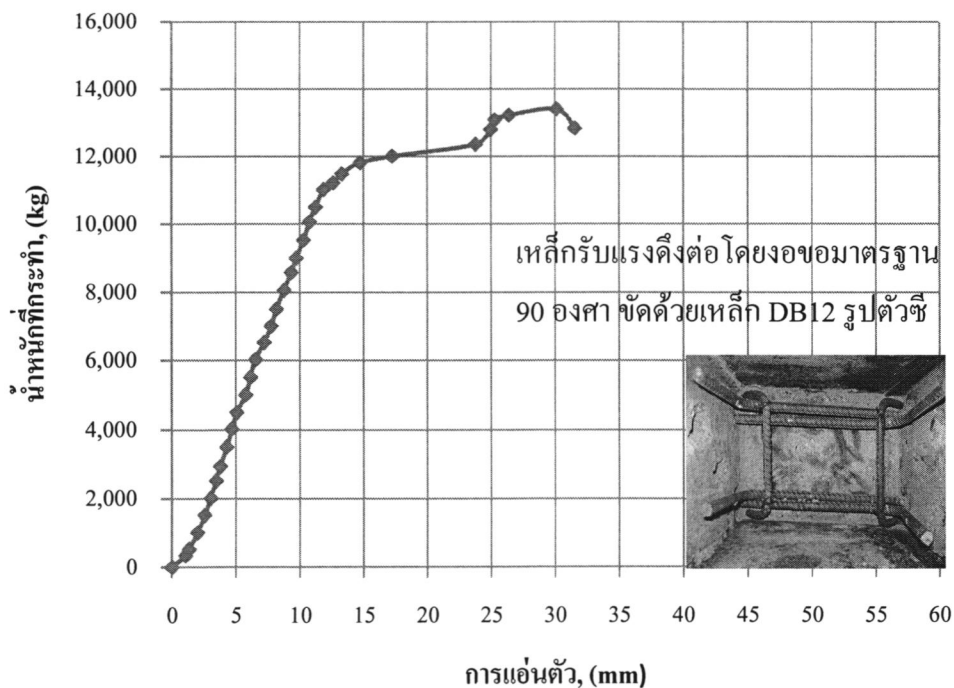
จากผลการทดสอบกำลังรับ荷重 เมนต์คัดของคอนกรีตที่มีรอยต่อเทคอนกรีตภายในหลังและมีเหล็กรับแรงดึงต่อโดยงอขอมาตรฐาน 90 องศา ขัดด้วยเหล็ก DB12 รูปตัวซีที่มุ่งรอยต่อแบบเปียกขนาด 25 เซนติเมตร (B4) เมื่อคานรับน้ำหนักบรรทุกมากขึ้นจนทำให้หน่วยแรงดึงของคอนกรีตที่ห้องคานมีค่าเกินกว่าความสามารถต้านทานแรงดึงระหว่างผิวสัมผัสของคอนกรีตเก่ากับคอนกรีตใหม่ตรงบริเวณรอยต่อ คอนกรีตจะเริ่มร้าวบริเวณผิวสัมผัสของรอยต่อเป็นจุดแรก โดยค่าน้ำหนักบรรทุกที่ทำให้คอนกรีตเริ่มแตกร้าวภายในได้การคัดมีค่า 2,800 กิโลกรัม การแอ่นตัวที่เกิดขึ้นของกลางคานมีค่า 3.65 มิลลิเมตร และจะเกิดการแตกร้าวขยายเพิ่มขึ้นไปยังปลายคานเนื่องจากแรงดัด (Flexural cracks) ที่เพิ่มขึ้น โดยจะมีแนวตั้งจากกับความยาวคานที่บริเวณผิวสัมผัสของรอยต่อ และมีแนวเฉียงที่บริเวณปลายคาน ดังแสดงในภาพที่ 4.7



ภาพที่ 4.7 ลักษณะการก่อนการวิบติและหลังการวิบติของคานตัวอย่าง B4

เมื่อนำค่าน้ำหนักบรรทุกที่กระทำต่อคานและค่าการแอลเอ็นตัวของคานที่วัดได้ในจุดที่ติดตั้ง LVDT ที่กึ่งกลางคาน มาสร้างกราฟความสัมพันธ์ระหว่างน้ำหนักบรรทุกและการแอลเอ็นตัวของคาน จะสามารถแสดงได้ดังภาพที่ 4.8 ซึ่งจากการวิบติของคานตัวอย่าง B4 สามารถวิเคราะห์หาค่าน้ำหนักบรรทุกที่ทำให้เหล็กเสริมเริ่มครากภายใต้การดัดมีค่า 11,218 กิโลกรัม ระยะการแอลเอ็นตัวที่กึ่งกลางคานมีค่า 13.91 มิลลิเมตร และค่าน้ำหนักบรรทุกสูงสุดที่คานสามารถรับได้ภายใต้การดัดมีค่า 13,408 กิโลกรัม ระยะการแอลเอ็นตัวที่กึ่งกลางคานมีค่า 30.13 มิลลิเมตร

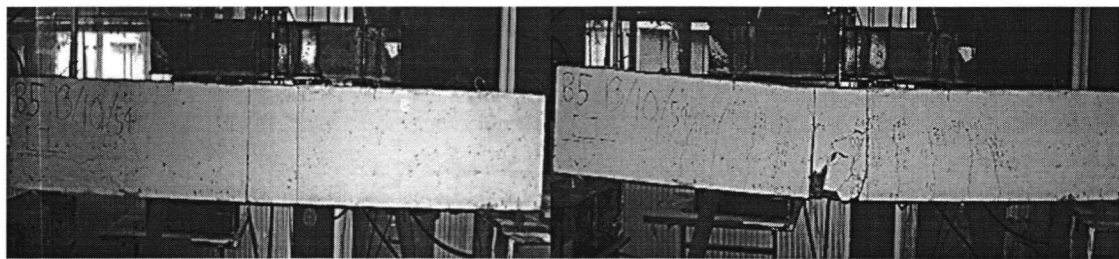
ลักษณะการวิบติของคานตัวอย่างเป็นการวิบติที่เกิดจากแรงดึงในเหล็กเสริมถึงจุดครากก่อน (Yielding failure) พฤติกรรมการวิบติของคานมีการเตือนให้ทราบล่วงหน้าว่า การวิบติกำลังจะเกิดขึ้น ซึ่งเป็นไปตามทฤษฎีของคานที่มีปริมาณเหล็กเสริมรับแรงดึงต่ำกว่าอัตราส่วนที่สภาวะสมดุล ซึ่งการวิบติจะเกิดขึ้นตรงบริเวณขอบรอยต่อของคาน จะเกิดการแตกร้าวอย่างชัดเจน โดยคานตัวอย่างสามารถรับโมเมนต์ดัดสูงสุดได้เท่ากับ 5,028 กิโลกรัม-เมตร เมื่อนำผลการทดสอบที่ได้มาเปรียบเทียบกับค่าการออกแบบทางทฤษฎี คานตัวอย่างมีค่าความแตกต่างสูงกว่าทฤษฎีร้อยละ 9.82 มีค่าความเหนี่ยวยาวของโครงสร้างเท่ากับ 2.39 จะเห็นได้ว่าคานดังกล่าวสามารถพัฒนากำลังได้ใกล้เคียงกับค่าการออกแบบทางทฤษฎี เนื่องจากเหล็ก DB12 รูปตัวซี ที่ขัดໄว้ตรงบริเวณมุมของการงอขอช่วยเพิ่มแรงยึดเหนี่ยวและช่วยลดการแตกร้าวของคอนกรีตตรงบริเวณรอยต่อได้ในระดับหนึ่ง ดังนั้นหากมีการศึกษาเกี่ยวกับรอยต่อชนิดนี้อย่างละเอียด ก็อาจจะสามารถนำมาประยุกต์ใช้กับงานก่อสร้างจริงได้



ภาพที่ 4.8 ความสัมพันธ์ระหว่างน้ำหนักบรรทุกกับค่าการแฉ้นตัวที่เก็บจากการทดลองของงานตัวอย่าง B4

#### 4.3.1.5 งานตัวอย่าง B5

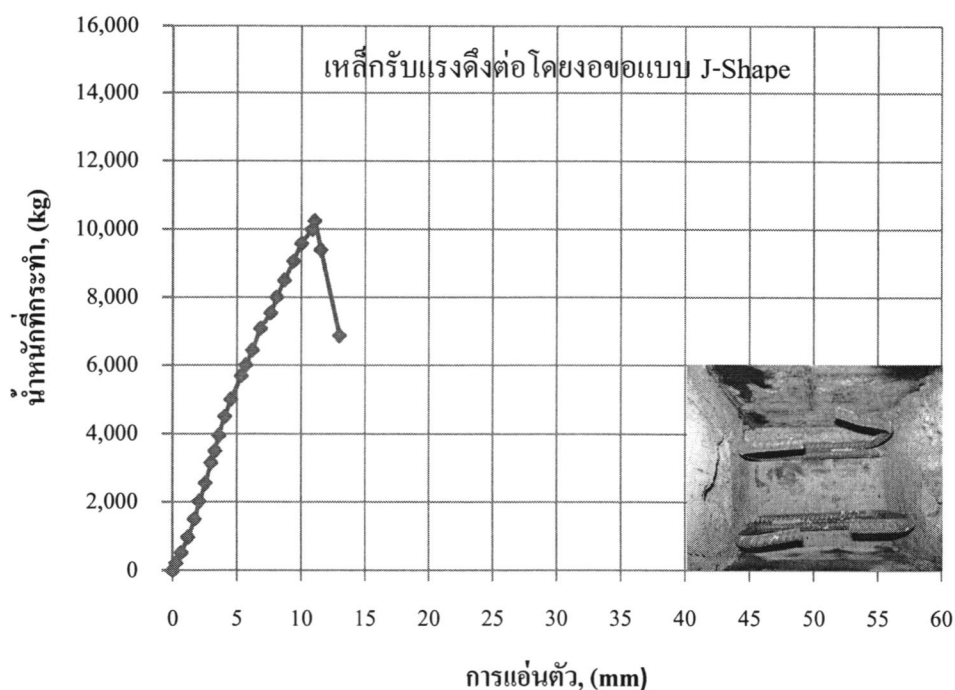
จากผลการทดสอบกำลังรับ荷重 เมนต์คัคของงานที่มีรอยต่อเทคอนกรีตภายในหลังและมีเหล็กรับแรงดึงต่อโดยงอของแบบ J-Shape รอยต่อแบบเปียกขนาด 25 เซนติเมตร (B5) เมื่องานรับน้ำหนักบรรทุกมากขึ้นจนทำให้หักงอแรงดึงของคอนกรีตที่ห้องงานมีค่าเกินกว่าความสามารถต้านทานแรงดึงระหว่างผิวสัมผัสของคอนกรีตเก่ากับคอนกรีตใหม่ตรงบริเวณรอยต่อ คอนกรีตจะเริ่มร้าบบริเวณผิวสัมผัสของรอยต่อเป็นจุดแรก โดยค่า�้ำหนักบรรทุกที่ทำให้คอนกรีตเริ่มแตกร้าวยายเพิ่มขึ้นไปยังปลายงานเนื่องจากแรงดัด (Flexural cracks) ที่เพิ่มขึ้น โดยจะมีแนวตั้งจากกับความยาวงานที่บริเวณผิวสัมผัสของรอยต่อและมีแนวเฉียงที่บริเวณปลายงาน ดังแสดงในภาพที่ 4.9



ภาพที่ 4.9 ลักษณะคานก่อนการวิบติและหลังการวิบติของคานตัวอย่าง B5

เมื่อนำค่าน้ำหนักบรรทุกที่กระทำต่อคานและค่าการแอ่นตัวของคานที่วัดได้ในจุดที่ติดตั้ง LVDT ที่กึ่งกลางคาน มาสร้างกราฟความสัมพันธ์ระหว่างน้ำหนักบรรทุกและการแอ่นตัวของคาน จะสามารถแสดงได้ดังภาพที่ 4.10 ซึ่งจากราฟความสัมพันธ์ดังกล่าวทำให้สามารถวิเคราะห์ หาค่าน้ำหนักบรรทุกสูงสุดที่คานสามารถรับได้ภายใต้การดัดมีค่า  $10,251$  กิโลกรัม ระยะการแอ่นตัวที่กึ่งกลางคานมีค่า  $11.03$  มิลลิเมตร

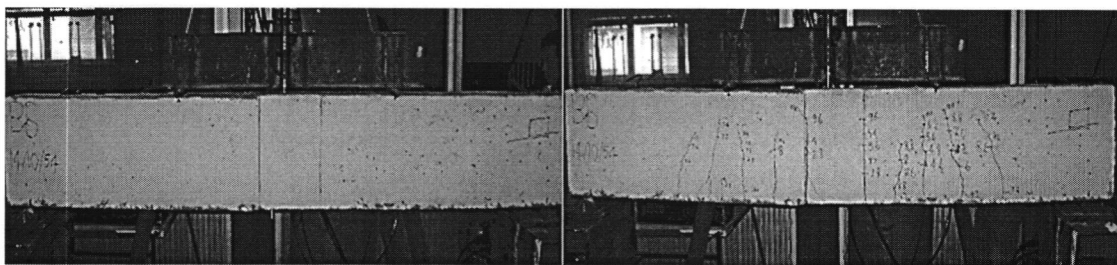
ลักษณะการวิบติของคานตัวอย่างเป็นการวิบติที่เกิดจากคอกองกรีตตรงบริเวณรอยต่อถูกอัดแตกก่อน (Crushing failure) พฤติกรรมการวิบติของคานไม่มีการเตือนให้ทราบล่วงหน้าว่าการวิบติกำลังจะเกิดขึ้น คอกองกรีตบริเวณรอยต่อจะเกิดการแตกร้าวชัดเจนและมากกว่าบริเวณอื่นก่อนคานจะวิบติแบบฉบับพลัน ซึ่งเหล็กเสริมยังไม่ถึงจุดคราก สาเหตุการวิบติอาจเกิดเนื่องจากการที่เหล็กเสริมรับแรงดึงที่ทำการงอขอแบบ J-Shape เพิ่มภาระการรับแรงอัดให้กับคอกองกรีตในบริเวณรอยต่อส่งผลให้คานวิบติ โดยคานตัวอย่างดังกล่าวสามารถรับ荷重 maximum ตัดสูงสุดได้เท่ากับ  $3,844$  กิโลกรัม-เมตร เมื่อนำผลการทดสอบที่ได้มาเปรียบเทียบกับค่าการอ kok แบบทางทฤษฎี คานตัวอย่างมีค่าความแตกต่างต่ำกว่าทฤษฎี ร้อยละ  $16.04$



ภาพที่ 4.10 ความสัมพันธ์ระหว่างน้ำหนักบรรทุกกับค่าการแฉนตัวที่กึ่งกลางของคานตัวอย่าง B5

#### 4.3.1.6 คานตัวอย่าง B6

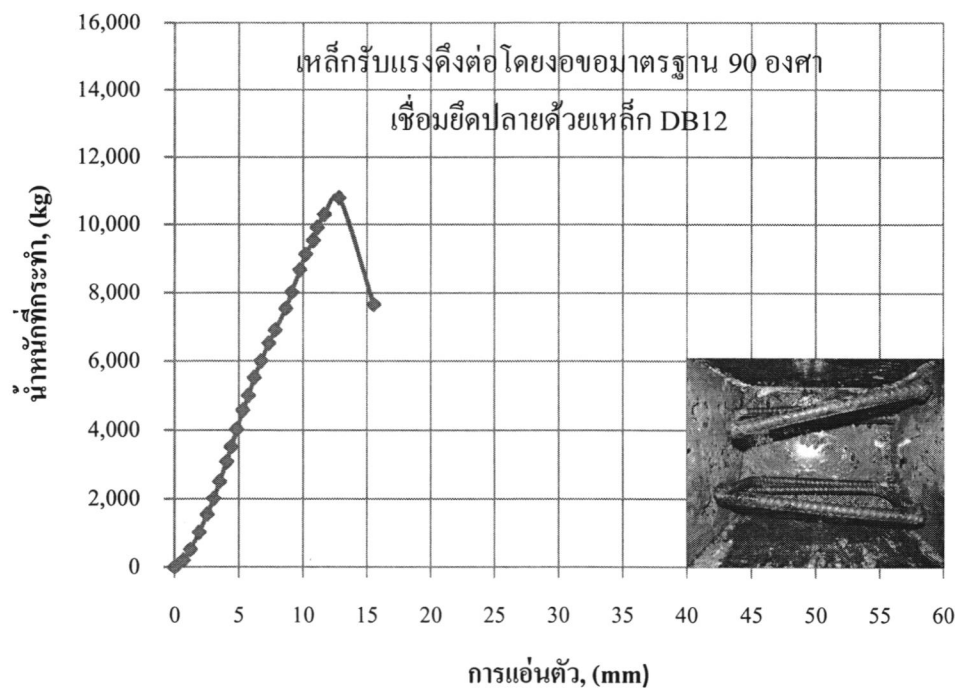
จากผลการทดสอบกำลังรับ荷重เมนต์คัดของคานที่มีรอยต่อเทคโนโลยีภายในหลังและมีเหล็กรับแรงดึงต่อโดยของมาตรฐาน 90 องศา เชื่อมข้อป้ายด้วยเหล็ก DB12 รอยต่อแบบเปียกขนาด 25 เซนติเมตร (B6) เมื่อคานรับน้ำหนักบรรทุกมากขึ้นจนทำให้หันน่วยแรงดึงของคอนกรีตที่ห้องคานมีค่าเกินกว่าความสามารถต้านทานแรงดึงระหว่างผิวสัมผัสของคอนกรีตเก่า กับคอนกรีตใหม่ตรงบริเวณรอยต่อ คอนกรีตจะเริ่มร้าวบริเวณผิวสัมผัสของรอยต่อเป็นจุดแรก โดยค่าน้ำหนักบรรทุกที่ทำให้คอนกรีตเริ่มแตกร้าวภายในได้การคัดมีค่า 2,800 กิโลกรัม การแฉนตัวที่กึ่งกลางคานมีค่า 3.83 มิลลิเมตร และจะเกิดการแตกร้าวยาวยเพิ่มขึ้นไปยังปลายคานเนื่องจากแรงดัด (Flexural cracks) ที่เพิ่มขึ้น โดยจะมีแนวตั้งจากกับความยาวคานที่บริเวณผิวสัมผัสของรอยต่อ และมีแนวเฉียงที่บริเวณปลายคาน ดังแสดงในภาพที่ 4.11



ภาพที่ 4.11 ลักษณะคานก่อนการวินิจฉัยและหลังการวินิจฉัยของคานตัวอย่าง B6

เมื่อนำค่าน้ำหนักบรรทุกที่กระทำต่อคานและการแย่นตัวของคานที่วัดได้ในจุดที่ติดตั้ง LVDT ที่กึ่งกลางคาน มาสร้างกราฟความสัมพันธ์ระหว่างน้ำหนักบรรทุกและการแย่นตัวของคาน จะสามารถแสดงได้ดังภาพที่ 4.12 ซึ่งจากการฟรีดัมช่วงที่ตั้งกล่าวทำให้สามารถวิเคราะห์ หาค่าน้ำหนักบรรทุกสูงสุดที่คานสามารถรับได้ภายใต้การดัดมีค่า  $10,793$  กิโลกรัม ระยะการแย่นตัวที่กึ่งกลางคานมีค่า  $12.80$  มิลลิเมตร

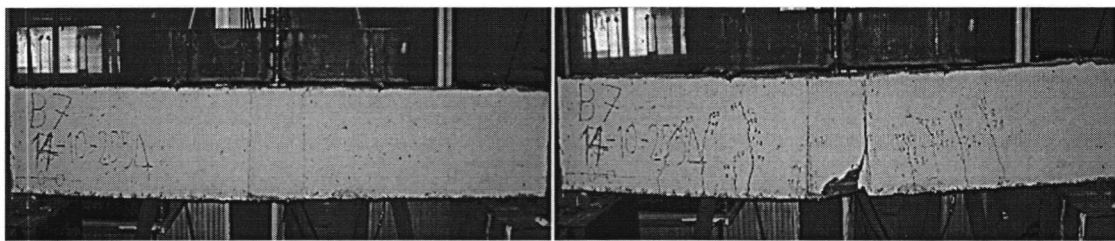
ลักษณะการวินิจฉัยของคานตัวอย่างเป็นการวินิจฉัยที่เกิดจากองค์กรบริเวณรอยต่อถูกอัดแตกก่อน (Crushing failure) พฤติกรรมการวินิจฉัยของคานไม่มีการเตือนให้ทราบล่วงหน้าว่าการวินิจฉัยกำลังจะเกิดขึ้น คงองค์กรบริเวณขอบรอยต่อจะเกิดการแตกร้าวชัดเจนและมากกว่าบริเวณอื่นก่อนที่คานจะวินิจฉัยแบบฉบับพลัน ซึ่งเหล็กเสริมยังไม่ถึงจุดคราก สาเหตุการวินิจฉัยอาจเกิดเนื่องจากแรงดึงในเหล็กเสริมส่งผลให้องค์กรบริเวณรอยต่อถูกอัดแตก โดยคานตัวอย่างดังกล่าวสามารถรับโมเมนต์ดัดสูงสุดได้เท่ากับ  $4,047$  กิโลกรัม-เมตร เมื่อนำผลการทดสอบที่ได้มาเปรียบเทียบกับค่าการออกแบบทางทฤษฎี คานตัวอย่างมีค่าความแตกต่างต่ำกว่าทฤษฎีร้อยละ  $11.60$



ภาพที่ 4.12 ความสัมพันธ์ระหว่างน้ำหนักบรรทุกกับค่าการแ่อนตัวที่กึ่งกลางของงานตัวอย่าง B6

#### 4.3.1.7 งานตัวอย่าง B7

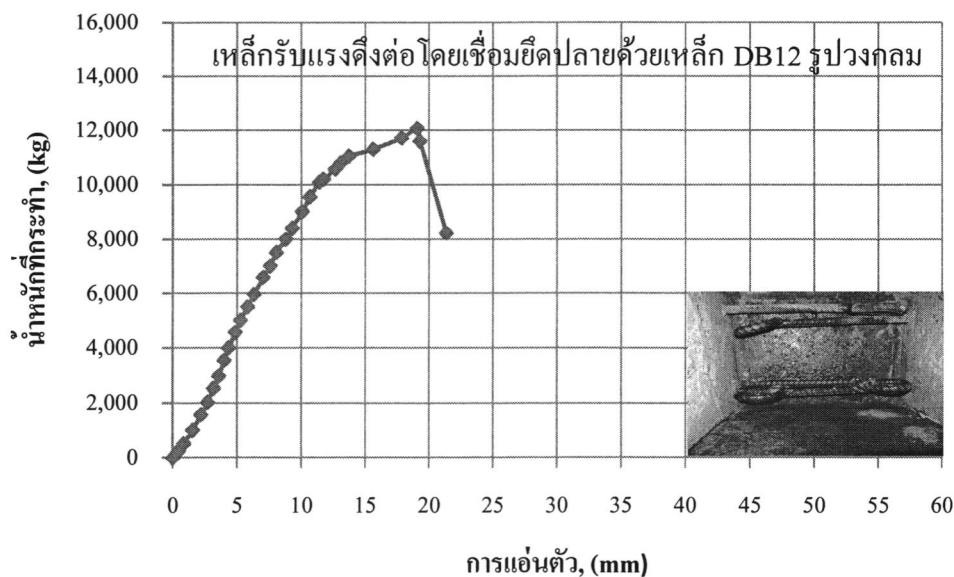
จากผลการทดสอบกำลังรับ荷重เมื่อตัดของงานที่มีรอยต่อเทคอนกรีตภายในหลังและมีเหล็กรับแรงดึงต่อโดยเชื่อมยึดปลายด้วยเหล็ก DB12 รูปวงกลม รอยต่อแบบเปียกขนาด 25 เซนติเมตร (B7) เมื่องานรับน้ำหนักบรรทุกมากขึ้นจนทำให้หน่วยแรงดึงของคอนกรีตที่ห้องงานมีค่าเกินกว่าความสามารถต้านทานแรงดึงระหว่างผิวสัมผัสของคอนกรีตเกากับคอนกรีตใหม่ตรงบริเวณรอยต่อ คอนกรีตจะเริ่มร้าวบริเวณผิวสัมผัสของรอยต่อเป็นจุดแรก โดยค่าน้ำหนักบรรทุกที่ทำให้คอนกรีตเริ่มแตกร้าวภายในได้การตัดมีค่า 1,200 กิโลกรัม การแ่อนตัวที่กึ่งกลางงานมีค่า 1.78 มิลลิเมตร และจะเกิดการแตกร้าวขยายเพิ่มขึ้นไปยังปลายงานเนื่องจากแรงดัดที่เพิ่มขึ้น โดยจะมีแนวตั้งจากกับความยาวงานที่บริเวณผิวสัมผัสของรอยต่อและมีแนวเฉียงที่บริเวณปลายงานดังแสดงในภาพที่ 4.13



ภาพที่ 4.13 ลักษณะการก่อการวินาศัยและการวินาศัยของงานตัวอย่าง B7

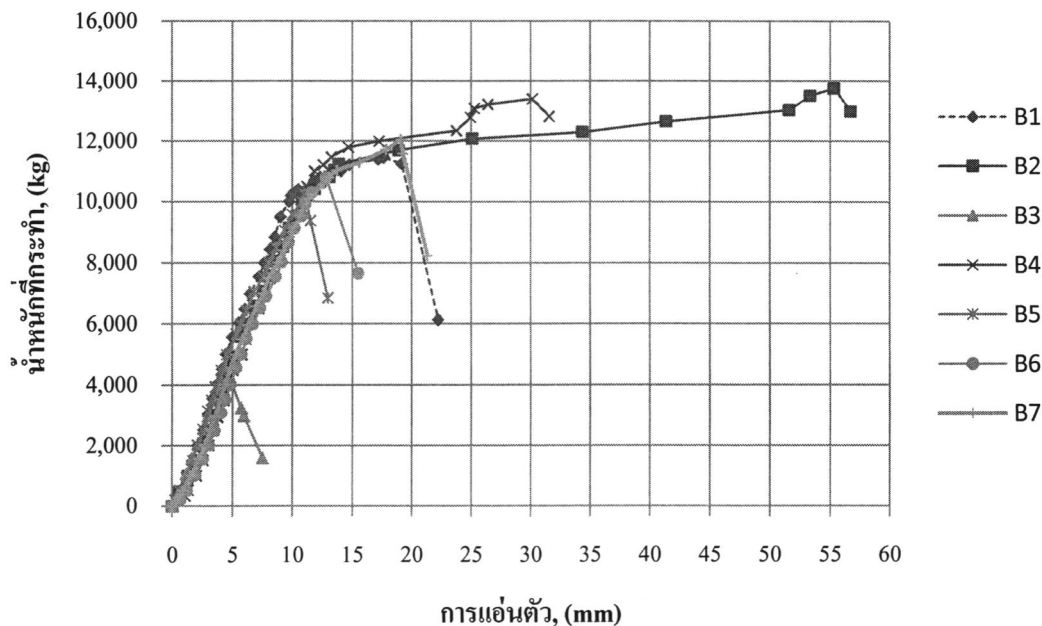
เมื่อนำค่าน้ำหนักบรรทุกที่กระทำต่องานและการแอล์ฟ่อนตัวของงานที่วัดได้ในจุดที่ติดตั้ง LVDT ที่กึ่งกลางงาน มาสร้างกราฟความสัมพันธ์ระหว่างน้ำหนักบรรทุกและการแอล์ฟ่อนตัวของงาน จะสามารถแสดงได้ดังภาพที่ 4.14 ซึ่งจากการวินาศัยของงานตัวอย่าง B7 สามารถวิเคราะห์ หาค่าน้ำหนักบรรทุกที่ทำให้เหล็กเสริมเริ่มครากภายใต้การดัดมีค่า  $11,040$  กิโลกรัม ระยะการแอล์ฟ่อนตัวที่กึ่งกลางงานมีค่า  $13.71$  มิลลิเมตร และค่าน้ำหนักบรรทุกสูงสุดที่งานสามารถรับได้ภายใต้การดัดมีค่า  $12,068$  กิโลกรัม ระยะการแல์ฟ่อนตัวที่กึ่งกลางงานมีค่า  $19.08$  มิลลิเมตร

ลักษณะการวินาศัยของงานตัวอย่างเป็นการวินาศัยที่เกิดจากแรงดึงในเหล็กเสริมถึงจุดครากก่อน (Yielding failure) พฤติกรรมการวินาศัยของงานมีการเตือนให้ทราบล่วงหน้าว่า การวินาศัยกำลังจะเกิดขึ้น ซึ่งเป็นไปตามทฤษฎีของงานที่มีปริมาณเหล็กเสริมรับแรงดึงต่ำกว่า อัตราส่วนที่สภาวะสมดุล การวินาศัยจะเกิดขึ้นตรงบริเวณรอยต่อของงาน จะเกิดการแตกร้าวอย่างชัดเจน สาเหตุการวินาศัยอาจเกิดเนื่องจากเหล็ก DB 12 รูปวงกลมที่เชื่อมติดที่ปลายเหล็กเสริมรับแรงดึง ภายในรอยต่อเป็นอัคคองกรีตในบริเวณดังกล่าวจะแตกส่งผลให้งานวินาศัย โดยงานตัวอย่างสามารถรับ荷重ต่อหน่วยผิวที่  $4,526$  กิโลกรัม-เมตร เมื่อนำผลการทดสอบที่ได้มาเปรียบเทียบกับค่าการออกแบบทางทฤษฎี งานตัวอย่างมีค่าความแตกต่างต่ำกว่าทฤษฎีร้อยละ  $1.15$  มีค่าความหนียวของโครงสร้างเท่ากับ  $1.40$



ภาพที่ 4.14 ความสัมพันธ์ระหว่างน้ำหนักบรรทุกกับค่าการแอลนตัวที่กึ่งกลางของคานตัวอย่าง B7

จากผลการทดสอบกำลังรับ荷重เมื่อเพิ่มตัวคัดของคานตัวอย่างทั้งเจ็ด เมื่อนำค่าน้ำหนักบรรทุกที่คานสามารถรับได้และระยะการแอลนตัวที่กึ่งกลางคานของแต่ละตัวอย่างมาเปรียบเทียบกันสามารถแสดงได้ดังภาพที่ 4.15



ภาพที่ 4.15 ความสัมพันธ์ระหว่างน้ำหนักบรรทุกกับค่าการแอลนตัวที่กึ่งกลาง ของคานตัวอย่างทั้งเจ็ดตัวอย่าง (ชุดทดสอบที่หนึ่ง)

จากภาพที่ 4.15 จะเห็นได้ว่าวิธีการออกแบบรอยต่อของโครงสร้าง เพื่อให้เกิดความต่อเนื่องของเหล็กเสริม นอกจากลักษณะการต่อเชื่อมที่จุดต่อของเหล็กเสริมรับแรงดึงโดยวิธีการเชื่อมทاب (B2) แล้วนั้น ลักษณะรอยต่อที่เสริมเหล็กรับแรงดึงโดยการอ่อนกามาตรฐานขัดด้วยเหล็ก DB12 รูปตัวซีที่มุน (B4) สามารถพัฒนากำลังต้านทาน โน้มnenต์ดัด ได้ใกล้เคียงกับคานตัวอย่างลักษณะรอยต่อที่เสริมเหล็กรับแรงดึงโดยการเชื่อมทاب ดังนั้นหากมีการศึกษาเกี่ยวกับรอยต่อเสริมเหล็กรับแรงดึง โดยการอ่อนกามาตรฐานขัดด้วยเหล็ก DB12 รูปตัวซีที่มุน อย่างละเอียด อาจจะสามารถนำมาประยุกต์ใช้กับงานก่อสร้างจริงได้ ดังนั้นในการทดสอบตัวอย่างชุดที่สอง จึงทำการศึกษาเกี่ยวกับรอยต่อที่มีลักษณะรอยต่อที่เสริมเหล็กรับแรงดึงโดยการอ่อนกามาตรฐานขัดด้วยเหล็กข้ออ้อบูรูปตัวซีที่มุน โดยทำการศึกษาอิทธิพลของปริมาณเหล็กเสริมตามขวางต่อปริมาณเหล็กเสริมตามยาวที่มีค่าแตกต่างกัน

เพื่อให้ง่ายในการเปรียบเทียบผลการทดสอบกำลังรับ โน้มnenต์ดัดของรอยต่อแบบ เปยกหั้งเจ็ตตัวอย่างดังกล่าว ผลการทดสอบหั้งหมดของทุกรุ่นมาเปรียบเทียบกับค่าที่คำนวณได้ ตามทฤษฎี เพื่อแสดงถึงประสิทธิภาพคุณสมบัติของตัวอย่างทดสอบ ดังแสดงในตารางที่ 4.3

**ตารางที่ 4.3 ค่าประสิทธิภาพกำลังรับ โน้มnenต์ดัดของตัวอย่างทดสอบ**

คาน ตัวอย่าง	ค่าความ หนืด	โน้มnenต์ดัด สูงสุด (kg-m)	โน้มnenต์ดัด ทางทฤษฎี (kg-m)	* แตกต่างจากโน้มnenต์ ดัดทางทฤษฎี ร้อยละ	ลักษณะ การวินิจฉัย
B1	1.67	4,320	4,578	-5.65	Yielding
B2	4.22	5,161	4,578	12.73	Yielding
B3	0.00	1,741	4,578	-61.97	Crushing
B4	2.39	5,028	4,578	9.82	Yielding
B5	0.00	3,844	4,578	-16.04	Crushing
B6	0.00	4,047	4,578	-11.60	Crushing
B7	1.40	4,526	4,578	-1.15	Yielding

\* ค่าเป็นบวกเมื่อค่าที่ได้จากการทดสอบมีค่ามากกว่าค่าคำนวณทางทฤษฎีและเป็นลบเมื่อค่าต่ำกว่า

### 4.3.2 คานตัวอย่างชุดที่ 2

จากผลการทดสอบ เมื่อนำค่า้น้ำหนักบรรทุกที่คานสามารถรับได้และระยะการแยกตัวที่กึ่งกลางคานตัวอย่าง จากการทดสอบคานตัวอย่างชุดที่ 2 คานตัวอย่างมีการเปลี่ยนแปลงพฤติกรรมทางโครงสร้างภายใต้การดัดในแต่ละจุด ดังแสดงในตารางที่ 4.4

**ตารางที่ 4.4** ผลการทดสอบกำลังต้านทานแรงดึงสูงสุดของรอยต่อคานสำเร็จรูปแบบเปียก

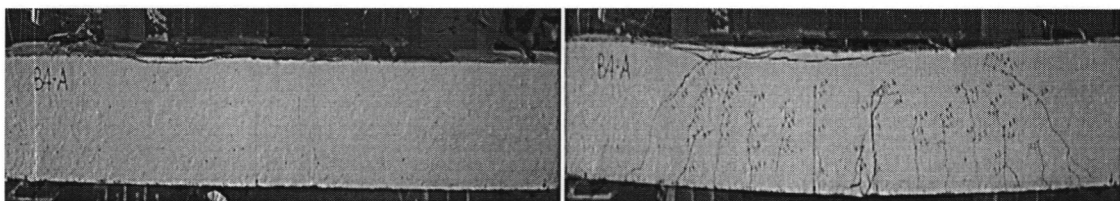
No.	Fist crack point		Yielding point		Crushing point	
	P (kg)	$\delta$ (mm)	P (kg)	$\delta$ (mm)	P (kg)	$\delta$ (mm)
B4-A	2,200	1.02	10,494	12.13	11,923	29.14
B4-B	2,400	1.04	-	-	13,859	13.11
B4-C	2,800	1.58	-	-	14,470	14.32
B4-D	2,400	1.00	-	-	13,030	17.46
B4-E	2,200	1.06	-	-	15,170	12.84

#### หมายเหตุ

- B4-A รอยต่อขนาด 25 เซนติเมตร เหล็กเสริมรับแรงดึง 2-DB12 เชื่อมต่อโดยอ่อนตัวชีวะ ขomaตรฐาน 90 องศา ขัดด้วยเหล็ก DB16 รูปตัวซี
- B4-B รอยต่อขนาด 25 เซนติเมตร เหล็กเสริมรับแรงดึง 3-DB12 เชื่อมต่อโดยอ่อนตัวชีวะ ขomaตรฐาน 90 องศา ขัดด้วยเหล็ก DB12 รูปตัวซี
- B4-C รอยต่อขนาด 25 เซนติเมตร เหล็กเสริมรับแรงดึง 3-DB12 เชื่อมต่อโดยอ่อนตัวชีวะ ขomaตรฐาน 90 องศา ขัดด้วยเหล็ก DB16 รูปตัวซี
- B4-D รอยต่อขนาด 25 เซนติเมตร เหล็กเสริมรับแรงดึง 2-DB16 เชื่อมต่อโดยอ่อนตัวชีวะ ขomaตรฐาน 90 องศา ขัดด้วยเหล็ก DB12 รูปตัวซี
- B4-E รอยต่อขนาด 25 เซนติเมตร เหล็กเสริมรับแรงดึง 2-DB16 เชื่อมต่อโดยอ่อนตัวชีวะ ขomaตรฐาน 90 องศา ขัดด้วยเหล็ก DB16 รูปตัวซี

#### 4.3.2.1 คานตัวอย่าง B4-A

จากการทดสอบกำลังรับ荷重menตัดของคานที่มีรอยต่อคอนกรีตภายในหลังและมีเหล็กเสริมรับแรงดึง 2-DB12 เชื่อมต่อโดยข้อมาตรฐาน 90 องศา ขัดด้วยเหล็ก DB16 รูปตัวซี ปริมาณเหล็กเสริมตามขวางต่อปริมาณเหล็กเสริมตามยาวร้อยละ 89 รอยต่อแบบเปียกขนาด 25 เซนติเมตร (B4-A) เมื่อคานรับน้ำหนักบรรทุกมากขึ้นจนทำให้หน่วยแรงดึงของคอนกรีตที่ห้องคานมีค่าเกินกว่าความสามารถต้านทานแรงดึงระหว่างผิวสัมผัสของคอนกรีตเก่ากับคอนกรีตใหม่ตรงบริเวณรอยต่อ คอนกรีตจะเริ่มร้าวบริเวณผิวสัมผัสของรอยต่อเป็นจุดแรก โดยค่าน้ำหนักบรรทุกที่ทำให้คอนกรีตเริ่มแตกร้าวภายในได้การคัดมีค่า 2,200 กิโลกรัม การแฉนตัวที่กึ่งกลางคานมีค่า 1.02 มิลลิเมตร และจะเกิดการแตกร้าวยาเพิ่มขึ้นไปยังปลายคานเนื่องจากแรงดัด (Flexural cracks) ที่เพิ่มขึ้น โดยจะมีแนวตั้งจากกับความยาวคานที่บริเวณผิวสัมผัสของรอยต่อและมีแนวเฉียงที่บริเวณปลายคาน ดังแสดงในภาพที่ 4.16

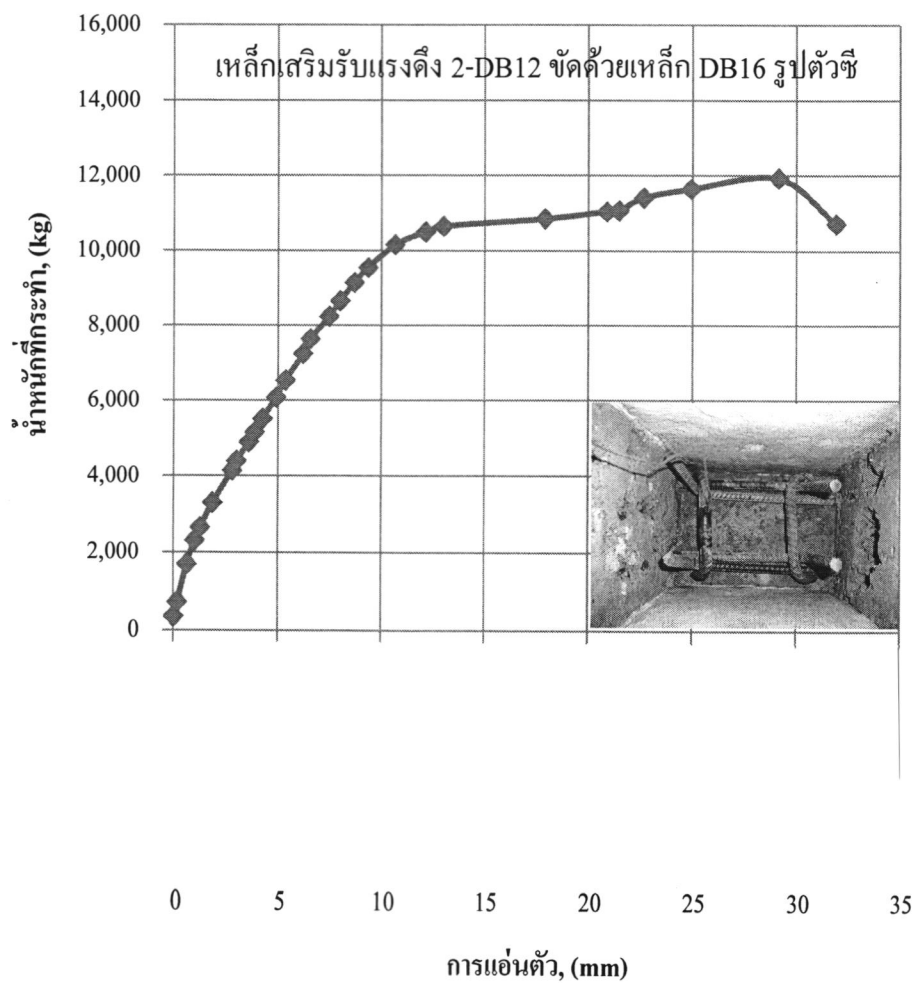


ภาพที่ 4.16 ลักษณะคานก่อนการวิบติและหลังการวิบติของคานตัวอย่าง B4-A

เมื่อนำคานน้ำหนักบรรทุกที่กระทำต่อคานและดำเนินการแฉนตัวของคานที่วัดได้ในจุดที่ติดตั้ง LVDT ที่กึ่งกลางคาน มาสร้างกราฟความสัมพันธ์ระหว่างน้ำหนักบรรทุกและการแฉนตัวของคาน จะสามารถแสดงได้ดังภาพที่ 4.17 ซึ่งจากราฟความสัมพันธ์ดังกล่าวทำให้สามารถวิเคราะห์ หาค่าน้ำหนักบรรทุกที่ทำให้เหล็กเสริมเริ่มครากภายในได้การคัดมีค่า 10,494 กิโลกรัม ระยะการแฉนตัวที่กึ่งกลางคานมีค่า 12.13 มิลลิเมตร และค่าน้ำหนักบรรทุกสูงสุดที่คานสามารถรับได้ภายในได้ภายในได้การคัดมีค่า 11,923 กิโลกรัม ระยะการแฉนตัวที่กึ่งกลางคานมีค่า 29.14 มิลลิเมตร

ลักษณะการวิบติของคานตัวอย่างเป็นการวิบติที่เกิดจากแรงดึงในเหล็กเสริมถึงจุดครากก่อน (Yielding failure) พฤติกรรมการวิบติของคานมีการเตือนให้ทราบล่วงหน้าว่า การวิบติกำลังจะเกิดขึ้น ซึ่งเป็นไปตามทฤษฎีของคานที่มีปริมาณเหล็กเสริมรับแรงดึงต่ำกว่าอัตราส่วนที่สภาวะสมดุล โดยคอนกรีตบริเวณรอยต่อจะเกิดการแตกร้าวชัดเจน สาเหตุอาจเนื่องมาจากการเหล็กเสริมที่งอจากภายในรอยต่อเป็นอัคตอนกรีตในบริเวณดังกล่าวจนแตก เพราะการ

จะจากช่วยเพิ่มกำลังยึดเหนี่ยวจะห่วงคอนกรีตกับเหล็กเสริมเป็นอย่างดี แต่ถ้าเป็นการช่วยเพิ่มแรงอัดของคอนกรีตในบริเวณของรอยต่อ เช่น กัน จึงส่งผลให้ค่านวิบัติ โดยปริมาณเหล็กเสริมตามขวางต่อปริมาณเหล็กเสริมตามยาร้อข้อ 89 เสริมพิเศษที่มุ่งขอช่วยเพิ่มแรงยึดเหนี่ยวและช่วยลดการแตกกราฟของคอนกรีตตรงบริเวณรอยต่อได้ทำให้คานสามารถรับ荷重ตัวตื้นได้ใกล้เคียงกับค่าการอุณหภูมิทางทฤษฎี โดยคานตัวอย่างสามารถรับ荷重ตัวตื้นสูงสุดได้เท่ากับ 4,471 กิโลกรัม-เมตร เมื่อนำผลการทดสอบที่ได้มาเปรียบเทียบกับค่าการอุณหภูมิทางทฤษฎี ( $M_n = 4,569$  กิโลกรัม-เมตร) คานตัวอย่างมีค่าความแตกต่างต่ำกว่าทฤษฎี ร้อยละ 2.15 มีค่าความเห็นใจของโครงสร้าง ( $\frac{\delta_u}{\delta_y}$ ) เท่ากับ 2.40 ดังแสดงในตารางที่ 4.5

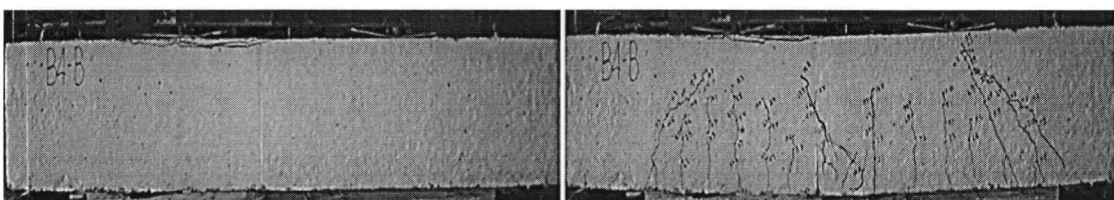


ภาพที่ 4.17 ความสัมพันธ์ระหว่างน้ำหนักบรรทุกกับค่าการแอลอนตัวที่กึ่งกลางคานตัวอย่าง B4-A

#### 4.3.2.2 คานตัวอย่าง B4-B

จากผลการทดสอบกำลังรับ荷重ตัวตื้นของคานที่มีรอยต่อเทคอนกรีตภายในหลังและมีเหล็กเสริมรับแรงดึง 3-DB12 เชื่อมต่อโดยงอของมาตรฐาน 90 องศา ขัดด้วยเหล็ก DB12 รูปตัวซี ปริมาณเหล็กเสริมตามขวางต่อปริมาณเหล็กเสริมตามยาร้อข้อ 33 รอยต่อแบบเปียกขนาด 25 เซนติเมตร (B4-B) เมื่อคานรับน้ำหนักบรรทุกมากขึ้นจนทำให้หักว่ายแรงดึงของ

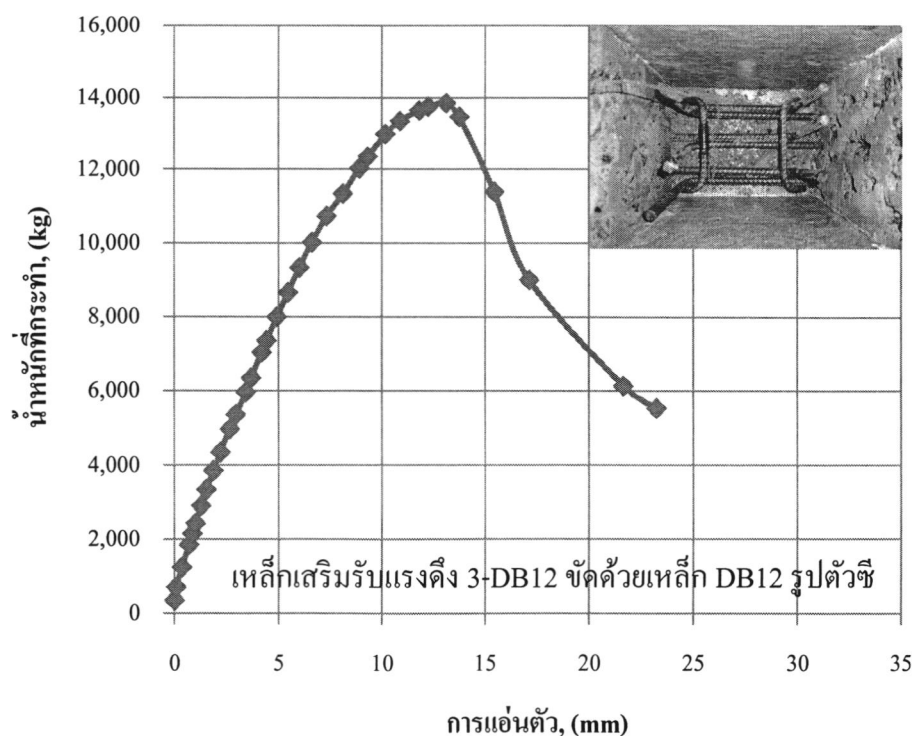
คอนกรีตที่ห้องคานมีค่าเกินกว่าความสามารถด้านทานแรงดึงระหว่างผิวสัมผัสของคอนกรีตเท่ากับคอนกรีตใหม่ตรงบริเวณรอยต่อ คอนกรีตจะเริ่มร้าวบริเวณผิวสัมผัสของรอยต่อเป็นจุดแรก โดยค่าน้ำหนักบรรทุกที่ทำให้คอนกรีตเริ่มแตกร้าวภายในได้การดัดมีค่า 2,400 กิโลกรัม การแอ่นตัวที่กึ่งกลางคานมีค่า 1.04 มิลลิเมตร และจะเกิดการแตกร้าวขยายเพิ่มขึ้นไปยังปลายคานเนื่องจากแรงดัด (Flexural cracks) ที่เพิ่มขึ้น โดยจะมีแนวตั้งจากกับความยาวคานที่บริเวณผิวสัมผัสของรอยต่อและมีแนวเฉียงที่บริเวณปลายคาน ดังแสดงในภาพที่ 4.18



ภาพที่ 4.18 ลักษณะคานก่อนการวิบัติและหลังการวิบัติของคานตัวอย่าง B4-B

เมื่อนำค่าน้ำหนักบรรทุกที่กระทำต่อคานและการแอ่นตัวของคานที่วัดได้ในจุดที่ติดตั้ง LVDT ที่กึ่งกลางคาน มาสร้างกราฟความสัมพันธ์ระหว่างน้ำหนักบรรทุกและการแอ่นตัวของคาน จะสามารถแสดงได้ดังภาพที่ 4.19 ซึ่งจากราฟความสัมพันธ์ดังกล่าวทำให้สามารถวิเคราะห์ หาค่าน้ำหนักบรรทุกสูงสุดที่คานสามารถรับได้ภายใต้การดัดมีค่า 13,859 กิโลกรัม ระยะการแอ่นตัวที่กึ่งกลางคานมีค่า 13.11 มิลลิเมตร

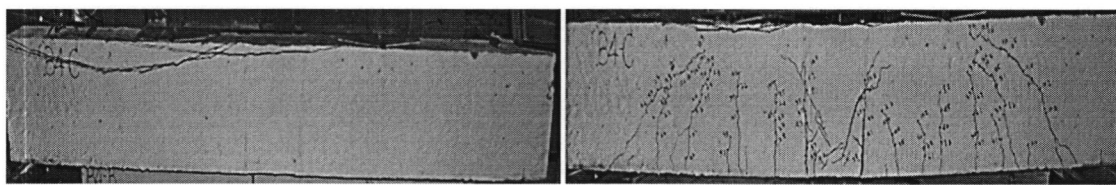
ลักษณะการวิบัติของคานตัวอย่างเป็นการวิบัติที่เกิดจากคอนกรีตตรงบริเวณรอยต่อถูกอัดแตกก่อน (Crushing failure) พฤติกรรมการวิบัติของคานไม่มีการเตือนให้ทราบล่วงหน้าว่าการวิบัติกำลังจะเกิดขึ้น คอนกรีตบริเวณรอยต่อจะเกิดการแตกร้าวชัดเจนและมากกว่าบริเวณอื่นก่อนที่คานจะวิบัติแบบฉับพลัน ซึ่งเหล็กเสริมยังไม่ถึงจุดคราก สาเหตุอาจเนื่องมาจากการเหล็กเสริมที่งอกจากภายในรอยต่อปืนอัดคอนกรีตในบริเวณดังกล่าวจนแตก เพราะการงอกหากช่วยเพิ่มกำลังยึดเหนี่ยวระหว่างคันกรีตกับเหล็กเสริมเป็นอย่างดี แต่ก็เป็นการช่วยเพิ่มแรงอัดของคอนกรีตในบริเวณของรอยต่อเข่นกัน จึงส่งผลให้คานวิบัติ โดยปริมาณเหล็กเสริมตามขวางต่อปริมาณเหล็กเสริมตามยาวร้อยละ 33 เสริมพิเศษที่มุ่งขอช่วยเพิ่มแรงยึดเหนี่ยวและช่วยลดการแตกร้าวของคันกรีตตรงบริเวณรอยต่อได้ในระดับหนึ่ง โดยคานตัวอย่างสามารถรับ荷重เม้นต์ดัดสูงสุดได้เท่ากับ 5,197 กิโลกรัม-เมตร เมื่อนำผลการทดสอบที่ได้มาเปรียบเทียบกับค่าการออกแบบทางทฤษฎี ( $M_n = 6,626$  กิโลกรัม-เมตร) คานตัวอย่างมีค่าความแตกต่างต่ำกว่าทฤษฎีร้อยละ 21.57



ภาพที่ 4.19 ความสัมพันธ์ระหว่างน้ำหนักบรรทุกกับค่าการแอลนตัวที่เกี่ยวกับการตัวอย่าง B4-B

#### 4.3.2.3 คานตัวอย่าง B4-C

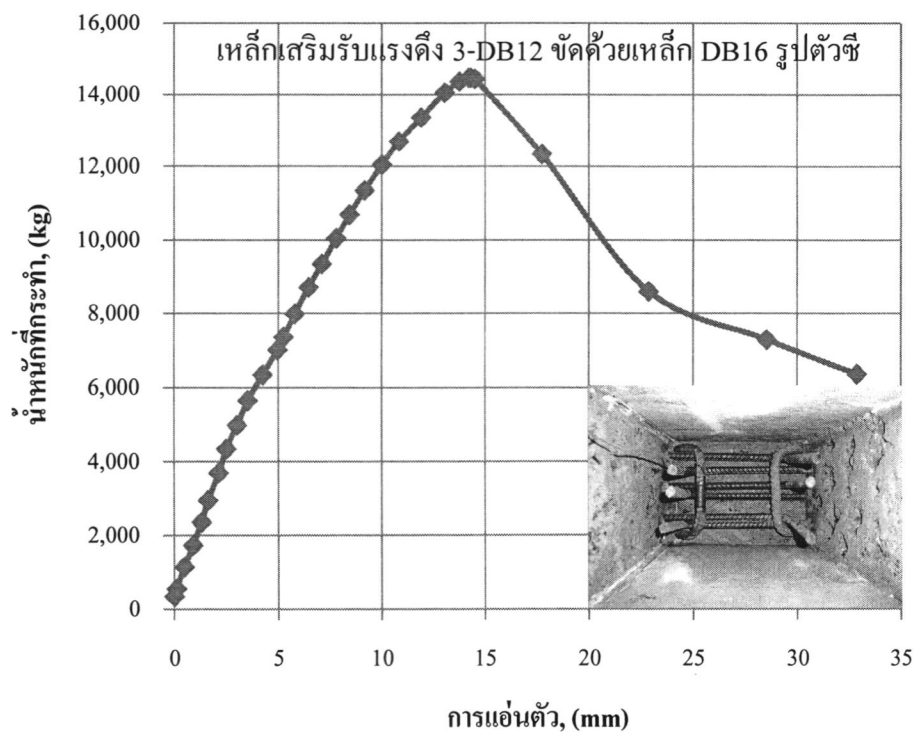
จากผลการทดสอบกำลังรับ荷重เมณฑ์ดัดของคานที่มีรอยต่อเทคอนกรีตภายในหลังและมีเหล็กเสริมรับแรงดึง 3-DB12 เชื่อมต่อโดยข้อมาตรฐาน 90 องศา ขัดด้วยเหล็ก DB16 รูปตัวซี ปริมาณเหล็กเสริมตามขวางต่อปริมาณเหล็กเสริมตามยาวร้อยละ 59 รอยต่อแบบเปียกขนาด 25 เซนติเมตร (B4-C) เมื่อคานรับน้ำหนักบรรทุกมากขึ้นจนทำให้หักง่ายแรงดึงของคอนกรีตที่ห้องคานมีค่าเกินกว่าความสามารถต้านทานแรงดึงระหว่างผิวสัมผัสของคอนกรีตเก่ากับคอนกรีตใหม่ตรงบริเวณรอยต่อ คอนกรีตจะเริ่มร้าวบริเวณผิวสัมผัสของรอยต่อเป็นจุดแรก โดยค่าหักง่ายที่ทำให้หักคือ 2,800 กิโลกรัม การแอลนตัวที่เกี่ยวกับคานมีค่า 1.58 มิลลิเมตร และจะเกิดการแตกร้าวขยายเพิ่มขึ้นไปยังปลายคานเนื่องจากแรงดึง (Flexural cracks) ที่เพิ่มขึ้น โดยจะมีแนวตั้งจากกับความยาวคานที่บริเวณผิวสัมผัสของรอยต่อและมีแนวเฉียงที่บริเวณปลายคาน ดังแสดงในภาพที่ 4.20



ภาพที่ 4.20 ลักษณะความก่อนการวินาศและหลังการวินาศของคานตัวอย่าง B4-C

เมื่อนำค่าน้ำหนักบรรทุกที่กระทำต่อคานและค่าการแอล์ตัวของคานที่วัดได้ในชุดที่ติดตั้ง LVDT ที่กึ่งกลางคาน มาสร้างกราฟความสัมพันธ์ระหว่างน้ำหนักบรรทุกและการแอล์ตัวของคาน จะสามารถแสดงได้ดังภาพที่ 4.21 ซึ่งจากราฟความสัมพันธ์ดังกล่าวทำให้สามารถวิเคราะห์ หาค่าน้ำหนักบรรทุกสูงสุดที่คานสามารถรับได้ภายใต้การดัดมีค่า 14,470 กิโลกรัม ระยะการแอล์ตัวที่กึ่งกลางคานมีค่า 14.32 มิลลิเมตร

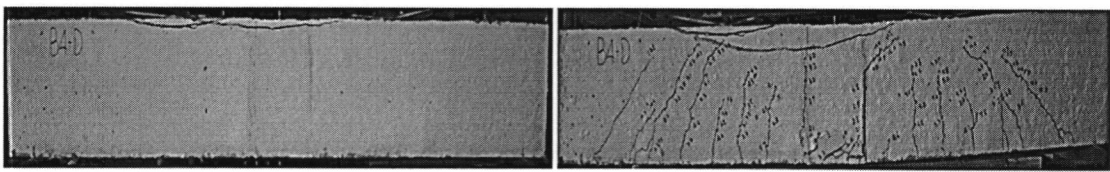
ลักษณะการวินาศของคานตัวอย่างเป็นการวินาศที่เกิดจากคอนกรีตตรงบริเวณรอยต่ออุดแทกก่อน (Crushing failure) พฤติกรรมการวินาศของคานไม่มีการเตือนให้ทราบล่วงหน้าว่าการวินาศกำลังจะเกิดขึ้น คอนกรีตบริเวณตรงรอยต่อเกิดการแตกร้าวชัดเจนและมากกว่าบริเวณอื่นก่อนที่คานจะวินาศแบบลับพลัน ซึ่งเหล็กเสริมยังไม่ถึงจุดคราก สาเหตุอาจเนื่องมาจากการเหล็กเสริมที่งอจากภายในรอยต่อบีบอัดคอนกรีตในบริเวณดังกล่าวจนแตก เพราะการงอจะช่วยเพิ่มกำลังยึดเหนี่ยวระหว่างคอนกรีตกับเหล็กเสริมเป็นอย่างดี แต่ก็เป็นการช่วยเพิ่มแรงอัดของคอนกรีตในบริเวณของรอยต่อ เช่นกัน จึงส่งผลให้คานวินาศ โดยปริมาณเหล็กเสริมตามวางต่อปริมาณเหล็กเสริมตามยาวร้อยละ 59 เสริมพิเศษที่มุ่งขอช่วยเพิ่มแรงยึดเหนี่ยวและช่วยลดการแตกร้าวของคอนกรีตตรงบริเวณรอยต่อได้ในระดับหนึ่ง โดยคานตัวอย่างสามารถรับ荷重เมنمตัดสูงสุดได้เท่ากับ 5,426 กิโลกรัม-เมตร เมื่อนำผลการทดสอบที่ได้มาเปรียบเทียบกับค่าการออกแบบทางทฤษฎี ( $M_n = 6,626$  กิโลกรัม-เมตร) คานตัวอย่างมีค่าความแตกต่างต่ำกว่าทฤษฎีร้อยละ 18.11



ภาพที่ 4.21 ความสัมพันธ์ระหว่างน้ำหนักบรรทุกกับค่าการแอลนตัวที่เก็บกลางคานตัวอย่าง B4-C

#### 4.3.2.4 คานตัวอย่าง B4-D

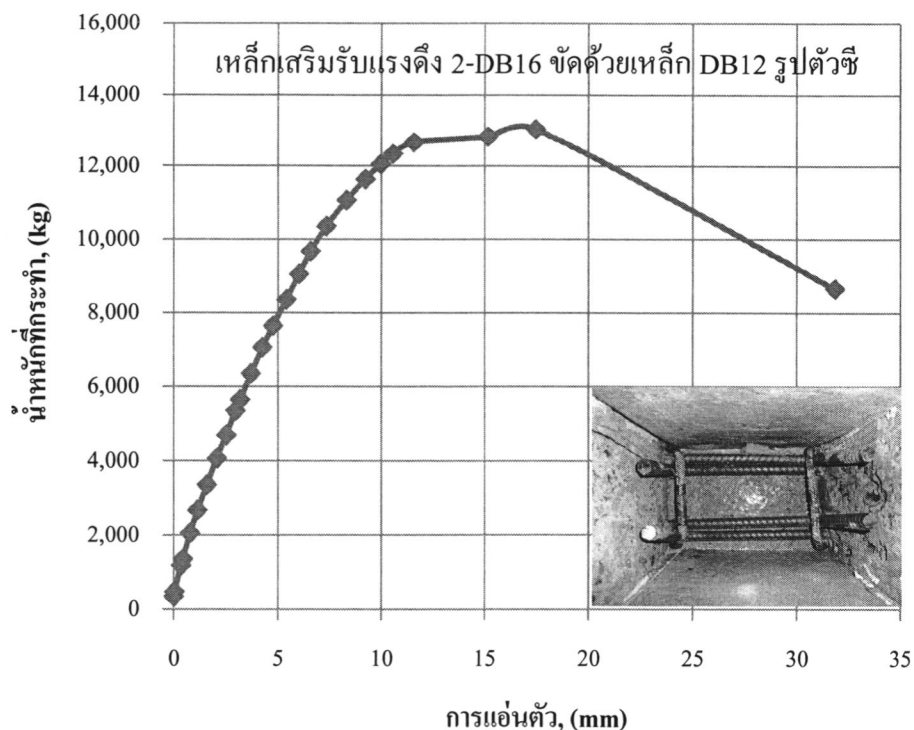
จากผลการทดสอบกำลังรับ荷重เมณฑ์คัดของคานที่มีรอยต่อเทคอนกรีตภายในและมีเหล็กเสริมรับแรงดึง 2-DB16 เชื่อมต่อโดยข้อมาตรฐาน 90 องศา ขัดด้วยเหล็ก DB12 รูปตัวซี ปริมาณเหล็กเสริมตามขวางต่อปริมาณเหล็กเสริมตามยาวร้อยละ 28 รอยต่อแบบเปียกขนาด 25 เซนติเมตร (B4-D) เมื่อคานรับน้ำหนักบรรทุกมากขึ้นจนทำให้หน่วยแรงดึงของคอนกรีตที่ห้องคานมีค่าเกินกว่าความสามารถต้านทานแรงดึงระหว่างผิวสัมผัสของคอนกรีตเก่ากับคอนกรีตใหม่ตรงบริเวณรอยต่อ คอนกรีตจะเริ่มร้าวบริเวณผิวสัมผัสของรอยต่อเป็นจุดแรก โดยค่าน้ำหนักบรรทุกที่ทำให้คอนกรีตเริ่มแตกร้าวภายในได้การคัดมีค่า 2,400 กิโลกรัม การแอลนตัวที่เก็บกลางคานมีค่า 1.00 มิลลิเมตร และจะเกิดการแตกร้าวย้ายเพิ่มขึ้นไปยังปลายคานเนื่องจากแรงดัด (Flexural cracks) ที่เพิ่มขึ้น โดยจะมีแนวตั้งจากกับความยาวคานที่บริเวณผิวสัมผัสของรอยต่อและมีแนวเฉียงที่บริเวณปลายคาน ดังแสดงในภาพที่ 4.22



ภาพที่ 4.22 ลักษณะก่อนการวิบัติและการวิบัติของคานตัวอย่าง B4-D

เมื่อนำค่าน้ำหนักบรรทุกที่กระทำต่อคานและค่าการแอ่นตัวของคานที่วัดได้ในจุดที่ติดตั้ง LVDT ที่กึ่งกลางคาน มาสร้างกราฟความสัมพันธ์ระหว่างน้ำหนักบรรทุกและการแอ่นตัวของคาน จะสามารถแสดงได้ดังภาพที่ 4.23 ซึ่งจากการฟรiction ดังกล่าวทำให้สามารถวิเคราะห์ หาค่าน้ำหนักบรรทุกสูงสุดที่คานตัวอย่างสามารถรับได้ภายใต้การดัดมีค่า  $13,030$  กิโลกรัม ระยะการแอ่นตัวที่กึ่งกลางคานมีค่า  $17.46$  มิลลิเมตร

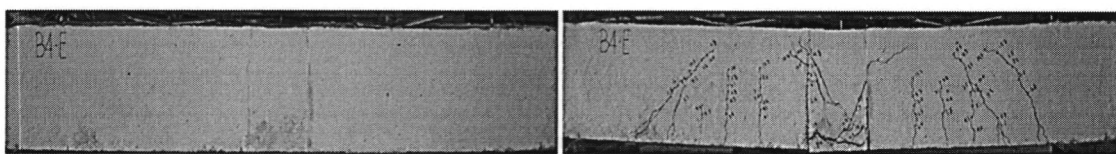
ลักษณะการวิบัติของคานตัวอย่างเป็นการวิบัติที่เกิดจากคอนกรีตตรงบริเวณรอยต่อถูกอัดแตกก่อน (Crushing failure) พฤติกรรมการวิบัติของคานไม่มีการเตือนให้ทราบล่วงหน้าว่าการวิบัติกำลังจะเกิดขึ้น คอนกรีตบริเวณตรงรอยต่อเกิดการแตกร้าวชัดเจนและมากกว่าบริเวณอื่นก่อนที่คานจะวิบัติแบบลับพลัน ซึ่งเหล็กเสริมยังไม่ถึงจุดคราก สาเหตุอาจเนื่องมาจากการเหล็กเสริมที่งอจากภายในรอยต่อบีบอัดคอนกรีตในบริเวณดังกล่าวจนแตก เพราะการงอจะช่วยเพิ่มกำลังยึดเหนี่ยวระหว่างคอนกรีตกับเหล็กเสริมเป็นอย่างดี แต่ก็เป็นการช่วยเพิ่มแรงอัดของคอนกรีตในบริเวณของรอยต่อ เช่นกัน จึงส่งผลให้คานวิบัติ โดยปริมาณเหล็กเสริมตามวางต่อปริมาณเหล็กเสริมตามบาร์อยละ 28 เสริมพิเศษที่มุ่งขอช่วยเพิ่มแรงยึดเหนี่ยวและช่วยลดการแตกร้าวของคอนกรีตตรงบริเวณรอยต่อได้น้อย โดยคานตัวอย่างสามารถรับ荷重แม่นตัดสูงสุดได้เท่ากับ  $4,886$  กิโลกรัม-เมตร เมื่อนำผลการทดสอบที่ได้มาเปรียบเทียบกับค่าการออกแบบทางทฤษฎี ( $M_n = 7,682$  กิโลกรัม-เมตร) คานตัวอย่างมีค่าความแตกต่างต่ำกว่าทฤษฎี ร้อยละ  $36.40$



ภาพที่ 4.23 ความสัมพันธ์ระหว่างน้ำหนักบรรทุกกับค่าการแอลอ่นตัวที่เกี่ยวกับการตัวอย่าง B4-D

#### 4.3.2.5 การตัวอย่าง B4-E

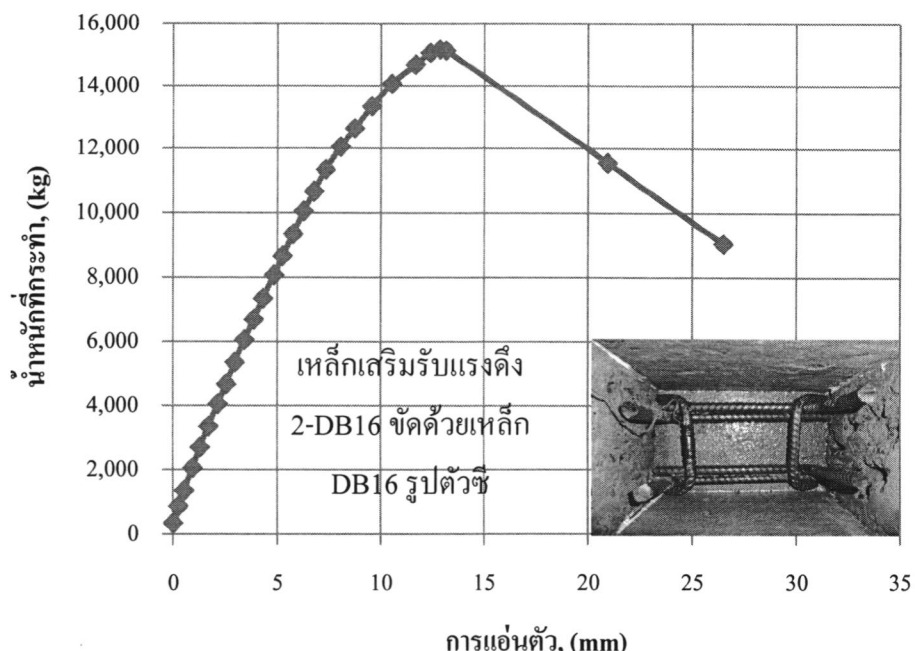
จากผลการทดสอบกำลังรับ荷重เมนต์คัดของคอนกรีตที่มีรอยต่อเทคอนกรีตภายในและมีเหล็กเสริมรับแรงดึง 2-DB16 เชื่อมต่อโดยงอขอมาตรฐาน 90 องศา ขัดด้วยเหล็ก DB16 รูปตัวซี ปริมาณเหล็กเสริมตามขวางต่อบริษัทเหล็กเสริมตามยาวร้อยละ 50 รอยต่อแบบเปียกขนาด 25 เซนติเมตร (B4-E) เมื่อการรับน้ำหนักบรรทุกมากขึ้นจนทำให้หักยาวแรงดึงของคอนกรีตที่ห้องคนมีค่าเกินกว่าความสามารถถดถ่างทางแรงดึงระหว่างผิวสัมผัสของคอนกรีตเก่ากับคอนกรีตใหม่ตรงบริเวณรอยต่อ คอนกรีตจะเริ่มร้าวบริเวณผิวสัมผัสของรอยต่อเป็นจุดแรก โดยค่าหักบรรทุกที่ทำให้คอนกรีตเริ่มแตกร้าวภายในได้การคัดมีค่า 2,200 กิโลกรัม การแอลอ่นตัวที่เกี่ยวกับการตัวอย่างมีค่า 1.06 มิลลิเมตร และจะเกิดการแตกร้าวภายในเพิ่มขึ้นไปยังปลายคอนกรีตแรงดด (Flexural cracks) ที่เพิ่มขึ้น โดยจะมีแนวตั้งจากกับความยาวคอนกรีตบริเวณผิวสัมผัสของรอยต่อและมีแนวเฉียงที่บริเวณปลายคอนกรีตดังแสดงในภาพที่ 4.24



ภาพที่ 4.24 ลักษณะก่อนการวิบติและหลังการวิบติของคานตัวอย่าง B4-E

เมื่อนำค่าน้ำหนักบรรทุกที่กระทำต่อคานและการแอลล์ตัวของคานที่วัดได้ในจุดที่ติดตั้ง LVDT ที่กึ่งกลางคาน มาสร้างกราฟความสัมพันธ์ระหว่างน้ำหนักบรรทุกและการแอลล์ตัวของคาน จะสามารถแสดงได้ดังภาพที่ 4.25 ซึ่งจากการ์ฟความสัมพันธ์ดังกล่าวทำให้สามารถวิเคราะห์ หาค่าน้ำหนักบรรทุกสูงสุดที่คานสามารถรับได้ภายใต้การดัดมีค่า  $15,170$  กิโลกรัม ระยะการแอลล์ตัวที่กึ่งกลางคานมีค่า  $12.84$  มิลลิเมตร

ลักษณะการวิบติของคานตัวอย่างเป็นการวิบติที่เกิดจากคอนกรีตตรงบริเวณรอยต่ออุดแทรกก่อน (Crushing failure) พฤติกรรมการวิบติของคานไม่มีการเตือนให้ทราบล่วงหน้าว่าการวิบติกำลังจะเกิดขึ้น ซึ่งคอนกรีตบริเวณรอยต่อจะเกิดการแตกร้าวชัดเจนและมากกว่าบริเวณอื่นก่อนที่คานจะวิบติแบบลับพลัน ซึ่งเหล็กเสริมยังไม่ถึงจุดคราก สาเหตุอาจเนื่องมาจากการเหล็กเสริมที่งอกจากภายในรอยต่อบีบอัดคอนกรีตในบริเวณดังกล่าวจนแตก เพราะการงอกจากช่วยเพิ่มกำลังยึดเหนี่ยวระหว่างคอนกรีตกับเหล็กเสริมเป็นอย่างดี แต่ก็เป็นการช่วยเพิ่มแรงอัดของคอนกรีตในบริเวณของรอยต่อ เช่นกัน จึงส่งผลให้คานวิบติ โดยปริมาณเหล็กเสริมตามขวางต่อปริมาณเหล็กเสริมตามยาวร้อยละ  $50$  เสริมพิเศษที่มุ่งขอช่วยเพิ่มแรงยึดเหนี่ยวและช่วยลดการแตกร้าวของคอนกรีตตรงบริเวณรอยต่อได้ในระดับหนึ่ง โดยคานตัวอย่างสามารถรับ荷重เมนต์ตัดสูงสุดได้เท่ากับ  $5,689$  กิโลกรัม-เมตร เมื่อนำผลการทดสอบที่ได้มาเปรียบเทียบกับค่าการออกแบบทางทฤษฎี ( $M_n = 7,682$  กิโลกรัม-เมตร) คานตัวอย่างมีค่าความแตกต่างต่ำกว่าทฤษฎี ร้อยละ  $25.95$



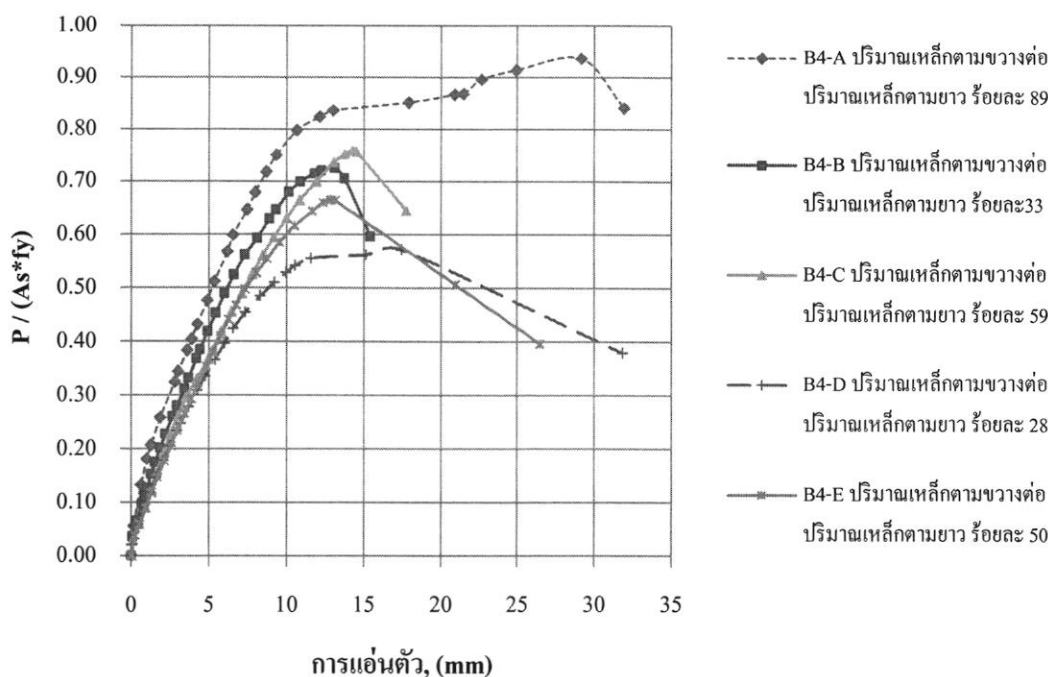
ภาพที่ 4.25 ความสัมพันธ์ระหว่างน้ำหนักบรรทุกกับค่าการแย่นตัวที่กึ่งกลางคานตัวอย่าง B4-E

เพื่อให้ง่ายในการเปรียบเทียบผลการทดสอบกำลังรับ荷重 men'sตัวของรอยต่อแบบเปียกทั้งห้าตัวอย่างดังกล่าว ผลการทดสอบทั้งหมดของทุกรุ่นมาเปรียบเทียบกับค่าที่คำนวณได้ตามทฤษฎี เพื่อแสดงถึงประสิทธิภาพคุณสมบัติของตัวอย่างทดสอบ ดังแสดงในตารางที่ 4.5

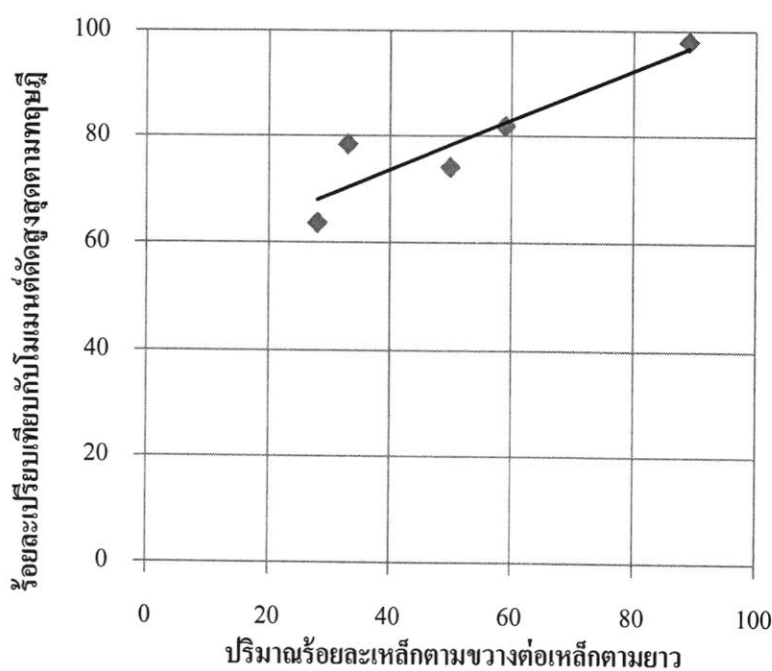
ตารางที่ 4.5 ค่าประสิทธิภาพกำลังรับ荷重 men'sตัวของตัวอย่างทดสอบ

คาน ตัวอย่าง	ค่าความ เหนียว	荷重 men's ตัวสูงสุด (kg-m)	荷重 men'sตัว ทางทฤษฎี (kg-m)	* แตกต่างจาก 荷重 men'sตัว ทางทฤษฎี ร้อยละ	ร้อยละ เหล็ก ตามขวางต่อ เหล็กตามยาว	ลักษณะ การวินิจฉัย
B4-A	2.40	4,471	4,569	-2.15	89	Yielding
B4-B	0.00	5,197	6,626	-21.57	33	Crushing
B4-C	0.00	5,426	6,626	-18.11	59	Crushing
B4-D	0.00	4,886	7,682	-36.40	28	Crushing
B4-E	0.00	5,689	7,682	-25.95	50	Crushing

\* ค่าเป็นบวกเมื่อค่าที่ได้จากการทดสอบมีค่ามากกว่าค่าคำนวณทางทฤษฎี และเป็นลบเมื่อค่าต่ำกว่า



ภาพที่ 4.26 ความสัมพันธ์ระหว่างน้ำหนักบรรทุกกับการแย่นตัวที่ถึงกลางของคานตัวอย่างทึ้งห้าตัวอย่าง (ชุดทดสอบที่สอง)



ภาพที่ 4.27 อิทธิพลของปริมาณร้อยละเหล็กเสริมตามขวางต่อปริมาณเหล็กเสริมตามยาวที่มีผลต่อการรับแรงของคานตัวอย่าง

จากผลการทดสอบกำลังรับโน้มnenต์ดัดของคนตัวอย่างทั้งห้าตัวอย่าง การต้านทานโน้มnenต์ดัดของรอยต่อคานคอนกรีตสำเร็จรูปแบบเปียกที่มีลักษณะการต่อเชื่อมที่จุดต่อของเหล็กเสริมรับแรงดึงเชื่อมต่อโดยงอขอมาตรฐาน 90 องศา ขัดด้วยเหล็กข้ออ้อยรูปตัวซี เมื่อพิจารณาความสัมพันธ์ระหว่างแรงที่กระทำกับปริมาณเหล็กเสริมตามขวางต่อปริมาณเหล็กเสริมตามขวางพบว่า เมื่อปริมาณเหล็กเสริมตามขวางต่อปริมาณเหล็กเสริมตามขวางมีค่ามากขึ้น ความสามารถในการรับโน้มnenต์ดัดของตัวอย่างคานจะมีแนวโน้มที่สูงขึ้น ดังแสดงในภาพที่ 4.26 และภาพที่ 4.27

#### 4.4 สรุป

จากผลการทดสอบและผลการวิเคราะห์ข้อมูลที่ได้จากการทดสอบประสิทธิภาพของรอยต่อแบบเปียกสำหรับคานคอนกรีตเสริมเหล็กสำเร็จรูปที่มีรายละเอียดเหล็กเสริมต่างๆ ผลการทดสอบทำให้ทราบถึงพฤติกรรมและลักษณะการวินิจฉัยของรอยต่อแบบเปียกสำหรับคานคอนกรีตเสริมเหล็กสำเร็จรูป ภายใต้การต่อที่มีรายละเอียดของเหล็กเสริมบริเวณรอยต่อที่แตกต่างกัน ซึ่งจะนำไปสู่บทสรุปถึงลักษณะของรอยต่อแบบเปียกที่สามารถพัฒนาがらง ได้ใกล้เคียงกับคานตัวอย่าง ลักษณะรอยต่อที่เสริมเหล็กรับแรงดึงโดยการเชื่อมทาน ซึ่งจะกล่าวในบทต่อไป

## บทที่ 5

### สรุปผลการวิจัยและข้อเสนอแนะ

#### 5.1 สรุป

จากการทดสอบประสิทธิภาพของรอยต่อแบบเปียกสำหรับงานคอนกรีตเสริมเหล็กสำเร็จรูปที่มีรายละเอียดเหล็กเสริมต่างๆ สามารถสรุปผลการทดสอบได้ดังนี้

##### 5.1.1 คานตัวอย่างชุดที่หนึ่ง

จากการทดสอบคานตัวอย่างชุดที่หนึ่งจำนวนเจ็ดตัวอย่าง ได้แก่ คานที่มีรอยต่อเทคอนกรีตภายนอกและมีลักษณะการต่อเชื่อมที่จุดต่อของเหล็กเสริมรับแรงดึงโดยยงขอมาตรฐาน 90 องศา รอยต่อแบบเปียกขนาด 35 เซนติเมตร (B1) คานที่มีรอยต่อเทคอนกรีตภายนอกและมีลักษณะการต่อเชื่อมที่จุดต่อของเหล็กเสริมรับแรงดึงโดยยงขอมาตรฐาน 90 องศา ขัดด้ายเหล็ก DB12 รูปตัวหยู รอยต่อแบบเปียกขนาด 25 เซนติเมตร (B2) คานที่มีรอยต่อเทคอนกรีตภายนอกและมีลักษณะการต่อเชื่อมที่จุดต่อของเหล็กเสริมรับแรงดึงโดยยงขอมาตรฐาน 90 องศา ขัดด้ายเหล็ก DB12 รูปตัวซีที่มนุ รอยต่อแบบเปียกขนาด 25 เซนติเมตร (B3) คานที่มีรอยต่อเทคอนกรีตภายนอกและมีลักษณะการต่อเชื่อมที่จุดต่อของเหล็กเสริมรับแรงดึงโดยยงขอมาตรฐาน 90 องศา ขัดด้ายเหล็ก DB12 รูปตัวซีที่มนุ รอยต่อแบบเปียกขนาด 25 เซนติเมตร (B4) คานที่มีรอยต่อเทคอนกรีตภายนอกและมีลักษณะการต่อเชื่อมที่จุดต่อของเหล็กเสริมรับแรงดึงโดยยงขอ J-Shape รอยต่อแบบเปียกขนาด 25 เซนติเมตร (B5) คานที่มีรอยต่อเทคอนกรีตภายนอกและมีลักษณะการต่อเชื่อมที่จุดต่อของเหล็กเสริมรับแรงดึงโดยยงขอมาตรฐาน 90 องศา เชื่อมขีดปลายด้ายเหล็ก DB12 รอยต่อแบบเปียกขนาด 25 เซนติเมตร (B6) และคานที่มีรอยต่อเทคอนกรีตภายนอกและมีลักษณะการต่อเชื่อมที่จุดต่อของเหล็กเสริมรับแรงดึงโดยยงขอ DB12 รูปวงกลม รอยต่อแบบเปียกขนาด 25 เซนติเมตร (B7)

ผลการทดสอบคานที่มีรอยต่อเทคอนกรีตภายนอกและมีลักษณะการต่อเชื่อมที่จุดต่อของเหล็กเสริมรับแรงดึงโดยยงขอมาตรฐาน 90 องศา ขัดด้ายเหล็ก DB12 รูปตัวซีที่มนุ (B4) สามารถพัฒนากำลังด้านทานโน้มnenต์ดัดได้ใกล้เคียงกับคานตัวอย่างลักษณะรอยต่อที่เสริมเหล็กรับแรงดึงโดยการเชื่อมทาน (B2) โดยคานตัวอย่างดังกล่าวสามารถรับโน้มnenต์ดัดสูงสุดได้เท่ากับ 5,028 กิโลกรัม-เมตร เมื่อนำผลการทดสอบที่ได้มาเปรียบเทียบกับค่าการออกแบบทางทฤษฎี ( $M_n = 4,578$  กิโลกรัม-เมตร) คานดังกล่าวมีความสามารถในการรับแรงได้ถึงร้อยละ 109.82 ลักษณะการวิบัติของคานตัวอย่างเป็นการวิบัติที่เกิดจากแรงดึงในเหล็กเสริมถึงจุดแตกหักก่อน

(Yielding failure) พฤติกรรมการวินาศัยของคนมีการเตือนให้ทราบล่วงหน้าว่าการวินาศัยกำลังจะเกิดขึ้น ซึ่งเป็นไปตามทฤษฎีของคนที่มีปริมาณเหล็กเสริมรับแรงดึงต่ำกว่าอัตราส่วนที่สภาวะสมดุล

จากการศึกษาที่ผ่านมา (ภาควิชานโยบายและบริหารจัดการ 2552) ได้ทำการศึกษาคนที่มีรอยต่อเทคอนกรีตภายในห้องและมีลักษณะการต่อเชื่อมที่จุดต่อของเหล็กเสริมรับแรงดึงโดยวางทากันและของจาก เมื่อนำผลการทดสอบที่ได้มาเปรียบเทียบกับค่าการออกแบบทางทฤษฎี คานดังกล่าวมีความสามารถในการรับแรงได้ร้อยละ 77 แต่จากการทดสอบคานตัวอย่าง B4 มีความสามารถพัฒนา กำลังได้สูงขึ้นเนื่องจากการเสริมเหล็กพิเศษ DB12 รูปตัวซี ที่ขัดไว้ตรงบริเวณมุมการของช่วยเพิ่มแรงยึดเหนี่ยวและช่วยลดการแตกร้าวของเทคอนกรีตตรงบริเวณรอยต่อได้

### 5.1.2 คานตัวอย่างชุดที่สอง

จากการทดสอบคานตัวอย่างชุดที่หนึ่ง คานที่มีรอยต่อเทคอนกรีตภายในห้องและมีลักษณะการต่อเชื่อมที่จุดต่อของเหล็กเสริมรับแรงดึงโดยของมาตรฐาน 90 องศา ขัดด้วยเหล็ก DB12 รูปตัวซีที่มุม รอยต่อแบบเบิกขนาด 25 เซนติเมตร (B4) สามารถพัฒนา กำลังต้านทานไม่менต์ดัดได้ใกล้เคียงกับคานตัวอย่างลักษณะรอยต่อที่เสริมเหล็กรับแรงดึงโดยการเชื่อมทากัน (B2) ดังนั้นในการทดสอบตัวอย่างชุดที่สองจึงทำการศึกษาเกี่ยวกับรอยต่อที่มีลักษณะรอยต่อที่เสริมเหล็กรับแรงดึงโดยการของมาตรฐานขัดด้วยเหล็กข้ออ้อบูรูปตัวซีที่มุม โดยทำการศึกษาอิทธิพลของปริมาณเหล็กเสริมตามของต่อปริมาณเหล็กเสริมตามยาวที่มีค่าแตกต่างกัน ได้แก่

คานที่มีรอยต่อเทคอนกรีตภายในห้องและมีเหล็กเสริมรับแรงดึง 2-DB12 เชื่อมต่อโดยของมาตรฐาน 90 องศา ขัดด้วยเหล็ก DB16 รูปตัวซี ปริมาณเหล็กเสริมตามของต่อปริมาณเหล็กเสริมตามยาวร้อยละ 89 (B4-A) คานที่มีรอยต่อเทคอนกรีตภายในห้องและมีเหล็กเสริมรับแรงดึง 3-DB12 เชื่อมต่อโดยของมาตรฐาน 90 องศา ขัดด้วยเหล็ก DB12 รูปตัวซี ปริมาณเหล็กเสริมตามของต่อปริมาณเหล็กเสริมตามยาวร้อยละ 33 (B4-B) คานที่มีรอยต่อเทคอนกรีตภายในห้องและมีเหล็กเสริมรับแรงดึง 3-DB12 เชื่อมต่อโดยของมาตรฐาน 90 องศา ขัดด้วยเหล็ก DB12 รูปตัวซี ปริมาณเหล็กเสริมตามของต่อปริมาณเหล็กเสริมตามยาวร้อยละ 59 (B4-C) คานที่มีรอยต่อเทคอนกรีตภายในห้องและมีเหล็กเสริมรับแรงดึง 3-DB12 เชื่อมต่อโดยของมาตรฐาน 90 องศา ขัดด้วยเหล็ก DB16 รูปตัวซี ปริมาณเหล็กเสริมตามของต่อปริมาณเหล็กเสริมตามยาวร้อยละ 28 (B4-D) คานที่มีรอยต่อเทคอนกรีตภายในห้องและมีเหล็กเสริมรับแรงดึง 2-DB16 เชื่อมต่อโดยของมาตรฐาน 90 องศา ขัดด้วยเหล็ก DB16 รูปตัวซี ปริมาณเหล็กเสริมตามของต่อปริมาณเหล็กเสริมตามยาวร้อยละ 50 (B4-E)

ผลการทดสอบสามารถสรุปได้ว่า การรับน้ำหนักและการด้านท่าน โน้มnenต์ดัดของรอยต่อคานคอนกรีตสำเร็จรูปแบบเปียกที่มีลักษณะการต่อเชื่อมที่จุดต่อของเหล็กเสริมรับแรงดึงเชื่อมต่อโดยงขอมาตรฐาน 90 องศา ขัดด้วยเหล็กข้ออ้อยรูปตัวซี พบร่วมกับปริมาณเหล็กเสริมตามขวางต่อบริมาณเหล็กเสริมตามยาวมีค่ามากขึ้น ความสามารถในการรับโน้มnenต์ดัดของคานตัวอย่างจะมีแนวโน้มที่มากขึ้น

## 5.2 ข้อเสนอแนะ

จากการทดสอบประสิทธิภาพของรอยต่อแบบเปียกสำหรับคานคอนกรีตเสริมเหล็กสำเร็จรูปที่มีรายละเอียดเหล็กเสริมต่างๆ และสรุปผลการทดสอบที่ได้ ผลการทดสอบอาจไม่ครอบคลุมเงื่อนไขอื่นๆ นอกจากนี้จากของเบต้าร์สกีญา จึงมีข้อเสนอแนะเกี่ยวกับคานคอนกรีตเสริมเหล็กสำเร็จรูปที่ใช้รอยต่อแบบเปียกซึ่งมีลักษณะการต่อเชื่อมที่จุดต่อของเหล็กเสริมรับแรงดึงโดยงขอมาตรฐาน 90 องศา ขัดด้วยเหล็กข้ออ้อยเสริมพิเศษรูปตัวซีที่มุน เพื่อนำไปพัฒนาและประยุกต์ใช้กับการก่อสร้างจริง ทำให้เกิดความมั่นใจในประสิทธิภาพของโครงสร้างระบบชั้นส่วนคอนกรีตสำเร็จรูป ทั้งในขณะก่อสร้างและขณะใช้งาน ดังนี้

5.2.1 ความคลาดเคลื่อนที่เกิดขึ้นในพฤติกรรมการรับโน้มnenต์ดัดทั้งหมดอาจมาจากการคลาดเคลื่อนของตัวอย่างที่ใช้ในการทดสอบ เช่น การหล่อตัวอย่าง ระยะห้องและความลึกประสิทธิผล ดังนั้นการผลิตตัวอย่างควรมีการควบคุมให้เกิดความคลาดเคลื่อนน้อยที่สุด

5.2.2 ควรศึกษาเพิ่มเติมเกี่ยวกับคานคอนกรีตเสริมเหล็กสำเร็จรูปที่ใช้รอยต่อแบบเปียกโดยมีทั้งการเสริมเหล็กด้านท่านแรงอัดและเหล็กเสริมด้านท่านแรงดึง เพื่อจะได้ครอบคลุมถึงตัวอย่างการใช้งานจริงในการก่อสร้าง

5.2.3 ตัวอย่างที่ใช้ในการทดสอบยังไม่สามารถสรุปผลได้อย่างชัดเจน ควรทำการศึกษาตัวอย่างที่มีปริมาณเหล็กเสริมตามขวางต่อบริมาณเหล็กเสริมตามยาว ในจำนวนตัวอย่างที่มากกว่านี้

5.2.4 ควรศึกษาเพิ่มเติมเกี่ยวกับลักษณะการวิบัติของคานคอนกรีตตรงบริเวณของของเหล็กเสริมภายในรอยต่อ เพื่อจะได้ทราบถึงพฤติกรรมและลักษณะการวิบัติที่เกิดขึ้น

เอกสารอ้างอิง

## เอกสารอ้างอิง

โภวิท พันธุจิต. ความสามารถในการรับโฉมเมนต์ด้วยจุดต่อจุดของสถาปัตยกรรมแบบไทยร่วมสมัย. วิทยานิพนธ์ปริญญาวิศวกรรมศาสตรมหาบัณฑิต : มหาวิทยาลัยเทคโนโลยีพระจอมเกล้าฯ พระนครเหนือ, 2553.

จักษดา สำราญ. การทดสอบเพื่อศึกษาพฤติกรรมทางกลของรอยต่อของคานคอนกรีตสำเร็จรูป. ใน การประชุมวิชาการวิศวกรรมโยธาแห่งชาติครั้งที่ 12. 2550.

จิราชัย เลาหสมพลเลิศ. พฤติกรรมของรอยต่อคานคอนกรีตสำเร็จรูป โฉมเมนต์ด้ด. วิทยานิพนธ์ปริญญาวิศวกรรมศาสตรมหาบัณฑิต : จุฬาลงกรณ์มหาวิทยาลัย, 2551.

จุติ ไคร่ครัวญ. การศึกษาเปรียบเทียบต้นทุนค่าก่อสร้างบ้านพักอาศัยระบบชิ้นส่วนค่อนกรีตสำเร็จรูปกับระบบค่อนกรีตหล่อในที่. วิทยานิพนธ์ปริญญาวิศวกรรมศาสตรมหาบัณฑิต : มหาวิทยาลัยเกษตรศาสตร์, 2551.

ณัฐรุ่ง. สนองพวงเสรี. การวิเคราะห์กระบวนการจัดการชิ้นส่วนค่อนกรีตสำเร็จรูปสำหรับงานก่อสร้างที่อยู่อาศัยโดยใช้กรณ์ศึกษา. วิทยานิพนธ์ปริญญาวิศวกรรมศาสตรมหาบัณฑิต : จุฬาลงกรณ์มหาวิทยาลัย, 2549.

ไตรรัตน์ จารุทัศน์. ระบบการก่อสร้างอุตสาหกรรมสำหรับที่พักอาศัยของผู้ที่มีรายได้ปานกลางในกรุงเทพมหานครและปริมณฑล. วิทยานิพนธ์ปริญญาวิศวกรรมศาสตรมหาบัณฑิต : จุฬาลงกรณ์มหาวิทยาลัย, 2542.

นเรศ พันธาราธ. การออกแบบค่อนกรีตอัดแรง. พิมพ์ครั้งที่ 2. กรุงเทพมหานคร : Library – Nine Publishing, 2541.

นริศรา สุขสารณ. การศึกษาและเบรียบเทียบการก่อสร้างที่อยู่อาศัยด้วยชิ้นส่วนสำเร็จรูประหว่างระบบผังรับน้ำหนักและระบบเสาคาน : กรณีศึกษาโครงการบ้านเอื้ออาทร. วิทยานิพนธ์ปริญญาวิศวกรรมศาสตรมหาบัณฑิต : มหาวิทยาลัยเทคโนโลยีพระจอมเกล้าธนบุรี, 2549.

ภาควิน ถอยเจริญ. “พฤติกรรมรอยต่อแบบเปียกของคานค่อนกรีตเสริมเหล็กสำเร็จรูปภายใต้การดัด”. ใน การประชุมวิชาการค่อนกรีตประจำปี ครั้งที่ 6. 2553.

มงคล จิรวัชรเดช. การออกแบบค่อนกรีตเสริมเหล็ก. พิมพ์ครั้งที่ 4. นครราชสีมา : มหาวิทยาลัยเทคโนโลยีสุรนารี, 2549.

นามี โตบารมีกุล. การศึกษาระบบการก่อสร้างอาคารสำเร็จรูปในกรุงเทพมหานครและปริมณฑล. วิทยานิพนธ์ปริญญาวิศวกรรมศาสตรมหาบัณฑิต : จุฬาลงกรณ์มหาวิทยาลัย, 2540.

## เอกสารอ้างอิง (ต่อ)

วินิต ช่อวิเชียร. การออกแบบโครงสร้างคอนกรีตเสริมเหล็ก โดยวิธีกำลัง. พิมพ์ครั้งที่ 4.

กรุงเทพมหานคร : ห้างหุ้นส่วนจำกัด ป.สัมพันธ์พาณิชย์, 2550.

วีระ หอสกุลไทย. การออกแบบคอนกรีตเสริมเหล็ก โดยวิธีกำลัง. พิมพ์ครั้งที่ 2. ขอนแก่น :

หน่วยงานสารบัญ งานบริหารและธุรการ มหาวิทยาลัยขอนแก่น, 2547.

วิศวกรรมสถานแห่งประเทศไทยในพระบรมราชูปถัมภ์. มาตรฐานสำหรับอาคารคอนกรีตเสริม

เหล็ก โดยวิธีกำลัง. พิมพ์ครั้งที่ 6. กรุงเทพมหานคร : บริษัท โกลบอล กราฟฟิก จำกัด,

2550.

สถาพร โภคฯ. การออกแบบคอนกรีตเสริมเหล็ก โดยวิธีกำลัง. พิมพ์ครั้งที่ 2. กรุงเทพมหานคร :

รุ่งแสงการพิมพ์, 2546.

Akehabara. “Precast concrete”, <http://akehabara.blogspot.com/2008/11/precast.html>. January 10, 2012.

ASTM C192/C192M-98, Standard Practice for Making and Curing Concrete Test Specimens in the Laboratory. Annual Book of ASTM Standard, Philadelphia: American Society for Testing and Material.

Don, A. W. Construction Materials and Processes. Third Edition. U.S.A.: McGRAW-HILL, 1986.

Korkmaz, H. and Tankut, T. “Performance of a precast concrete beam-to-beam connection subject to reversed cyclic loading”, Engineering Structures. 2005: 1392-1407; 23 May, 2005

Nawy, E. G. Reinforced Concrete a Fundamental Approach. Six Edition. New Jersey: Prentice-Hill Inc, 2009.

PCI Design Handbook, Precast and Prestressed Concrete. Six Edition. U.S.A: PCI Design, 2004.

Thai Industrial Standard. Steel Bars for Reinforced Concrete: Round Bars. TIS-20-2543, 2543.

Thai Industrial Standard. Steel Bars for Reinforced Concrete: Deformed Bars. TIS-24-2548, 2548.

ภาคผนวก

ภาคผนวก ก  
ตารางแสดงข้อมูลผลการทดสอบวัสดุที่ใช้ในงานวิจัย

**ตารางที่ ก.1 ผลการทดสอบกำลังอัดคอนกรีตสูปทรงกระบอกสำหรับคานตัวอย่างทดสอบที่หนึ่ง  
(คานตัวอย่าง B1-B7)**

ตัวอย่าง	วันที่ทดสอบ	อายุ (วัน)	น้ำหนัก (kg)	ค่าที่อ่านได้ (kN)	กำลังอัด (ksc)	ค่าเฉลี่ย (ksc)
คาน	13-ต.ค.-54	28	12.05	410	237	
	13-ต.ค.-54	28	12.35	415	240	237
	13-ต.ค.-54	28	12.34	400	232	
รอยต่อ	13-ต.ค.-54	27	12.83	420	243	
	13-ต.ค.-54	27	12.75	425	246	245
	13-ต.ค.-54	27	12.47	425	246	

**ตารางที่ ก.2 ผลการทดสอบกำลังอัดคอนกรีตสูปทรงกระบอกสำหรับคานตัวอย่างทดสอบที่สอง  
(คานตัวอย่าง B4-A ถึง B4-E)**

ตัวอย่าง	วันที่ทดสอบ	อายุ (วัน)	น้ำหนัก (kg)	ค่าที่อ่านได้ (kN)	กำลังอัด (ksc)	ค่าเฉลี่ย (ksc)
คาน	6-เม.ย.-55	23	12.99	390	226	
	6-เม.ย.-55	23	12.41	390	226	228
	6-เม.ย.-55	23	12.87	400	232	
รอยต่อ	6-เม.ย.-55	22	12.67	400	232	
	6-เม.ย.-55	22	12.95	410	237	232
	6-เม.ย.-55	22	12.92	390	226	

ตารางที่ ก.3 ผลการทดสอบแรงดึงของเหล็กตามยาวขนาด RB6 ชั้นคุณภาพ SR24

No.	Diameter (mm)	Weight /Length (kg/m)	Gauge Length (cm)	Deformed Length (cm)	Percentage of Elongation	Nominal Cross- section Area (cm <sup>2</sup> )	Reading Load		Tensile Strength	
							Yield (kg)	Ultimate (kg)	Yield (kg/cm <sup>2</sup> )	Ultimate (kg/cm <sup>2</sup> )
A1	6	0.213	3.0	4.2	40.00	0.283	970	1,287	3,429	4,553
A2	6	0.211	3.0	4.7	56.67	0.283	1,019	1,287	3,605	4,553
A3	6	0.209	3.0	4.2	40.00	0.283	989	1,287	3,499	4,553

จากตารางที่ ก.3 กำลังคราก ( $f_y$ ) เฉลี่ยของเหล็กตามยาวขนาด RB6 ชั้นคุณภาพ SR24 มีค่าเท่ากับ 3,511 กิโลกรัมต่ำตรางเซนติเมตร

ตารางที่ ก.4 ผลการทดสอบแรงดึงของเหล็กตามยาวขนาด RB9 ชั้นคุณภาพ SR24

No.	Diameter (mm)	Weight /Length (kg/m)	Gauge Length (cm)	Deformed Length (cm)	Percentage of Elongation	Nominal Cross- section Area (cm <sup>2</sup> )	Reading Load		Tensile Strength	
							Yield (kg)	Ultimate (kg)	Yield (kg/cm <sup>2</sup> )	Ultimate (kg/cm <sup>2</sup> )
B1	9	0.491	4.5	5.2	15.56	0.636	2,260	2,995	3,553	4,708
B2	9	0.494	4.5	5.5	22.22	0.636	2,211	2,995	3,475	4,708
B3	9	0.497	4.5	5.5	22.22	0.636	2,310	2,975	3,631	4,677

จากตารางที่ ก.4 กำลังคราก ( $f_y$ ) เฉลี่ยของเหล็กตามยาวขนาด RB9 ชั้นคุณภาพ SR24 มีค่าเท่ากับ 3,553 กิโลกรัมต่ำตรางเซนติเมตร

ตารางที่ ก.5 ผลการทดสอบแรงดึงของเหล็กตามยा�วยานาด DB12 ชั้นคุณภาพ SD40

No.	Diameter (mm)	Weight /Length (kg/m)	Gauge Length (cm)	Deformed Length (cm)	Percentage of Elongation	Nominal Cross- section Area (cm <sup>2</sup> )	Reading Load		Tensile Strength	
							Yield (kg)	Ultimate (kg)	Yield (kg/cm <sup>2</sup> )	Ultimate (kg/cm <sup>2</sup> )
C1	12	0.843	6.0	7.2	20.00	1.131	6,381	8,116	5,642	7,176
C2	12	0.860	6.0	7.4	23.33	1.131	6,411	8,116	5,668	7,176
C3	12	0.869	6.0	7.3	21.67	1.131	6,331	8,116	5,598	7,176

จากตารางที่ ก.5 กำลังคราก ( $f_y$ ) เนื้อข้อของเหล็กตามยा�วยานาด RB12 ชั้นคุณภาพ SR24 มีค่าเท่ากับ 5,636 กิโลกรัมต่ำตรางเซนติเมตร

ตารางที่ ก.6 ผลการทดสอบแรงดึงของเหล็กตามยा�วยานาด DB16 ชั้นคุณภาพ SD40

No.	Diameter (mm)	Weight /Length (kg/m)	Gauge Length (cm)	Deformed Length (cm)	Percentage of Elongation	Nominal Cross- section Area (cm <sup>2</sup> )	Reading Load		Tensile Strength	
							Yield (kg)	Ultimate (kg)	Yield (kg)	Ultimate (kg)
D1	16	1.555	8.0	10.2	27.50	2.011	11,418	14,363	5,679	7,143
D2	16	1.553	8.0	9.7	21.25	2.011	11,438	14,660	5,689	7,291
D3	16	1.498	8.0	9.7	21.25	2.011	11,368	14,462	5,654	7,193

จากตารางที่ ก.6 กำลังคราก ( $f_y$ ) เนื้อข้อของเหล็กตามยा�วยานาด RB16 ชั้นคุณภาพ SR24 มีค่าเท่ากับ 5,674 กิโลกรัมต่ำตรางเซนติเมตร

### ภาคผนวก ข

#### รายการคำนวณออกแบบและวิเคราะห์หน้าตัดตัวอย่างทดสอบ

ข.1 รายการคำนวณวิเคราะห์กำลังรับ โนเมนต์คัคและแรงเฉือนสูงสุดของคานตัวอย่างทดสอบกำลังรับ โนเมนต์คัคของรอยต่อแบบเปียกของคานคอนกรีตสำเร็จรูปชุดทดสอบที่ 1 คานตัวอย่าง B1-B7 (เหล็กเสริมรับแรงดึง 2-DB12)

เกณฑ์การออกแบบ

$f_c'$	=	240	$\text{kg}/\text{cm}^2$	$A_s$	=	2.26	$\text{cm}^2$
$f_y$	=	5,636	$\text{kg}/\text{cm}^2$	$\rho$	=	$A_s / b \times d$	
$b$	=	20	cm	$\rho$	=	0.0031	
$d$	=	37	cm	$\beta_1$	=	0.85	

1) คำนวณหาค่า โนเมนต์คัคที่หน้าตัดคานสามารถรับได้จาก

$$M_n = \rho f_y b d^2 \left(1 - 0.59 \rho \frac{f_y}{f_c'}\right)$$

$$\text{จะได้ } M_n = 4,578 \text{ kg-m}$$

2) นำหนักบรรทุกที่คานสามารถรับได้

$$P = 12,208 \text{ kg}$$

3) ตรวจสอบถักยันนะการวิบัติของหน้าตัดคาน

$$\rho_b = \left[ 0.85 \beta_1 \frac{f_c'}{f_y} \left( \frac{6,120}{6,120 + f_y} \right) \right]$$

$$\rho_b = 0.0160 > 0.0031$$

(Under – reinforced section)

4) กำลังรับแรงเฉือนของคอนกรีต

$$V_c = 0.53 \sqrt{f'_c} \cdot b \cdot d$$

จะได้  $V_c = 6,076 \text{ kg}$

5) กำลังเฉือนระบุ

$$V_n = 6,104 / 0.85$$

$$V_n = 7,182 \text{ kg} > V_c$$

(คอนกรีตไม่สามารถด้านท่านแรงเฉือนได้ เสริมเหล็กปะออก)

6) ออกแบบเหล็กเสริมรับแรงเฉือน

จาก  $V_n = V_c + V_s$

จะได้  $V_s = V_n - V_c$

$$V_s = 7,182 - 6,076$$

$$V_s = 1,106 \text{ kg}$$

เมื่อ  $V_n - V_c \leq 1.1 \sqrt{f'_c} b_w d$

ใช้  $s_{\max} = \frac{d}{2} \text{ หรือ } \leq 60 \text{ cm}$

$$1,106 \text{ kg} < 1.1 \times \sqrt{240} \times 20 \times 37 \text{ kg}$$

$$1,106 \text{ kg} < 12,610 \text{ kg}$$

$$s_{\max} = 18.50 \text{ cm}$$

เลือกใช้เหล็กปلوต RB6,  $A_v = 0.56 \text{ cm}^2$ ,  $f_y = 3,511 \text{ kg/cm}^2$

$$\text{จะได้ } s = \frac{A_v \cdot f_y \cdot d}{V_s}$$

$$s = \frac{0.56 \times 3,511 \times 37}{1,106}$$

$$s = 65 \text{ cm}$$

เลือกใช้เหล็กปلوต RB6 ระยะเรียง 15 cm

ข.2 รายการคำนวณวิเคราะห์กำลังรับ荷重เม่นต์ดัดและแรงเฉือนสูงสุดของคานตัวอย่างทดสอบกำลังรับ荷重เม่นต์ดัดของรอยต่อแบบเปียกของคานคอนกรีตสำเร็จรูปชุดทดสอบที่ 2 คานตัวอย่าง B4-A (เหล็กเสริมรับแรงดึง 2-DB12)

เกณฑ์การออกแบบ

$f_c'$	=	230	$\text{kg}/\text{cm}^2$	$A_s$	=	2.26	$\text{cm}^2$
$f_y$	=	5,636	$\text{kg}/\text{cm}^2$	$\rho$	=	$A_s / b \times d$	
$b$	=	20	cm	$\rho$	=	0.0031	
$d$	=	37	cm	$\beta_1$	=	0.85	

1) คำนวณหาค่า荷重เม่นต์ดัดที่หน้าตัดคานสามารถรับได้จาก

$$M_n = \rho f_y b d^2 \left(1 - 0.59 \rho \frac{f_y}{f_c'}\right)$$

จะได้  $M_n = 4,569 \text{ kg-m}$

2) น้ำหนักบรรทุกที่คานสามารถรับได้

$$P = 12,184 \text{ kg}$$

3) ตรวจสอบลักษณะการวินท์ติของหน้าตัดคาน

$$\rho_b = \left[ 0.85 \beta_1 \frac{f_c'}{f_y} \left( \frac{6,120}{6,120 + f_y} \right) \right]$$

$$\rho_b = 0.0153 > 0.0031$$

(Under-reinforced section)

4) กำลังรับแรงเฉือนของคอนกรีต

$$V_c = 0.53\sqrt{f'_c} \cdot b \cdot d$$

$$\text{จะได้ } V_c = 5,948 \text{ kg}$$

5) กำลังเฉือนรวม

$$V_n = 6,092/0.85$$

$$V_n = 7,167 \text{ kg} > V_c$$

(คอนกรีตไม่สามารถต้านทานแรงเฉือนได้ เสริมเหล็กปะออก)

6) ออกแบบเหล็กเสริมรับแรงเฉือน

$$\text{จาก } V_n = V_c + V_s$$

$$\text{จะได้ } V_s = V_n - V_c$$

$$V_s = 7,167 - 6,092$$

$$V_s = 1,075 \text{ kg}$$

$$\text{เมื่อ } V_n - V_c \leq 1.1\sqrt{f'_c} b_w d$$

$$\text{ใช้ } s_{\max} = \frac{d}{2} \text{ หรือ } \leq 60 \text{ cm}$$

$$1,075 \text{ kg} < 1.1 \times \sqrt{230 \times 20 \times 37} \text{ kg}$$

$$1,075 \text{ kg} < 12,345 \text{ kg}$$

$$s_{\max} = 18.50 \text{ cm}$$

เลือกใช้เหล็กปกลอก RB6,  $A_v = 0.56 \text{ cm}^2$ ,  $f_y = 3,511 \text{ kg/cm}^2$

จะได้  $s = \frac{A_v \cdot f_y \cdot d}{V_s}$

$$s = \frac{0.56 \times 3,511 \times 37}{1,075}$$

$$s = 68 \text{ cm}$$

เลือกใช้เหล็กปกลอก RB6 ระยะเรียง 15 cm

ข.3 รายการคำนวณวิเคราะห์กำลังรับ荷重เม่นต์ดัดและแรงเฉือนสูงสุดของคานตัวอย่างทดสอบกำลังรับ荷重เม่นต์ดัดของรอยต่อแบบเปียกของคานคอนกรีตสำเร็จรูปชุดทดสอบที่ 2 คานตัวอย่าง B4-B และคานตัวอย่าง B4-C (เหล็กเสริมรับแรงดึง 3-DB12)

เกณฑ์การออกแบบ

$f_c'$	=	230	$\text{kg}/\text{cm}^2$	$A_s$	=	3.39	$\text{cm}^2$
$f_y$	=	5,636	$\text{kg}/\text{cm}^2$	$\rho$	=	$A_s / b \times d$	
$b$	=	20	cm	$\rho$	=	0.0046	
$d$	=	37	cm	$\beta_1$	=	0.85	

1) คำนวณหาค่า荷重เม่นต์ดัดที่หน้าตัดคานสามารถรับได้จาก

$$M_n = \rho f_y b d^2 (1 - 0.59 \rho \frac{f_y}{f_c'})$$

จะได้  $M_n = 6,626 \text{ kg-m}$

2) น้ำหนักบรรทุกที่คานสามารถรับได้

$$P = 17,670 \text{ kg}$$

3) ตรวจสอบลักษณะการวินิจฉัยของหน้าตัดคาน

$$\rho_b = \left[ 0.85 \beta_1 \frac{f_c'}{f_y} \left( \frac{6,120}{6,120 + f_y} \right) \right]$$

$$\rho_b = 0.0153 > 0.0046$$

(Under – reinforced section)

4) กำลังรับแรงเฉือนของคอนกรีต

$$V_c = 0.53 \sqrt{f'_c} \cdot b \cdot d$$

จะได้  $V_c = 5,948 \text{ kg}$

5) กำลังเฉือนระบบ

$$V_n = 8,835 / 0.85$$

$$V_n = 10,394 \text{ kg} > V_c$$

(คอนกรีตไม่สามารถต้านทานแรงเฉือนได้ เสริมเหล็กปะอก)

6) ออกแบบเหล็กเสริมรับแรงเฉือน

จาก  $V_n = V_c + V_s$

จะได้  $V_s = V_n - V_c$

$$V_s = 10,394 - 5,948$$

$$V_s = 4,446 \text{ kg}$$

เมื่อ  $V_n - V_c \leq 1.1 \sqrt{f'_c} b_w d$

ใช้  $s_{\max} = \frac{d}{2} \text{ หรือ } \leq 60 \text{ cm}$

$$4,446 \text{ kg} < 1.1 \times \sqrt{230 \times 20 \times 37} \text{ kg}$$

$$4,446 \text{ kg} < 12,345 \text{ kg}$$

$$s_{\max} = 18.50 \text{ cm}$$

เลือกใช้เหล็กปلو ก RB9,  $A_v = 1.27 \text{ cm}^2$ ,  $f_y = 3,553 \text{ kg/cm}^2$

$$\text{จะได้ } s = \frac{A_v \cdot f_y \cdot d}{V_s}$$

$$s = \frac{1.27 \times 3,553 \times 37}{4,446}$$

$$s = 37 \text{ cm}$$

เลือกใช้เหล็กปلو ก RB9 ระยะเรียง 15 cm

ข.4 รายการคำนวณวิเคราะห์กำลังรับ荷重เม่นต์ดัดและแรงเนื้อน絮สุดของคานตัวอย่างทดสอบกำลังรับ荷重เม่นต์ดัดของรอยต่อแบบเปิดของคานคอนกรีตสำเร็จรูปชุดทดสอบที่ 2 คานตัวอย่าง B4-D และคานตัวอย่าง B4-E (เหล็กเสริมรับแรงดึง 2-DB16)

เกณฑ์การออกแบบ

$f_c'$	=	230	$\text{kg}/\text{cm}^2$	$A_s$	=	4.02	$\text{cm}^2$
$f_y$	=	5,674	$\text{kg}/\text{cm}^2$	$\rho$	=	$A_s / b \times d$	
$b$	=	20	cm	$\rho$	=	0.0054	
$d$	=	37	cm	$\beta_1$	=	0.85	

1) คำนวณหาค่า荷重เม่นต์ดัดที่หน้าตัดคานสามารถรับได้จาก

$$M_n = \rho f_y b d^2 \left(1 - 0.59 \rho \frac{f_y}{f_c'}\right)$$

$$\text{จะได้ } M_n = 7,682 \text{ kg-m}$$

2) น้ำหนักบรรทุกที่คานสามารถรับได้

$$P = 20,485 \text{ kg}$$

3) ตรวจสอบลักษณะการวิบัติของหน้าตัดคาน

$$\rho_b = \left[ 0.85 \beta_1 \frac{f_c'}{f_y} \left( \frac{6,120}{6,120 + f_y} \right) \right]$$

$$\rho_b = 0.0152 > 0.0054$$

(Under-reinforced section)

4) กำลังรับแรงเฉือนของคอนกรีต

$$V_c = 0.53 \sqrt{f'_c} \cdot b \cdot d$$

จะได้  $V_c = 5,948 \text{ kg}$

5) กำลังเฉือนระบุ

$$V_n = 10,243 / 0.85$$

$$V_n = 12,050 \text{ kg} > V_c$$

(คอนกรีตไม่สามารถด้านท่านแรงเฉือนได้ เสริมเหล็กปลอก)

6) ออกรูปแบบเหล็กเสริมรับแรงเฉือน

จาก  $V_n = V_c + V_s$

จะได้  $V_s = V_n - V_c$

$$V_s = 12,050 - 5,948$$

$$V_s = 6,102 \text{ kg}$$

เมื่อ  $V_n - V_c \leq 1.1 \sqrt{f'_c} b_w d$

ใช้  $s_{\max} = \frac{d}{2} \text{ หรือ } \leq 60 \text{ cm}$

$$6,102 \text{ kg} < 1.1 \times \sqrt{230 \times 20 \times 37} \text{ kg}$$

$$6,102 \text{ kg} < 12,345 \text{ kg}$$

$$s_{\max} = 18.50 \text{ cm}$$

เลือกใช้เหล็กปกลอก RB9,  $A_v = 1.27 \text{ cm}^2$ ,  $f_y = 3,553 \text{ kg/cm}^2$

$$\text{จะได้ } s = \frac{A_v \cdot f_y \cdot d}{V_s}$$

$$s = \frac{1.27 \times 3,553 \times 37}{6,102}$$

$$s = 27 \text{ cm}$$

เลือกใช้เหล็กปกลอก RB9 ระยะเรียง 15 cm

ข.5 ระยะผึ้งเหล็กข้ออ้อยที่รับแรงดึงโดยคั่คปลาຍเป็นของมาตรฐาน

มาตรฐาน ACI หรือ ว.ส.ท. กำหนดความยาวของระยะผึ้งพื้นฐานของเหล็กเสริมข้ออ้อยที่รับแรงดึงโดยคั่คปลาຍเป็นของมาตรฐาน  $l_{hb}$  ดังนี้

$$l_{hb} = \frac{0.075 f_y d_b}{\sqrt{f_c'}}$$

จาก

$$\begin{aligned} f_c' &= 240 \text{ kg/cm}^2 \\ f_y &= 5,636 \text{ kg/cm}^2 \\ d_b &= 1.2 \text{ cm} \end{aligned}$$

จะได้

$$l_{hb} = \frac{0.075 \times 5,636 \times 1.2}{\sqrt{240}}$$

$$l_{hb} = 32.74 \text{ cm}$$

เลือกใช้ระยะผึ้งเหล็กข้ออ้อยที่รับแรงดึงโดยคั่คปลาຍเป็นของมาตรฐาน 33 เซนติเมตร สำหรับ  
คานตัวอย่างชุดที่ 1 คาน B1 (ขนาดอยู่ต่อ 35 เซนติเมตร)

ภาคผนวก ค

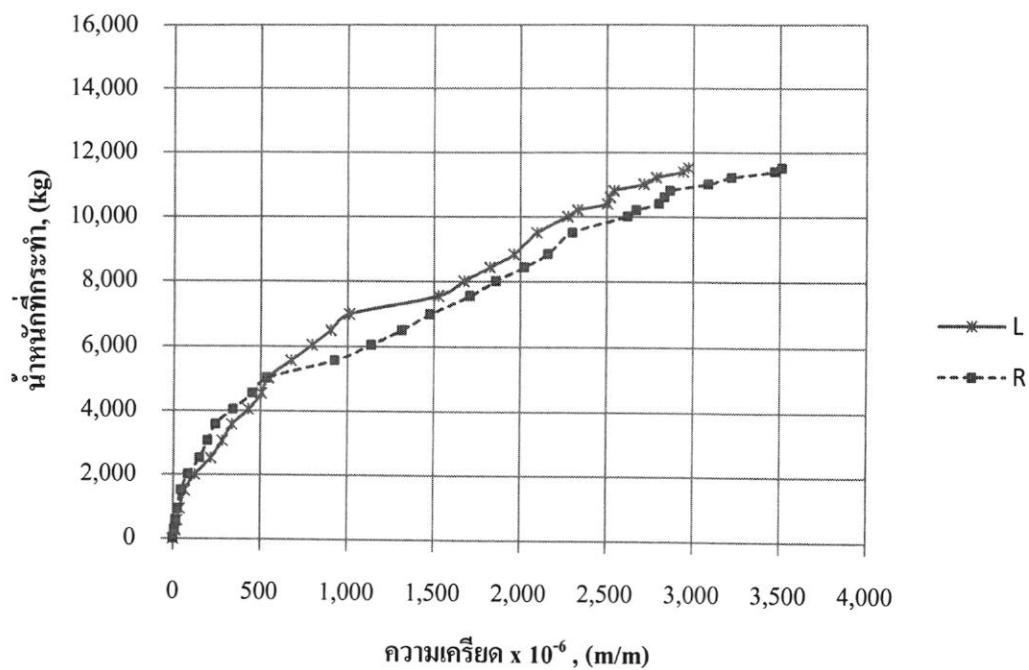
ผลการทดสอบ

**ตารางที่ ก.1** ผลการทดสอบกำลังรับ โน้มเมนต์ดัคคานตัวอย่างลักษณะการต่อเชื่อมที่จุดต่อของเหล็ก เสริมรับแรงดึง โดยการงอขอมาตรฐาน 90 องศา รอยต่อแบบเปียกขนาด 35 เซนติเมตร  
(B1)

No.	Load (kg)	Deflection (mm)	Strain gage x 10 <sup>-6</sup> , L (m/m)	Strain gage x 10 <sup>-6</sup> , R (m/m)
1	0	0	0	0
2	264	0.41	11.40	6.50
3	571	0.79	21.60	13.60
4	932	1.20	36.30	23.90
5	1,509	1.67	64.30	43.50
6	2,000	2.12	122.10	83.10
7	2,519	2.59	214.30	149.50
8	3,064	3.01	280.40	197.00
9	3,572	3.35	335.80	239.90
10	4,046	3.76	431.00	340.50
11	4,540	4.15	505.00	452.20
12	5,019	4.45	543.20	536.10
13	5,565	4.98	673.10	923.90
14	6,046	5.53	794.60	1,133.90
15	6,500	6.05	901.00	1,312.50
16	6,989	6.49	1,008.20	1,477.40
17	7,550	7.22	1,524.40	1,708.00
18	8,000	7.67	1,673.10	1,856.90
19	8,435	8.15	1,824.80	2,021.20
20	8,839	8.54	1,961.50	2,161.10
21	9,505	9.00	2,097.30	2,301.90
22	10,009	9.73	2,276.40	2,619.23

ตารางที่ ค.1 ผลการทดสอบกำลังรับ โภมเมนต์ดั้คคานตัวอย่างถักยกระดับต่อเชื่อมที่จุดต่อของเหล็ก เสริมรับแรงดึง โดยการงอข้อมารฐาน 90 องศา รอยต่อแบบเบี้ยกขนาด 35 เซนติเมตร (B1) (ต่อ)

No.	Load (kg)	Deflection (mm)	Strain gage x 10 <sup>-6</sup> , L (m/m)	Strain gage x 10 <sup>-6</sup> , R (m/m)
23	10,206	9.90	2,331.10	2,669.42
24	10,400	10.48	2,504.40	2,800.14
25	10,608	11.85	2,519.50	2,831.01
26	10,817	12.33	2,542.50	2,863.35
27	11,017	14.04	2,714.40	3,084.06
28	11,223	14.73	2,785.10	3,220.56
29	11,407	17.18	2,940.20	3,468.99
30	11,519	17.55	2,971.00	3,510.47



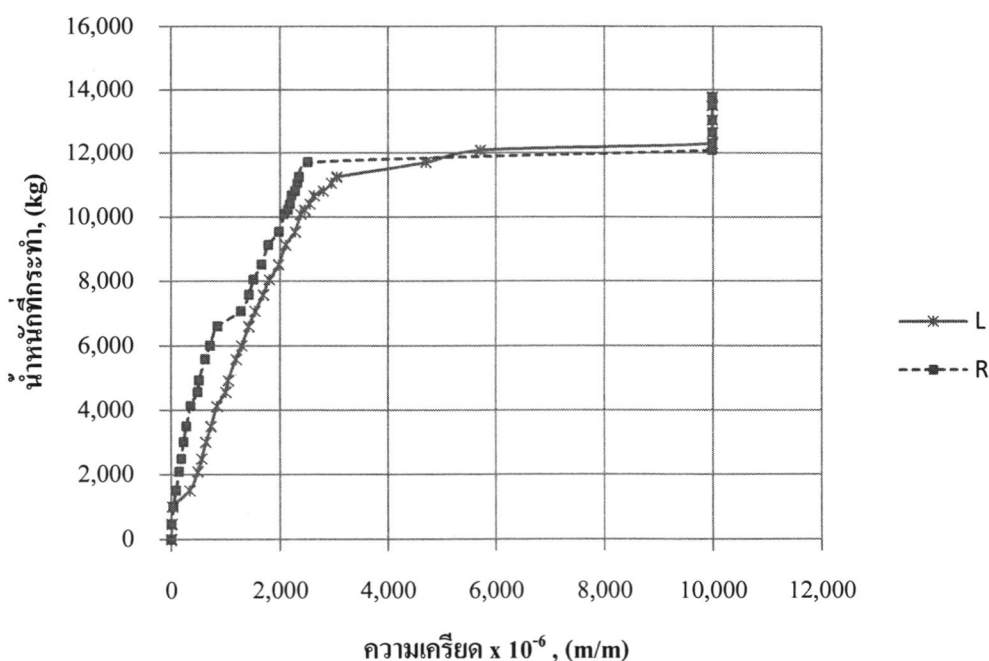
ภาพที่ ค.1 ความสัมพันธ์ระหว่างน้ำหนักบรรทุกกับค่าความเครียดของเหล็กเสริมรับแรงดึงคานตัวอย่าง B1

**ตารางที่ ก.2** ผลการทดสอบกำลังรับ โน้ม-men ด้วยความตัวอย่างลักษณะการต่อเชื่อมที่จุดต่อของเหล็ก เสริมรับแรงดึง โดยการเชื่อมทاب รอยต่อแบบเปียกขนาด 25 เซนติเมตร (B2)

No.	Load (kg)	Deflection (mm)	Strain gage x 10 <sup>-6</sup> , L (m/m)	Strain gage x 10 <sup>-6</sup> , R (m/m)
1	0	0	0	0
2	470	0.64	6.90	5.60
3	1,006	1.32	18.70	38.60
4	1,506	1.95	341.80	83.80
5	2,082	2.61	487.70	147.40
6	2,400	2.87	563.20	185.70
7	3,007	3.44	639.00	226.60
8	3,495	3.88	734.80	284.70
9	4,127	4.36	842.00	359.30
10	4,562	4.86	1,003.60	488.30
11	4,921	5.13	1,047.00	513.80
12	5,585	5.79	1,189.20	626.30
13	6,000	6.24	1,295.30	718.10
14	6,597	6.87	1,423.90	853.50
15	7,068	7.60	1,538.60	1,281.70
16	7,575	8.17	1,690.60	1,427.10
17	8,046	8.58	1,799.90	1,510.80
18	8,521	9.24	1,976.80	1,659.20
19	9,124	9.77	2,105.10	1,784.00
20	9,541	10.41	2,276.50	1,980.90
21	10,086	10.85	2,376.10	2,077.50
22	10,215	11.12	2,447.60	2,145.70

**ตารางที่ ค.2** ผลการทดสอบกำลังรับ โน้ม-menต์คัคคานด้วยอุปกรณ์ต่อเชื่อมที่จุดต่อของเหล็กเสริมรับแรงดึง โดยการใช้เครื่องทดสอบทางบรรยณต่อแบบเปียกขนาด 25 เซนติเมตร (B2) (ต่อ)

No.	Load (kg)	Deflection (mm)	Strain gage x 10 <sup>-6</sup> , L (m/m)	Strain gage x 10 <sup>-6</sup> , R (m/m)
23	10,408	11.87	2,544.50	2,180.00
24	10,662	12.33	2,619.70	2,214.90
25	10,809	13.11	2,794.70	2,277.50
26	11,050	13.54	2,948.60	2,321.10
27	11,243	13.89	3,050.40	2,348.60
28	11,701	18.90	4,692.50	2,508.90
29	12,084	25.11	5,713.20	9,986.20
30	12,299	34.38	9,986.20	9,986.20
31	12,655	41.36	9,986.20	9,986.20
32	13,038	51.60	9,986.20	9,986.20
33	13,515	53.34	9,986.20	9,986.20
34	13,763	55.33	9,986.20	9,986.20



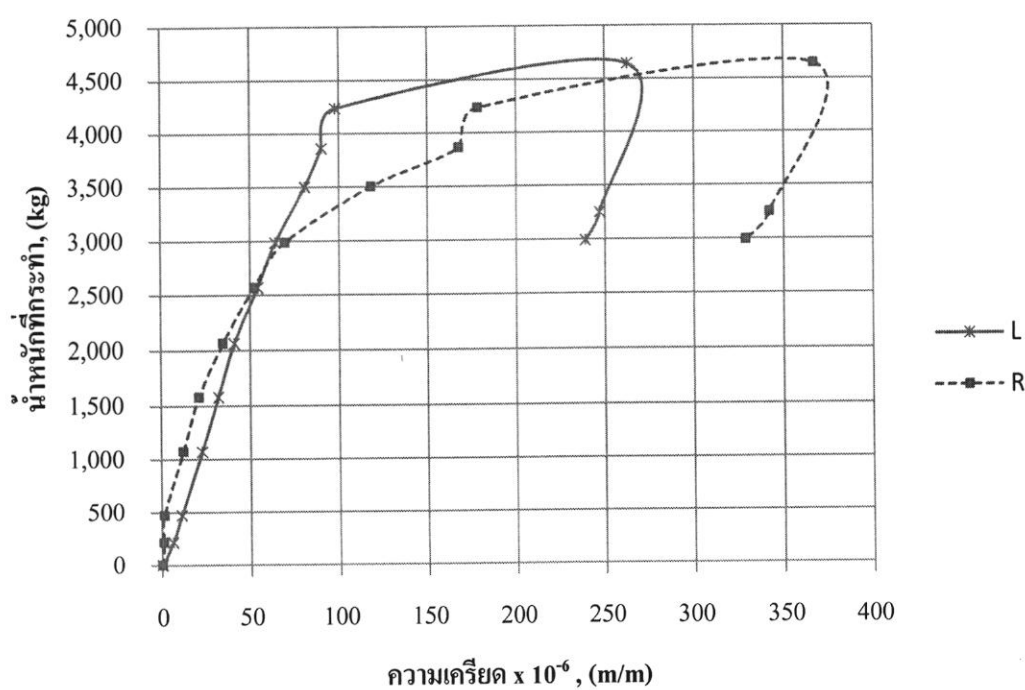
ภาพที่ ค.2 ความสัมพันธ์ระหว่างน้ำหนักบรรทุกกับค่าความเครียดของเหล็กเสริมรับแรงดึงด้านตัวอย่าง B2

ตารางที่ ค.3 ผลการทดสอบกำลังรับ荷重เมื่อตัดคานตัวอย่างลักษณะการต่อเชื่อมที่จุดต่อของเหล็กเสริมรับแรงดึงโดยการงอขอมาตรฐาน 180 องศา ขัดด้วยเหล็ก DB12 รูปตัวยู รอยต่อแบบเปียกขนาด 25 เซนติเมตร (B3)

No.	Load (kg)	Deflection (mm)	Strain gage $\times 10^{-6}$ , L (m/m)	Strain gage $\times 10^{-6}$ , R (m/m)
1	0	0	0	0
2	216	0.41	6.20	1.00
3	469	0.61	11.10	1.30
4	1,071	1.17	22.60	12.10
5	1,577	1.63	31.90	20.90
6	2,061	2.13	41.00	34.60
7	2,566	2.65	54.20	52.20
8	2,986	2.97	64.10	69.50

ตารางที่ ค.3 ผลการทดสอบกำลังรับ荷重 men's คัดค้านตัวอย่างลักษณะการต่อเขื่อนที่จุดต่อของเหล็ก เสริมรับแรงดึง โดยการงอขอมาตรฐาน 180 องศา ขัดด้วยเหล็ก DB12 รูปตัวยู รอบต่อแบบเปียกขนาด 25 เซนติเมตร (B3) (ต่อ)

No.	Load (kg)	Deflection (mm)	Strain gage $\times 10^{-6}$ , L (m/m)	Strain gage $\times 10^{-6}$ , R (m/m)
9	3,200	3.17	70.67	87.65
10	3,501	3.40	80.70	118.10
11	3,862	3.76	90.10	167.50
12	4,235	3.95	97.70	178.30
13	4,643	4.36	262.60	366.60
14	3,247	5.71	246.90	342.00
15	2,990	5.94	239.00	328.80



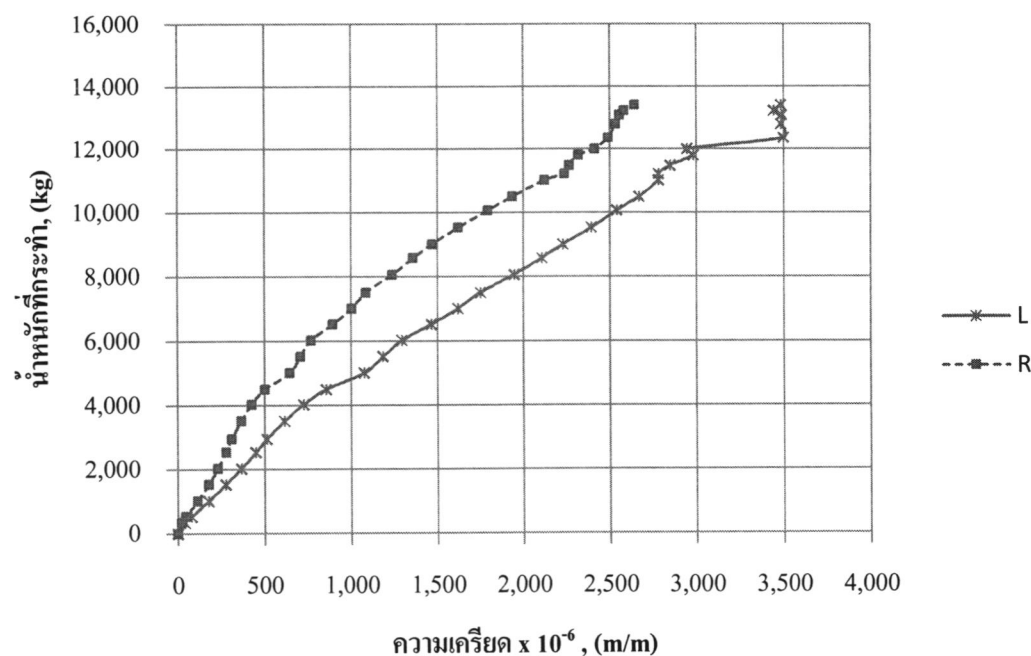
ภาพที่ ค.3 ความสัมพันธ์ระหว่างน้ำหนักบรรทุกับค่าความเครียดของเหล็กเสริมรับแรงดึงตัวอย่าง B3

**ตารางที่ ก.4** ผลการทดสอบกำลังรับโน้มเมนต์ดัดคานตัวอย่างถักยนต์การต่อเชื่อมที่จุดต่อของเหล็ก เสริมรับแรงดึงโดยการงอขอมาตรฐาน 90 องศา ขัดด้วยเหล็ก DB12 รูปตัวซี รอยต่อแบบเปียกขนาด 25 เซนติเมตร (B4)

No.	Load (kg)	Deflection (mm)	Strain gage $\times 10^{-6}$ , L (m/m)	Strain gage $\times 10^{-6}$ , R (m/m)
1	0	0	0	0
2	344	1.06	40.20	20.20
3	531	1.33	77.70	43.10
4	1,009	2.00	176.90	113.00
5	1,522	2.54	275.20	176.70
6	2,018	3.02	365.30	230.40
7	2,525	3.44	449.00	277.20
8	2,800	3.65	513.00	310.40
9	3,505	4.29	614.40	364.90
10	4,026	4.69	724.10	424.70
11	4,501	5.06	854.80	501.10
12	5,010	5.77	1,075.60	644.50
13	5,515	6.13	1,185.70	705.30
14	6,021	6.51	1,293.80	765.80
15	6,522	7.20	1,463.70	890.40
16	7,007	7.75	1,619.50	1,002.40
17	7,503	8.15	1,749.00	1,085.10
18	8,059	8.74	1,946.00	1,236.90
19	8,579	9.31	2,106.10	1,357.60
20	9,006	9.71	2,228.50	1,467.20
21	9,529	10.28	2,392.30	1,620.50
22	10,068	10.74	2,539.60	1,790.50

**ตารางที่ ค.4** ผลการทดสอบกำลังรับ荷重ไมเมนต์ดัดคานตัวอย่างลักษณะการต่อเขื่อนที่จุดต่อของเหล็ก เสริมรับแรงดึงโดยการขอมาตรฐาน 90 องศา ขัดด้วยเหล็ก DB12 รูปตัวซี รอยต่อแบบเปียกขนาด 25 เช่นติเมตร (B4) (ต่อ)

No.	Load (kg)	Deflection (mm)	Strain gage $\times 10^{-6}$ , L (m/m)	Strain gage $\times 10^{-6}$ , R (m/m)
23	10,502	11.21	2,667.10	1,936.30
24	11,017	11.85	2,781.00	2,121.20
25	11,218	12.60	2,781.40	2,236.80
26	11,482	13.27	2,848.60	2,264.80
27	11,805	14.69	2,981.60	2,317.20
28	12,001	17.24	2,945.00	2,410.70
29	12,355	23.76	3,498.90	2,490.10
30	12,796	24.95	3,484.60	2,532.00
31	13,091	25.27	3,490.20	2,555.00
32	13,228	26.41	3,443.70	2,581.10
33	13,408	30.13	3,484.10	2,642.30



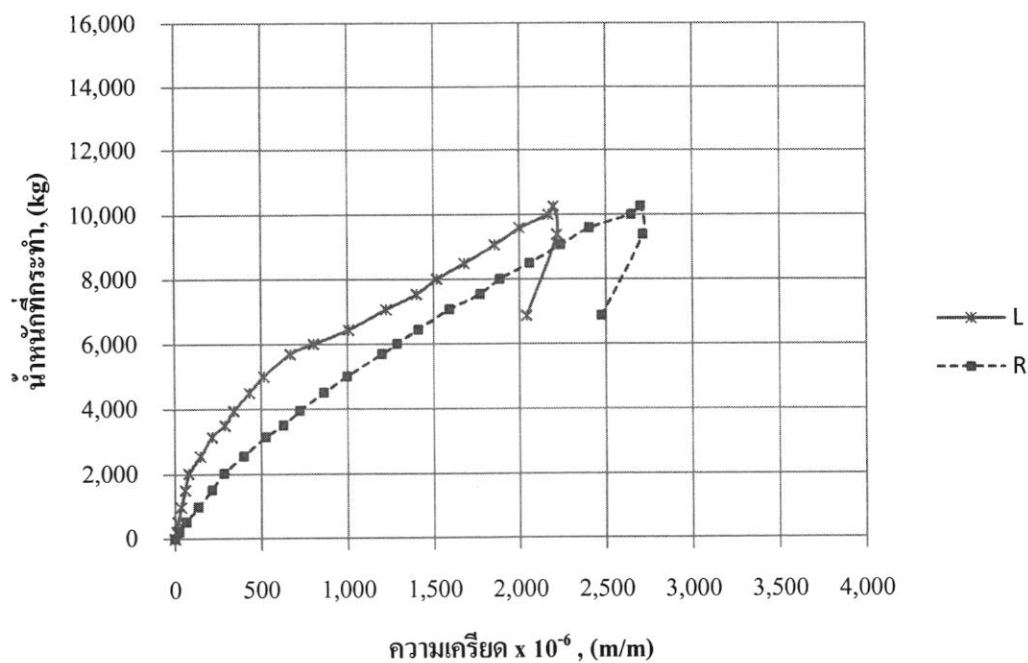
ภาพที่ ค.4 ความสัมพันธ์ระหว่างน้ำหนักบรรทุกกับค่าความเครียดของเหล็กเสริมรับแรงดึงด้านตัวอย่าง B4

ตารางที่ ค.5 ผลการทดสอบกำลังรับ荷重 เมนต์คัดคานตัวอย่างลักษณะการต่อเชื่อมที่จุดต่อของเหล็กเสริมรับแรงดึง โดยการงอของลักษณะแบบ J-Shape ระยะต่อแบบเปียกขนาด 25 เซนติเมตร (B5)

No.	Load (kg)	Deflection (mm)	Strain gage $\times 10^{-6}$ , L (m/m)	Strain gage $\times 10^{-6}$ , R (m/m)
1	0	0	0	0
2	218	0.27	7.80	22.70
3	518	0.66	18.20	66.70
4	971	1.19	34.90	134.70
5	1,200	1.46	45.54	189.79
6	1,507	1.70	58.60	214.60
7	2,023	2.08	79.40	284.80
8	2,557	2.55	148.20	399.50

**ตารางที่ ค.5 ผลการทดสอบกำลังรับโน้ม เมนต์ดัคคานตัวอย่างลักษณะการต่อเชื่อมที่จุดต่อของเหล็กเสริมรับแรงดึง โดยการงอขอลักษณะแบบ J-Shape รอยต่อแบบเปียกขนาด 25 เซนติเมตร (B5) (ต่อ)**

No.	Load (kg)	Deflection (mm)	Strain gage x 10 <sup>-6</sup> , L (m/m)	Strain gage x 10 <sup>-6</sup> , R (m/m)
9	3,145	2.98	216.90	524.40
10	3,504	3.29	291.60	627.60
11	3,947	3.59	342.30	723.00
12	4,501	4.04	432.30	861.60
13	5,002	4.54	514.90	997.20
14	5,691	5.34	667.50	1,200.40
15	6,005	5.68	802.10	1,287.20
16	6,443	6.19	1,006.90	1,409.10
17	7,070	6.82	1,224.20	1,592.60
18	7,540	7.61	1,400.50	1,769.40
19	8,004	8.08	1,518.90	1,885.10
20	8,502	8.67	1,677.60	2,057.50
21	9,062	9.38	1,855.00	2,239.10
22	9,584	10.00	2,001.70	2,404.90
23	10,001	10.83	2,168.30	2,647.70
24	10,251	11.03	2,197.90	2,701.30
25	9,389	11.51	2,217.50	2,713.60
26	6,865	12.97	2,041.00	2,475.00



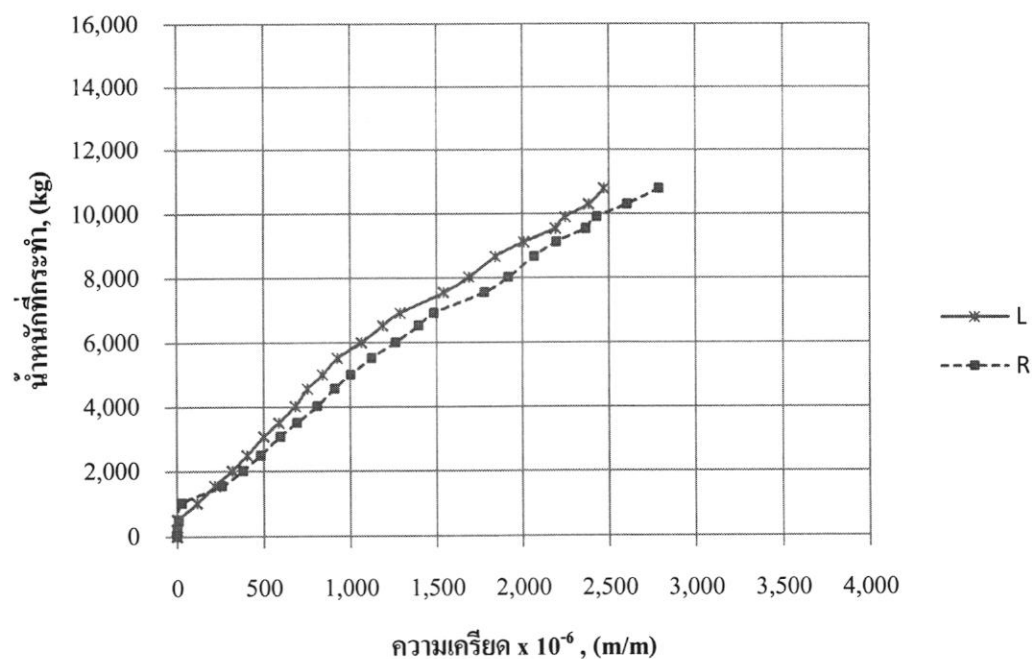
ภาพที่ ค.5 ความสัมพันธ์ระหว่างน้ำหนักบรรทุกกับค่าความเครียดของเหล็กเสริมรับแรงดึงด้านตัวอย่าง B5

ตารางที่ ค.6 ผลการทดสอบกำลังรับ荷重เมื่อตัดตามตัวอย่างลักษณะการต่อเชื่อมที่จุดต่อของเหล็กเสริมรับแรงดึง โดยการของมาตรฐาน 90 และใช้เชื่อมปลายยึดด้วยเหล็ก DB12 รอบตัวแบบเปียกขนาด 25 เซนติเมตร (B6)

No.	Load (kg)	Deflection (mm)	Strain gage $\times 10^{-6}$ , L (m/m)	Strain gage $\times 10^{-6}$ , R (m/m)
1	0	0	0	0
2	207	0.69	1.10	1.70
3	518	1.23	3.70	8.30
4	1,025	1.92	117.10	27.40
5	1,555	2.54	218.80	260.10
6	2,018	3.05	318.80	379.70
7	2,502	3.50	404.50	481.80
8	2,800	3.83	450.98	532.65

**ตารางที่ ก.6** ผลการทดสอบกำลังรับ荷重โดยการติดตัวอย่างถักยนต์และการต่อเชื่อมที่จุดต่อของเหล็ก  
เสริมรับแรงดึง โดยการงอขอมาตรฐาน 90 แล้วเชื่อมปลายยึดด้วยเหล็ก DB12  
รอยต่อแบบเปียกขนาด 25 เซนติเมตร (B6) (ต่อ)

No.	Load (kg)	Deflection (mm)	Strain gage $\times 10^{-6}$ , L (m/m)	Strain gage $\times 10^{-6}$ , R (m/m)
9	3,087	4.04	500.60	595.70
10	3,517	4.41	586.10	690.10
11	4,027	4.84	681.50	807.90
12	4,576	5.31	752.60	907.60
13	5,006	5.74	839.50	1,000.40
14	5,519	6.18	925.40	1,122.90
15	6,002	6.72	1,064.60	1,263.50
16	6,525	7.31	1,188.20	1,396.70
17	6,914	7.82	1,288.70	1,483.60
18	7,550	8.64	1,541.00	1,778.00
19	8,023	9.11	1,689.20	1,917.70
20	8,670	9.72	1,841.90	2,068.40
21	9,124	10.19	2,008.70	2,195.80
22	9,538	10.79	2,191.30	2,366.60
23	9,547	10.79	2,192.00	2,367.40
24	9,912	11.09	2,247.20	2,429.40
25	10,301	11.64	2,383.90	2,605.10
26	10,793	12.80	2,471.50	2,788.90



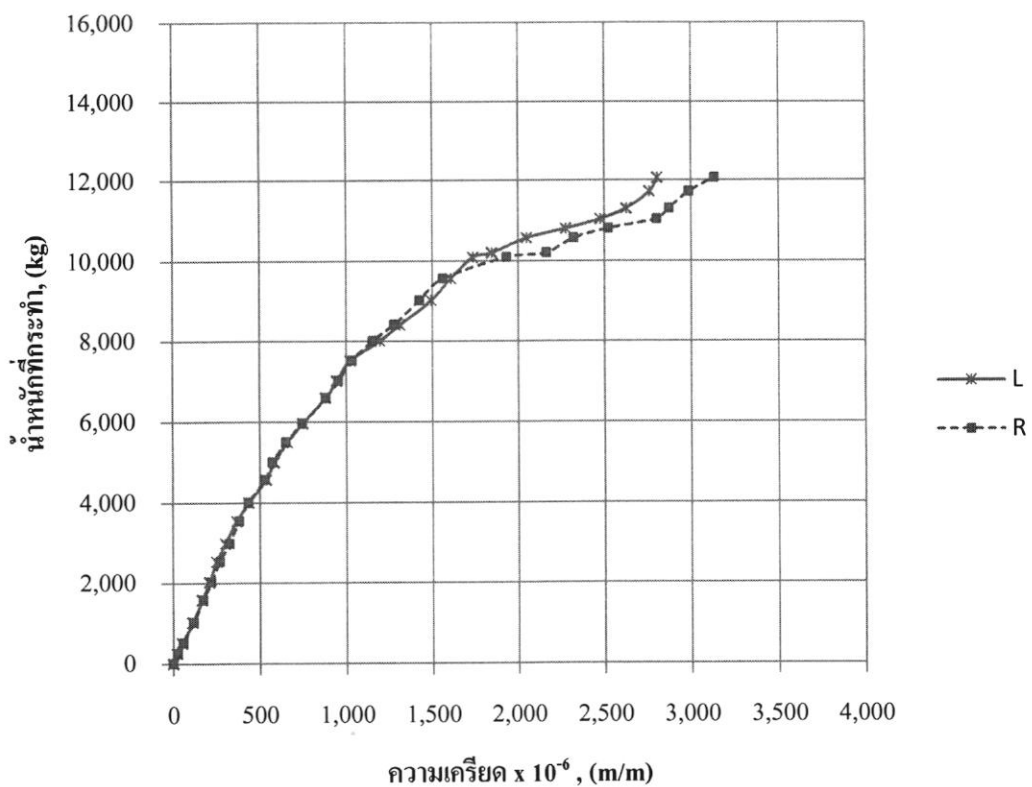
ภาพที่ ค.6 ความสัมพันธ์ระหว่างน้ำหนักบรรทุกกับค่าความเครียดของเหล็กเสริมรับแรงดึงด้านตัวอย่าง B6

ตารางที่ ค.7 ผลการทดสอบกำลังรับ荷重menตัดคานตัวอย่างลักษณะการต่อเชื่อมที่จุดต่อของเหล็กเสริมรับแรงดึง โดยการเชื่อมปลายด้วยเหล็ก DB12 รูปวงกลม รอยต่อแบบเปียกขนาด 25 เซนติเมตร (B7)

No.	Load (kg)	Deflection (mm)	Strain gage $\times 10^{-6}$ , L (m/m)	Strain gage $\times 10^{-6}$ , R (m/m)
1	0	0	0	0
2	253	0.45	23.10	25.90
3	518	0.86	51.40	56.50
4	1,200	1.78	112.30	117.00
5	1,572	2.20	166.00	171.30
6	2,023	2.72	206.90	218.60
7	2,529	3.17	249.40	268.80
8	2,984	3.58	302.10	324.90

**ตารางที่ ค.7** ผลการทดสอบกำลังรับ荷重 men ตัดคานตัวอย่างลักษณะการต่อเชื่อมที่จุดต่อของเหล็ก เสริมรับแรงดึง โดยการเชื่อมปลายด้วยเหล็ก DB12 รูปวงกลม รอยต่อแบบเมียกขนาด 25 เซนติเมตร (B7) (ต่อ)

No.	Load (kg)	Deflection (mm)	Strain gage x 10 <sup>-6</sup> , L (m/m)	Strain gage x 10 <sup>-6</sup> , R (m/m)
9	3,545	4.01	367.80	380.40
10	4,000	4.36	435.60	434.30
11	4,573	4.85	537.20	529.10
12	5,004	5.26	582.40	572.40
13	5,503	5.82	659.60	650.00
14	5,962	6.32	748.10	745.30
15	6,583	7.02	880.20	879.90
16	7,009	7.58	944.20	953.10
17	7,508	8.04	1,022.10	1,032.50
18	8,002	8.78	1,196.80	1,152.00
19	8,403	9.27	1,311.90	1,276.90
20	9,011	10.05	1,493.00	1,424.80
21	9,559	10.66	1,606.50	1,560.60
22	10,090	11.38	1,736.80	1,932.10
23	10,201	11.72	1,847.41	2,163.41
24	10,572	12.61	2,048.22	2,322.65
25	10,805	13.06	2,276.54	2,521.49
26	11,040	13.71	2,476.56	2,799.13
27	11,302	15.62	2,626.05	2,871.50
28	11,719	17.85	2,759.13	2,986.25
29	12,068	19.08	2,804.13	3,059.63
30	11,593	19.28	3,031.97	3,253.14



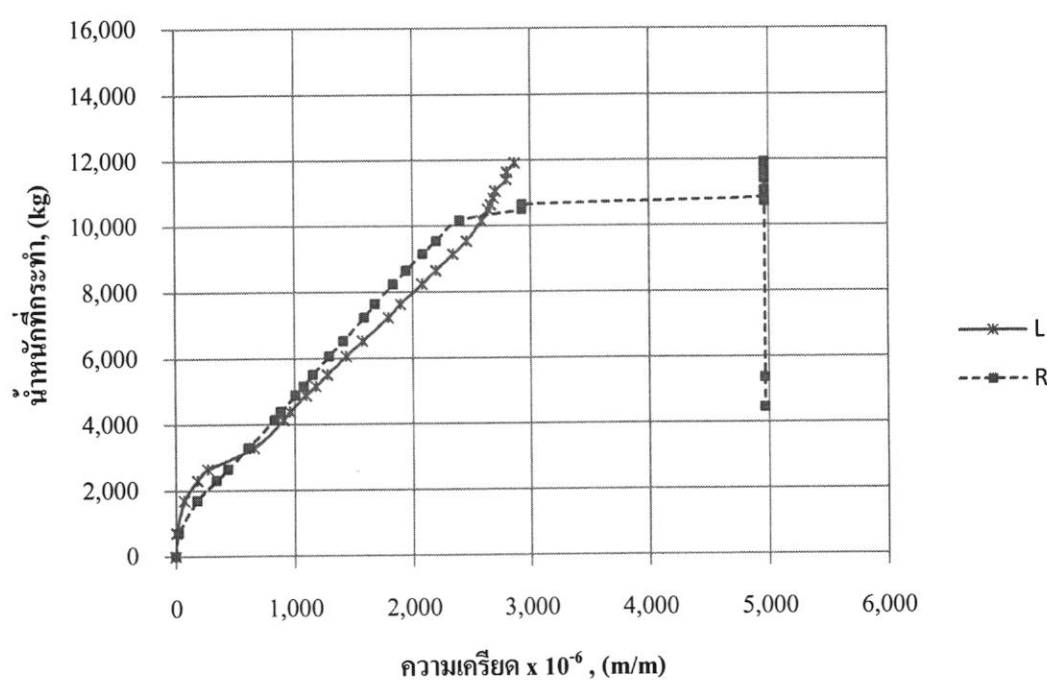
ภาพที่ ค.7 ความสัมพันธ์ระหว่างน้ำหนักดินกับความเครียดของเหล็กเสริมรับแรงดึงด้านตัวอย่าง B7

**ตารางที่ ก.8** ผลการทดสอบกำลังรับ荷重 เมนต์คัค้านตัวอย่างถักยกระดับการต่อเชื่อมที่จุดต่อของเหล็กเสริมรับแรงดึง โดยการขอมาตรฐาน 90 องศา เหล็กเสริมรับแรงดึง 2-DB12 ขั้ดด้วยเหล็ก DB16 รูปตัวซี รอยต่อแบบเปียกขนาด 25 เซนติเมตร (B4-A)

No.	Load (kg)	Deflection (mm)	Strain gage $\times 10^{-6}$ , L (m/m)	Strain gage $\times 10^{-6}$ , R (m/m)
1	0	0	0	0
2	716	0.18	5.50	24.30
3	1,696	0.64	70.20	178.30
4	2,200	1.02	181.60	341.00
5	2,644	1.28	265.70	436.50
6	3,293	1.87	656.40	608.10
7	4,142	2.79	906.00	829.30
8	4,386	3.00	959.70	882.60
9	4,889	3.60	1,096.50	1,007.60
10	5,158	3.88	1,178.70	1,075.80
11	5,507	4.25	1,275.20	1,152.80
12	6,071	4.90	1,435.30	1,291.10
13	6,525	5.36	1,573.80	1,409.40
14	7,234	6.20	1,792.00	1,587.30
15	7,638	6.56	1,895.40	1,677.30
16	8,238	7.47	2,078.30	1,833.30
17	8,649	8.00	2,195.40	1,943.30
18	9,145	8.69	2,342.70	2,084.80
19	9,546	9.35	2,456.50	2,200.50
20	10,160	10.66	2,587.50	2,398.00
21	10,494	12.13	2,643.60	2,928.50
22	10,649	13.00	2,664.40	2,926.40

**ตารางที่ ค.8** ผลการทดสอบกำลังรับ荷重 men ตัดคานตัวอย่างลักษณะการต่อเชื่อมที่จุดต่อของเหล็กเสริมรับแรงดึง โดยการงอขอมาตรฐาน 90 องศา เหล็กเสริมรับแรงดึง 2-DB12 ขัดด้วยเหล็ก DB16 รูปตัวซี รอยต่อแบบเปียกขนาด 25 เซนติเมตร (B4-A) (ต่อ)

No.	Load (kg)	Deflection (mm)	Strain gage $\times 10^{-6}$ , L (m/m)	Strain gage $\times 10^{-6}$ , R (m/m)
23	10,848	17.92	2,690.20	4,967.40
24	11,041	20.89	2,704.60	4,967.40
25	11,060	21.48	2,703.70	4,967.40
26	11,414	22.67	2,798.50	4,967.40
27	11,641	24.93	2,802.10	4,967.40
28	11,923	29.14	2,869.00	4,967.40
29	10,715	31.92	2,976.80	4,967.40



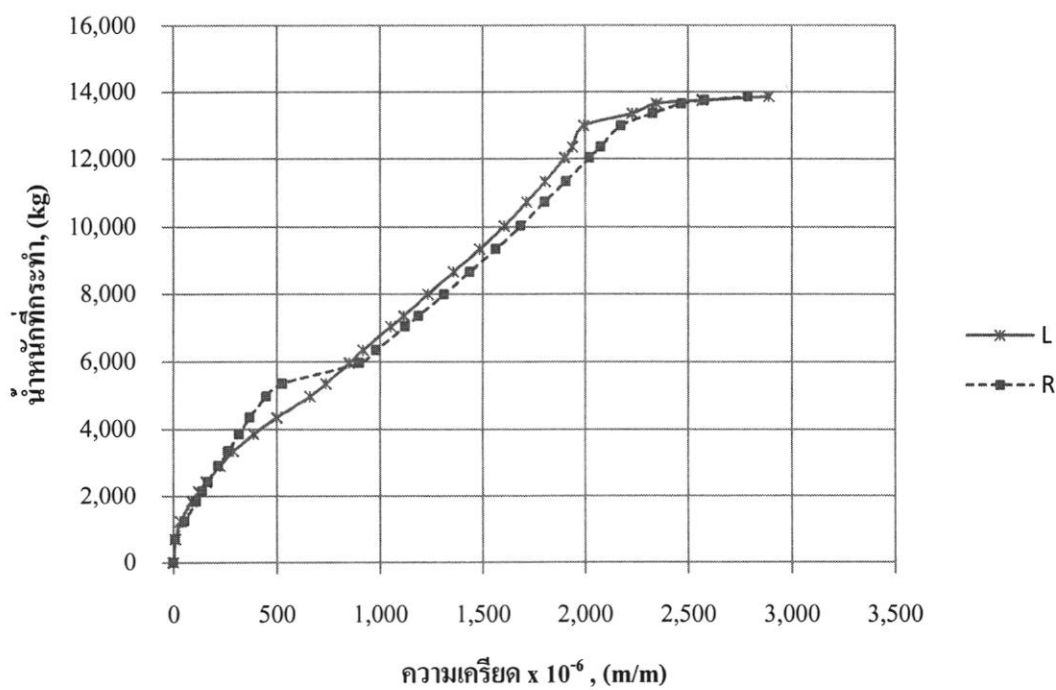
**ภาพที่ ค.8** ความสัมพันธ์ระหว่างน้ำหนักบรรทุกกับค่าความเครียดของเหล็กเสริมรับแรงดึงคานตัวอย่าง B4-A

**ตารางที่ ค.9** ผลการทดสอบกำลังรับ荷重 men's ดัดคานตัวอย่างถักขณะการต่อเชื่อมที่จุดต่อของเหล็ก เสริมรับแรงดึงโดยการงอขอมาตรฐาน 90 องศา เหล็กเสริมรับแรงดึง 3-DB12 ขดคดด้วย เหล็ก DB12 รูปตัวซี รอยต่อแบบเปียกขนาด 25 เซนติเมตร (B4-B)

No.	Load (kg)	Deflection (mm)	Strain gage $\times 10^{-6}$ , L (m/m)	Strain gage $\times 10^{-6}$ , R (m/m)
1	0	0	0	0
2	702	0.09	9.00	8.10
3	1,246	0.36	34.00	54.60
4	1,853	0.70	87.80	110.10
5	2,155	0.86	121.60	138.70
6	2,400	1.04	158.40	166.70
7	2,910	1.27	223.80	216.60
8	3,347	1.52	290.70	263.60
9	3,852	1.87	387.70	318.80
10	4,350	2.20	499.30	369.40
11	4,975	2.65	659.90	449.90
12	5,356	2.94	737.60	527.40
13	5,962	3.43	850.70	899.30
14	6,347	3.68	916.70	981.40
15	7,044	4.19	1,052.70	1,123.40
16	7,360	4.42	1,116.20	1,188.80
17	8,000	4.92	1,233.10	1,311.80
18	8,665	5.45	1,357.70	1,437.50
19	9,350	6.00	1,485.40	1,563.60
20	10,025	6.61	1,604.30	1,686.10
21	10,733	7.33	1,715.30	1,803.80
22	11,337	8.11	1,806.10	1,907.20

**ตารางที่ ค.9** ผลการทดสอบกำลังรับโน้ม men's คัดคานตัวอย่างลักษณะการต่อเชื่อมที่จุดต่อของเหล็กเสริมรับแรงดึง โดยการของมาตรฐาน 90 องศา เหล็กเสริมรับแรงดึง 3-DB12 ขัดด้วยเหล็ก DB12 รูปตัวซี รอยต่อแบบเปียกขนาด 25 เซนติเมตร (B4-B) (ต่อ)

No.	Load (kg)	Deflection (mm)	Strain gage $\times 10^{-6}$ , L (m/m)	Strain gage $\times 10^{-6}$ , R (m/m)
23	12,029	8.90	1,901.70	2,022.00
24	12,350	9.33	1,938.30	2,075.40
25	12,983	10.16	1,995.50	2,174.70
26	13,354	10.88	2,228.70	2,328.70
27	13,646	11.81	2,346.80	2,468.60
28	13,749	12.24	2,569.40	2,580.10
29	13,859	13.11	2,889.50	2,790.90



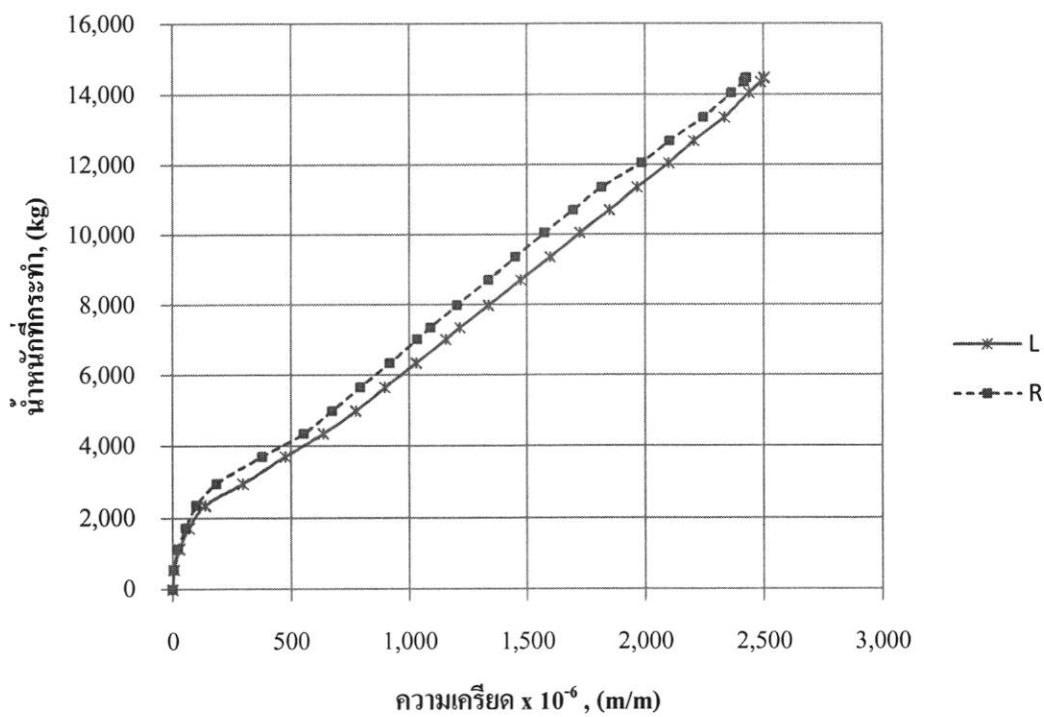
**ภาพที่ ค.9** ความสัมพันธ์ระหว่างน้ำหนักบรรทุกกับค่าความเครียดของเหล็กเสริมรับแรงดึงคานตัวอย่าง B4-B

**ตารางที่ ค.10** ผลการทดสอบกำลังรับโน้มเมนต์ดั้คคานตัวอย่างถักยณะการต่อเข็มที่จุดต่อของเหล็ก เสริมรับแรงดึงโดยการงอขอมาตรฐาน 90 องศา เหล็กเสริมรับแรงดึง 3-DB12 ขัดด้วยเหล็ก DB16 รูปตัวซี รอยต่อแบบเปียกขนาด 25 เช่นติเมตร (B4-C)

No.	Load (kg)	Deflection (mm)	Strain gage x 10 <sup>-6</sup> , L (m/m)	Strain gage x 10 <sup>-6</sup> , R (m/m)
1	0	0	0	0
2	552	0.11	5.70	5.00
3	1,147	0.48	27.90	22.00
4	1,729	0.90	68.60	54.50
5	2,358	1.30	136.90	100.30
6	2,800	1.58	298.50	185.20
7	3,697	2.13	475.60	378.40
8	4,348	2.50	636.90	553.20
9	4,986	3.01	774.20	673.50
10	5,653	3.53	897.70	792.10
11	6,341	4.24	1,030.30	918.00
12	7,015	4.96	1,155.30	1,034.10
13	7,350	5.25	1,215.70	1,089.80
14	7,988	5.79	1,335.50	1,203.40
15	8,703	6.45	1,473.60	1,335.90
16	9,356	7.11	1,599.90	1,451.50
17	10,048	7.79	1,724.50	1,574.40
18	10,699	8.44	1,849.20	1,696.20
19	11,359	9.17	1,966.80	1,817.40
20	12,052	10.00	2,099.10	1,984.80
21	12,681	10.83	2,206.70	2,103.60
22	13,355	11.90	2,334.50	2,245.60

**ตารางที่ ค.10** ผลการทดสอบกำลังรับ荷重ไม่มีเมนต์คัดค้านตัวอย่างถักยกระดับต่อเชื่อมที่จุดต่อของเหล็กเสริมรับแรงดึง โดยการงอขอมาตรฐาน 90 องศา เหล็กเสริมรับแรงดึง 3-DB12 ขดด้วยเหล็ก DB16 รูปตัวซี รอยต่อแบบเปลี่ยนขนาด 25 เซนติเมตร (B4-C) (ต่อ)

No.	Load (kg)	Deflection (mm)	Strain gage $\times 10^{-6}$ , L (m/m)	Strain gage $\times 10^{-6}$ , R (m/m)
23	14,052	13.04	2,439.80	2,364.90
24	14,353	13.75	2,489.40	2,418.10
25	14,460	14.22	2,502.80	2,427.90
26	14,470	14.32	2,503.10	2,425.80



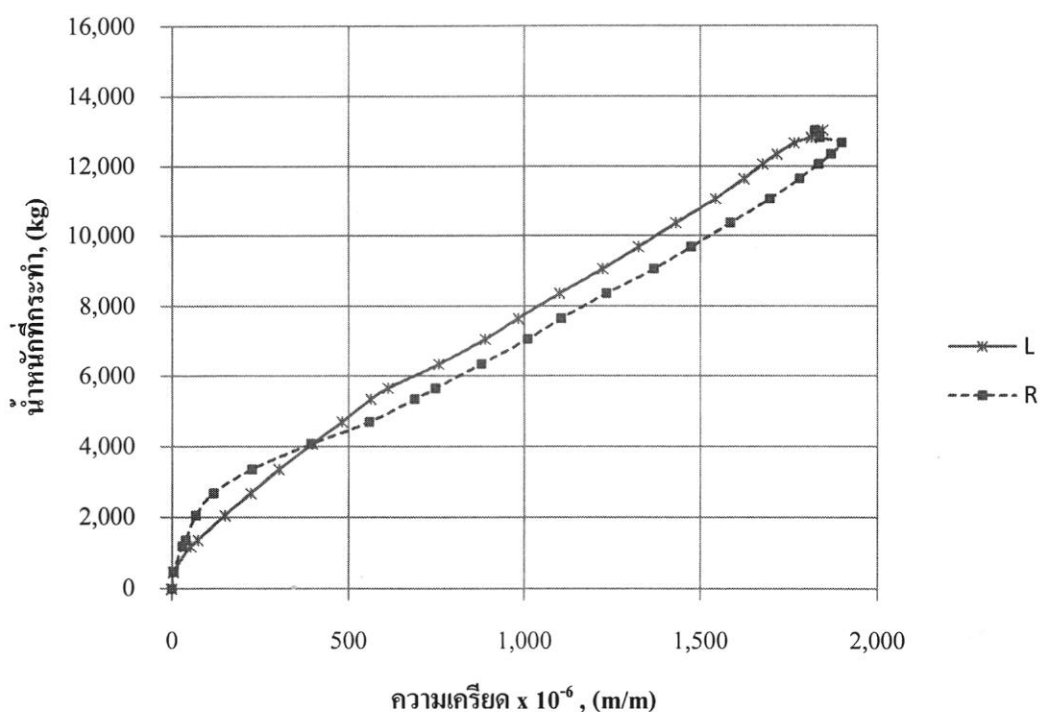
**ภาพที่ ค.10** ความสัมพันธ์ระหว่างน้ำหนักบรรทุกกับค่าความเครียดของเหล็กเสริมรับแรงดึงคานตัวอย่าง B4-C

**ตารางที่ ค.11** ผลการทดสอบกำลังรับ ไมเมนต์ดั้คคานตัวอย่างลักษณะการต่อเชื่อมที่จุดต่อของเหล็ก เสริมรับแรงดึง โดยการขอมาตรฐาน 90 องศา เหล็กเสริมรับแรงดึง 2-DB16 ขด ด้วยเหล็ก DB12 รูปตัวซี รอยต่อแบบเปียกขนาด 25 เซนติเมตร (B4-D)

No.	Load (kg)	Deflection (mm)	Strain gage x 10 <sup>-6</sup> , L (m/m)	Strain gage x 10 <sup>-6</sup> , R (m/m)
1	0	0	0	0
2	471	0.04	4.60	4.10
3	1,187	0.34	51.20	28.40
4	1,356	0.44	72.30	37.70
5	2,054	0.78	149.50	66.80
6	2,400	1.00	223.10	118.00
7	3,357	1.58	302.90	225.90
8	4,071	2.06	395.80	393.10
9	4,691	2.51	480.10	558.10
10	5,340	2.95	562.50	687.00
11	5,646	3.18	611.20	747.10
12	6,344	3.70	756.10	877.20
13	7,055	4.26	887.80	1,009.90
14	7,647	4.76	982.50	1,104.90
15	8,357	5.40	1,099.90	1,233.50
16	9,052	6.01	1,222.20	1,368.50
17	9,677	6.58	1,324.30	1,473.50
18	10,363	7.34	1,430.40	1,584.80
19	11,061	8.31	1,541.80	1,696.40
20	11,646	9.23	1,623.50	1,780.80
21	12,062	9.98	1,676.70	1,834.80
22	12,349	10.56	1,715.80	1,869.00

**ตารางที่ ค.11** ผลการทดสอบกำลังรับ โมเมนต์ดัดคานตัวอย่างลักษณะการต่อเชื่อมที่จุดต่อของเหล็ก เสริมรับแรงดึง โดยการงอขอมาตรฐาน 90 องศา เหล็กเสริมรับแรงดึง 2-DB16 ขัดด้วยเหล็ก DB12 รูปตัวซี รอยต่อแบบเปียกขนาด 25 เซนติเมตร (B4-D) (ต่อ)

No.	Load (kg)	Deflection (mm)	Strain gage x 10 <sup>-6</sup> , L (m/m)	Strain gage x 10 <sup>-6</sup> , R (m/m)
23	12,667	11.57	1,764.90	1,899.60
24	12,822	15.17	1,813.60	1,836.90
25	13,030	17.46	1,845.90	1,823.90



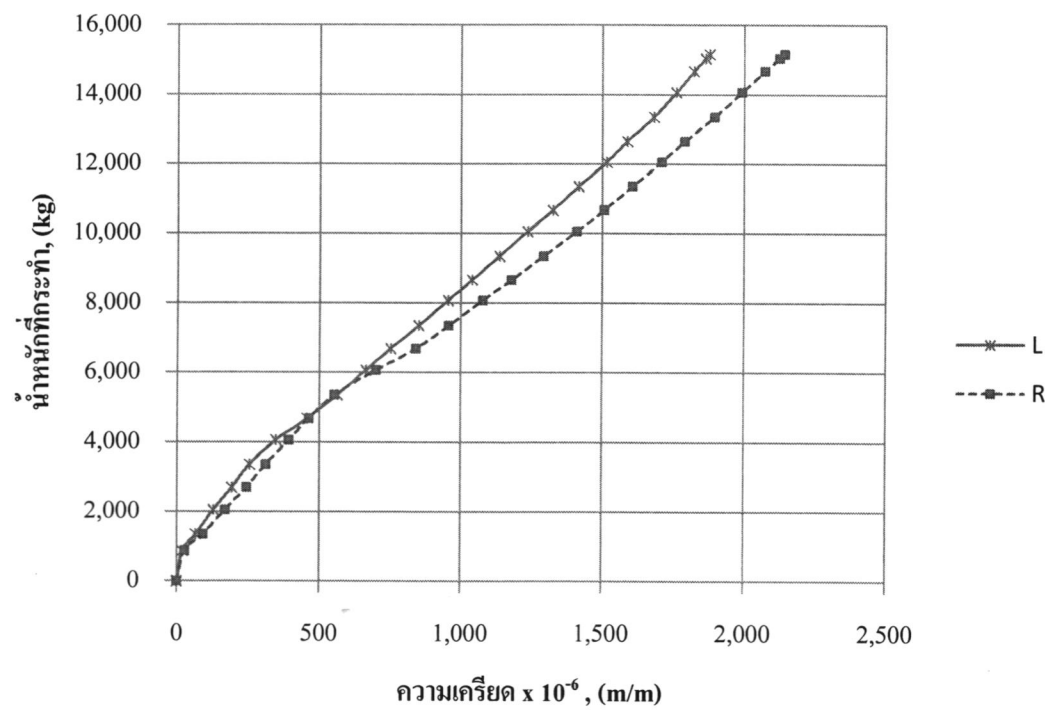
**ภาพที่ ค.11** ความสัมพันธ์ระหว่างน้ำหนักบรรทุกกับค่าความเครียดของเหล็กเสริมรับแรงดึงคานตัวอย่าง B4-D

ตารางที่ ค.12 ผลการทดสอบกำลังรับ โน้ม-men ตัดคานตัวอย่างลักษณะการต่อเชื่อมที่จุดต่อของเหล็ก เสริมรับแรงดึง โดยการงอขามาตรฐาน 90 องศา เหล็กเสริมรับแรงดึง 2-DB16 ขัด ด้วยเหล็ก DB16 รูปตัวซี รอยต่อแบบเปียกขนาด 25 เซนติเมตร (B4-E)

No.	Load (kg)	Deflection (mm)	Strain gage x 10 <sup>-6</sup> , L (m/m)	Strain gage x 10 <sup>-6</sup> , R (m/m)
1	0	0	0	0
2	869	0.25	19.00	27.30
3	1,347	0.53	65.40	91.80
4	2,200	1.06	127.80	169.00
5	2,699	1.29	192.90	243.80
6	3,354	1.69	254.60	311.60
7	4,057	2.14	347.00	392.50
8	4,677	2.54	457.30	462.70
9	5,355	2.95	562.10	552.90
10	6,062	3.41	663.10	699.90
11	6,687	3.86	751.50	840.40
12	7,351	4.31	850.60	955.90
13	8,073	4.84	953.40	1,076.70
14	8,666	5.25	1,039.20	1,179.10
15	9,353	5.75	1,135.30	1,292.40
16	10,056	6.26	1,236.50	1,410.00
17	10,672	6.77	1,325.40	1,506.70
18	11,347	7.33	1,417.20	1,607.20
19	12,053	8.05	1,515.70	1,710.20
20	12,648	8.74	1,587.60	1,791.20
21	13,355	9.55	1,681.70	1,896.20
22	14,062	10.51	1,761.60	1,991.70

**ตารางที่ ค.12** ผลการทดสอบกำลังรับไมเมนต์ดัดคานตัวอย่างลักษณะการต่อเชื่อมที่จุดต่อของเหล็กเสริมรับแรงดึง โดยการงอขอมาตรฐาน 90 องศา เหล็กเสริมรับแรงดึง 2-DB16 ขดด้วยเหล็ก DB16 รูปตัวซี รอยต่อแบบเปียกขนาด 25 เช่นติเมตร (B4-E) (ต่อ)

No.	Load (kg)	Deflection (mm)	Strain gage $\times 10^{-6}$ , L (m/m)	Strain gage $\times 10^{-6}$ , R (m/m)
23	14,679	11.66	1,824.40	2,072.80
24	15,048	12.37	1,865.60	2,123.30
25	15,170	12.84	1,878.70	2,142.00



**ภาพที่ ค.12** ความสัมพันธ์ระหว่างน้ำหนักบรรทุกกับค่าความเครียดของเหล็กเสริมรับแรงดึงคานตัวอย่าง B4-E

## ประวัติผู้วิจัย

ชื่อ	นาย ธีรุณิ กุลโพนเมือง
ประวัติการศึกษา	พ.ศ. 2551 ระดับปริญญาตรี วิศวกรรมศาสตรบัณฑิต สาขาวิชาวิศวกรรมโยธา มหาวิทยาลัยอุบลราชธานี
ผลงานที่ได้รับการตีพิมพ์	ธีรุณิ กุลโพนเมือง และเกรียงศักดิ์ แก้วกุลชัย, 2555 “การทดสอบประสิทธิภาพของรอยต่อแบบเปียกสำหรับคานคอนกรีตเสริมเหล็กสำเร็จรูปที่มีรายละเอียดเหล็กเสริมต่างๆ” การประชุมวิชาการวิศวกรรมโยธาแห่งชาติครั้งที่ 17 พ.ศ. 2551-2553 บริษัท ซอยล์ซัพพอร์ตติ้ง จำกัด ตำแหน่งวิศวกร โยธา
ประวัติการทำงาน	

